



وزارة التعليم العالي والبحث العلمي

جامعة الكوفة - كلية الزراعة

**التشخيص والتوصيف الكامل لبعض الفايروسات الممرضة
والداخلية لنبات الخيار ومقاومتها باستعمال بعض العوامل
الاحيائية وغير الاحيائية**

اطروحة تقدمت بها الطالبة

حوراء إسماعيل عباس الياسري

إلى مجلس كلية الزراعة - جامعة الكوفة

وهي جزء من متطلبات نيل درجة الدكتوراه

في العلوم الزراعية - أمراض النبات / الفايروسات

بإشراف

أ. د. فضل عبد الحسين الفضل

2023 م

١٤٤٤ هـ

بِسْمِ اللَّهِ الرَّحْمَنِ
الرَّحِيمِ

(يَرْفَعُ اللَّهُ الَّذِينَ آمَنُوا مِنْكُمْ وَالَّذِينَ أُوتُوا^١
الْعِلْمَ دَرَجَاتٍ) وَاللَّهُ بِمَا تَعْمَلُونَ خَيْرٌ)^٢

صَدَقَ اللَّهُ الْعَلِيُّ الْعَظِيمُ

سورة : المجادلة

الآية : 11

الإهداء

إلى من أرسل رحمة للعالمين محمد الأمين وآل الله الطيبين الطاهرين عليهم

أفضل الصلاة وأتم التسليم.

إلى سيدي ومولاي صاحب العصر والزمان الإمام الحجّة المنتظر.

أهدي هذا الجهد المتواضع ..

حوراء

شكر وتقدير

الحمد لله واسع النعم والصلوة والسلام على حبيب رب العالمين محمد المصطفى وعلى الله الطيبين الظاهرين . أحمد الله حمداً كثيراً على عظيم نعمه وعظيم سلطانه الذي أمنني بالصبر وأعันني لإكمال هذا الجهد المتواضع .

بعد أن وفقني الله عز وجل في إتمام اطروحتي هذه ، لا يسعني إلا أن أتقدم بشكري الجزيل وامتناني إلى من أمنوني بالعطاء والحنان وسهروا على راحتني إلى الذين أديا رسالتهم نحوني إلى من أحسن تربيتي والدي الحبيبين .

شكري وتقديرني وامتناني إلى الاستاذ الدكتور فضل عبد الحسين خليل الفضل الذي اشرف على هذه الدراسة لجهوده المتميزة في المتابعة العلمية وإسداء الإرشادات والتوجيهات المستمرة طيلة مدة البحث والسعى جاهداً لإنجاحها متمنية له دوام الصحة والتوفيق.

وعلما بـ بالجملـلـ أقدم شكري وامتناني إلى الدكتور اسمـةـ ناظـمـ كاظـمـ العـيسـاويـ لما قدمـهـ لناـ منـ يـدـ العـونـ طـيـلـةـ مـدـةـ الـبـحـثـ مـتـمـنـيـةـ لـهـ التـوـفـيقـ وـالـنـجـاحـ الدـائـمـ

كما أقدم شكري وتقديرني إلى عمادة كلية الزراعة / جامعة الكوفة وخاص بالذكر الاستاذ الدكتور علاء عيدان حسن وأقدم شكري إلى رئيسة قسم وقاية النبات والى استاذتي في قسم وقاية النبات الذين اعانوني في دراستي وأقدم شكري إلى الاستاذ المساعد الدكتور وسام عدنان راضي الجعيفري والدكتورة بيداء محسن الشكري كما اوجه شكري إلى الاستاذ الدكتور هادي مهدي عبود والاستاذ الدكتور نعيم من وزارة العلوم والتكنولوجيا للتزويد بمادة الكيتوسان المستخدمة بالدراسة ، واتقدم بالشكر إلى مديرية الزراعة في النجف الاشرف والى مدير مشاتل البستنة والغابات الاستاذ عباس الوائلي والاستاذ اياد سميسم وكذلك اشكر فرع الارشاد الزراعي في منطقة القزوينية وخاص بالذكر الاستاذ ناصر مهدي . وعلما بـ بالجملـلـ أقدم شكري وامتناني إلى الزميل بهاء جودة الخفاجي والزميل احمد كريم عباس لما قدمـهـ ليـ منـ عـونـ وـلاـ يـفـوتـنيـ أنـ أـشـكـرـ زـملـائـيـ فيـ الـدـرـاسـاتـ الـعـلـيـاـ فيـ قـسـمـ الـوـقـاـيـةـ وـأـخـصـ بـالـذـكـرـ أـفـرـاحـ دـيـنـارـ هـادـيـ وـعـافـ أـرـكـانـ عـلـيـوـيـ وـحـورـاءـ رـزـاقـ ظـاهـرـ معـ خـالـصـ اـمـنـيـاتـيـ لـلـجـمـيعـ بـالـمـوـفـقـيـةـ وـالـنـجـاحـ الدـائـمـ .

شكري وتقديرني إلى افراد عائلتي جميعاً ...

وفي الختام اتقدم بالشكر والتقدير والامتنان لكل من مد لي يد العون لإنجاز هذا البحث .

تعهد إنجاز الطالب عمله البحثي

أتعهد بان أنجاز هذه الأطروحة التشخيص والتوصيف الكامل لبعض الفايروسات الممرضة والداخلية لنبات الخيار ومقاومتها باستعمال بعض العوامل الاحيائية وغير الاحيائية قد تم بجهدي وإدراكاً منّي للمسؤولية القانونية ، أصرح بموجب هذا أتنني كتبت هذه الأطروحة بنفسي وأن جميع محتويات الأطروحة قد تم الحصول عليها بالوسائل المشروعة.

التوقيع:

إسم الطالبة : حوراء اسماعيل عباس الياسري

عنوان الأطروحة : التشخيص والتوصيف الكامل لبعض الفايروسات الممرضة والداخلية لنبات الخيار و مقاومتها باستعمال بعض العوامل الاحيائية وغير الاحيائية

مجال الدراسة: امراض نبات / فايروسات

التاريخ : 2023 / 4 / 6

شهادة المشرف العلمي

أقر بان أنجاز هذه الأطروحة الموسومة بـ التشخيص والتصويف الكامل لبعض الفايروسات الممرضة والداخلية لنباتات الخيار ومقاومتها باستعمال بعض العوامل الاحيائية وغير الاحيائية التي قدمتها الطالبة حوراء اسماعيل عباس الياسري قد جرى تحت اشرافى في كلية الزراعة / جامعة الكوفة بمرافقها كافة. وهي من متطلبات نيل شهادة الدكتوراه في تخصص امراض النبات/ فايروسات وبناء على ذلك ارشحها للمناقشة..

التوقيع:

إسم المشرف: أ.د. فضل عبد الحسين خليل الفضل

اللقب العلمي: استاذ

التاريخ:

توصية رئيس القسم

بناء على ترشيح السيد المشرف العلمي وتقرير الخبريين العلميين أرشح الرسالة للمناقشة .

التوقيع:

الأسم واللقب العلمي: أكرم علي محمد

رئيس قسم وقاية النبات

التاريخ:

شهادة الخبير اللغوي

اطلعت على الأطروحة الموسومة بعنوان / التشخيص والتوصيف الكامل لبعض الفايروسات الممرضة والداخلية لنبات الخيار ومقاومتها باستعمال بعض العوامل الاحيائية وغير الاحيائية وقد قومتها لغوياً وأصبحت مؤهلة للمناقشة من الناحية اللغوية .

التوقيع:

إسم الخبير اللغوي: رشا حسين عبد

اللقب العلمي: مدرس مساعد

التخصص العام : اللغة العربية

التخصص الدقيق : لغة

الكلية : التربية الأساسية

التاريخ:

شهادة الخبرين العلميين

أطلعنا على أطروحة الدكتوراه الموسومة التشخيص والتوصيف الكامل لبعض الفايروسات الممرضة والداخلية لنبات الخيار ومقاومتها باستعمال بعض العوامل الاحيائية وغير الاحيائية وقُوّمت علمياً بالتقارير المرفقة وُجِدت مؤهلاً للتقديم للمناقشة .

التوقيع:

اسم الخبير العلمي الثاني : د. نورس عبد الله
صادق

اللقب العلمي: استاذ مساعد

الكلية : العلوم والهندسة الزراعية

الجامعة: بغداد

التاريخ:/ 2023 /

التوقيع:

اسم الخبير العلمي الأول : د. نوفل حسين
خضير

اللقب العلمي: استاذ

الكلية: العلوم

الجامعة: الكوفة

التاريخ: 2023 / /

قرار لجنة المناقشة

استناداً إلى محضر مجلس كلية الزراعة المرقم أ. م . س / 116 والمنعقد بتاريخ 12/3/2023 بشأن تشكيل لجنة مناقشة أطروحة الدكتوراه التشخيص والتوصيف الكامل لبعض الفايروسات الممرضة والداخلية لنبات الخيار ومقاومتها باستعمال بعض العوامل الاحيائية وغير الاحيائية للطلبة حوراء اسماعيل عباس الياسري. نقر نحن رئيس لجنة المناقشة وأعضاءها باننا قد أطلعنا على الأطروحة وناقشتا الطالبة بمحوهاها وبما له علاقة بها بتاريخ 2023 / ووجدناها جديرة بالقبول لنيل درجة أطروحة الدكتوراه بتخصص أمراض النبات / فايروسات بتقدير امتياز

رئيس اللجنة
الدكتور معاذ عبد الوهاب عبد العالي
أستاذ
كلية الزراعة / جامعة تكريت
2023 /

عضوًا	عضوًا	عضوًا
الدكتور علاء عيدان حسن	الدكتور موسى نعمة مزهر	الدكتور عدنان عبد الجليل لهوف
أستاذ	أستاذ	أستاذ
كلية العلوم/جامعة الكوفة	كلية الزراعة / جامعة	كلية الزراعة / جامعة الكربلاء
الكوفة	2023 /	2023 /
2023 /		

عضوًا (المشرف)	عضوًا
الدكتور فضل عبد الحسين خليل	الدكتور وسام عدنان راضي
أستاذ	أستاذ مساعد
كلية الزراعة / جامعة الكوفة	كلية الزراعة / جامعة الكوفة
2023 /	2023 /

صادقة عميد كلية الزراعة بصدقت هذه الأطروحة من قبل مجلس كلية الزراعة - جامعة الكوفة بجلسته المرقمة المنعقد بتاريخ/2023

أ.د. علاء عيدان حسن
عميد كلية الزراعة / جامعة الكوفة
2023 /

شهادة الخبير الإحصائي

**اطلعت على الأطروحة الموسومة بـ التشخيص والتوصيف الكامل
لبعض الفايروسات الممرضة والداخلية لنبات الخيار ومقاومتها باستعمال بعض
العوامل الاحيائية وغير الاحيائية وقد قومتها إحصائياً ووجدتتها صالحة
للمناقشة .**

التوقيع:

**إسم الخبير الإحصائي: احمد محمد
حسين**

**اللقب العلمي: استاذ مساعد
القسم العلمي: وقاية النبات
الكلية: الزراعة
الجامعة: الكوفة**

Abstract

المستخلص

اجريت هذه الدراسة بهدف التشخيص والتوصيف الجزيئي للفايروسات التي تصيب نباتات الخيار في حقول منطقة الحيدرية في محافظة النجف ، بالإضافة إلى تحديد العناصر الفايروسية الداخلية العكسية الموجودة في جينوم نبات الخيار المصاب و مدى فاعليتها ، واستحثاث المقاومة الجهازية ضد الفايروسات الممرضة ، باستخدام بعض العوامل الإحيائية وغير الإحيائية .

اتضح من خلال استخدام تقنية (NGS) Next generation sequencing ، واستعمال برامج المعلوماتية الحياتية Bioinformatics أن أعراض الموزائيك الشديد على نباتات الخيار Tomato leaf curl palmpur في حقول الحيدرية ناتجة عن اصابة مشتركة بين فايروس Tomato leaf curl palmpur و سجلت هذه الفايروسات في المركز الوطني لمعلومات التقانة الاحيائية NCBI حيث سجل الفايروس Tomato leaf curl palampur isolate SqVYV / Iraq تحت رقم ادخال (ON229619) و سجلت هذه الفايروسات في المركز الوطني لمعلومات التقانة الاحيائية NCBI حيث سجل الفايروس Tomato leaf curl Palampur virus isolate Babylon1segment DNA-A تحت رقم ادخال ON229618 و سجلت هذه الفايروسات في المركز الوطني لمعلومات التقانة الاحيائية NCBI حيث سجل الفايروس Tomato leaf curl Palampur virus isolate Babylon1segment DNA- B تحت رقم ادخال ON229620 . ومن خلال دراسة القارب الوراثي تبين أن الفايروس TLCPV كان الأقرب للعزلات الإيرانية ، أما الفايروس SqVYV كان الأقرب إلى عزلة الأرضي المحتلة الفلسطينية ، و وجد من خلال رسم الخرائط الوراثية أن فايروس SVYV يشفّر بروتين متعدد Polyprotein ، بينما TLCPV DNA-A يشفّر 6 بروتينات هي (AC1 ، AC2 ، AC3 ، AC4 ، AV1 ، AV2) ، بينما TLCPV DNA-B يشفّر بروتينين هما (BC1 و BV1) .

كما وجد فايروسين كاملين متدخلين في جينوم نبات خيار مصاب هما CsatAV يحتوي على 7 مناطق تشفر بروتينات (RT-LTR ، RT-like ، antiphage-ZorA-4 ، PTZ00440 ، MP) ، يحتوي على 8 مناطق تشفر بروتينات CsatBV (Rnase-HI ، RT- RNase- H-2 ، RNase-HI ، RNase-HI ، RT-RnaseH-2 ، RVT-1 ، RT-LTR ، DUF5864) . كما تم تأكيد وجود قطعبي RT من فايروسات ToffiV و RVT-2 . Caulimovirus-sme .

تبين وجود تغاير بين الحامض النووي DNA الكلي لنبات الخيار المصاب ، وآخر سليم من خلال فقد في المنطقة الجينية للجين 23SrRNA Iraq 23SrRNA Iraq و rpS16 Ycf2 Iraq و rpS16 Ycf2 Iraq . كما اتضح أن شديد في المناطق الجينية Ycf2 Iraq و rpS16 Ycf2 Iraq . كما اتضح أن الاصابة الفايروسية أثرت على التعبير الجيني للجين Ycf2 الا انها لم تؤثر على الجينات الأخرى كل من 23SrRNA و rpS16 .

أكَدت الدراسة أن الفايروس المسبب لأعراض الموزائيك و تجعد الأوراق والتقرُّم أعطى نسبة اصابة 100% وشدة اصابة 82% للخيار وكذلك أدت إلى خفض في معايير النمو المقاسة (أطوال المجموعين الجذري والحضري وأوزانهما الجافة بالإضافة إلى المساحة السطحية للورقة) وكذلك خفض شديد في نسبة الكلوروفيل الكلي وعنصري التتروجين والبوتاسيوم ولم تؤثر على عنصر الفسفور ، كما أنها قللت من عدد ثمار الخيار وزنه. وحسبت نسبة الخسائر الاقتصادية الناتجة عن هذه الاصابة الفايروسيَّة حيث كانت 47.27 – 53.2 % / دونم .

كما تبيَّن أن عمر البذور، أو سقي النباتات ، أو رشها بالبكتيريا *Bacillus amyloliquefaciens* ، الميلاتونين ، الكيتوسان منفردة أو التوليفات المزدوجة لهذه العوامل لها القدرة على استحثاث المقاومة الجهازيَّة لنبات الخيار ضد الاصابة الفايروسيَّة بجعله متاحاً للاصابة ، كما أنها أدت إلى تحسين الصفات الظاهريَّة المقاسة ، و المتمثلة (أطوال المجموعين الجذري والحضري وأوزانهما الجافة ، بالإضافة إلى المساحة السطحية للورقة) والصفات الفسلجية المتمثلة بنسبة الكلوروفيل الكلي ، والعناصر المغذية الكبرى NPK . كما أنها أدت إلى زيادة في أعداد ثمار نباتات الخيار وأوزانها. واتضح أن التوليفات المزدوجة (بكتيريا *B. amyloliquefaciens* ومحلول الميلاتونين ، بكتيريا *B. amyloliquefaciens* ومحلول الـ كيتوسان ، محلولي الميلاتونين والـ كيتوسان) أعطت أفضل النتائج في استحثاث المقاومة الجهازيَّة للنباتات من خلال خفضها لنسبة الاصابة وشديتها . كما أنها أعطت أفضل النتائج في تحسين الصفات الظاهريَّة والصفات الفسلجية وايضاً أدت إلى زيادة في أعداد ثمار نباتات الخيار وأوزانها . كما أن استعمال التوليفات أعلى في مساحة دونم واحد حقق فائدة مالية تراوحت بين . % (62.6 - 38.4)

قائمة المحتويات

الصفحة	الموضوع	تسلسل
1	المقدمة Introduction	.1
3	Literatures Review	.2
3	الأهمية الاقتصادية للأمراض الفيروسية على القرعيات	2.1
4	فايروس تجعد اوراق الطماطة البلمبوري <i>Tomato leaf curl palmpur Virus</i> (TLCPV)	.2.1.1
6	فايروس اصفرار عروق القرع <i>Squash vien yellowing virus</i> (SVYV)	.2.1.2
8	الفيروسات الداخلية العكسية (EPRVs) Endogenous Pararetroviruses	.2.2
10	تأثير الاصابة الفيروسية على فسلجة النبات المصايب infected plant	.2.3
12	تأثير الاصابة الفيروسية على البلاستيدات الخضراء chloroplasts	.2.4
15	تقنية تسلسل الجيل القائم او تسلسل الجينوم الكلي sequencing (NGS) or Whole Genome Sequencing (WGS)	.2.5
17	تقنيات المعلوماتية الحياتية : Bioinformatics techniques	2.6
17	برنامج المستكشف للتسلسل المتكرر Repeat explorer program	2.6.1
18	Geneious برنامج	2.6.2
20	استحثاث المقاومة الجهازية (ISR)	2.6.3
22	الميلاتونين Melatonin	2.7
25	الكتيونسان Chitosan	2.8
28	بكتيريا <i>Bacillus amyloliquefaciens</i>	2.9
31	Materials and Methods	3
31	مواد المستخدمة في العمل	3.1
31	الاجهزه والاادوات المستخدمة	3.1.1

IV

32	المواد الكيميائية	3.1.2
33	طرائق العمل	.3.2
33	مصدر الفايروس	3.2.1
33	استعمال تقنية التسلسل الكامل للحامض النووي (RNA , DNA) للنباتات المصابة (Next Generation Sequencing ، NGS)	3.2.2
33	. تجهيز العينات وارسالها لشركة DNA LINK	3.2.2.1
34	قراءة التسلسل الكلي للاحماض النووي DNA و RNA في عينة نبات خيار مصاب	3.2.2.2
34	تحليل البيانات بواسطة برامج المعلوماتية الحياتية Bioninformatics	3.2.3
39	الاوساط الزرعية المستخدمة لتنمية وحفظ بكتيريا <i>Bacillus amyloliquefaciens</i>	3.2.3.1
39	الوسط البكتيري المغذي الصلب Nutrient Agar	3.2.3.2
39	الوسط البكتيري المغذي السائل Nutrient Broth	3.2.3.3
39	وسط البطاطا السائل Potato Sucrose Broth (PSB)	3.2.4
39	تحضير لفاح بكتيريا <i>Bacillus amyloliquefaciens</i>	3.2.5
40	تحضير محلول الميلاتونين Melatonin	3.2.6
40	تحضير الكيتوسان Chitosan	3.2.7
41	اختبار تأثير بين بكتيريا <i>B. amyloliquefaciens</i> ومحلول Chitosan ومحلول Melatonin	3.2.8
41	محلول دارئ الاستخلاص الفوسفاتي المبرد	3.2.9
41	العدوى الميكانيكية	3.2.10
41	تعقيم التربة لاستخدامها في التجربة الحقلية	3.2.11
42	التجارب الحقلية	3.2.11.1
42	اختبار فاعلية غمر بذور نبات الخيار لمدة 30 دقيقة ببكتيريا <i>B. amyloliquefaciens</i> ومحلول الميلاتونين والكيتوسان وتوليفاتهما المزدوجة ضد الاصابة الفايروسية	3.2.11.2
43	اختبار فاعلية سقي نباتات الخيار ببكتيريا <i>B. amyloliquefaciens</i> ومحلول الميلاتونين والكيتوسان وتوليفاتهما المزدوجة ضد الاصابة الفايروسية	3.2.11.3

46	اختبار فاعلية رش نباتات الخيار ببكتيريا <i>B. amyloliquefaciens</i> ومحول الميلاتونين والكيتوسان وتوليفاتها المزدوجة ضد الاصابة الفايروسيه	3.2.12
48	تقدير النسبة المئوية للاصابة لنباتات الخيار	3.2.13
49	قياس شدة الاصابة الفايروسيه للتجربة ومتابعة الاعراض	3.2.14
50	تقدير مساحة اوراق نباتات التجارب الحقلية باستخدام برنامج J Image	3.2.15
51	تقدير نسبة الكلورو فيل الكلية في اوراق نباتات التجارب الحقلية بعد 14 يوما من ظهور الاعراض الفايروسيه	3.2.16
51	تقدير نسب محتوى نباتات التجارب الحقلية من العناصر الكرى NPK بعد 14 يوماً من ظهور الاعراض الفايروسيه	3.2.16.1
51	هضم العينات النباتية المراد اختبار نسب العناصر الكرى NPK فيها بطريقة حامض الكبريتيك مع السيلينيوم	3.2.16.2
52	تقدير النسبة المئوية لعنصر النتروجين N الكلي في اوراق نباتات التجارب الحقلية () جهاز كلدار (Kheldal)	3.2.16.3
53	تقدير النسبة المئوية لعنصر الفسفور P الكلي في اوراق نباتات التجارب الحقلية () الجهاز المطياف الضوئي (Spectrophotometer)	3.2.16.4
54	تقدير النسبة المئوية لعنصر البوتاسيوم K الكلي في اوراق نباتات التجارب الحقلية () جهاز اللهب الضوئي (FLAME Photometer)	3.2.17
54	حساب الربح المتحقق لنتائج المعاملات المطبقة حقوليا على محصول الخيار المزروع في مساحة دونم واحد (2500م2)	3.2.17.1
55	حاصل غمر بذور الخيار بالماء فقط لمدة 30 دقيقة قبل الزراعة في مساحة دونم (المقارنة)	3.2.17.2
55	حساب الربح المتحقق لمعاملة غمر بذور نباتات الخيار بالتلوكيف المزدوجة المتكونة من بكتيريا <i>B. amyloliquefaciens</i> ومحول الميلاتونين	3.2.17.3
56	الربح المتحقق لمعاملة سقي نباتات الخيار بالماء فقط (مقارنة)	3.2.17.4
56	الربح المتحقق لمعاملة سقي نباتات الخيار بالتلوكيف المزدوجة المتكونة من بكتيريا <i>B. amyloliquefaciens</i> ومحول الميلاتونين	3.2.17.5
57	حساب الربح المتحقق لمعاملة رش نباتات الخيار بالماء فقط (مقارنة)	3.2.17.6

57	حساب الربح المتحقق لمعاملة رش نبات الخيار بالتلوليفة المزدوجة المكونة من بكتيريا <i>B. amyloliquefaciens</i>	3.2.18
58	التحليل الاحصائي للبيانات	3.2.19
59	Results and Discussion النتائج والمناقشة	4
59	الأعراض المرضية على نبات الخيار المصابة بالفايروسات <i>Squash vein yellowing</i> و <i>Tomato leaf curl Palampur virus isolate</i> و <i>virus isolate SVYV/Iraq Babylon1</i>	4.1
61	تقنية تسلسل الجيل القادم (NGS) للاحماض النووي RNA و DNA لنبات خيار مصاب بالفايروسات <i>Squash vein yellowing</i> و <i>Tomato leaf curl Palampur virus isolate</i> و <i>virus isolate SVYV/Iraq Babylon1</i>	4.2
63	ربط قراءات التسلسلات الخام للأحماض النووية الكاملة DNA ، RNA لعينات نبات الخيار المصابة في برنامج Geneious	4.3
64	الكشف عن التسلسلات الكاملة للفايروسات المرضية الموجودة في الجينوم الكامل لنبات الخيار (DNA ، RNA) من خلال برامج المعلوماتية الحياتية	4.3.1
65	الكشف عن التسلسل الكامل لعزلة فايروس اصفرار العروق على القرع <i>Squash vein yellowing virus isolate SVYV/Iraq</i>	4.3.2
67	الكشف عن التسلسل الكامل لعزلة فايروس التقاف اوراق الطماطة البلموري <i>Tomato leaf curl Palampur virus isolate Babylon1 (TLCPV)</i>	4.4
70	. الكشف عن الاحماض النووية المتكررة في برنامج Repeat Explorar	4.5
74	الفايروسات الداخلية العكسية الموجودة في جينوم نباتات الخيار من خلال برنامج المعلوماتية الحياتية	4.5.1
74	الفايروس الداخلي العكسي CsatAV- Iraq الموجود في جينوم نباتات الخيار من خلال برنامج Geneious	4.5.2
75	الفايروس الداخلي العكسي CsatBV-Iraq الموجود في جينوم نباتات الخيار من خلال برنامج Geneious	4.6
77	عدد النسخ والنسبة المئوية وعامل النسخ TPM Transcripts Per Kilobase Million (قياس التعبير الجيني) للفايروسات المرضية والفايروسات الداخلية العكسية	4.7
79	دراسة العلاقة التطورية والاشجار الوراثية Phylogenetic trees للفايروسات المرضية المشخصة في نبات الخيار	4.8

85	دراسة العلاقة التطورية والأشجار الوراثية Phylogenetic trees للفايروسات الداخلية المشخصة في نبات الخيار	4.9
87	التغير الوراثي الحاصل في الجينوم الكامل DNA للبلاستيدات الخضراء في خلية نبات خيار مصابة بالفايروسات <i>Squash vein yellowing virus isolate SVYV/Iraq</i> و <i>Tomato leaf curl Palampur virus isolate Babylon1</i>	4.10
101	التعبير الجيني لجميع جينات البلاستيدات الخضراء في خلية نبات خيار مصابة بالفايروسات <i>Tomato Squash vein yellowing virus isolate SVYV/Iraq</i> و <i>leaf curl Palampur virus isolate Babylon1</i>	4.11
106	فاعلية عمر بذور نبات الخيار ببكتيريا <i>B. amyloliquefaciens</i> و محلول الميلاتونين والكيتوسان وتوليفاتهما المزدوجة ضد الاصابة الفايروسيه	4.12
106	التغيرات الظاهرية	4.12.1
106	فاعلية عمر بذور نبات الخيار ببكتيريا <i>B. amyloliquefaciens</i> و محلول الميلاتونين والكيتوسان وتوليفاتهما المزدوجة في خفض نسبة وشدة الاصابة الفايروسيه	4.12.1.1
108	فاعلية عمر بذور نبات الخيار ببكتيريا <i>B. amyloliquefaciens</i> و محلول الميلاتونين والكيتوسان وتوليفاتهما المزدوجة على معايير النمو الجذري والحضري	4.12.1.2
111	فاعلية عمر بذور نبات الخيار ببكتيريا <i>B. amyloliquefaciens</i> و محلول الميلاتونين والكيتوسان وتوليفاتهما المزدوجة على اعداد وزن الثمار الكلي لثلاث جنیات	4.12.1.3
112	التغيرات الفسلجية	.4.12.2
112	فاعلية عمر بذور نبات الخيار ببكتيريا <i>B. amyloliquefaciens</i> و محلول الميلاتونين والكيتوسان وتوليفاتهما المزدوجة على نسبة الكلورو菲ل الکا	.4.12.2.1
114	فاعلية عمر بذور نبات الخيار ببكتيريا <i>B. amyloliquefaciens</i> و محلول الميلاتونين والكيتوسان وتوليفاتهما المزدوجة على نسب العناصر الكبرى NPK في الاوراق	.4.12.2.2
119	فاعلية سقی نباتات الخيار ببكتيريا <i>B. amyloliquefaciens</i> و محلول الميلاتونين والكيتوسان وتوليفاتهما المزدوجة ضد الاصابة الفايروسيه	4.13
119	التغيرات الظاهرية	.4.13.1
119	فاعلية سقی نباتات الخيار ببكتيريا <i>B. amyloliquefaciens</i> و محلول الميلاتونين والكيتوسان وتوليفاتهما المزدوجة في خفض نسبة وشدة الاصابة الفايروسيه	.4.13.1.1
120	فاعلية سقی نباتات الخيار ببكتيريا <i>B. amyloliquefaciens</i> و محلول الميلاتونين والكيتوسان وتوليفاتهما المزدوجة على معايير النمو الجذري والحضري	.4.13.1.2

VIII

124	فاعلية سقى نباتات الخيار ببكتيريا <i>B. amyloliquefaciens</i> و محلولي الميلاتونين والكيتوسان وتوليفاتهما المزدوجة على اعداد وزن الثمار الكلي	.4.13.1.3
125	التغيرات الفسلجية	.4.13.2
125	فاعلية سقى نباتات الخيار ببكتيريا <i>B. amyloliquefaciens</i> و محلولي الميلاتونين والكيتوسان وتوليفاتهما المزدوجة على نسبة الكلوروفيل الكلي	.4.13.2.1
127	فاعلية سقى نباتات الخيار ببكتيريا <i>B. amyloliquefaciens</i> و محلولي الميلاتونين والكيتوسان وتوليفاتهما المزدوجة على نسب العناصر الكبرى NPK في الاوراق	.4.13.2.2
130	. اختبار فاعلية رش نباتات الخيار ببكتيريا <i>B. amyloliquefaciens</i> و محلولي الميلاتونين والكيتوسان وتوليفاتهما المزدوجة ضد الاصابة الفايروسيه	.4.14
130	التغيرات الظاهرية	.4.14.1
130	فاعلية رش نباتات الخيار ببكتيريا <i>B. amyloliquefaciens</i> و محلولي الميلاتونين والكيتوسان وتوليفاتهما المزدوجة في خفض نسبة وشدة الاصابة الفايروسيه	.4.14.1.1
131	فاعلية رش نباتات الخيار ببكتيريا <i>B. amyloliquefaciens</i> و محلولي الميلاتونين والكيتوسان وتوليفاتهما المزدوجة على معايير النمو الجذري والخضري	.4.14.1.2
135	فاعلية رش نباتات الخيار ببكتيريا <i>B. amyloliquefaciens</i> و محلولي الميلاتونين والكيتوسان وتوليفاتهما المزدوجة على اعداد وزن الثمار	.4.14.1.3
136	التغيرات الفسلجية	.4.14.2
136	فاعلية رش نباتات الخيار ببكتيريا <i>B. amyloliquefaciens</i> و محلولي الميلاتونين والكيتوسان وتوليفاتهما المزدوجة على نسبة الكلوروفيل الكلي	.4.14.2.1
138	فاعلية رش نباتات الخيار ببكتيريا <i>B. amyloliquefaciens</i> و محلولي الميلاتونين والكيتوسان وتوليفاتهما المزدوجة على نسب العناصر الكبرى NPK في الاوراق	.4.14.2.2
141	الخسائر الاقتصادية لمحصول الخيار المصايب بالفايروس <i>Squash vein yellowing virus isolate SVYV/Iraq</i> في الزراعة المكشوفة لمساحة دونم واحد	.4.15
142	الربح الصافي المتحقق من استعمال افضل المعاملات على محصول الخيار المصايب بالفايروس <i>Squash vein yellowing virus isolate SVYV/Iraq</i> في الزراعة المكشوفة لمساحة دونم واحد	4.16
143	تأثير نوع المعاملات على اوزان ثمار الخيار لنباتات سليمة وأخرى مصابة بالفايروس . <i>Squash vein yellowing virus isolate SVYV/Iraq</i>	4.17
144	الاستنتاجات والتوصيات	.5

Conclusions and Recommendations		
144	الاستنتاجات Conclusions	.5.1
146	التصصيات Recommendations	.5.2
147	Reference المصادر	6

قائمة الجداول		
الصفحة	الموضوع	تسلسل
31	Materials and Methods مواد وطرائق العمل	3
31	الاجهزه و الادوات المستخدمة في البحث	3.1
32	المواد الكيميائية المستخدمة في الدراسة	3.2
32	البرامج المستخدمة في الدراسة	3.3
49	دليل تطور الاعراض للنباتات الملقة بمستخلص نبات خيار ظاهر عليه اعراض الموز انيك الشديد	
59	Results and Discussion النتائج والمناقشة	4
61	قراءة جهاز Nanodrop للأحماض النوويه DNA و RNA لنبات الخيار المصايب Tomato و Squash vein yellowing virus isolate SVYV/Iraq بالفايروسات leaf curl Palampur virus isolate Babylon1	4.1
78	عدد النسخ والنسب المؤدية وعامل النسخ (قياس التعبير الجيني) للفايروسات المرضية والفايروسات الداخلية العكسية	4.2
88	موقع التغير والحذف في اربع اصناف واثنين من الهجن لنبات خيار سليم مقارنة بنبات خيار مصاب بالفايروسات Tomato leaf curl Palampur virus isolate Squash vein yellowing virus isolate SVYV/Iraq و Babylon1	4.3
88	التسلسلات المتغيرة والمحدوفة في جينات اربع اصناف واثنين من هجن نبات خيار سليم مقارنة بنبات خيار مصاب بالفايروسات Tomato leaf curl Palampur virus isolate Squash vein yellowing virus isolate SVYV/Iraq و isolate Babylon1	4.4
110	فاعليه عمر بذور نبات الخيار ببكتيريا B. amyloliquefaciens ومحظلي الميلاتونين والكيتوسان وتوليفاتهما المزدوجة على معايير النمو الجذري والخضري.	.4.5

112	فاعلية غمر بذور نبات الخيار ببكتيريا <i>B. amyloliquefaciens</i> ومحولى الميلاتونين والكيتوسان وتوليفاتهما المزدوجة على عدد وزن الثمار الكلى لثلاث جنبات .	.4.6
116	فاعلية غمر بذور نبات الخيار ببكتيريا <i>B. amyloliquefaciens</i> ومحولى الميلاتونين والكيتوسان وتوليفاتهما المزدوجة على نسب العناصر الكبرى NPK في الاوراق	.4.7
123	فاعلية سقى نباتات الخيار ببكتيريا <i>B. amyloliquefaciens</i> ومحولى الميلاتونين والكيتوسان وتوليفاتهما المزدوجة معايير النمو الجذري والخضري.	4.8
125	فاعلية سقى نباتات الخيار ببكتيريا <i>B. amyloliquefaciens</i> ومحولى الميلاتونين والكيتوسان وتوليفاتهما المزدوجة على عدد وزن الثمار الكلى لثلاث جنبات	4.9
128	فاعلية سقى نباتات الخيار ببكتيريا <i>B. amyloliquefaciens</i> ومحولى الميلاتونين والكيتوسان وتوليفاتهما المزدوجة على نسب العناصر الكبرى NPK في الاوراق.	4.10
134	فاعلية رش نباتات الخيار ببكتيريا <i>B. amyloliquefaciens</i> ومحولى الميلاتونين والكيتوسان وتوليفاتهما المزدوجة على معايير النمو الجذري والخضري	4.11
136	فاعلية رش نباتات الخيار ببكتيريا <i>B. amyloliquefaciens</i> ومحولى الميلاتونين والكيتوسان وتوليفاتهما المزدوجة على اعداد وزن الثمار التجميعي	4.12
139	فاعلية رش نباتات الخيار ببكتيريا <i>B. amyloliquefaciens</i> ومحولى الميلاتونين والكيتوسان وتوليفاتهما المزدوجة على نسب العناصر الكبرى NPK في الاوراق	4.13
141	الخسائر الاقتصادية الناتجة عن الاصابة بالفايروسات <i>Squash vein yellowing virus</i> isolate SVYV/Iraq لمحصول الخيار لمساحة دونم واحد	4.14
142	الربح الصافي المتحقق من استعمال افضل المعاملات خليط من البكتيريا <i>B. amyloliquefaciens</i> و melatonin في الزراعة المكشوفة لمساحة دونم واحد	4.15
143	تأثير نوع المعاملات على أوزان ثمار الخيار لنباتات سليمة وأخرى مصابة بالفايروس . <i>Squash vein yellowing virus</i> isolate SVYV/Iraq	4.16

قائمة الاشكال		
الصفحة	الموضوع	الترتيب
3	Literatures Review استعراض المراجع	.2
5	جسيمة الفايرون التوأمية لجنس <i>Begomoviruses</i>	2.1
7	جسيمة فايروس <i>Squash Vein Yellowing Virus</i>	2.2
22	التركيب الكيميائي للميلاتونين	2.3
25	التركيب الكيميائي للكيتوسان	2.4
31	Materials and Methods مواد وطرق العمل	3
37	التعامل مع البيانات وتحليلها بواسطة برامج المعلوماتية الحياتية <i>Bionformatics</i> للكشف عن الفايروسانات الداخلية في جينوم نبات الخيار المصاب .	3.1
38	التعامل مع البيانات وتحليلها بواسطة منصة <i>Geneious prime</i> للحصول على التسلسلات الكاملة المراد الاستعلام عنها و توصيفها.	3.2
50	واجهة برنامج <i>J Image</i>	3.3
59	Results and Discussion النتائج والمناقشة	.4
59	الأعراض المرضية على نباتات خيار مصاب باصابة مشتركة بين فايروسانات <i>Squash Tomato leaf curl Palampur</i> و <i>vein yellowing virus isolate SVYV/Iraq</i> حيث أن الدائرة تشير إلى أعراض الموزانيك والتعدد.	4.1
62	- الترhill الكهربائي للحمض النووي DNA لنباتات الخيار المصاب حيث ان: A هو Control C ، Ladder (المقارنة القياسية للشركة الفاحصة) و DNA CD : نبات الخيار . - السهم يشير الى حزم RNA لنباتات الخيار المصاب بعد ترhillها على هلام الاكاروز اما علامة الصح فتشير الى المنحنيات و عددها ثمانية والتي تمثل انواع RNA ومدى تركيزها في العينة والممثلة لحزم الحامض النووي RNA في جهاز Bioanalyzer .	4.2
65	الخريطة الوراثية لفايروس اصفرار عروق القرع العزلة العراقية <i>Squash Vein Yellowing Virus isolate SVYV/Iraq</i>	4.3
69	الخريطة الوراثية المرسومة في برنامج <i>Geneious</i> لفايروس تجعد اوراق الطماطة البليموري <i>Tomato leaf curl Palampur virus isolate Babylon1</i> حيث ان A تمثل قطعة DNA-A للفايروس والتي تحتوي على ست جينات ، B- تمثل قطعة	4.4

	DNA-B للفايروس والتي تحتوي على جينين	
71	تقرير HTML report الذي يظهر التسلسل الكامل لفايروس TLCPV بعد تحليل القراءات الخام للحمض النووي DNA في برنامج مستكشف التسلسلات المتكررة Repeat Explorar في رقم تجمع 6 و بطول 2753 زوج قاعدة الذي يمثل TLCPV DNA-B و تجمع 4 وبطول 2719 الذي يمثل DNA-A	4.5
72	تقرير HTML report في برنامج المستكشف Repeat Explorar الذي يظهر وجود الفايروسات الداخلية في جينوم نبات الخيار.	4.6
74	الخريطة الوراثية للفايروس الداخلي في جينوم نبات الخيار CsatAV-Iraq	4.7
75	الخريطة الوراثية للفايروس الداخلي في جينوم نبات الخيار CsatBV-Iraq	4.8
80	الشجرة الوراثية لعزلة فايروس اصفرار عروق القرع Squash vein yellowing virus مع 14 عزلة فايروسية حيث تمثل الارقام الموجودة درجة التقارب بين هذه العزلات	4.9
82	الشجرة الوراثية لعزلة تجعد اوراق الطماطة البالمبوi Tomato leaf curl Palampur virus isolate Babylon1 segment DNA-A) مع 20 عزلة فايروسية حيث تمثل الارقام الموجودة درجة التقارب بين هذه العزلات والعزلة خارج المجموعة متمثلة بالفايروس Cauliflower Mosaic Virus	4.10
83	الشجرة الوراثية لعزلة تجعد اوراق الطماطة البالمبوi Tomato leaf curl Palampur virus isolate Babylon1 segment DNA-B (باللون الاحمر) مع 16 عزلة فايروسية حيث تمثل الارقام الموجودة درجة التقارب بين هذه العزلات والعزلة خارج المجموعة ممثلة بالفايروس Cauliflower Mosaic Virus	4.11
86	الشجرة الوراثية للفايروسين الداخلين CsatBV-Iraq و CsatAV-Iraq (باللون الاحمر) مع 32 فايروس داخلي من جنس Florendovirus حيث تمثل الارقام الموجودة درجة التقارب بين هذه الفايروسات والفايروس خارج المجموعة Cauliflower Mosaic Virus	4.12
89	الخريطة الوراثية لجينوم بلاستيد نبات خيار Cucumis sativas صنف Squash vein yellowing (Nickerson Zwaan Holland) مصاب بالفايروسات Tomato leaf curl Palampur virus isolate و virus isolate SVYV/Iraq Babylon1	4.13
90	التطابق Pairwise Identity بين جينومات بلاستيدات التسلسلات المرجعية لبعض اصناف الخيار السليم مع تسلسل جينوم بلاستيدات نبات مصاب بالفايروسات Squash Tomato leaf curl Palampur virus و Vein Yellowing Virus حيث ان منطقة التغاير الاولى الواقعة ضمن الجين rps16 Iraq هي منطقة التغاير الاولى الواقعه ضمن الجين rps16، علما ان (1)	4.14

XIII

	يتمثل جينوم البلاستيدات الخضراء لصنف خيار المصاب ، اما (2) فتمثل جينومات البلاستيدات الخضراء لبعض اصناف الخيار	
91	التطابق Pairwise Identity بين جينومات بلاستيدات التسلسلات المرجعية لبعض اصناف الخيار السليم مع تسلسل جينوم بلاستيدات نبات مصاب بالفايروسات <i>Squash Tomato leaf curl Palampur virus</i> و <i>Vein Yellowing Virus</i> حيث ان <i>Ycf2 gene Iraq</i> هي منطقة التغاير الثانية الواقعة ضمن الجين <i>Ycf2 gene Iraq</i> ، علما ان (1) يمثل جينوم البلاستيدات الخضراء لصنف خيار المصاب ، و (2) فتمثل جينومات البلاستيدات الخضراء لبعض اصناف الخيار	4.15
92	التطابق Pairwise Identity بين جينومات بلاستيدات التسلسلات المرجعية لبعض اصناف الخيار السليم مع تسلسل جينوم بلاستيدات نبات مصاب بالفايروسات <i>Squash Tomato leaf curl Palampur virus</i> و <i>Vein Yellowing Virus</i> حيث ان <i>23SrRNA gene Iraq</i> هي منطقة التغاير الثالثة الواقعة ضمن الجين <i>23SrRNA gene Iraq</i> والمنطقة الجينية المحفوظة <i>23 SrRNA gene Iraq</i> علما ان (1) يمثل جينوم البلاستيدات الخضراء لصنف خيار المصاب ، (2) فتمثل جينومات البلاستيدات الخضراء لبعض اصناف الخيار	4.16
94	نسبة تطابق Pairwise Identity جينومات بلاستيدات التسلسلات المرجعية لبعض اصناف الخيار السليم مع بعضها في برنامج Geneious للمنطقة الجينية <i>rps16 Iraq</i> الواقعه ضمن الجين <i>rps16</i> .	4.17
95	نسبة تطابق Pairwise Identity جينومات بلاستيدات التسلسلات المرجعية لبعض اصناف الخيار السليم مع بعضها في برنامج Geneious للمنطقة الجينية <i>Ycf2 gene Iraq</i> الواقعه ضمن الجين <i>Iraq</i>	4.18
96	نسبة تطابق Pairwise Identity جينومات بلاستيدات التسلسلات المرجعية لبعض اصناف الخيار السليم مع بعضها في برنامج Geneious للمنطقة الجينية <i>SrRNA 23</i> الواقعه ضمن الجين <i>S rRNA gene Iraq</i> والمنطقة الجينية <i>23</i>	4.19
98	نسب تطابق Pairwise Identity ومناطق الحذف بين جينومات بلاستيدات التسلسلات المرجعية لهجن خيار سليم مع تسلسل جينوم بلاستيدات نبات مصاب بالفايروسات <i>Tomato leaf curl Palampur virus</i> و <i>Squash Vein Yellowing Virus</i> وجينومات بلاستيدات بعض اصناف خيار سليم حيث ان : (A) التطابق في المنطقة الجينية <i>rps16 Iraq</i> بين هجينين خيار سلم . (B) التطابق في المنطقة الجينية <i>23SrRNA</i> . علما ان (1) تمثل جينوم صنف الخيار المصاب . (2) تمثل هجن الخيار السليم	4.20
99	نسب تطابق Pairwise Identity ومناطق الحذف بين جينومات بلاستيدات التسلسلات المرجعية لهجن خيار سليم مع تسلسل جينوم بلاستيدات نبات مصاب بالفايروسات	4.21

XIV

	<p>ان : (A) التطابق في المنطقة الجينية (B) التطابق في المنطقة الجينية . حيث <i>Tomato leaf curl Palampur virus</i> و <i>Squash Vein Yellowing Virus</i> علمًا ان (1) تمثل جينوم صنف الخيار المصاب (2) تمثل هجن الخيار السليم . <i>23SrRNA</i></p>	
103	<p>مقدار الضرر الحاصل على اجزاء من الجينوم الكامل DNA البلاستيدية الخضراء في نبات خيار نتيجة الاصابة بالفايروسات <i>Squash vein yellowing virus isolate</i> <i>Tomato leaf curl Palampur virus isolate</i> <i>SVYV/Iraq</i> وتأثيره على التعبير الجيني من خلال التطابق Pairwise alignment في Babylon1 برنامج Genious علمًا ان (1) جينوم الحامض النووي DNA للبلاستيدات الخضراء لصنف خيار المصاب ، (2) جينوم الحامض النووي RNA للبلاستيدات الخضراء لصنف خيار مصاب</p>	4.22
107	<p>فاعالية غمر بذور نباتات الخيار ببكتيريا <i>B. amyloliquefaciens</i> ومحلول الميلاتونين والكيتوسان وتوليفاتهما المزدوجة في خفض نسبة وشدة الاصابة الفايروسية</p>	4.23
114	<p>فاعالية غمر بذور نباتات الخيار ببكتيريا <i>B. amyloliquefaciens</i> ومحلول الميلاتونين والكيتوسان وتوليفاتهما المزدوجة على نسبة الكلوروفيل الكلي (ملغم. 100 غم⁻¹)</p>	4.24
120	<p>فاعالية سقي نباتات الخيار ببكتيريا <i>B. amyloliquefaciens</i> ومحلول الميلاتونين والكيتوسان وتوليفاتهما المزدوجة في خفض نسبة وشدة الاصابة الفايروسية.</p>	4.25
126	<p>فاعالية سقي نباتات الخيار ببكتيريا <i>B. amyloliquefaciens</i> ومحلول الميلاتونين والكيتوسان وتوليفاتهما المزدوجة على نسبة الكلوروفيل الكلي في الاوراق</p>	4.26
131	<p>فاعالية رش نباتات الخيار ببكتيريا <i>B. amyloliquefaciens</i> ومحلول الميلاتونين والكيتوسان وتوليفاتهما المزدوجة في خفض نسبة وشدة الاصابة الفايروسية</p>	4.27
137	<p>فاعالية رش نباتات الخيار ببكتيريا <i>B. amyloliquefaciens</i> ومحلول الميلاتونين والكيتوسان وتوليفاتهما المزدوجة على نسبة الكلوروفيل الكلي</p>	4.28

قائمة المختصرات		
التفاصيل	المختصر	الترتيب
<i>Alfalfa mosaic virus</i>	AMV	1
<i>B. amyloliquefaciens</i>	B. a	2
<i>Barley stripe mosaic virus</i>	BSMV	3
Base pair	Bp	4

Basic Local Alignment Search Tool	BLAST	5
<i>Bean yellow mosaic virus</i>	BYMV	6
Cetyl Trimethyl ammonium Bromide	CTAB	7
Chitosan	Chi	8
chloroplast DNA	cpDNA	9
Chloroplast ferredoxin I	Fd	10
Colony-Forming Unit	CFU	11
Cota Protein	CP	12
<i>Cucumber mosaic virus</i>	CMV	13
Deoxyribo Nucleic Acid	DNA	14
DNA Complementary	cDNA	15
DNA Data Bank of Japan	DDBJ	16
double-distilled water	ddH ₂ O	17
Endogenous pararetroviruses	EPRVs	18
Ethylene Diamine Tetra Acetic acid	EDTA	19
European Molecular Biology Laboratory	EMBL	20
<i>Fig mosaic virus</i>	FMV	21
glycine decarboxylase	GDC	22
Gram	Gm	23
Growth Promting Rhizobacteria	PGPR	24
potential of Hydrogen	pH	25
Indole Acetic Acid	IAA	26
Induced Systemmic Resistance	ISR	27
<i>Italian ringspot virus</i>	IRSV	28
Melatoninn	Mel	29
<i>Melon necrotic spot virus</i>	MNSV	30
Micro liter	µL	31

XVI

mitochondrial DNA	mtDNA	32
National Center for Biotechnology Information	NCBI	33
Next generation sequencing	NGS	34
nuclear ribosomal DNA	nrDNA	35
Nutrient Agar	NA	36
Open reading frames	ORFs	37
Plasmodesmata	PD	38
Polymerase Chain Reaction	PCR	39
Polyvinylpyrrolidone	PVP	40
Post Entry Quarantine	PEQ	41
Potato Dextrose Broth	P.D.A.	42
<i>Potato virus y</i>	PVY	43
Randomized Complete Block Design	RCBD	44
Reactive oxygen species	ROS	45
Reverse Transcriptase-Polymerase Chain Reaction	RT-PCR	46
Ribo Nucleic Acid	RNA	47
<i>Squash leaf curl virus</i>	SLCuV	48
<i>Squash mosaic virus</i>	SMV	49
Systemic Acquired Resistance	SAR	51
<i>Tomato leaf curl Palampur virus</i>	ToLCPMV	52
<i>Tomato mosaic virus</i>	TMV	53
<i>Tomato spotted wilt virus</i>	TSWV	54
Tris borate EDTA	TBE	55
Tris EDTA Buffer	TEB	56
<i>Zucchini yellow mosaic virus</i>	ZYMV	57

الفصل الاول

المقدمة **Introduction**

1. المقدمة

Introduction

يعد محصول الخيار (*Cucumis sativus L.*) من أهم نباتات العائلة القرعية في العراق ، التي تتوفر ثمارها في الأسواق على مدار السنة ، وتزرع زراعية مكشوفة او مغطاة . بلغت المساحة المزروعة لهذا المحصول في العراق 69502 دونم في عام 2019 ويعادل انتاجها 149302 طن وبغلة مقدارها 2152.3 كغم /دونم (الجهاز المركزي الاحصائي ، 2019).

تصاب القرعيات في العراق ومنها نبات الخيار بالعديد من الآفات منها الحشرات والمسايبات الممرضة التي تسبب اضراراً اقتصادية تؤثر على الإنتاج كماً ، ونوعاً ، قد تصل الخسائر في الحاصل الى 100 % في بعض الآفات اعتماداً على الظروف البيئية والصنف المزروع (صادق واخرون ، 2021 ؛ Hernandez و آخرون ، 2021) . وقد توسيعت زراعتها بشكل كبير بسبب الزيادة السكانية والطلب المتزايد عليها مما نتج عنه انتشاراً للأوبئة والآفات الفايروسيّة ، التي سببت أمراضاً وبائية في كثير من بلدان العالم مما نتج عنها خسائر كبيرة أثرت على اقتصاد تلك البلدان (صادق واخرون ، 2021 ؛ Lopez و آخرون 2022).

ومن أهم الأمراض الفايروسيّة على نباتات الخيار في العالم ، التي يكون مداها العائلي واسع هي موزائيك الخيار ، *Cucumber mosaic* ، الاصفار الكاذب على البنجر *Beet* ، الاصفار *pseudo-yellows* ، اصفار عروق الخيار ، *Cucumber vein-yellowing* ، الاصفار على القرعيات المنقول بالمن ، *Cucurbit aphid-borne yellows* ، الاختلال الأصفر والضمور على القرعيات *Disorder cucurbit yellow stunting* مجموعة فايروس الموزائيك الذهبي على الفاصولياء ، *Begomoviruses* ، التبعع المتاخر على البطيخ *Melon* ، مجموعة فايروسات واي البطاطا ، *Potyviruses* ، اصفار العروق على القرع ، *necrotic spot* ، مجموعة فايروسات واي البطاطا ، *Tobamoviruses* ، مجموعه فايروس موزائيك التبغ *Squash vein-yellowing* ، مجموعه فايروس موزائيك القرع *Squash Mosaic* ، مجموعه فايروس الذبول المبقع على الطماطم *Tospoviruses* ، فايروس تجعد القمة في البنجر *Beet curly top* و مجموعة فايروسات متعددة الأوجه المنقلة بالنيماتودا *Nepoviruses* (صادق واخرون ، 2021 ؛ Jailani و آخرون 2021). كما تم الكشف مؤخراً عن قدرة بعض الفايروسات النباتية على تداخل حامضها النووي وارتباطه مع الحامض النووي للعائيل ، التي أطلق عليها تسمية الفايروسات الداخلية العكسية (EPRVs) و هذه الفايروسات تحت ظروف الاجهاد ممكن أن تحدث اصابة للعائيل الموجودة فيه ، وهنا يكون حدوث الاصابة من داخل النبات وليس من خارجه ، وبتطور العلوم والتكنيات الخاصة بمعرفة التسلسل النيوكليوتيدي أصبح بالإمكان الكشف

عن هذه الفايروزات ومعرفة موقعها في جينوم العائل وهذه التقنية هي تسلسل الجيل القادم Next generation sequencing NGS (2019, Alisawi) . ومن أكثر الأجناس فاعلية في تداخلها مع الجينوم النباتي هي , *Soymovirus, Petuvirus, Badnavirus Caulimovirus*, هناك العديد من العوامل التي تجعل النباتات مقاومة مثل امتلاكها وسائل تثبيط ، أو تقلل من أضرار الاصابة بالمرضات في الظروف البيئية الملائمة لحدوث تلك الاصابات وهذه تعرف بالمقاومة الجهازية المستحثة Induced Systemic defence (شريف , 2012) ، ومن هذه الوسائل الوقائية هي الوسائل الدفاعية المستحثة (ISR) (2012)

PGPR) Plant Growth Promoting بكتيريا *Pseudomonas Rhizobacteria* (لتحفيز المقاومة حيث وجد عند استعمال الاجناس البكتيرية *Azotobacter chroococcum* و *Bacillus subtilis, fluorescens* بشكل مفرد وخلط أدى إلى استحثاث المقاومة الجهازية ضد فيروس CMV وكذلك حسن من مؤشرات نمو نبات الخيار كما خفض نسبة الاصابة وشدتتها (الياسري , 2016 ؛ الفضل, 2017) .

نظراً لأهمية الأمراض الفايروسيه ، ولعدم وجود دراسة سابقة عن التغيرات الحاصلة في جينومات البلاستيدات نتيجة الاصابة ولقلة الدراسات عن الفايروزات الداخلية الموجودة في جينوم النباتات ، فقد هدفت هذه الدراسة الى مقاومة بعض الفايروزات المسيبة لأمراض نباتات الخيار باستخدام بعض العوامل الإحيائية وغير الإحيائية المحفزة للمقاومة ، ومعرفة المسببات الممرضة التي تصيب نباتات الخيار في حقول الحيدرية ، بالإضافة الى معرفة فاعلية العناصر الفايروسيه الداخلية داخل الخلية المصابة ودورها في نسبة الاصابة وشدتتها باستعمال تقنية NGS لذا شملت الدراسة المحاور الآتية :

- 1- الكشف عن وتشخيص وتصنيف السلالات الفايروسيه المرضيه في نبات الخيار.
- 2- تشخيص الفايروزات الداخلية الموجودة في جينوم نبات الخيار و مدى فاعليتها .
- 3- الكشف عن التغيرات الوراثية الحاصلة في جينوم البلاستيدات الخضراء لنبات خيار مصاب وتعد هذه الدراسة الأولى في العالم إذ لم نجد دراسات سابقة مشابهة.
- 4- معرفة تأثير استعمال البكتيريا *Bacillus amyloliquefaciens* و مادتي الميلاتونين Melatonin والكتوسان Chitosan بشكل مفرد وتوليفاتهما المزدوجة في استحثاث المقاومة لنبات الخيار ضد الاصابة الفايروسيه.
- 5- تحديد الخريطة الوراثية ومحتويات الجزء غير المشفر من جينوم نبات الخيار .

الفصل الثاني

استعراض المراجع

Literature Review

Literatures Review

2. مراجعة المصادر

2.1. الأهمية الاقتصادية للأمراض الفايروسية على القرعيات :

تتصف فايروسات القرعيات بمداها العوائي الواسع ، وأن أكثرها تنتقل عن طريق مجموعة متنوعة من النواقل وتصيب المحاصيل في جميع أنحاء العالم. عشرون من هذه الفايروسات تسبب أوبئة شديدة ، مما يؤدي في بعض الأحيان إلى إصابة المحاصيل بنسبة كبيرة ، وإحداث ضرر كبير فيها ، مما يؤدي إلى التسبب بخسائر اقتصادية كبيرة على محاصيل القرعيات وغيرها من العوائل النباتية (Lecoq و Katis ، 2014).

أنّ تنوّع سلالات فايروسات القرعيات ، وتعدد طرائق نقلها ، والمدى العائلي الواسع لها ، جعل الأعراض التي تظهرها على عوائلها مهمة اقتصادياً (مكوك واخرون 2008) . وتخالف الأعراض التي تسببها تلك الفايروسات باختلاف العائل النباتي ، وسلالة الفايروس ، وهي مابين أعراض بقع موضعية ، أو تخر وموزائيك وتبرقش واصفار ، وقد يحدث تشوّه في الأوراق والثمار . كما تسبب الاصابة بهذا الفايروس تقرّم السلاميات وقصرها وصغرها في حجم الأوراق إلى النصف ، وقلة في عدد الازهار والثمار. كما أن بعضها يسبب فشل في عقد الثمار . (مكوك واخرون 2008؛ الياسري واخرون 2016) . إن هذه الأعراض تؤدي إلى ضعف نمو المحصول المصايب وقلة انتاجيته وردة نوعيته ، حيث أن اصابة الثمار وتشوهها والتأثير على كمية الانتاج ونوعيته تزيد من كونها مهمة اقتصادياً

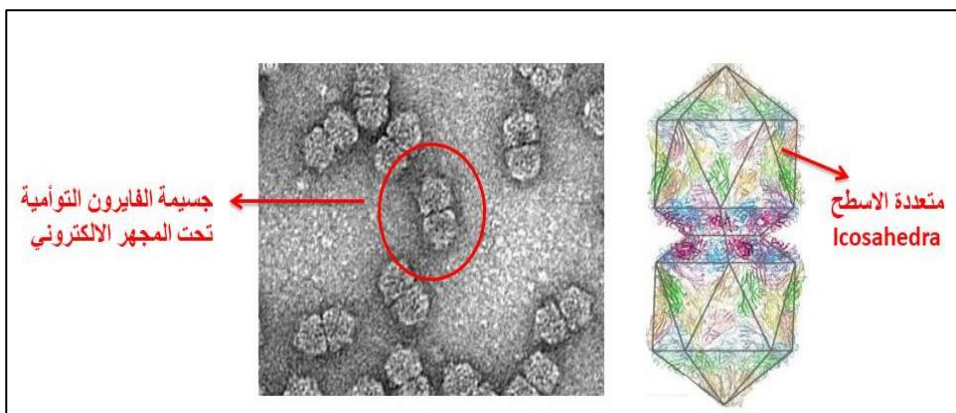
يوجد هناك العديد من الفايروسات التي تؤدي إلى خسائر كبيرة منها فايروس الموزائيك الأصفر على الكوسا *Zucchini yellow mosaic virus* (ZYMV) هو أحد الفايروسات المهمة على القرعيات ويسبب أضرار جسيمة ، وبنسبة اصابة عالية ، حيث تشمل الأعراض التي يظهرها هذا الفايروس على الشجر (الكوسا) الموزائيك الذي يشتد بتقدم المرض ، وصغر المساحة السطحية للأوراق وأعناق الأوراق . أما الأعراض على نبات الخيار ف تكون بشكل موزائيك ، وتقرّم النبات ، في حين تكون الأعراض على البطيخ بشكل بقع جهازية صفراء تتحول بتقدم الاصابة إلى موزائيك ويتوقف نمو النبات كما تظهر بثور خضراء داكنة في الأوراق الحديثة وتشوه الأوراق والثمار وصغر حجمها (Kaldis و آخرون ، 2018) .

و من فايروسات القرعيات أيضاً فايروس موزائيك الخيار *Cucumber mosaic virus* إذ أن لهذا الفايروس مدى عائلي واسع ، وتباين أعراضه من نبات لآخر وتكون الأعراض بشكل عام موزائيك ، وتقرن وتشوه الأوراق كما تظهر الأعراض على الثمار بشكل موزائيك أصفر يبدأ من قاعدة الثمرة ثم يتشر إلى بقية الثمرة وبتقدم نضج الثمرة تصبح ذات لون أخضر باهت وقد تظهر عليها بروزات باللون الأخضر كما تسبب غالباً تشوه الثمار . (مكوك واخرون 2008 ؛ الياسري واخرون 2016) . كما أن فايروس (CMV) ينتج عنه خسائر في غلة المحاصيل مع أضرار اقتصادية خطيرة Sofy واخرون ، 2020 .)

كما يعد مرض تجدد أوراق قرع الكوسا أحد أكثر الأمراض الفايروسيّة التي تسبب أضراراً على القرعيات في أنحاء العالم كافة . وفي العراق وجد أن انتشار مرض تجدد أوراق القرع على محصول قرع الكوسا في مناطق زراعته ناتج عن الاصابة المشتركة لفايروسين هما فايروس تجدد أوراق الطماطة البلمبوري (ToLCPMV) Tomato leaf curl Palampur وفايروس تجدد أوراق القرع (SLCuV) Squash leaf curl virus . كما أن استعمال الأصناف المقاومة في العراق لا تجدي نفعاً عند العدوى بالإصابة المختلفة (المساري واخرون 2020 ، .)

2.1.1 فايروس تجدد أوراق الطماطة البلمبوري Tomato leaf curl Palmpur : virus (TLCPV)

يعود فايروس تجدد أوراق الطماطة البلمبوري TLCPV وحسب اللجنة الدولية لتصنيف الفيروسات ICTV لعام 2021 إلى عائلة *Geminiviridae* ، جنس *Begomovirus* وهي فايروسان صغيرة غير مغلفة ذات حامض نووي من نوع single strand DNA احادي الشريط حلقي ، وتكون جسيمة الفايرون الكاملة توأمية متعددة الأسطح Icosahedra ذات ابعاد $\times 22 \times 38$ نانومتر وطبقة بروتين واحدة كما في الشكل (1.2) Fiallo-Olivé واخرون ، 2021 ؛ Dhkal (2022) .



شكل (2.1) جسيمة الفايرون التوأميه لجنس *Begomovirus* وآخرون Fiallo-Olivé) (2021،

يتكون الجينوم من قطعتين من الحامض النووي الاولى هي DNA-A وبلغ عدد النيوكليوتيدات فيها 2756 نيوكلويotide . أما القطعة الثانية DNA-B فيبلغ عدد النيوكليوتيدات فيها 2719 نيوكلويotide (Kulshreshtha وآخرون ، 2019 ؛ Shafiq وآخرون ، 2019 ؛ Materatski وآخرون ، 2021 ،) .

إن القطعة-A DNA تحتوي على ست جينات هي AV1، AC4، AC3، AC2، AC1 ، AC4 و AV2 وهذه الجينات مسؤولة عن بداية حدوث الاصابة من خلال تفاعل بروتين الفايروس المنتج مع بروتين العائل ، وأيضاً عن تضاعف الفايروس ، واسكات جينات العائل وضراوة الفايروس وحركته الجهازية ، في حين أن القطعة DNA-B تحتوي على جينين فقط هما BC1 مسؤولة عن انتاج بروتين الحركة الفايروسية من خلية لأخرى و BV1 مسؤول عن حركة الفايروس من وإلى داخل نواة العائل (Kulshreshtha وآخرون ، 2019 ؛ Roshan وآخرون ، 2020 ؛ Fiallo- Olivé وآخرون ، 2021)

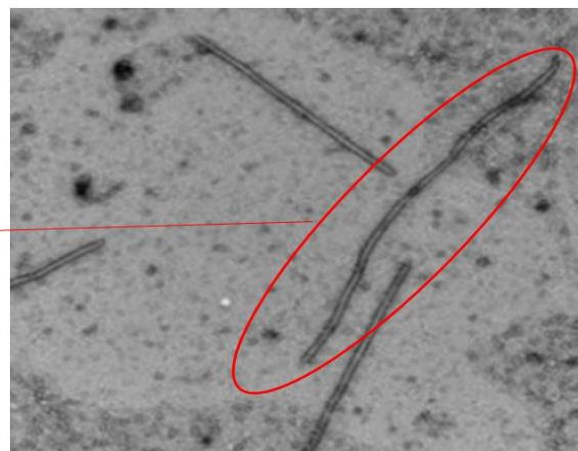
ينتقل هذا الفايروس عن طريق الذبابة البيضاء *Bemisia tabaci* وهو أحد فيروسيات *Begomovirus* التي تصيب النباتات ذات الفلقة الواحدة ، وذوات الفاقدين و تسبب أمراضًا وخيمة ، وخسائر كبيرة في مختلف المحاصيل في جميع أنحاء العالم . وتstem في انعدام الأمن الغذائي في البلدان النامية ، مما شكلت تهديدا خطيرا للزراعة القرعيات ومن بينها نباتات الخيار والبطيخ في آسيا ، وأمريكا الشمالية والجنوبية ، وأفريقيا ، وأوروبا خلال العقود الثلاثة الماضية بالإضافة إلى القرعيات ، فهو يصيب نباتات الطماطة والفلفل والباذنجان (- Hanley وآخرون 2013؛ Mehraban 2020؛ Abkhoo 2020؛ Fiallo-Olivé 2020؛ Dhkal 2022؛ Kumari 2022؛ Ramazani 2021؛ وآخرون ،

، *Heliotropium europaeum* sp و *Chenopodium* 2022 يسبب فايروس TLCPV وباءً مدمرةً على محاصيل الخيار ، والبطيخ ، وقرع الكوسا ، حيث كانت نسب الاصابة به تتراوح من 50 - 100 % . ويحدث المرض في البيوت البلاستيكية والأنفاق البلاستيكية والمزارع المفتوحة . إن انتشاره السريع أدى إلى ظهور تهديد جديد خطير للإنتاج الزراعي في جميع أنحاء الشرق الأوسط.(Heydarnejad وآخرون ، 2013)

تمثلت الأعراض بشكل عام بتجعد الأوراق و الموزانيك الخفيف بشكل بقع خضراء غير منتظمة متبادلة مع بقع صفراء ، والتلف الأوراق للأسفل ، وأيضاً تشوه البراعم ، والثمار ، وضعف النمو ثم توقفه ، وصغر حجم الأوراق و اصفار شديد، وتحطط نخري . تختلف هذه الأعراض باختلاف النوع النباتي ، و الصنف النباتي والعزلة الفايروسية (Heydar Nezhad Sabouri و 2013 ، Heydarnejad و آخرون (a) ، 2020 ، Dhkal و آخرون (b) ، 2020 ، Hanamasagar و آخرون ، Dhkal و آخرون (a) ، 2021 ، Kumari و آخرون 2021 ، Venkataravanappa و آخرون ، 2021 .

2.1.2. فايروس اصفار عروق القرع *Squash vien yellowing virus* (SVYV)

اكتشف فايروس اصفار عروق القرع لأول مرة في فلوريدا Florida في الولايات المتحدة في عام 2003 (Hernandez و آخرون ، 2021) . صنفت اللجنة الدولية لتصنيف الفيروسات ICTV لعام 2022 هذا الفايروس إلى عائلة *Potyviridae* جنس *Ipomovirus* و يتبع الفايروس بكون الجسيمة الفايروسية عصوية مرنة flexible filamentous بطول 840 نانومتر تقريبا كما في الشكل (2.2) ويكون حامضها النووي من النوع الرايبو موجب مفرد الشريط ssRNA^+ والوزن الجزيئي لبروتين الغطاء البروتيني يتراوح بين 41-35 كيلو دالتون وعدد النيوكليوتيدات الكلي بلغ 9836 نيوكلويوتيد يحتوي على اطار قراءة مفتوح واحد يسفر ببروتين متعدد polyprotein (Adkins و آخرون ، 2007 ، Li و آخرون ، 2008 ، Inoue- Nagata و آخرون ، 2022) .



شكل (2.2) جسيمة فايروس Squash Vein Yellowing Virus وآخرون، Adkins (2007).

يتم نقل الفايروس عن طريق الذبابة البيضاء *Bemisia tabaci* بالطريقة غير الباقية- non-persistent manner كما أنه ينقل ميكانيكيا وبالتطعيم (Inoue-Nagata و آخرون ، 2022). أن الاصابة بفايروس اصفار عروق القرع SqVVYV تؤثر على تضليل ، واستقرار ، وضع البيض للذبابة البيضاء وقد عزيّ سبب ذلك إلى التغيير الحاصل في لون النبات المصابة (Shrestha و آخرون 2019) . كما كان التطور من البيضة إلى البالغة أقصر بمقدار 3 أيام على نباتات القرع المصابة بالعدوى وعاشت الإناث أطول بنسبة 25٪ ولديهن خصوبة أعلى في نباتات القرع المصابة (Shrestha و آخرون 2017) .

وجد أن الحشرة الذبابة البيضاء *Bemisia tabaci* تتجذب إلى النباتات المصابة بالفايروسات ، حيث أن الاصابة الفايروسية تزيد من ارتفاع نسبة الاحماض الامينية الحرة في العائل النباتي مما يؤدي إلى حدوث إصابة مشتركة (Guo و آخرون ، 2019) .

اقتصر المدى العائلي على الأنواع في عائلة القرعيات Cucurbitaceae (في القرع والبطيخ)، واستبعدت الأنواع في عائلات Asteraceae و Apocynaceae و Amaranthaceae و Solanaceae و Malvaceae و Fabaceae و Chenopodiaceae و Cucumis و Momordica charantia L مثل (Adkins 2007، Shrestha 2016 و آخرون ، 2007) ، وجد أنه يصيب بعض الأدغال مثل *Melo var. dudaim* (L.) Naud

كانت الأعراض على القرع بشكل موزائيك ، وتجدد الأوراق وشحوبها وأصفرار عروقها (Hernandez وآخرون ، 2021) . أما على البطيخ فكانت الأعراض بشكل ذبول جهازي وأصفرار للأوراق مع نخر على الأوراق والسيقان . في بعض الحالات الشديدة تؤدي إلى موت النبات ، وكذلك يحصل تدهور قشرة البطيخ ، وتعفن داخلها ، مما يؤدي إلى ثمار غير قابلة للتسويق (Webster وآخرون ، 2010 ؛ Reingold وآخرون، 2016) .

2.2. الفايروسات الداخلية العكسية (EPRVs) : Pararetroviruses

إن التقدم في تقنية معرفة التسلسل النيوكلويتيد الكامل للنبات العائل Next generation sequencing (NGS) و ظهور الاصابة الفايروسية على النبات بظروف الاجهاد من دون حدوث اصابة خارجية أدى إلى اكتشاف الفايروسات الداخلية العكسية Endogenous pararetroviruses في النباتات (Alisawi ، 2019) .

إن الفايروسات الداخلية العكسية (EPRVs) هي عبارة عن احماض نوية مزدوجة الشريط تعود إلى عائلة فايروس موزائيك القرنابيط *Caulimoviridae* ، وهي من فايروسات الاستنساخ العكسي ، تكون مدمجة داخل جينوم العائل النباتي ، التي يفترض أنها نشأت منذ 1.6 مليار سنة (Richert-Pöggeler ، 2021 ؛ Schmidt وآخرون ، 2021)

معظم هذه الفايروسات غير معدية بسبب التجزئة ، واعادة الترتيب تقتصر إلى جين متكمel وقد يحدث التكميل من خلال انزيمات اعادة تركيب العائل وآلية اصلاح الحامض النووي ، كما أن نسخ قليلة من الجينومات الفايروسية تحوي اطارات قراءة مفتوحة سليمة نسبيا Open reading frames (ORFs) ، التي من المحتمل أن تكون قادرة على اعادة التركيب ، مما يؤدي إلى تجديد فايروس قادر على احداث الاصابة (Schmidt وآخرون 2021) .

إن أجناس هذه الفايروسات المشخصة هي (*Caulimovirus* , *Soymovirus* , *Cavemovirus* *Solendovirus* , *Petuvirus* , *Badnavirus* , *Rosadnavirus*، *Florendovirus* و *Tungrovirus*) و يعد الجنس الأكثر وجوداً في المملكة النباتية (Geering و Hull ، 2012 ؛ Diop وآخرون ، 2018).

يقوم الجينوم النباتي من خلال عامل اسكات الجين Gene silencing للسيطرة على بعض هذه الفايروسات، وابطال قدرتها على احداث العدوى، بحيث لا يستطيع التحرر من موقعه ، ويبقى ساكناً كجزء طبيعي من جينوم العائل ، وينقل عبر الاجيال ، وهذه تعرف بالوراثة اللاجينية (Schmidt وآخرون 2021) .

تميل الفايروسات الداخلية العكسية إلى الاختباء في المناطق غير المتجانسة في جينوم العائل، التي ربما تعمل على استقرارها من خلال آليات الوراثة اللاجينية، ومن ثم الحد من شدة الضرر، والسماح بالاحتفاظ بها على المدى الطويل في الجينوم (Schmidt وآخرون 2021). أما البعض الآخر فلا يخضع لهذا العامل نتيجة لارتباطه الضعيف بجينوم العائل وكونه غير مستقر Unstable وتقوم عوامل الاجهاد بكسر سكون هذه الفايروسات، واعادة تنشيط هذه التسلسلات الفايروسية من خلال الاستنساخ العكسي Reverse transcription ، وتحول من الـ DNA إلى mRNA ثم إلى DNA مرة أخرى وتقوم بتشكيل جسيمات فايروسية كاملة بعد تكوينها للغلاف البروتيني واعادة التركيب ومن ثم تكون فايروسات غالباً ما تكون مرتبطة بامراض مدمرة. لم يعرف لحد الان ما إذا كان لهذه الوحدات دور في مساندة أو تضاد الاصابات الفايروسية التي تقوم بها فايروسات من العائلة نفسها أو من مجموعة RNA (Geering وآخرون ، 2014 ؛ Alisawi ، 2019).

ومن الفايروسات الداخلية المسجلة ، التي أعادت فاعليتها باحداث الاصابة على النباتات هي :

- فايروس شفافية عروق البيتونيا *Petuvirus* من جنس *Petunia vein clearing virus* فايروس تخطط الموز *Banana streak virus* من جنس *Badnavirus* .

- فايروس شفافية عروق التبغ *Tobacco vein clearing virus* من جنس *Soymovirus* (Geering وآخرون ، 2014 ؛ Alisawi ، 2019).

- في العراق مؤخراً وجد أن الفايروس الداخلي في نبات التين 1 *Fig badnavirus-1* يشترك مع فايروس FMV في احداث الإصابة المرضية (Zugier وآخرون ، 2021).

كما تم الكشف عن وجود بعض الفايروسات الداخلية العكسية في بعض النباتات حيث تم الكشف عن الفايروس الداخلي *Caulimovirus* من جنس *Lyc EPRVs* في جينوم نبات الطماطة وكذلك *Florendovirus* و *Caulimovirus* في جنس *Tobacco vein* (الخاجي وآخرون ، 2022) و الفايروس الداخلي *Abass* ، *Lahuf* ، *clearing viru* من جنس *Soymovirus* في جينوم نبات الطماطة (2023) وأيضاً الفايروس الداخلي *Caulimovirus-VUn* من جنس *Caulimovirus*-VUn في نبات اللوبيا (عباس ، 2023).

تحتوي الفايروسات الداخلية العكسية على مناطق بروتينية مشفرة من ضمنها منطقتين موجودة في كل الفايروسات الداخلية العكسية وهما RT و المسؤول عن عملية الاستنساخ العكسي من RNA إلى cDNA من خلال انزيم الاستنساخ العكسي Reverse Transcriptase والمنطقة البروتينية RnaseH المسئولة عن تضاعف الحامض النووي DNA للفايروس الداخلي ونسخه بأعداد كثيرة ومنع تكوين أشرطة RNA (الخاجي ، 2022).

2.3. تأثير الاصابة الفايروسيّة على فسلجة النبات المصاًب : Virus infected plant

التفاعل بين النبات والفايروس يؤدي إلى تغييرات كبيرة في فسلجة النبات مما يؤثر على أدائه فتتعكس بشكل تغيرات ظاهرية على أجزاء النبات المختلفة قد تكون هذه التغيرات المرضية كثيرة ، وشديدة على عوائلها التي تصيبها مثل الإصابة بالاصفار أو النخر أو تقع الأوراق أو التشوه الشديد ، على الرغم من أن الفايروسات لا تحتوي على آية إنزيمات ، سموم أو مواد أخرى تعد مساهمة في الإمراضية Pathogenicity ، مع ذلك يمكن القول أن الحامض النووي الفايروسي (RNA ، DNA) هو العنصر الوحيد المسبب للمرض . ولكن مجرد وجود الحامض النووي الفايروسي ، أو الفايروس الكامل في النبات وحتى بتراكيز عالية لا يعد سبباً كافياً لظهور الأعراض المرضية ، إذ أن بعض الفايروسات قد تتوارد في النباتات بتراكيز عالية تعطي أعراض مرضية أقل حدة من أخرى موجودة في النباتات بتراكيز قليلة (قاسم ، 2011 ؛ شريف ، 2011 ؛ Mofunanya ، 2020 ؛ Ertunc ، 2021 ؛ الفضل ، 2021 ؛ وآخرون ، 2021) .

وهذا يدل على أن الأعراض المرضية الفايروسيّة على النبات لا ترجع بالأساس إلى استنزاف العناصر الغذائية التي حررت باتجاه تخليق الفايروس ذاته فقط ، ولكن إلى تأثيرات أخرى للفايروس أكثر تأثيراً على أيض العائل . إن هذه التأثيرات ربما تأتي عن طريق تحفيز الفايروس للعائل على تخليق بروتينات جديدة تكون بعضها مواد فعالة بيولوجياً (إنزيمات ، هرمونات ، سموم ... الخ) يمكن أن تتعارض مع الأيض الطبيعي للعائل (قاسم ، 2011؛ شريف ، 2011؛ الفضل ، 2021؛ Biju ، 2022) .

يمكن تلخيص أهم التأثيرات الفسلجية التي يحدثها الفايروس في عائله النباتي عند تحقيقه للإصابة بما يأتي :

1. تؤثر الاصابة الفايروسيّة بشكل عام على أيض النبات الأولي ، والثانوي مما يؤدي إلى ظهور الأعراض المرضية قد تصل إلى موت النبات أو أجزاء منه .
2. تؤثر الاصابة الفايروسيّة على عملية التنفس ، ففي بداية الإصابة ممكن أن يزداد التنفس وثم ينخفض بشكل كبير عند تقدم الإصابة .
3. يؤثر على إنزيمات الاكسدة مثل إنزيمات بيروكسيداز (POD) peroxidase و بوليفينول أوکسیدیز polyphenol oxidase (PPO) .
4. خفض في محتوى الكلوروفيل مما يؤدي إلى تقليل التمثيل الضوئي في الخلايا ، وكذلك الزيادة في الكروتين و الاكزانتنول ، مما يؤدي إلى ظهور أعراض التغيرات اللونية كالاصفار و الموزائيك .

5. تؤثر الاصابة الفايروسيّة على ايض الكاربوهيدرات ، حيث تزداد الكاربوهيدرات القابلة للذوبان في حال الاصابة ببعض الفايروسات تجتمع في الأوراق المصابة لقلة استعمال الأوراق لها وكذلك عدم انتقالها إلى الاجزاء الأخرى ؛ بسبب حدوث ضرر في اللحاء من خلال انسداد الانابيب المنخليّة sieve tube مما يؤدي إلى ظهور اعراض التجعد والالتفاف بالإضافة إلى سmek الورقة.
6. تؤثر الاصابة الفايروسيّة على عملية النتح ، حيث يحدث خلل في التوازن المائي عند الاصابة الفايروسيّة إذ يقل محتوى الماء النسبي (RWC) relative water content مما يؤدي إلى اعراض الذبول أو تبيّس الأوراق .
7. تسبّب الاصابة الفايروسيّة خللاً في أيض الهرمونات النباتية ، مثلًا : تنخفض مستويات الأووكسين Auxin بشكل كبير في النباتات المصابة بالفيروس ، الذي يتحكم في العديد من جوانب تكوين الأعضاء النباتية ، وتطورها ، ونموها ، مما يؤدي إلى اعراض ضعف النمو ، والتقدّم ، وصغر حجم الأوراق ، والثمار ، وحدوث التشوهات .
8. تؤثر الاصابة على الاحماض النوويّة الخلويّة والرايبيوسومات ، حيث أنها تؤثر على تخليق rRNA لخلايا العائل ، وهذا التأثير يتباين باختلاف الفايروس وسلالاته ، ووقت الاصابة ، ونوع العائل ، ونوع النسيج المصاّب ، كما وجد أن كمية RNA الفايروس المخلقة تساوي كمية RNA الخلية المدمر بسبب الاصابة . لم يثبت تأثير الحامض النووي الفايروسي على DNA العائل رغم وجود هذا احتمال ولغاية انجاز هذه الدراسة.
9. التأثير على الاحماض الأمينيّة من خلال زيادة في بعض الاحماض الأمينيّة مثل الجلوتامين Glutamine والاسبارجين Asparagine وظهور حامض البيبيكوليك Pipecolic ومن ثمّ تغيير نوع البروتينات ، وتراكيزها في النبات المصاّب ، كما تحصل زيادة في الأحماض الأمينيّة الحرة ، التي تجذب الحشرات الناقلة للفايروسات مثل الذبابة والمن .
10. نقص في عنصر النتروجين : تستهلك الفايروسات 35-60% من النتروجين الموجود في النبات المصاّب ، وعلى الرغم من نقصه في النبات إلا أن الفايروس يسيطر على العمليات الحيويّة في الخلية ومن خلال التحلل المائي لبروتينات العائل يحصل على النتروجين لبناء نفسه وتضاعفه .
11. يعدّ الفسفور مكون أساسى في كل الفايروسات ولا يعرف مصدر الفسفور الفايروسي إلا أن بعض التجارب أكّدت حصول زيادة في كمية الفسفور الفايروسي مع انخفاض في كمية الفسفور غير الذائب في الخلايا .
- (قاسم، 2011؛ شريف، 2011؛ Ertunc، 2019؛ Guo وآخرون، 2020؛ Biju، 2021؛ Mofunanya وآخرون، 2021؛ الفضل، 2022؛ واخرون، 2022)

2.4. تأثير الاصابة الفايروسيّة على البلاستيدات الخضراء Effect of viral infection on chloroplasts

تعد البلاستيدات الخضراء واحدة من أكثر العضيات ديناميكية في الخلية النباتية، إذ يكون لها عدة وظائف مهمة في الخلية ، مثل : عملية البناء الضوئي ، كما تقوم بتحميم الهرمونات النباتية الرئيسية ، وتلعب دوراً فعالاً في الاستجابة الدفاعية ، كما لها دور مهم للإشارات بين العضيات المختلفة ومن ناحية أخرى ، تعد الفايروسات استراتيجيات تعالج فيها البيئة الداخلية للخلية المصابة. إذ تتعرض البلاستيدات الخضراء ، وهي هدف رئيسي للفايروسات ، لأضرار هيكلية ، ووظيفية هائلة في أثناء العدوى الفايروسيّة ، حيث أنها تؤثر على معدل تركيب البناء الضوئي للنباتات المصابة مما يؤدي إلى ظهور أعراض الأصفرار ، والموزائيك على الأوراق ، مع انخفاض تركيز الكلورو菲ل فيها ومن ثم تتحفظ الكاربوبهيرات ، كما يصاحب تضاعف الفايروس استهلاك المواد النتروجينية ، التي تدخل في صنع الاحماض الأمينية ، والقواعد النتروجينية ، التي تدخل في تكوين الحامض النووي للفايروس (Chakraborty و Bhattacharyya ، 2012؛ شريف ، 2018 ، 2018).

ومن الاضرار المباشرة التي تسببها الفايروسات على البلاستيدات الخضراء كما ذكرها (Zhao و آخرون ، 2016؛ Chakraborty و Bhattacharyya ، 2018) :

1. تغير الفايروسات التركيب الحيوي للدهون والافراط في التعبير عن بروتينات ربط الدهون .
2. تؤثر العدوى الفايروسيّة على ايونات الكالسيوم Ca^{2+} وبالتالي قد يؤثر ذلك على الخصائص الكيميائية الاحيائية لبروتينات المستشعر (SYTA) synaptotagmin التي تشبه Ca^{2+} ، التي بدورها تساعد المكون الفايروسي على التحرك من خلال (PD Plasmodesmata) للحركة من خلية إلى خلية .
3. تحبس البروتينات الفايروسيّة العديد من البروتينات الموضعية بالبلاستيدات الخضراء في العصارة الخلوية.
4. مظهر غير طبيعي للبلاستيدات الخضراء ، مثل منتفخة أو كروية، تكسر غشاء البلاستيدات الخضراء - النتوءات المقيدة أو البلاستيدات الخضراء على شكل الأمبيويد (نوع من الامتدادات الأنبوية الديناميكية من البلاستيدات الخضراء).
5. انخفاض أعداد البلاستيدات الخضراء وتجميئها في مناطق من دون أخرى في النبات
6. تغير الهياكل الخارجية غير المنتظمة للغشاء مثل الحويصلة المحيطية .
7. تغييرات المحتوى داخل البلاستيدات الخضراء مثل الحويصلات الصغيرة أو الفجوات ، الكيس الغشائي الكبير ، حبيبات النشا العديدة و / أو المتضخمة .

8. إن العدوى الفايروسية تؤثر على مستويات التعبير عن الجينات المرتبطة بالبلاستيدات الخضراء (Chaturvedi وآخرون ، 2016).

تستغل الفايروسات بنية الغلاف المزدوج للبلاستيدات الخضراء لانشارة داخل الخلية النباتية من خلال احتواء غلاف الفايروس بروتين م ضمن مطابق للبيتide العابر لبروتينات البلاستيدات الخضراء مما يساعد الفايروس على العبور والانتقال . على الرغم من أن البلاستيدات الخضراء تعاني من نقص في آلية إسكات الجينات ، إلا أنها تثير الاستجابة المناعية ، التي يشير لها المستجيب ضد مسببات الأمراض الفايروسية. إذ تتفاعل المنتجات الجينية لفايروسات مختلفة مع بروتينات البلاستيدات الخضراء المختلفة داخل العضية أو السايتوبلازم ، وتثير استجابة الدفاع كما تسبب عدوى الفايروس في تحريض / تراكم محسن للقنوات الأنوية ، التي تشارك في كل من الانتشار الفايروسي والدفاع المضاد للفايروسات حيث يتم نقل إشارة رجعية شديدة الحساسية بواسطة الاستجابة من البلاستيدات الخضراء إلى النواة، وأيضا من خلال بروتين تحديد الموضع للبلاستيدات الخضراء ، تتحرك الفايروسات داخل الخلايا وبينها ، وكذلك يحدث الموت الخلوي المبرمج من خلال التفاعل مع الغلاف الفايروسي لإسكات الجينات ، تتدخل بروتينات البلاستيدات الخضراء مع آلية الدفاع المضاد للفايروس (Bhattacharyya و Chakraborty ، 2018).

تحدث الاصابة الفايروسية تدمير في صفائح الكرانا ، مما يؤدي إلى انخفاض مستويات صبغات البناء الضوئي أو انزيم 1-Ribulose-5-bisphosphate carboxylase-Oxygenase (rubisco) (الذي يشارك في الخطوة الأولى لثبيت الكربون ، التي يتم من خلالها تحويل ثاني أوكسيد الكاربون في الغلاف الجوي إلى جزيئات غنية بالطاقة مثل الجلوكوز داخل الكائنات التي تقوم بعملية البناء الضوئي) ، وأيضا انخفاض في سرعة التفاعل الكيموبيولوجي (الذي يشطر جزيئات الماء إلى أوكسجين حر) ، أو يحدث انخفاض في كميات البروتينات المتخصصة التي ترتبط بجزئيات النظام الضوئي (قاسم ، 2011).

أدت عدوى فايروس موزائيك الحبوب (CMV) على المدى الطويل إلى انخفاض معدلات التمثليل الضوئي والتنفس ، كما ظهرت هذه النتائج أن اضطراب التمثليل الضوئي ، ونقل الإلكترون التنفسية بواسطة CMV أثر أيضاً على الأنظمة المضادة للأكسدة ، مما أدى إلى الإجهاد التأكسدي في العضيات المختلفة (Song وآخرون ، 2009) ، التفاعل بين الغلاف البروتيني - CMV و Fd I Qiu Chloroplast ferredoxin I هو المحدد الأساسي لظهور أعراض الموزائيك في التبغ (Barley stripe mosaic virus (BSMV) وآخرون ، 2018) كما أن عدوى فايروس موزائيك الشعير الشريطي (Wang وآخرون ، 2021).

إن الخلية المصابة بفايروس TMV تحتوي بلاستيدات خضراء أكبر ب(20%) من خلية نبات سليم و أن الخلايا المصابة بفايروس ZYMV أصغر (19%) و كلاهما يحتوي على عدد أقل من البلاستيدات الخضراء (Zechmann ، واخرون ، 2021).

حدوث تشوہات في البلاستيدات الخضراء لخلايا نبات بنجر السكر المصابة بفايروس موزائيك الخيار على شكل غلاف مكسور من البلاستيدات الخضراء مع وجود العديد من كريات النسا الطويلة، كما كشفت المقاطع الرقيقة للغاية ، وجود جسيمات بلورية في البلاستيدات الخضراء ، كما للاصابة تأثيرات خطيرة تقلل من وظائف البلاستيدات الخضراء في نباتات بنجر السكر ، التي قد تضر بعملية التمثيل الضوئي (Mokbel ، واخرون ، 2020).

2.5. تقنية تسلسل الجيل القادم او تسلسل الجينوم الكلي : sequencing (NGS) or Whole Genome Sequencing (WGS)

يتم اعتماد تقنية تسلسل الجيل القادم (NGS) على نطاق واسع ، وهي طريقة لمعرفة التسلسل لملايين الأجزاء من الحامض النووي ، كما لها قدرة على تحليل عدة جينات أو مناطق جينية باستعمال اختبار واحد مقارنة بالطرائق التقليدية ، وأيضا للجينوم بأكمله ، فقد تطور استعمال NGS كما هو الحال مع آلة تقنية جديدة (Yohe وآخرون ، 2017) . حيث أتاح ظهور تسلسل الجيل القادم (NGS) تحديد الطفرات ورسم خرائط لها بسهولة في مدة قصيرة ، وبتكلفة منخفضة نسبياً . يعد تحديد الطفرات الجينية والجينات التي تكمن وراء التغيرات المظهرية أمراً ضرورياً ، لفهم مجموعة واسعة من الوظائف الاحيائية . كما أن لها أهمية بتسهيل اساليب تحرير الجينوم ، واحداث الطفرات للعديد من المحاصيل المهمة جعلت تقنيات NGS إجراءات رسم الخرائط ، والتسلسل أكثر جدوى وأصبحت أداة أساسية لعلماء وراثة المحاصيل لتحديد وتوصيف الاختلافات الجينية المرتبطة بالسمات المهمة اقتصادياً . فقد تم تطوير العديد من الأساليب الجينية المتقدمة عالية الإنتاجية والقائمة على NGS وتطبيقاتها في محاصيل مختلفة . كما انها ساعدت في تحديد الاختلافات الوظيفية التي تحدث في الجينات (Sahu وآخرون ، 2020) .

أن الفايروسات تسبب خسائر كبيرة في غلة ، وجودة المحاصيل المختلفة ، ومن ثم فإن الكشف عن الفايروسات ، وتشخيصها هو أمر ضروري ؛ لتحسين انتاج المحاصيل وله أهمية كبيرة فيما يتعلق بالأمن الغذائي العالمي . على الرغم من أن اعتماد التقنيات الجزيئية مثل -RT PCR قد زاد من سرعة تشخيص الفايروسات ودقته ، لكنها تسمح فقط باكتشاف الفايروسات المعروفة ، التي يحددها الباحث اعتمادا على الأعراض . لذلك ، لا يمكن كشف الفايروسات غير المعروفة وتشخيصها ، وأيضا هذه الاختبارات تكون بطيئة ومكلفة ، ولذلك تم تطوير طرائق الكشف عن فايروسات متعددة في آن واحد من هذه الطرائق هي NGS ، التي تعتمد على استخلاص الجينوم الكامل ، فأصبح الأن محوراً رئيساً في هذا المجال ؛ لأن هذه التقنية لا تسمح بالتحيز والفرضيات . وأيضا تم تطوير بروتوكولات NGS القادرة على تشخيص العديد من الفايروسات المعروفة وغير المعروفة الموجودة في النباتات المصابة ، فربما تكون أعراض الأمراض غائبة أو غير محددة أو تسببها فايروسات متعددة ومن خلال هذه التقنية تم اكتشاف فايروسات جديدة لم تكن معروفة سابقاً هي فايروسات *Cytorhabdovirus* (Jones وآخرون ، 2017) ، Shahid و Raza (2017) .

تنصف هذه التقنية بالحصول على تشخيص سريع وغير مكلف وموثوق به لأي عدوى فايروسي معينة ومن ثم معرفة طريقة مكافحة هذه العوامل الممرضة في كل مكان والسيطرة عليها. أحدثت

التطورات الأخيرة في تقنيات تسلسل الجيل التالي NGS والمعلوماتية الاحيائية تغييراً جذرّياً في البحث عن مسببات الأمراض الفايروسيّة وتشخيصها (Massart وآخرون ، 2014) .

إن لعمليات التشخيص الحديثة ، وتطور هذه التقنيات دوراً مهماً في الحجر الزراعي في استراليا ، يلعب الحجر الصحي بعد الدخول Post Entry Quarantine (PEQ) دوراً مهماً في المعركة ضد دخول فايروسات وسلطات نباتية جديدة إلى أستراليا. تم اعتراض أكثر من 150 نوع من مسببات الأمراض النباتية الغريبة بما في ذلك عدد من مسببات الأمراض فايروسيّة المهمة مثل (*Plum pox virus, Grapevine fan leaf nepovirus, Citrus tristeza virus*) . وهذا يسلط الضوء على أهمية ضمان اختبار أفضل التطورات العلمية والتشخيصية وتقييمها وتنفيذها باستمرار في أنشاء تطورها (Raza و Shahid ، 2020 ؛ Whattam وآخرون ، 2021) ، من المهم أن نفهم علم الجينوم الفايروسي فأن تقدم تقنيات NGS أنساب منصة للتسلسل السريع لفايروسات النبات ، مما يكون لدينا فهم أفضل لتضاعف الفايروسات ومسببات الأمراض. من ناحية أخرى ، تلعب قواعد البيانات الاحيائية الأولية ، مثل بنك الجينات GenBank وبنك بيانات DNA الياباني Data Bank of Japan (DDBJ) والمخابر الأوروبي للبيولوجيا الجزيئية European Molecular Biology Laboratory (EMBL) دوراً مهماً في استرداد البيانات وتحليلها. (Raza و Shahid ، 2020) . أما في العراق فقد استخدمت تقنية NGS لأول مرة على نباتات الطماطة سنة 2021 لتحديد التسلسل النيوكليوتيدي الكامل لفايروس TYLCV (العابدي وآخرون ، 2021) ، وكذلك تم معرفة التسلسل الكامل للعزلة العراقية لفايروس موزائيك التين Fig mosaic virus (FMEV) (زغير وآخرون ، 2021) كما شخص فايروس موزائيك وترقش وتشوه ثمار البانجأن (*Eggplant mild leaf mottle virus*) (الخفاجي وآخرون ، 2022) .

2.6. تقنيات المعلوماتية الحياتية : Bioinformatics techniques

المعلوماتية الاحيائية هي فرع جديد من فروع العلوم ، الذي يتعامل مع استحواذ ، وتخزين ، وتحليل ونشر البيانات الاحيائية بمساعدة علوم الكمبيوتر وتكنولوجيا المعلومات. فهي قادرة على تحليل كمية هائلة من البيانات الاحيائية بسرعة وفاعلية من حيث التكلفة . في العقود الماضية ، تم إنشاء معلومات تسلسل هائلة بسبب التقدم في تقنيات تسلسل الحامض النووي والبروتين. أصبح من الضروري تقدير أوجه التشابه بين التسلسالات الاحيائية للحصول على معلومات مخفية موجودة داخل التسلسل ولتتبع العلاقة التطورية الموجودة داخل التسلسالات (Samal وآخرون ، 2021).

2.6.1. برنامج المستكشف للتسلسل المتكرر :Repeat explorer program

يشكل الحامض النووي المتكرر أجزاء كبيرة من الجينومات النوية النباتية والحيوانية ، ومع ذلك فإنه يظل أقل مكونات الجينوم تميزاً في معظم الأنواع التي تمت دراستها حتى الآن (Novák وآخرون ، 2013) . يعد برنامج RepeatExplorer الذي يحوي مجموعة من الأدوات البرمجية للتحليل الخطي لمحتويات الحامض النووي المتكرر من ضمن بيانات تسلسل الجيل القادر ، فهو يكشف عن التكرارات الترادفية المرتبطة بالعناصر ، وأيضاً للكشف عن عائلات التكرارات الترادفية المشتقة ، التي يمكن الوصول إليها عبر واجهة الانترنت web . ويتم فيه استعمال خوارزمية تجميع التسلسل المستند إلى الرسم البياني ، وأن هذه الخوارزمية تسهل تحديد التكرار في أي جينوم ، باستعمال كميات صغيرة نسبياً من قراءات التسلسل القصير ، فهو مثالي لتحليل قراءات تسلسل الجيل القادر NGS (Novák وآخرون ، 2013؛ Silva وآخرون ، 2019؛ Vitales وآخرون 2020؛ العابدي وآخرون . 2021).

كما تتوفر فيه أدوات إضافية لمساعدة في اجراء شرح توضيحي للعناصر ، وفي تصنيف التكرارات المحددة ، وتحديد التكرارات الترادفية كما استعمل كمصدر معلومات لاستنتاج العلاقات التطورية بين الأصناف وإجراء تحليل مقارن للتكرارات للنوع الواحد ، وكذلك بين الأنواع المتعددة. يسمح الخادم بتحليل عدة ملايين من قراءات التسلسل ، مما يؤدي عادةً إلى تحديد معظم عمليات تكرار النسخ العالية ، والمتوسطة في جينومات النبات. كما أنه يكشف عن جميع Sat DNAs لنوع معين من الكائنات ، الذي يعد من بين أكثر DNA تكراراً الموجود في جينومات حقيقيات النوى ، حيث أنها تشارك في مجموعة متنوعة من الأدوار البايولوجية ، من

كونها مكونات لبناء كروموسومات مهمة إلى تنظيم الجينات. (Novák وآخرون ، 2013 ؛ Novák وآخرون 2020 ؛ Vitales وآخرون 2019 ؛ KtsSilva وآخرون ، 2020) .

وأيضا يمكن أن يكشف عن تسلسلات الاحماض النووي الفايروسية الموجودة في قراءات تسلسلات النبات الكلية لنبات مصاب ، وكذلك يكشف عن الفايروسات الداخلية الموجودة في الجينوم النباتي (العابدي وآخرون ، 2021).

:Geneious 2.6.2 منصة

إن منصة Geneious هو أحد وأكثر المنصات الرائدة ، وغير المجانية في المعلوماتية الحياتية . فهو قاعدة بيانات متخصصة ، وأداة بحث قوية يحتوي حزمة من البرامج ، وأدوات تحليل التسلسلات ويسهل تحليلات النشوء والتطور كما يمكن من خلاله تحديد DNA البلاستيدات الخضراء (cpDNA) والحمض النووي الريبوسومي النووي nuclear chloroplast DNA (cpDNA) والحمض النووي للميتوكوندريا mitochondrial DNA (mtDNA) والحمض النووي للبروتوكوندرية ribosomal DNA (Ripma) (mtDNA) (2014).

يستخدم البرنامج لدمج القراءات الأمامية والعكسية للقراءات الخام Raw reads حيث تتراصف القراءات الأمامية مع القراءات العكسية المطابقة لها ، وتجري هذه العملية قبل البدء بتشخيص هوية التسلسلات بالبرامج الأخرى لاحقا (العابدي ، 2021؛ زغير ، 2021 والخاجي ، 2022)

يحيى على Map to reference وهي أداة تربط قراءات التسلسلات غير المعروفة ، وتطابقها مع قراءات التسلسلات المعروفة ، وبذلك يمكن معرفة أوجه التشابه بينها وبين التسلسل المرجعي ، كما أن هذه الأداة تقدم النتائج بشكل تقرير تحدد فيه النسبة المئوية للتسلسل المشخص للحمض النووي الكلي ، وأيضا عدد النسخ لهذا التسلسل ، كما يمكن من خلاله رسم الشجرة الوراثية للكائن المشخص (العابدي وآخرون ، 2021 ؛ الخاجي ، 2022).

من تقنيات المعلوماتية الحياتية Bioinformatics الأخرى هي (NCBI National Center for Biotechnology Information) وهو المركز الوطني لمعلومات التكنولوجيا الاحيائية في الولايات المتحدة الأمريكية يوفر مجموعة كبيرة من موارد المعلومات والبيانات الاحيائية لدعم البحث في جميع أنحاء العالم ، بما في ذلك قاعدة بيانات تسلسل الحامض النووي بنك الجينات (BLAST) Basic Local Alignment Search Tool و GenBank (العابدي وآخرون ، 2021 ؛ Sayers ، 2021).

إن (BLAST) هو عبارة عن برنامج عبر الإنترن特 وهو من الأدوات الأساسية لأبحاث علوم الحياة ، فمن خلاله يمكن إجراء مقارنة التسلسلات الأولية (تسلسل الأحماض الأمينية للبروتينات أو النيوكليوتيديات في تسلسل الحامض النووي DNA و / أو الحامض النووي الريبي RNA) مع تسلسل قاعدة البيانات وبحسب الدالة الاحصائية (العابدي واخرون ، 2021 ؛ Samal واخرون ، 2021). يحتوي هذا البرنامج خمسة أنواع يتم تمييزها بناءً على نوع التسلسل (نيوكليوتيديات أو البروتين) :

- 1 BLASTn : يقارن بين تسلسل النيوكليوتيديات المراد معرفته بقاعدة بيانات تسلسل النيوكليوتيديات.
- 2 BLASTp : يقارن بين تسلسل بروتيني مراد معرفته بقاعدة بيانات تسلسل بروتين.
- 3 BLASTx : يقارن بين تسلسل النيوكليوتيديات يراد معرفة البروتين المنتج منه بقاعدة بيانات تسلسل البروتين .
- 4 tBLASTn : يقارن تسلسل بروتيني مراد معرفة التسلسل النيوكليوتيديات المنتج له بقاعدة بيانات تسلسل النيوكليوتيديات .
- 5 tBLASTx : يقارن تسلسل النيوكليوتيديات المراد معرفتها بقاعدة بيانات تسلسل النيوكليوتيديات

كذلك يستعمل لاستخراج المعلومات المخفية الموجودة في التسلسلات الإحيائية. كما أنها تستخدم لتحديد الميزات المختلفة مثل التتبؤ بالبنية ثلاثية الأبعاد لجزئيات البروتين ، ودراسة الفقاعات الجزيئية ، واستخراج المعلومات المفيدة من البيانات الإحيائية. وذلك لأن تسلسل البروتين يتم الحفاظ عليه أكثر من تسلسل النيوكليوتيديات ، فإن برامج BLAST تنتج نتائج أكثر موثوقية ، ودقة عند التعامل مع ترميز الحامض النووي (Samal واخرون ، 2021).

2.7. استحداث المقاومة الجهازية (ISR) : Induced systemic resistance (ISR)

بعد الجهاز المناعي عملية مهمة لبقاء النبات ، إذ طورت النباتات استجابات للتعامل مع الضغوط اللاحيائية ، مثل : نقص العناصر . وكذلك مع الضغوط اللاحيائية التي تسببها العوامل الاحيائية ، مثل : مسببات الامراض والحشرات. تقتصر بعض هذه الاستجابات على المنطقة المصابة ، أو تنتشر بشكل منتظم بعيداً عن المنطقة المصابة لجميع مناطق النبات . وهذه الاستجابات هي المقاومة الجهازية المكتسبة (SAR) Acquired Resistance Systemic (ISR) و المقاومة الجهازية المستحثة Timmermann (ISR) Induced systemic resistance و اخرون ، 2019 ؛ Romera (2020) و اخرون 2020 .

تحدث المقاومة الجهازية المكتسبة (SAR) عن طريق مسببات الامراض والحشرات ، بينما تحدث المقاومة الجهازية المستحثة ISR بواسطة الكائنات الدقيقة المفيدة التي تعيش في منطقة الجذور ، مثل البكتيريا والفطريات. يمكن لهذه الاحياء المجهرية المرتبطة بالجذور ، إلى جانب التأثير على تغذية النبات ونموه ، أن تعزز دفاعات النبات ، مما يجعل النبات بأكمله أكثر مقاومة لمسببات الامراض والآفات . في السنوات الأخيرة ، وجد أن الميكروبات المفيدة التي تحفز المقاومة الجهازية المستحثة ISR يمكن أن تحفز كل من الاستجابات الفسيولوجية والمورفولوجية لنقص الحديد في نباتات ذوات الفلقتين ، كما تعد المقاومة الجهازية المستحثة (ISR) التي تسببها الميكروبات المفيدة آلية دفاعية مهمة ، وفعالة ، لتحفيز النبات ومحاجمة المسببات المرضية . تعتمد آليات الدفاع مثل ISR على تنظيم دقيق للتعبير الجيني. تؤدي التفاعلات بين الجينات ومنتجاتها إلى ظهور دوائر معقدة تعرف باسم شبكات تنظيم الجينات Gene Regulatory Networks (GRNs) تساعدهذه الشبكة في إيجاد تفاعلات تؤدي إلى تحفيز المقاومة المستحثة بين الجينات Timmermann (2019) و اخرون ، 2020 ؛ Romera (2020) .

هناك العديد من الهرمونات وجزئيات الإشارة ، مثل الإيثيلين Ethylene ، والأوكسجين auxin وأوكسيد النتریک nitric oxide كمنظمات رئيسة لكلا العمليتين ، على الرغم من أن حامض السالیسیلیک salicylic acid (SA) هو مكون أساسي لـ SAR ، إلا أن هذه الاشارة تعزز بشكل حصری المقاومة الجهازية وليس الموضعية (Romera و اخرون ، 2019 ؛ Vlot و اخرون ، 2021) .

إن البكتيريا الجذرية المعززة لنمو النبات Plant Growth-Promoting Rhizobacteria (PGPR) يمكن أن تثير مقاومة جهازية (ISR) ، إن بعض البكتيريا المسببة للأمراض على الأوراق يمكن أن تحفز إطلاق مركبات من جذور النباتات في منطقة الجذور بعض هذه المركبات

تجذب بشكل انتقائي الميكروبات التي تحفز ISR ، التي يمكن أن تحمي الأجيال النباتية المتعاقبة التي تتمو على التربة نفسها من الأمراض ، كما يمكن لبكتيريا PGPR أيضاً تنشيط التعبير الجيني المرتبط بالدفاع ، الذي يمكن أن تحدث النبات على رد فعل دفاعي أقوى Rehman وآخرون ، Vlot et al. (2021).

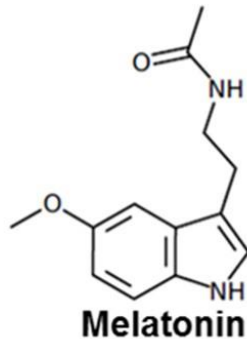
تظهر البكتيريا الجذرية التي تعزز نمو النبات (PGPR) تفاعلات تأزرية ، وعدائمة مع كائنات التربة الدقيقة وتقوم بمجموعة من الأنشطة ذات الأهمية البيئية ، حيث أنها تعزز نمو النبات من خلال تسهيل تحمل الإجهاد الحيوي وغير الحيوي ودعم تغذية النباتات العائلة . نظراً لفاعليتها في دعم نمو النبات ، تعد PGPRs بديلاً صديقاً للبيئة للأسمدة الكيميائية الخطرة Basu et al. (2021) . وللبكتيريا PGPR دور مفيد كمواد أحیائیة خضراء في تخفيف عبء الظروف الملحة العالية على الصفات المورفولوجية ، والصفات الفیزیائیة ، والکیمیائیة للمحاصيل النباتیة ، كما أنها أداة مفيدة في تحسين قوة البذور والإنبات السريع للبذور وتوحيد نمو الشتلات Ha-Tran et al. (2021).

يمكن أن تستحوذ المقاومة الجهازية بعوامل غير أحیائیة مثل : أوکسید الزنك النانوی ، الذي استخدم كعامل وقائي ، وعالجي ضد فایروس موزائیک التبغ ، وأدى إلى خفض شدة المرض (Al-Askar و Abdelkhalek et al. 2020). وأيضاً استخدم المستخلصات المائية من جذور عرق السوس ونباتات الثوم ، القرنفل وحامض السالیسیلیک ضد فایروس موزائیک التین (Fig. FMV) Mosaic Virus كان لها الأثر في تقليل شدة الأعراض التي يسببها الفایروس، وزيادة مؤشرات نمو النبات مثل عدد الأوراق ، ارتفاع النبات ، محتوى الأوراق من الكلورو菲ل وعناصر النيتروجين والفوسفور Zagier et al. (2021).

يؤثر كل من SAR و ISR على الاشارات المتبادلة للهرمونات النباتية ، نحو تعزيز الدفاع ضد مسببات الأمراض ، والتي تؤدي في الوقت نفسه إلى مزيد من التغييرات في دفاع النبات ، والتفاعلات بين ميكروبات- النبات ، والتفاعلات بين النبات - النبات. لذلك أن مثل هذه التفاعلات بين الكائنات الحية يمكن دمجها في استراتيجيات وقاية نباتية عالية الفاعلية Vlot et al. (2021).

2.8 : Melatonin الميلاتونين

الميلاتونين (N-acetyl-5-methoxytryptamine) هو جزيء أحیائی غير سام ينتج في غدة صنوبرية للحيوانات كهرمون حیواني ، و جزئیة اشارة في أنسجة مختلفة من النباتات . تم اكتشاف الميلاتونين في النباتات في عام 1995 ، له مجموعة كبيرة من الوظائف في الحيوانات وأيضاً يلعب دوراً في فسيولوجيا النبات (Arnao و Hernandez-Ruiz 2015 ، Arnao و Hernandez-Ruiz 2019 ، Sharif و Wei 2018 ، Hernández-Ruiz و آخرون ، 2018) .



شكل (2.3) التركيب الكيميائي للميلاتونين (Patel و آخرون ، 2020)

يتم إنتاج العديد من مركبات الميلاتونين الداخلي الوسيطة في عضيات خلوية مختلفة ، مثل السايتوبلازم والشبكة الإندوبلازمية والبلاستيدات الخضراء ، التي إما تسهل أو تعيق الخطوات الأنزيمية اللاحقة. اعتماداً على المسارات . تختلف المواقع الخلوية النهائية لتخليق الميلاتونين إما في السايتوبلازم أو البلاستيدات الخضراء ، مما قد يؤثر بشكل مختلف على طريقة عمل الميلاتونين في النباتات (Back و آخرون ، 2016) .

لقد اثبتت كثير من الأبحاث المتاحة حول الميلاتونين أنه جزئٍ إشارات لا غنى عنه ينتجه النبات داخلياً وهو مهم للغاية في الحفاظ على نمو النبات وتطوره بالإضافة إلى ذلك ، يلعب أدواراً مهمة كعامل مضاد للإجهاد ضد الضغوطات الأحیائية ، مثل : الجفاف ، والملوحة ، ودرجات الحرارة المحيطة المنخفضة ، والمرتفعة ، والأشعة فوق البنفسجية ، والمواد الكيميائية السامة (Hernández-Ruiz و Arnao 2015 ، Hernández-Ruiz و Arnao 2019 ، Moustafa-Farag 2020) ، وكذلك ضد الضغوطات الأحیائية الناتجة عن المسببات المرضية ، حيث يسبب الإجهاد الأحیائي أضراراً جسيمة للمحاصيل الزراعية في جميع أنحاء العالم ويزيد من مخاطر الجوع في العديد من المناطق .

في بعض الأحيان الميلاتونين المنتج داخلياً لا يكفي لمعالجة الضغوطات الأحیائية واللاحیائية القاسية . لهذا السبب ، تم اضافة الميلاتونين خارجياً من أجل الحفاظ على مناعة النبات

والقدرة على النمو الطبيعي (Sharif وآخرون ، 2018) . فقد اظهر الميلاتونين أنشطة فعالة ضد مسببات الأمراض النباتية ، حيث وجد أن الميلاتونين يلعب دوراً رئيساً في مقاومة النبات لفطر *Botrytis cinerea* ، كذلك لم يكتف الميلاتونين بالقضاء على فايروس تجويف جذع التفاح (ASGV) *Apple stem grooving virus* عند اضافته على برامع التفاح في المختبر ، مما جعله مفيداً لإنتاج نباتات خالية من الفايروزات ، وأيضاً خفض الاصابة بفايروس موزائيك التبغ *Nicotiana TMV* (Tobacco mosaic virus) وتركيز الفايروس في سلالات التبغ البري *Solanum lycopersicum glutinosa* و الطماطة *Zhao* المصابة (2016) ، وآخرون (2020) Moustafa-Farag .

كما أن استعمال الميلاتونين (100 ميكرومول) لزيادة مقاومة البانججان لعدوى *Alfalfa mosaic virus* (AMV) . كما أن الرش الورقي باستعمال الميلاتونين أدى إلى زيادة معنوية في المعايير الظاهرية (الفروع ، طول الجذر ، عدد الأوراق ، مساحة الأوراق ، والكتلة الاحيائية للأوراق) ، محتوى الكلوروفيل ، إنزيمات مضادات الأكسدة ، والتعبير الجيني لبعض الإنزيمات مقارنة بالنباتات المصابة ، كما أنه قلل من الضرر التأكسدي الناجم عن AMV من خلال تقليل بيروكسيد الهيدروجين وأنثيونات الأكسيد الفائق وجذور الهيدروكسيل و Malondialdehyde (Sofy وآخرون ، 2021) .

إن إضافة الميلاتونين خارجياً قلل من أنواع الأوكسجين التفاعلية (Reactive oxygen species ROS) وموت الخلايا الناجم عن الضغوط اللاحيائية ، والأحيائية عن طريق إصلاح الميتوكوندريا ، بالإضافة إلى تنظيم الجينات الخاصة بالإجهاد ، وتفعيل جينات البروتينات المرتبطة بالإمراض وإنزيمات المضادة للأكسدة تحت الضغط الاحيائي واللاحيائي (Li وآخرون ، 2017) Sharif وآخرون ، 2018 .

إن الميلاتونين ينظم العديد من العمليات الاحيائية المهمة للنباتات ، بما في ذلك التحليق الحيوي للرايبوسومات ، والتمثيل الغذائي للدهون ، والتمثيل الغذائي للكربوهيدرات ، وتخزين البروتينات مثل البروتينات التي تحمل الإجهاد ، وأيضاً البروتينات التي تنتج ATP كجزء من تحلل السكر كما أن دورة حامض الستريك يتم تنظيمها بواسطته . وجد أن الميلاتونين يخفف التأثيرات المتبطة لضغط كلوريد الصوديوم على إنبات البذور من خلال تعزيز إنتاج الطاقة ، كما له دور في إنبات بذور الخيار في ظل ظروف الإجهاد (Ding وآخرون ، 2018) .

كما أنه يشارك في تنظيم نمو النبات وتحسينه ، حيث يحفز النمو في الساقان ، ويحفز تكوين الجذور وكذلك إنبات البذور ، وله القدرة على تأخير الشيخوخة ، من خلال حماية عمليات

البناء الضوئي وأيضاً دوره كمعدل للتعبير الجيني في النباتات. كما يظهر أن الميلاتونين يتصرف بطريقة مشابهة لهرمون الأوكسجين ، حيث تربط الاستجابات الفسيولوجية ، التي ينتجها الميلاتونين مع عمل الأوكسجين ، مثل تعزيز نشاط النمو ، وقدرة التجذير. بالإضافة إلى ذلك يعد الميلاتونين هو احتمال ممتاز، لتحسين المحاصيل، وزيادة عدد الثمار وزنها (Arnao و Hernández-Ruiz ، 2015 ، Medina-Santamarina و Hernandez-Ruiz ، 2019 ، Arnao و آخرون 2015 ، Hernandez-Ruiz و آخرون 2021 ، .).

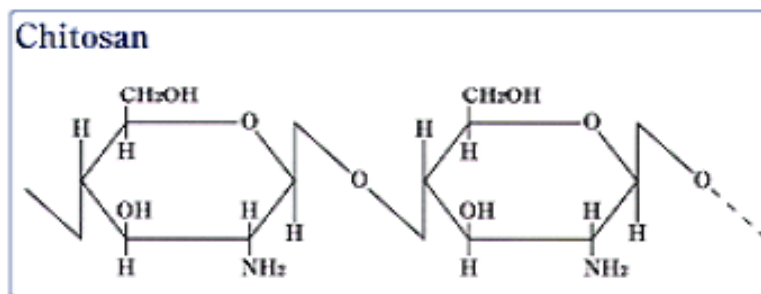
وجد أن أوراق الطماطة المعاملة بالميلاتونين قد تحتوي على كيوتين أكثر سمكاً من أوراق الطماطة غير المعاملة ، كما أنه يزيد من مستوى الشمع الجلدي في أوراق الطماطة حيث حصلت زيادة في نسخ الجينات المرتبطة بالشموع (Ding و آخرون ، 2018).

كما وجد أن الميلاتونين المضاف إلى الجذور قد زاد من التمثيل الضوئي عن طريق تنظيم حركة التغور، وتحسين امتصاص الطاقة الضوئية ونقل الإلكترون . بالإضافة إلى ذلك ، حسنت معاملة الميلاتونين استباب الأكسدة ، والاختزال عن طريق تحفيز أنشطة إنزيمات مضادات الأكسدة ومن ثم خفض الإجهاد التأكسدي ، مما أدى إلى تخفيف زيادة التمثيل الضوئي من تعطل التوازن الخلوي ، في حين ساهم تحسين توازن الأكسدة والاختزال في الحفاظ على التمثيل الضوئي العالي (Li و آخرون ، 2017 ، .).

كما أنه يقلل بشكل كبير من نسبة فقدان الفقد في أثناء التخزين بعد الحصاد بين الفواكه والخضروات المختلفة. علاوة على ذلك ، فإن تنظيم التعبير الجيني ، والاسارات المتبادلة مع الهرمونات النباتية الأخرى ، هو عامل مهم آخر للميلاتونين ، حيث أنه ينظم عملية التمثيل الغذائي للهرمونات النباتية ، وارتفاع أو انخفاض مستوياتها في النبات ، وتنظيم عناصر الاشارات ، و يؤثر الميلاتونين على الاستجابة النهائية للأوكسجين auxin ، والجبريلينات gibberellins ، السيتوكينين cytokinins ، حامض الأبسيسيك abscisic acid ، إيثيلين ethylene ، حامض الساليسيليك salicylic acid ، جاسمونيك jasmonates ، براسيونسترويدات brassinosteroids ، بولي أمين polyamines و ستريغولاكتون strigolactones. إن الأدوار المتنوعة للميلاتونين في نظام النبات ممكن أن تكون مفيدة في تعزيز إنتاج المحاصيل الصديقة للبيئة ، وضمان سلامة الغذاء (Sharif و آخرون 2018 ، Sofy و Hernandez-Ruiz ، 2021 ، Hernández-Ruiz و آخرون 2018 ، .).

2.9. الكيتوسان : Chitosan

أطلق على الكيتوسان لأول مرة مصطلح Hoppe Seyler نسبة إلى العالم الذي اكتشفه ، وهو متعدد السكريات الخطية وهو يتألف من N-acetyl-d-glucosamine و N- glucosamine . يتم تصنيعه عن طريق معالجة مادة الكايتين بمادة قلوية مثل هيدروكسيد الصوديوم ، التي تنتج 40-80٪ ديساتيلاتيد كيتوسان chitosan deacetylated Kumari) وآخرون 2020 : (Chakraborty وآخرون ، 2020 .)



شكل (2.4) التركيب الكيميائي للكيتوسان Kumari (2020) وآخرون .

كما أنه يعد من المركبات الطبيعية القابلة للتحلل الأحيائي وغير السامة ، وأيضاً هو من أكثر البوليمرات الطبيعية وفرة ، ويوجد على نطاق واسع في جميع أنحاء الطبيعة ، كما أنه منخفض التكلفة ومتعدد الأغراض ، يحتوي العديد من الخصائص الفيزيائية ، والكيميائية والاحيائية المرغوبة لتطبيقات مختلفة في الزراعة ، والصيدلة ، وصناعات الطب الأحيائي ، ويمكن أن يخفف تطبيقه على النباتات من الاستعمال الواسع لمبيدات الآفات الكيميائية (Malerba و Yu 2018 ، Cerana 2020 ، Chakraborty وآخرون ، 2020 ، Kumari 2018 ، Subhan 2021 ، Shahrajabian وآخرون ، 2021 .).

يستخرج الكيتوسان من القشرة الخارجية للروبيان ، والمحار ، والكركnd ، وسرطان البحر ، وكذلك جرأن الخلايا الفطرية ، ونظرًا لقابليتها للتحلل الأحيائي وعدم السمية البيئية والتوافق الأحيائي ، فهو مورد مثالي للزراعة المستدامة ؛ لذلك يستخدم كمحفز لنمو النبات من خلال التأثير على العمليات الفسيولوجية للنبات مثل امتصاص المغذيات ، وانقسام الخلايا ، واستطاله الخلية ، والتنشيط الأنزيمي ، وتوليف البروتين ، الذي يمكن أن يؤدي في النهاية إلى زيادة الانتاج . حيث يعمل كمحفز لمنع نمو مسببات الأمراض النباتية ، وتغيير استجابات دفاع النبات عن طريق إطلاق العديد من المسارات الأيضية المفيدة (Chakraborty وآخرون ، 2020).

حيث تعمل على تحفيز أنظمة دفاع النبات ضد هجوم العوامل الممرضة (البكتيريا ، الفطريات ، الفايروسات ، الديدان الخيطية و الحشرات) ، وتسهل امتصاص المغذيات من قبل النباتات ،

والتحكم في تجهيز العناصر الكبرى والصغرى ، وتحسين مقاومة النباتات للضغط الأحيائى والأحيائى كما أنه يقلل من عملية النتح من خلال التحكم في فتح التغور وغلقها وأيضاً يمكن استعماله كطلاء للبذور. علاوة على ذلك ، يمكن أن يكون فعالاً في تعزيز الكائنات الدقيقة المحللة للكايتين وإطالة عمر التخزين من خلال معاملات ما بعد الحصاد ، كما أنه يحسن الإطلاق البطيء للمغذيات في الأسمدة. وأيضاً يمكنه معالجة التربة الملوثة من خلال إزالة المعادن الثقيلة الموجبة والأنيونية (Yu وآخرون ، 2021 ؛ Shahrajabian وآخرون ، 2021 ؛ Subhan وآخرون ، 2021).

إن الكيتوسان يتحكم في الكائنات الحية الدقيقة المسيبة للأمراض النباتية عن طريق منع نموها وتكون الأبوااغ ، كما أنه يقلل من قابلية الجراثيم للبقاء والإنبات وعن طريق تعطيل غشاء الخلية. وأيضاً يحفز المقاومة المتعددة في النباتات عن طريق تحفيز و / أو تثبيط أنشطة كيميائية أحيائية مختلفة أثناء تفاعل مسببات الأمراض النباتية. كما أن له تأثير إيجابي في إثراء التنوع الاحيائى في منطقة الجذور ويعد أداة فعالة لحماية النباتات (Malerba و Hassan ، 2017 ، Chang و Arslanova ، 2020 ، Cerana و Popletaeva ، 2021 ، Arslanova و Cerana ، 2021).

يحفز تطبيق الكيتوسان على النباتات معدل التمثيل الضوئي ومحتوى الكلوروفيل ، وإغلاق التغور. كما أنه يعزز الإنزيمات المضادة للأكسدة ، ويحث على إنتاج الأحماض العضوية والسكريات والأحماض الأمينية ، وإشارات الإجهاد ، إلى جانب ذلك ، يتم استعمال هذا المركب كمركب مضاد للتحف من خلال الرش الورقي في العديد من النباتات مما يقلل من استعمال المياه ويساهم في الحماية من الآثار السلبية الأخرى ، وأيضاً يساهم في تحسين معايير نمو النبات. بالإضافة إلى ذلك ، فهو يؤدي إلى مقاومة ممتازة للجفاف ، والملح والضغط على درجات الحرارة المنخفضة (Hidangmayum و Kocięcka ، 2019 ، Liberacki و آخرون ، 2021 ، Subhan و آخرون ، 2021).

يعد الكيتوسان مثبط فعال لفايروس موزائيك التبغ (TMV) على نبات التبغ *Nicotiana glutinosa* ، وخفض تراكم الحامض النووي الفايروسي ، والغلاف البروتيني في البروتوبلاست بالإضافة إلى ذلك ، تسبب في إنتاج أنواع الأكسجين الفعالة (ROS) والتنظيم المستحدث لمختلف الجينات المستجيبة للدفاع (Guo و آخرون ، 2020).

إن استعمال الكيتوسان مع بكتيريا المقاومة الأحيائية أدى إلى زيادة معنوية في النمو الخضراء وحاصل الشمار لنبات الفراولة (Mukta و آخرون ، 2017). كما تم تقييم تأثير PGPR والكيتوسان على نمو نبات الفلفل الحلو المزروع في ظل أنظمة ملوحة مختلفة ، حيث أدى تطبيق

بكتيريا *Bacillus thuringiensis* و *chitosan* إلى تحسين نمو النبات ومحتوى الكلورو فيل ، وإنجاحية الفاكهة. على العكس من ذلك ، تم تقليل أكسدة الدهون ، وجذور الاوكسجين التفاعلية بشكل كبير في النباتات المجهدة (ALKahtani ، 2020) .

أدى استعمال الكيتوسان النانوي ضد فايروس *BYMV* (*Bean yellow mosaic virus*) إلى تقليل شدة المرض ، وزيادة ملحوظة في مؤشرات النمو ، وكلورو فيل التمثيل الضوئي ، ومؤشر ثبات الغشاء ، والمحتوى المائي. بالإضافة إلى ذلك ، تمت زيادة مضادات الأكسدة الأنزيمية ، وغير الأنزيمية ، والبروتين الذائب بشكل كبير. بينما تم تقليل بيروكسيد الهيدروجين ، وبشكل عام يعد الكيتوسان عاملًا مضاداً للفايروسات مع أنه آمن ، واقتصادي Sofy و اخرون ، 2020).

أدى استعمال الكيتوسان إلى انخفاضً كبير في شدة المرض بفايروس موزائيك الخيار كما حسن من مؤشرات النمو ، محظوظ كلوروفيل الأوراق ، الهرمونات النباتية (مثل حامض الأسيتيك الإندول ، حامض الجيريليك ، حامض الساليسيليك وحامض الجاسمونك) ، ومضادات الأكسدة غير الأنزيمية ومضادات الأكسدة الأنزيمية مقارنة بالنباتات المصابة بالفايروس. كما أظهرت جميع النباتات المعاملة مستويات تعبير متزايدة لبعض جينات الدفاع الجهازية في تخفيف عدو الفايروس. Sofy و اخرون ، 2021).

2.10. بكتيريا : *Bacillus amyloliquefaciens*

تنتمي البكتيريا إلى جنس *Bacillus amyloliquefaciens* وعائلة *Firmicutes* وشعبة *Baciliaceae*، وهي توجد في بيئات مختلفة كالأغذية والنباتات والحيوانات والتربيه . (Woldemariam Yohannes ، 2020 ؛ Ngalimat ، 2021) .
تصف هذه البكتيريا بكونها موجبة لصبغة كرام ، عصوية الشكل كما أنها تكون أبواغ داخلية أما المستعمرات فهي سريعة النمو ، متعددة ، باهتة ، جافة ، بيضاء اللون ، غير منتظمة ، مفصصة ومسطحة على وسط Nutrient Agar ، كما ثبت أن البكتيريا مستقرة تحت درجات الحرارة العالية وضغط الأُس الهيدروجيني ، فهي تحافظ بنشاطها الكامل بعد ساعة عند 100 درجة مئوية و مدى pH من (2-10) حيث يمكن أن تتكيف مع البيئات القاسية . (Sutyak ، 2008)
وأخرون ، Sharma ، 2008 ؛ Qian ، 2013 ؛ وآخرون 2020 ؛ Ngalimat ، 2020 ؛ وآخرون (2021) .

تعد بكتيريا *B. amyloliquefaciens* أحد البكتيريا المعززة لنمو النبات (PGPB) نظراً لقدرتها على اصلاح النتروجين وإذابة الفوسفات ، وانتاج مركبات عضوية متطرفة ، كما تنتج الحديد والهرمونات النباتية مثل : الجبرلينات ، وحامض السالساك ، وحامض الأبسيساك ، وحامض الجاسمونك ، وكذلك المركبات المضادة للمسببات المرضية . علاوة على ذلك ، تنتج مجموعة من الإنزيمات المختلفة مثل: cellulase ، lipase ، protease ، α -amylase ، laccase ، peroxidase ، barnase ، aminotransferase ، pectinase ، xylanase وأيضاً البيتايدات غير الرابيروسومية ، كما تنتج السكريات مثل : (الجلوكوز والسكروز واللاكتوز والمانيتول) وهذه المنتجات لها أدوار مهمة في عملية المقاومة الاحيائية وتعزيز نمو النبات (Kim ، 2017)
وأخرون ، Wu ، 2017 ؛ Qian ، 2019 ؛ وآخرون 2020 ؛ Ngalimat ، 2021 .

وجد أن الأيض الثانوي لهذه البكتيريا آمن نسبياً بالنسبة للطيور ، والثدييات البرية ، والكائنات المائية ، والمفصليات غير المستهدفة (Authority) وآخرون ، 2021 .

يعد استعمال عوامل المقاومة الاحيائية لإدارة مسببات الأمراض النباتية بمثابة استراتيجية أكثر أماناً ، واستدامة من أجل إنتاجية زراعية آمنة ومرجحة . إن هذه البكتيريا الجذرية التي تعزز نمو النبات اثبتت قدرتها للمقاومة الاحيائية ضد العديد من مسببات الأمراض الفطرية والبكتيرية فهي تسبب تغيرات شكلية في أغشية البلازما وجدران الخلايا والأبواغ ، كما في مقاومتها للفطر *Rhizoctonia solani* ، فطر *Sclerotinia min* ، فطر *Fusarium graminearum* . و فطر *Phytophthora citrophthora* كما أنها تسبب في تراكم لأنواع الأوكسجين التقاعلية ،

وكذلك في موت خلايا الممرض ، بالإضافة إلى منتجات التمثيل الغذائي الثنائي و تنظيم الجينات المشاركة في تخليق هذه المنتجات داخل النبات على أنها ذات نشاط مضاد لمجموعة واسعة من الأنواع البكتيرية ، مثل : البكتيريا المسيبة لمرض قرح الحمضيات *Xanthomonas axonopodis* Sutyak et al. 2008 ، Gu et al. 2017 ، Shafi et al. 2017 ، وآخرون ، European Food Safety Authority (EFSA) Zaccardelli et al. 2020 ، Qian et al. 2020 ، وآخرون ، (2021).

ومع ذلك ، هناك معرفة محدودة فيما يتعلق بتأثيرها ضد الفايروزات. فقد تم معرفة تأثيرها المضاد للفايروزات في نباتات الطماطة ، حيث خفضت معاملات الغمر أو رش الأوراق أو الإضافة للتربة إلى ما يصل إلى 80٪ من الإصابة بفايروس ذبول الطماطة ، وقد أدى غمر درنات البطاطا في البكتيريا إلى تأخير تراكم فايروس البطاطس Y. كشف التحليل النسخي لمجموعة من الجينات المرتبطة بحامض الساليسيليك (SA) . إن المقاومة الجهازية مرتبطة بحامض الساليسيليك ضد الفايروزات ناتج عن تحفيز مسار إشارات SA في الطماطة بعد المعاملة بالبكتيريا ، وأنماط التعبير الجيني في النبات للاستجابة لعدوى الفايروس Tomato spotted wilt virus (TSWV) (Chowdhury et al. 2015 ، Beris et al. 2018). و (Potato virus Y (PVY) ، والأليلة المثيرة للاهتمام لحماية النبات عن طريق بكتيريا *B. amyloliquefaciens* هي أنها تنتج التركيزات شبه المميتة من البيتيدات الدهنية الحلقية والمواد المتطرفة مما تحفز مسارات المقاومة الجهازية المستحثة (ISR) ، التي تحمي النباتات من هجمات الميكروبات المسيبة للأمراض والفايروزات والديدان الخيطية. من المحتمل أن يكون تحفيز ISR بواسطة نواتج الأليلة الثانوية البكتيرية ، هو الأليلة الرئيسة المسؤولة عن عمل المقاومة الاحيائية (Chowdhury et al. 2015 ، Beris et al. 2018).

تمتلك بكتيريا *B. amyloliquefaciens* العديد من الصفات المعززة لنمو النبات ، مثل : إنتاج حامض الحديد siderophores ، ومركبات الإندول-3-حامض الخليك ، و ACC deaminase ، والفوسفاتاز ، و phytases ، وسيانيد الهيدروجين HCN ، والسليلولاز ، وإذابة الزنك ، والعداء لمسبيات الأمراض التي تنتقل عن طريق التربة. كما أن التلقيح بهذه البكتيريا أدى إلى زيادة كبيرة في خصائص التربة الجذرية (أنشطة الإنزيم ، إنتاج Indole Acetic Acid (IAA) ، التنفس الميكروبي ، الكتلة الاحيائية الميكروبية) ، ومحتوى المغذيات (Mn ، Cu ، Fe ، Zn ، P ، K) . Sharma et al. 2013.

كما عزلت البكتيريا *B. amyloliquefaciens* من مشروب ألبان مخمر، ووُجد أن البكتيريا تنتج مركباً تم تحديده لاحقاً على أنه بروتين يمتلك نشاطاً قوياً مضاداً لبعض مسببات الأمراض للإنسان (Sutyak et al. 2008).

كما أظهرت نباتات رشاد أذن الفأر *Arabidopsis thaliana* المعرضة للمركبات العضوية المتطرفة الناتجة عن بكتيريا *B. amyloliquefaciens* زيادة في الكتلة الاحيائية بمقدار ضعفين ، وزيادة في طول الجذر وزيادة في الوزن الرطب للنبات (Wu وآخرون ، 2019) .

الفصل الثالث

المواد وطرائق العمل

Materials and Methods

Materials and Methods

3. مواد وطرائق العمل

3.1. المواد المستخدمة في العمل :

3.1.1. الاجهزة والادوات المستخدمة : استخدمت الاجهزة المدرجة في الجدول (3.1)

خلال مدة الدراسة.

جدول (3.1) الاجهزة والادوات المستخدمة في البحث

المنشأ	اسم الجهاز	الترتيب
صيني	حمام مائي هزار water bath	1
صيني	حاضنة incubator	4
—	جهاز الترحيل الكهربائي Electrophoresis	5
—	مجمدة Freezer	7
بلجيكا	ماسفات دقيقة Micropipettes	9
اليابان	المؤصدة Autoclve	10
المانيا	ميزان حساس Sensitive balance	11
صيني	pH-meter جهاز قياس الرقم الهيدروجيني	12
صيني	UV- Visible Spectrophotometer جهاز المطياف الضوئي	14
صيني	أدوات خاصة بالماسحة الدقيقة Micropipette tips	18
صيني	أنابيب الابندروف Eppendorf tubes	19
محلي	أنابيب اختبار Test tube	21

3.1.2. المواد الكيميائية : استخدمت المواد الكيميائية المدرجة في الجدول (3.2) خلال مدة الدراسة.

جدول (3.2) المواد الكيميائية المستخدمة في الدراسة

نسلسل	المادة الكيميائية
5	Distilled Water
6	(Ethelene-diamine tetraacetic acid) EDTA
8	Absolute Ethanol (70%)
11	Carborundum
12	KH_2PO_4
13	Na_2HPO_4
14	Nutrient Agar
15	(PSB) Potato Sucrose Broth
22	ammonia acetate
23	Tri Sodium Citrate AR
24	Ammonium sulphate AR
25	Nutrient Agar
26	Nutrient Broth
27	Melatonin
28	Chitosan
29	acetic acid

جدول (3.3) البرامج المستخدمة في الدراسة

الرابط	البرامج	ت
/ https://www.geneious.com	Geneious prime	1
/ http://repeatexplorer.org	Repeat Explorar	2
https://blast.ncbi.nlm.nih.gov/Blast.cgi	BLAST	3
/ https://www.girinst.org/repbase	Repbase	4
https://imagej.nih.gov/ij/download.html	Image J	5

3.2. طرائق العمل :

3.2.1 مصدر الفايروس :

جمعت عينات من اوراق نباتات خيار ظاهرة عليها اعراض الموز ائيك الشديد والتجعد من حقول ناحية الحيدرية في النجف الاشرف بتاريخ 5-10-2020 وضعت العينات في اكياس بلاستيكية وحفظت في درجة حرارة - 20 م°.

3.2.2 استعمال تقنية تسلسل الجيل القادم للحامض النووي (RNA ، DNA)

للنباتات المصابة (Next Generation Sequencing , NGS) :

3.2.2.1 تجهيز العينات وارسالها لشركة DNA LINK الكورية :

نظراً لسرعة تحلل الحامض النووي الريبي RNA واحفظه من التحطيم ومنع تدهوره جهز محلول ملحي RNA Later من عدة محاليل ملحية (Kruse et al., 2017) لاحفظ به عينات الأوراق المصابة عند ارسالها لشركة DNA LINK وكما يأتي :

- محلول الأول : وزن 73.5 غم من ملح Tri Sodium Citrate AR وأضيف له 175 مل من ddH₂O ووضع في بيكر أكمل الحجم إلى 250 مل باضافة ddH₂O.

• محلول الثاني : تم اذابة 46.5 غم من Ethylen diamine tetra acetic acid (EDTA) في 175 مل من ddH₂O بعدها أضيف له 23 غم من NaOH ثم تم قياس pH ، الذي يجب ان يكون 8 بعدها أكمل الحجم إلى 250 مل باضافة ddH₂O ثم تم تعقيمه.

• تم تسخين 350 مل من ddH₂O في بيكر زجاجي ، وأضيف له 15 مل من محلول EDTA (المحلول الثاني) ثم أضيف له 9.5 مل من محلول Tri Sodium Citrate AR (المحلول الاول).

• وزن 262 غم من ملح Ammonium sulphate AR وأضيف إلى مزيج محلولين السابقين وسخن حتى اذابته تماماً لمدة 30 دقيقة ثم ترك ليبرد ثم وضع في الثلاجة .

• اخذ 0.5 غم من عينات أوراق الخيار المصابة كل على انفراد وسحقت في النيتروجين السائل سحق بسيط ثم وضعت في أنابيب ابندروف وأضيف لها محلول RNA Later ملي الانبوبة واعطيت الرقم 1 (CR1) .

• أخذت عينات أخرى من الأوراق المصابة 0.5 سم وضفت من دون سحق في أنابيب الابندروف وأضيف لها محلول RNA Later ملي الانبوبة واعطيت الرقم 2 (CR2) .

• غلفت أنابيب الابندروف المجهزة بشريط البارافيلم وحفظت في الثلاجة في درجة حرارة 4 م° لحين ارسالها للشحن إلى الشركة الفاحصة .

3.2.2.2 قراءة التسلسل الكلي للأحماض النووية DNA و RNA في عينة نبات خيار مصاب :

أجريت قراءة التسلسل الكلي للحامضين النوويين من قبل شركة DNA LINK في كوريا الجنوبية ، استعملت العدة المكتبية TruSeq DNA Nano 350bp لقراءة تسلسل DNA الكلي وانتاج قراءات خام بطول 350 زوج قاعدة لكل قراءة ، والعدة المكتبية TruSeq Stranded لقراءة تسلسل RNA الكلي ، وانتاج قراءة خام بطول Total RNA with Ribo-Zero Plant 151 زوج قاعدة لكل قراءة ، و باستعمال منصة Illumina Novaseq6000 وبرنامح bcl2fastq2 Basecalling Software (الإصدار 2.20) .

3.2.2.3 : Bioninformatics تحليل البيانات بواسطة برامج المعلوماتية الحياتية

بعد اكمال الشركة قراءة التتابع للحامضين النوويين تم الحصول على ملفين للقراءات الخام Raw Reads احدهما يحتوي على القراءة الأمامية الكلية Forwad ، والآخر يحتوي على القراءة العكسية الكلية Revers ، تم دمج القراءتين في منصة Geneious للحصول على القراءات المزدوج Pairing Reads ثم تحليل هذه القراءات كما في الشكل (1.3) و الشكل (2.3)

ومن أجل ما يأتي :

a. حساب تغطية جينوم DNA the coverage of genome sequencing حسب المعادلة
اللاتية :

$$\text{تغطية جينوم DNA} = \frac{\text{عدد القراءات الكلية} \times \text{طول القراءة}}{\text{حجم الجينوم النباتي}} / \text{قاعدة}$$

$$(151 \times 89893674) / 367000000 =$$

$$X 36.9 =$$

b. الكشف عن الفايروسات المرضية الموجودة في جينوم نباتات الخيار من خلال منصة BLAST و برنامج Geneious

c. الكشف عن التعبير الجيني لجينات الفايروسات المرضية في منصة Geneious و برنامج Basic Local Alignment Search Tool (BLAST)

d. حساب عدد نسخ الأحماض النووية (DNA ، RNA) من خلال المعادلة (عباس ، 2023)

$$\text{The number of copies of total (DNA, RNA)} = \frac{A.R. \times R.L.}{R.S.L.}$$

حيث أن :

Assembled Reads : A.R. عدد القراءات المرتبطة بالسلسل المرجعي .

Read Length : R.L. طول القراءة .

Reference Sequence Length : R.S.L. طول السلسل المرجعي

e. حساب النسبة المئوية للاحماض النووي (DNA ، RNA) من خلال المعادلة (

: (2022) Khaffajah وآخرون ،

$$\text{Genome proportion} = \frac{A.R}{R.R.} \times 100\%$$

حيث أن :

Assembled reads : A.R عدد القراءات المرتبطة بالسلسل المرجعي .

Raw Reads : R.R. العدد الكلي للقراءات الخام .

f. حساب مقدار التعبير الجيني الحقيقي من خلال حساب عامل القياس لكل مليون قراءة

: Transcripts Per Kilobase Million TPM

من خلال حساب :

$$RPK \text{ Reads Per Kilobase} = \frac{A.R.}{(S.L.)} Kbp$$

حيث أن :

RPK Reads Per Kilobase هو عدد القراءة لكل كيلو قراءة

Assembled Reads : A.R. عدد القراءات المرتبطة بالسلسل المرجعي .

Sequence Length : R.L. طول السلسل .

ثم حساب عامل التحريم لكل مليون

$$per \text{ million} = \frac{RPK}{1000000}$$

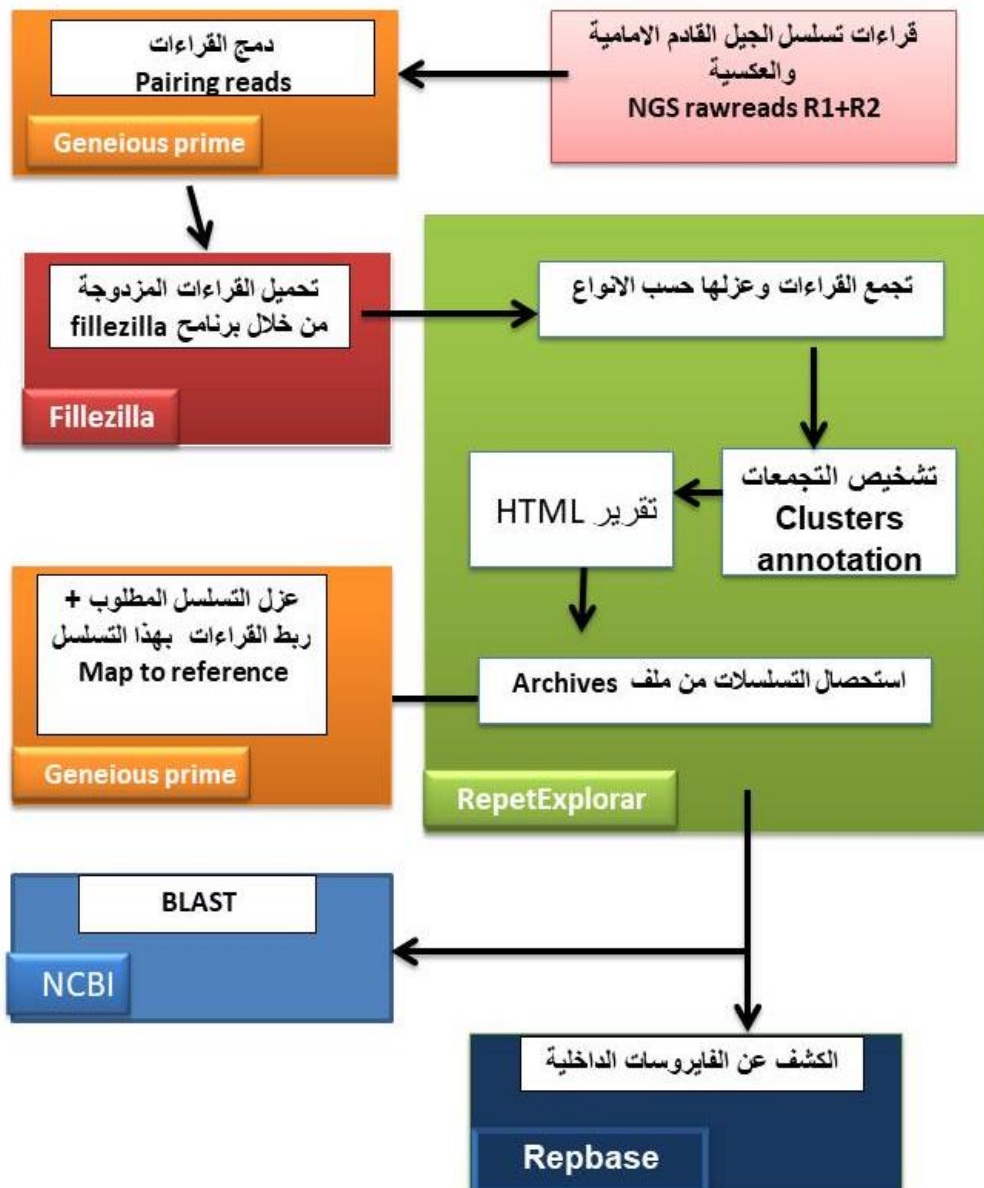
$$TPM = \frac{RPK}{Per \text{ million}}$$

g. الكشف عن التقارب الوراثي للسلالة المتحصل عليها مع بعض العزلات من خلال رسم

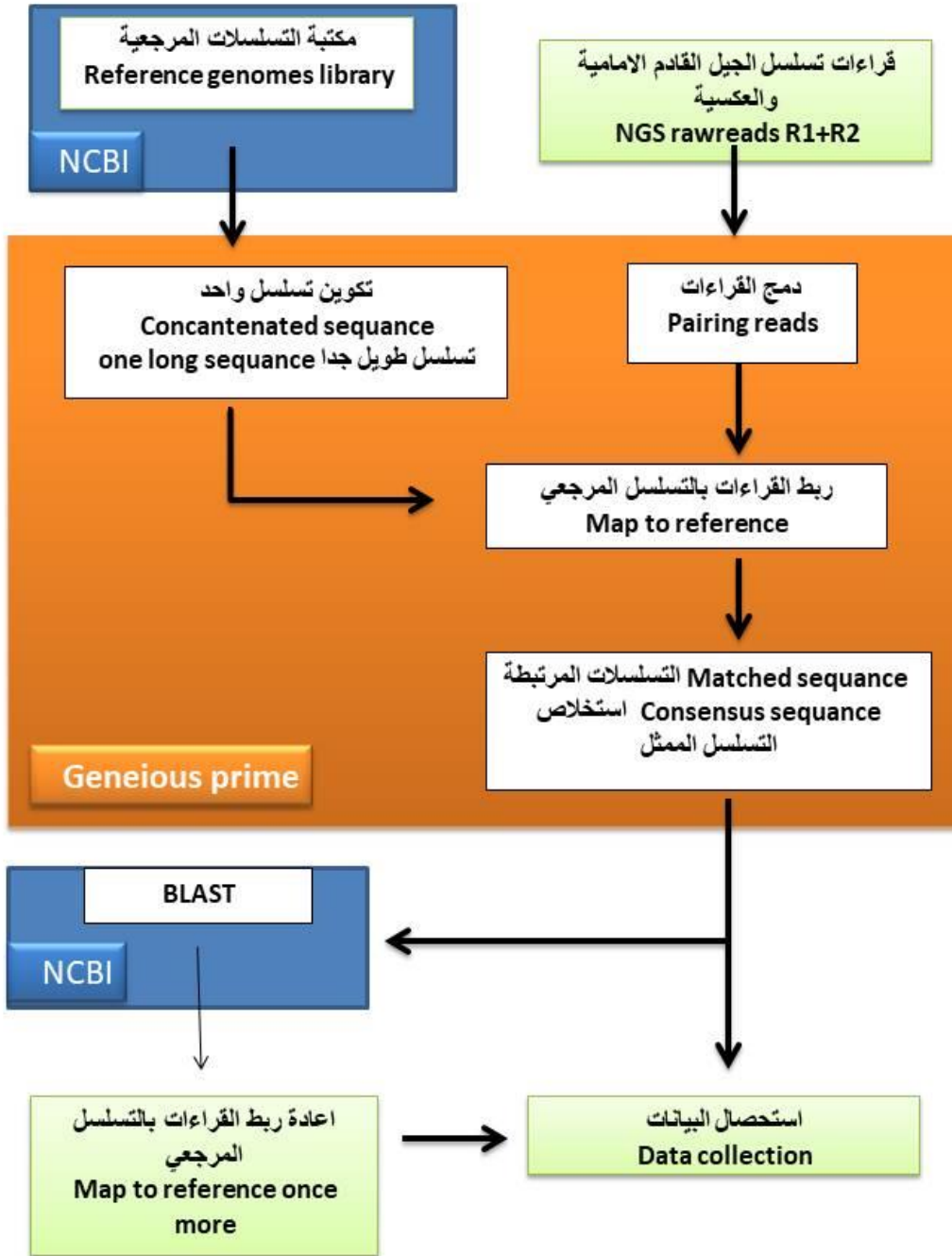
.Geneious الشجرة الوراثية في منصة

. Geneious رسم الخريطة الجينومية للفايروسات المرضية في منصة

- i. الكشف عن التغيرات الوراثية الحاصلة في جينوم البلاستيدات الخضراء في منصة Geneious .
- j. الكشف عن التعبير الجيني للبلاستيدات لنبات خيار مصاب في منصة Geneious .
- k. رسم الخريطة الجينومية للبلاستيدات الخضراء في نبات الخيار المصاب .
- l. الكشف عن وجود فايروسات داخلية عكسية من خلال برنامج Repeat Explorar .
- m. الكشف عن الفايروسات الداخلية العكسية من خلال منصة Geneious .
- n. معرفة أنواع الفايروسات الداخلية العكسية في برنامج Repbase ، وتسجيلها في معهد الأبحاث والمعلومات الوراثية في كاليفورنيا GIRI ، والخاص بتسجيل التسلسلات المتكررة ، و العوامل الوراثية المتنقلة في الاحماض النووي .
- o. تسجيل الفايروسات المرضية المكتشفة في عينة نبات الخيار المصاب في المركز الوطني لمعلومات التقانة الحيوية NCBI .



شكل (3.1) التعامل مع البيانات وتحليلها بواسطة برامج المعلوماتية الحياتية
للكشف عن الفايروسات الداخلية في جينوم نبات الخيار المصايب
Bionformatics



شكل (3.2) التعامل مع البيانات وتحليلها بواسطة منصة Geneious prime للحصول على التسلسلات الكاملة المراد الاستعلام عنها و توصيفها.

3.2.3 الاوساط الزراعية المستخدمة لتنمية بكتيريا

amyloliquefaciens وحفظها

3.2.3.1 الوسط البكتيري المغذي الصلب : Nutrient Agar

تم اذابة 28 غم من وسط Nutrient Agar الجاهز في لتر من الماء المقطر ثم وزع في دوارق حجم 250 مل ثم عقم ب بواسطة جهاز المؤصدة في درجة حرارة 121°م وضغط 15 باوند / انج² لمدة 20 دقيقة ، وبعد الانتهاء من التعقيم تركت الدوارق لتبرد ، ثم حفظت في الثلاجة لحين الاستعمال (الياسري واخرون ، 2016).

3.2.3.2 الوسط البكتيري المغذي السائل : Nutrient Broth

ذوب (4 غم) من NB (100 مل) من الماء المقطر وأضيف له 20 مل من الكليسيرول بعدها وزع على 10 أنابيب زجاجية وضع في كل أنبوبة 10 مل من الوسط ثم تم تعقيمها بجهاز المؤصدة في درجة حرارة 121°م وضغط 15 باوند / انج² لمدة 20 دقيقة وبعد انتهاء التعقيم ترك ليبرد بعدها تم اخذ مسحة بواسطة Loop من البكتيريا المستعملة في البحث وزراعتها في الأنابيب ثم تركت البكتيريا يومين لتنمو ، وجمدت بدرجة حرارة - 20 م° لحفظها طول مدة البحث واستعمالها عند الحاجة .

3.2.3.3 وسط البطاطا السائل (PSB) Potato Sucrose Broth

قطعت 200 غم من البطاطا بعد تقطيرها إلى قطع صغيرة ووضعت على نار هادئة لمدة 15 دقيقة ، بعدها تم ترشيحها بواسطة شاش معقم ، واخذ مستخلص البطاطا ، ثم أكمل الحجم إلى لتر وأضيف له 10 غ من السكر ثم وزع الوسط على دوارق سعة 250 مل ، ثم عقمت بجهاز المؤصدة في درجة حرارة 121°م وضغط 15 باوند / انج² لمدة 20 دقيقة ، وبعد انتهاء التعقيم تركت الدوارق لتبرد وبعدها استعملت لاكتار البكتيريا (الياسري واخرون ، 2016)..

3.2.4 تحضير لقاح بكتيريا : *Bacillus amyloliquefaciens*

تم استيراد البكتيريا من شركة Asymmetry البريطانية ولأول مرة في العراق ، ثم تمت تتنميها على الوسط السائل PSB لمدة 48 ساعة بدرجة 28 ± 2 م° ، تم حساب وحدة تكوين المستمرة (CFU) Colony-Forming Unit للبكتيريا باستعمال تقانة التخافيف العشرية باستخدام 9 أنابيب اختبار بعد ترقييمها ، حيث وضع 9 مل من الماء المقطر المعقم لكل أنبوبة ثم أضيف 1 مل من البكتيريا للأنبوبة الاولى للحصول على التخفيض 10⁻¹ ثم نقل 1 مل من الانبوبة الاولى إلى الأنبوبة الثانية لتحضير 10⁻² وهكذا وصولاً إلى التخفيض 10⁻⁹. ثم أضيف 1 مل من

كل تخفيف إلى طبق بترى معقم ثم صب فوقها الوسط الزرعي المعقم N.A وحركت الأطباق حركة بسيطة بشكل دائري لتوزيع البكتيريا بالتساوي داخل الطبق بعدها حضنت الأطباق في درجة حرارة $28 \pm 2^\circ\text{C}$ لمدة 48 ساعة ، وحسبت عدد المستعمرات الناتجة من كل تخفيف وقدر العدد بطريقتين ، أحدهما طريقة الحساب اليدوية ثم طبقت المعادلة بضرب عدد المستعمرات في مقلوب التخفيف ، وبناءً على ذلك تم الحصول على كثافة عددية 1.8×10^{11} خلية / مل.

أما الطريقة الأخرى فكانت باستخدام برنامج (J Image) ومن خلال التقاط صور واضحة للأطباق النامية عليها البكتيريا ثم فتح البرنامج ومن قائمة File اختيار open ثم يتم اختيار



صورة الطبق المراد معرفة عدد المستعمرات فيه ثم من إيقونة الدائرة تم تحديد الطبق واهمال حواف الطبق ، ثم من قائمة Edit تم اختيار clear outside ، بعدها الذهاب إلى قائمة Adjust و اختيار Type Image ثم الرجوع إلى القائمة Image مرة أخرى و اختيار bit-16 ، ثم ظهرت نافذة فيها مؤشرات تم تحريك المؤشرات يميناً ويساراً حتى تحددت المستعمرات الموجودة ثم تم تحديد القائمة Process و اختيار Binary ثم Apply ، بعدها الذهاب إلى قائمة Analyze و اختيار particles و اختيار size (Watershed Add manager، Clear results، Display result) وكذلك تم تحديد القائمة 10-10000 (Exclude on edges) ونضغط على Ok ومن ثم تم حساب المستعمرات وظهور نافذتان ، من نافذة Results وآخر رقم على يسار النافذة ، هو الذي يمثل عدد المستعمرات . بعدها تم تكرار هذه الخطوات لثلاثة مكررات ثم تم استخراج المعدل وتطبيق المعادلة ، التي هي عدد المستعمرات في مقلوب التخفيف وقد كان ناتج الكثافة العددية 2.2×10^{11} خلية / مل (Li وآخرون ، 2021).

:3.2.5 تحضير محلول الميلاتونين :Melatonin

استعملت مادة الميلاتونين المجهزة من شركة Now الأمريكية بشكل منتج دوائي وحضر منه تركيز 1.8 ملغم . لتر-1 (بذابة 0.018 ملغم / لتر ماء مقطر) ثم استعمل في المعاملات اللاحقة (Zhao ، 2017؛ Li وآخرون ، 2019).

:3.2.5 تحضير الكيتوسان :Chitosan

ذوب (1 غم) من الكيتوسان في (40 مل) ماء مقطر معقم يحتوي على (9 مل) حامض أسيتيك acetic acid مع التحريك المستمر ثم أخذ (1 مل) من هذا محلول في لتر ماء مقطر للحصول على تركيز 25 ملغم . لتر⁻¹ واستعمل في المعاملات اللاحقة (Rendina و آخرون . (2019).

3.2.7. اختبار تأثير محلول Chitosan ومحلول Melatonin على البكتيريا

Bacillus amyloliquefaciens

أخذ (1مل) من المحلول الأخير المجهز للتجربة الحقلية ووضع في طبق بتري ثم صب فوقه الوسط المغذي الصلب NA وحرّك حركة موضعية ، وترك ليتصلب ، ثم زرعت عليه البكتيريا بشكل تخطّط وحضنّت لمدة 48 ساعة بدرجة حرارة $28 \pm 2^\circ\text{C}$ ، كررت الخطوات نفسها مع محلول الكيتوسان ، ولوحظ نمو البكتيريا على الوسط الحاوي على مادة الميلاتونين وأيضاً الحاوي على مادة الكيتوسان مما يعني لا يوجد تضاد بينهما وبين البكتيريا .

3.2.7. محلول داري الاستخلاص الفوسفاتي المبرد :

ذوب 1.42 غم / لتر من Na_2HPO_4 ثم ذوب 1.362 غم / لتر من KH_2PO_4 كل على انفراد ثم مزج 51 مل من محلول الأول مع 49 مل من محلول الثاني للحصول على التركيز 1.01 مولاري وتم قياس دالة الحامضية و كانت $\text{pH} = 7$ (الياسري وآخرون ، 2016).

3.2.8. العدوى الميكانيكية :

تم سحق (1 غم) من أوراق نبات خيار المصاب مع 4 مل من محلول داري الاستخلاص الفوسفاتي المبرد ثم مرر العصير المستخلص من خلال طبقتين من الشاش ثم وزع على أنابيب ابندروف وحفظها لحين الاستعمال . مسحت أوراق نباتات الاختبار باللّاقح الفايروسي بعد تعفيرها بمادة الكاربوراند 600 مش (الياسري وآخرون ، 2016) ، ثم غسلت النباتات الملقحة بالماء بعد 1- 2 دقيقة من العدوى .

3.2.9. تعقيم التربة لاستخدامها في التجربة الحقلية :

تم خلط التربة مع البتموس بنسبة 1:2 ثم استخدم (2 مل) من الكحول الالثيلي تركيز 70 % للتعقيم لكل كيلو غرام من التربة ثم قلبت التربة وتم تعطيتها بالنایلون لمدة يومين بعدها كشفت التربة وقلبت للتخلص من الكحول وتركّت تحت الشمس لمدة يومين ، ليتطاير كل الكحول الموجود ثم وزّعت على الأكياس المخصصة للزراعة ، التي بحجم 5 كيلو للزراعة فيها لاحقاً (الياسري وآخرون ، 2016).

3.2.10 التجارب الحقلية :

أجريت هذه التجارب في احد مشاتل مديرية الزراعة في النجف الاشرف بتاريخ 8-3-2021 ولغاية 15-6-2021 وتضمنت هذه التجربة عاملين وسبعة معاملات لكل عامل بثلاثة مكررات على وفق تصميم القطاعات RCBD وتمت الزراعة بأكياس بلاستيكية سعة 5 كيلو و تربة معقمة . (حدثت اصابة للنباتات بحشرة الذبابة البيضاء لذا تم مكافحتها باستعمال المبيد فيرتمك vertimec من شركة syngenta .)

B. 3.2.10.1 اختبار فاعلية عمر بذور نبات الخيار لمدة 30 دقيقة ببكتيريا *amyloliquefaciens* ومحلول الميلاتونين والكيتوسان وتوليفاتها المزدوجة ضد الاصابة الفايروسية :

تضمنت التجربة عاملين (نباتات سليمة ، نباتات ملقحة بالفايروسات) وسبعة معاملات وبثلاثة مكررات :

أ- معاملات العامل الاول :

- 1 بذور غمرت بالماء ثم زرعت.
- 2 بذور غمرت بالبكتيريا *B. amyloliquefaciens* بكثافة عدديه 2.2×10^{11} وحدة تكوين مستعمرة / مل ثم زرعت.
- 3 بذور غمرت بمحلول الميلاتونين Melatonin بتركيز 1.8 ملغم . لتر⁻¹ ثم زرعت.
- 4 بذور غمرت بمحلول الكيتوسان Chitosan بتركيز 25 ملغم . لتر⁻¹ ثم زرعت.
- 5 بذور غمرت بخليط من البكتيريا *B. amyloliquefaciens* بكثافة عدديه 2.2×10^{11} وحدة تكوين مستعمرة / مل و محلول الميلاتونين Melatonin بتركيز 1.8 ملغم . لتر⁻¹ ثم زرعت.
- 6 بذور غمرت بخليط من البكتيريا *B. amyloliquefaciens* بكثافة عدديه 2.2×10^{11} وحدة تكوين مستعمرة / مل و محلول الكيتوسان Chitosan بتركيز 25 ملغم . لتر⁻¹ ثم زرعت.
- 7 بذور غمرت بخليط من بمحلول الكيتوسان Chitosan بتركيز 25 ملغم . لتر⁻¹ و محلول الميلاتونين Melatonin بتركيز 1.8 ملغم . لتر⁻¹ ثم زرعت.

ب- نباتات ملقحة بالفايروس:

- 1 بذور غمرت بالماء و زرعت ولقحت بمستخلص من نبات خيار ظاهر عليه اعراض الموزائيك الشديد بعمر 6-8 اوراق .

2- بذور غمرت بالبكتيريا *B. amyloliquefaciens* بكثافة عدديّة 2.2×10^{11} وحدة تكوين مستعمرة / مل ثم زرعت ، بعدها لقحت النباتات بمستخلص النبات المصاب بعمر 6-8 أوراق.

3- بذور غمرت بمحلول الميلاتونين Melatonin بتركيز 1.8 ملغم . لتر⁻¹ ثم زرعت ، بعدها لقحت النباتات بمستخلص النبات المصاب بعمر 6-8 أوراق.

4- بذور غمرت بمحلول الكيتوسان Chitosan بتركيز 25 ملغم . لتر⁻¹ ثم زرعت ، بعدها لقحت النباتات بمستخلص النبات المصاب بعمر 6-8 أوراق.

5- بذور غمرت بخليط من البكتيريا *B. amyloliquefaciens* بكثافة عدديّة 2.2×10^{11} وحدة تكوين مستعمرة / مل و بمحلول الميلاتونين Melatonin بتركيز 1.8 ملغم . لتر⁻¹ ثم زرعت بعدها لقحت النباتات بمستخلص النبات المصاب بعمر 6-8 أوراق.

6- بذور غمرت بخليط من البكتيريا *B. amyloliquefaciens* بكثافة عدديّة 2.2×10^{11} وحدة تكوين مستعمرة / مل و بمحلول الكيتوسان Chitosan بتركيز 25 ملغم . لتر⁻¹ ثم زرعت ، بعدها لقحت النباتات بمستخلص النبات المصاب بعمر 6-8 أوراق.

7- بذور غمرت بخليط من بمحلول الكيتوسان Chitosan بتركيز 25 ملغم . لتر⁻¹ ومحلول الميلاتونين Melatonin بتركيز 1.8 ملغم . لتر⁻¹ ثم زرعت بعدها ، لقحت النباتات بمستخلص النبات المصاب بعمر 6-8 أوراق.

سجلت النتائج بأخذ نسبة الاصابة وشدة اصابتها والاطوال للمجموعتين الجذري والحضري ، وكذلك الاوزان الطرية ، والجافة للمجموعتين الجذري ، والحضري ونسبة الكلورو فيل ومساحة الورقة والعناصر NPK وعدد الثمار وزنها .

***B.* 3.2.10.2 اختبار فاعلية سقي نباتات الخيار ببكتيريا *amyloliquefaciens* ومحلول الميلاتونين والكيتوسان وتوليفاتهما المزدوجة ضد الاصابة الفايروسيّة :**

تضمنت التجربة عاملين (نباتات سليمة ، نباتات ملقحة بالفايروسات) وبسبعين معاملات وبثلاث مكررات :

أ- نباتات سليمة

1. سقي نباتات المقارنة غير الملقحة المزروعة في تربة معقمة 100 مل من الماء فقط .

2. اضافة 100 مل من البكتيريا *B. amyloliquefaciens* بكتافة عدديه 2.2×10^{11} وحدة تكوين مستعمرة / مل والمجهزة بشكل مزرعة سائلة على وسط PSB لجذور نباتات الخيار ، التي بعمر 4-5 أوراق و المزروعة في تربة معقمة ثم كررت الاضافة نفسها بعد ثلاثة أيام.
3. اضافة 100 مل من محلول الميلاتونين Melatonin بتركيز 1.8 ملغم . لتر⁻¹ لجذور نباتات الخيار ، التي بعمر 4-5 أوراق و المزروعة في تربة معقمة ثم كررت الاضافة نفسها بعد ثلاثة أيام.
4. اضافة 100 مل من محلول الكيتوسان Chitosan تركيز 25 ملغم . لتر⁻¹ لجذور نباتات ، التي بعمر 4-5 أوراق و المزروعة في تربة معقمة ثم كررت الاضافة نفسها بعد ثلاثة أيام.
5. اضافة خليط متكون من 50 مل من البكتيريا *B. amyloliquefaciens* بكتافة عدديه 2.2×10^{11} وحدة تكوين مستعمرة / مل و 50 مل محلول الميلاتونين بتركيز 1.8 ملغم . لتر⁻¹ لجذور نباتات الخيار ، التي بعمر 4-5 أوراق و المزروعة في تربة معقمة ثم كررت الاضافة نفسها بعد ثلاثة أيام.
6. اضافة خليط متكون من 50 مل من البكتيريا *B. amyloliquefaciens* بكتافة عدديه 2.2×10^{11} وحدة تكوين مستعمرة / مل و 50 مل الكيتوسان Chitosan بتركيز 25 ملغم . لتر⁻¹ لجذور نباتات الخيار ، التي بعمر 4-5 أوراق ، والمزروعة في تربة معقمة ، ثم كررت الاضافة نفسها بعد ثلاثة أيام.
7. اضافة خليط متكون من 50 مل من بمحلول الكيتوسان Chitosan بتركيز 25 ملغم . لتر⁻¹ و 50 مل من محلول الميلاتونين Melatonin بتركيز 1.8 ملغم . لتر⁻¹ لجذور نباتات الخيار ، التي بعمر 4-5 أوراق و المزروعة في تربة معقمة ثم كررت الاضافة نفسها بعد ثلاثة أيام.
- ب- نباتات ملقحة بالفايروس:
1. سقي نباتات مزروعة في تربة معقمة بالماء فقط ثم لقحت بمستخلص من نبات خيار ظاهره عليه أعراض الموزائيك الشديد بعمر 6-8 أوراق.
2. اضافة 100 مل من البكتيريا *B. amyloliquefaciens* بكتافة عدديه 2.2×10^{11} وحدة تكوين مستعمرة / مل والمجهزة بشكل مزرعة سائلة على وسط PSB لجذور نباتات الخيار ، التي بعمر 4-5 أوراق و المزروعة في تربة معقمة ثم كررت الاضافة نفسها بعد ثلاثة أيام وبعد الاضافة الاخيرة بثلاثة أيام لقحت النباتات بمستخلص النبات المصايب بعمر 6-8 أوراق.
3. إضافة 100 مل من محلول الميلاتونين Melatonin بتركيز 1.8 ملغم . لتر⁻¹ لجذور نباتات الخيار ، التي بعمر 4-5 أوراق و المزروعة في تربة معقمة ثم كررت الاضافة

نفسها بعد ثلاثة أيام وبعد الاضافة الاخيرة بثلاثة أيام لقحت النباتات بمستخلص النبات المصاب بعمر 6-8 أوراق.

4. اضافة 100 مل من محلول الكيتوسان Chitosan بتركيز 25 ملغم . لتر⁻¹ لجذور نباتات ، التي بعمر 5-4 أوراق و المزروعة في تربة معقمة ثم كررت الاضافة نفسها بعد ثلاثة أيام وبعد الاضافة الاخيرة بثلاثة أيام لقحت النباتات بمستخلص النبات المصاب بعمر 6-8 أوراق.

5. إضافة خليط متكون من 50 مل من البكتيريا *B. amyloliquefaciens* بكثافة عدديّة 2.2 $\times 10^{11}$ وحدة تكوين مستعمرة / مل و50 مل محلول الميلاتونين بتركيز 1.8 ملغم . لتر⁻¹ لجذور نباتات الخيار ، التي كانت بعمر 5-4 أوراق و المزروعة في تربة معقمة ثم كررت الاضافة نفسها بعد ثلاثة أيام وبعد الاضافة الاخيرة بثلاثة أيام لقحت النباتات بمستخلص النبات المصاب بعمر 6-8 أوراق.

6. اضافة خليط متكون من 50 مل من البكتيريا *B. amyloliquefaciens* بكثافة عدديّة 2.2 $\times 10^{11}$ وحدة تكوين مستعمرة / مل و50 مل الكيتوسان Chitosan بتركيز 25 ملغم . لتر⁻¹ لجذور نباتات الخيار ، التي بعمر 4-5 أوراق و المزروعة في تربة معقمة ثم كررت الاضافة نفسها بعد ثلاثة أيام وبعد الاضافة الاخيرة بثلاثة أيام لقحت النباتات بمستخلص النبات المصاب بعمر 6-8 أوراق.

7. اضافة خليط متكون من 50 مل من محلول الكيتوسان Chitosan بتركيز 25 ملغم . لتر⁻¹ و50 مل من محلول الميلاتونين Melatonin بتركيز 1.8 ملغم . لتر⁻¹ لجذور نباتات الخيار ، التي بعمر 4-5 أوراق و المزروعة في تربة معقمة ثم كررت الاضافة نفسها بعد ثلاثة أيام وبعد الاضافة الاخيرة بثلاثة أيام لقحت النباتات بمستخلص النبات المصاب بعمر 6-8 أوراق.

سجلت النتائج لنسبة الاصابة وشدتتها والاطوال للمجموعتين الجذري ، والحضري وكذلك الأوزان الطرية ، والجافة للمجموعتين الجذري ، والحضري ، ونسبة الكلوروفيل ، ومساحة الورقة والعناصر NPK وعدد الثمار ووزنها .

3.2.10.3 اختبار فاعلية رش نباتات الخيار ببكتيريا *B. amyloliquefaciens* ومحلول الميلاتونين والكيتوسان وتوليفاتها المزدوجة ضد الاصابة الفايروسية :

تضمنت التجربة عاملين (نباتات سليمة ، نباتات ملقة بالفايروسات) وسبعة معاملات وبثلاث مكررات :

أ- نباتات سليمة

1. رش نباتات المقارنة غير الملقة المزروعة في تربة معقمة بالماء فقط .
2. رشت نباتات الخيار ، التي بعمر 4-5 أوراق و المزروعة في تربة معقمة بـ 30 مل من البكتيريا *B. amyloliquefaciens* بكتافة عدديّة 2.2×10^{11} وحدة تكوين مستعمرة / مل والمجهزة بشكل مزرعة سائلة على وسط PSB ثم كرر الرش بعد ثلاثة أيام.
3. رشت نباتات الخيار ، التي بعمر 4-5 أوراق ، و المزروعة في تربة معقمة بـ 30 مل من محلول الميلاتونين Melatonin بتركيز 1.8 ملغم . لتر⁻¹ ثم كرر الرش بعد ثلاثة أيام.
4. رشت نباتات الخيار ، التي بعمر 4-5 أوراق و المزروعة في تربة معقمة بـ 30 مل من محلول الكيتوسان Chitosan بتركيز 25 ملغم . لتر⁻¹ ثم كرر الرش بعد ثلاثة أيام.
5. رشت نباتات الخيار ، التي بعمر 4-5 أوراق و المزروعة في تربة معقمة بخلط مكون من 15 مل من البكتيريا *B. amyloliquefaciens* بكتافة عدديّة 2.2×10^{11} وحدة تكوين مستعمرة / مل و 15 مل محلول الميلاتونين Melatonin بتركيز 1.8 ملغم . لتر⁻¹ ثم كرر الرش بعد ثلاثة أيام.
6. رشت نباتات الخيار ، التي بعمر 4-5 أوراق و المزروعة في تربة معقمة بخلط مكون من 15 مل من البكتيريا *B. amyloliquefaciens* بكتافة عدديّة 2.2×10^{11} وحدة تكوين مستعمرة / مل و 15 مل محلول الكيتوسان Chitosan بتركيز 25 ملغم . لتر⁻¹ ثم كرر الرش بعد ثلاثة أيام.
7. رشت نباتات الخيار ، التي بعمر 4-5 أوراق و المزروعة في تربة معقمة بخلط مكون من 15 مل من بمحلول الكيتوسان Chitosan بتركيز 25 ملغم . لتر⁻¹ و 15 مل من محلول الميلاتونين Melatonin بتركيز 1.8 ملغم . لتر⁻¹ ثم كرر الرش بعد ثلاثة أيام.

ب – نباتات ملقة بالفايروس :

1. لقحت نباتات مزروعة في تربة معقمة بمستخلص من نبات خيار ظاهرة عليه أعراض الموزائيك الشديد بعمر 6-8 أوراق.
2. رشت نباتات الخيار ، التي بعمر 4-5 أوراق و المزروعة في تربة معقمة بـ 30 مل من البكتيريا *B. amyloliquefaciens* بكتافة عدديّة 2.2×10^{11} وحدة تكوين مستعمرة / مل والمجهزة بشكل مزرعة سائلة على وسط P.S.B ثم كرر الرش بعد ثلاثة أيام وبعد الاضافة الاخيره بثلاثه أيام لقحت النباتات بمستخلص النبات المصاب بعمر 6-8 أوراق.
3. رشت نباتات الخيار ، التي بعمر 4-5 أوراق و المزروعة في تربة معقمة بـ 30 مل من محلول الميلاتونين Melatonin بتركيز 1.8 ملغم . لتر⁻¹ ثم كرر الرش بعد ثلاثة أيام وبعد الاضافة الاخيره بثلاثه أيام لقحت النباتات بمستخلص النبات المصاب بعمر 6-8 أوراق.
4. رشت نباتات الخيار ، التي بعمر 4-5 أوراق و المزروعة في تربة معقمة بـ 30 مل من محلول الكيتوسان Chitosan بتركيز 25 ملغم . لتر⁻¹ ثم كرر الرش بعد ثلاثة أيام وبعد الاضافة الاخيره بثلاثه أيام لقحت النباتات بمستخلص النبات المصاب بعمر 6-8 أوراق.
5. رشت نباتات الخيار ، التي بعمر 4-5 أوراق و المزروعة في تربة معقمة بخلط مكون من 15 مل من البكتيريا *B. amyloliquefaciens* بكتافة عدديّة 2.2×10^{11} وحدة تكوين مستعمرة / مل و 15 مل محلول الميلاتونين Melatonin بتركيز 1.8 ملغم . لتر⁻¹ ثم كرر الرش بعد ثلاثة أيام وبعد الاضافة الاخيره بثلاثه أيام لقحت النباتات بمستخلص النبات المصاب بعمر 6-8 أوراق.
6. رشت نباتات الخيار ، التي بعمر 4-5 أوراق و المزروعة في تربة معقمة بخلط مكون من 15 مل من البكتيريا *B. amyloliquefaciens* بكتافة عدديّة 2.2×10^{11} وحدة تكوين مستعمرة / مل و 15 مل بمحلول الكيتوسان Chitosan بتركيز 25 ملغم . لتر⁻¹ ثم كرر الرش بعد ثلاثة أيام وبعد الاضافة الاخيره بثلاثه أيام لقحت النباتات بمستخلص النبات المصاب بعمر 6-8 أوراق..
7. رشت نباتات الخيار ، التي بعمر 4-5 أوراق و المزروعة في تربة معقمة بخلط مكون من 15 مل من بمحلول الكيتوسان Chitosan بتركيز 25 ملغم . لتر⁻¹ و 15 مل من محلول الميلاتونين Melatonin بتركيز 1.8 ملغم . لتر⁻¹ ثم كرر الرش بعد ثلاثة أيام وبعد الاضافة الاخيره بثلاثه أيام لقحت النباتات بمستخلص النبات المصاب بعمر 6-8 أوراق.

سجلت النتائج وحسبت نسبة الاصابة وشدةتها والأطوال للمجموعين الجذري ، والخضري ، وكذلك الاوزان الطرية ، والجافة للمجموعين الجذري ، والخضري ، ونسبة الكلوروفيل ومساحة الورقة والعناصر NPK وعدد الثمار وزنها .

3.2.11. تقيير النسبة المئوية لاصابة نباتات الخيار بالفايروس :

تم حساب نسبة الاصابة لكل معاملة ملقطة بمستخلص النبات المصاب من خلال المعادلة الآتية :

% للاصابة = عدد النباتات المصابة / العدد الكلي للنباتات المزروعة $\times 100\%$. (الياسري واخرون، 2016).

3.2.12. قياس شدة الاصابة الفايروسيّة للتجربة ومتابعة الأعراض :

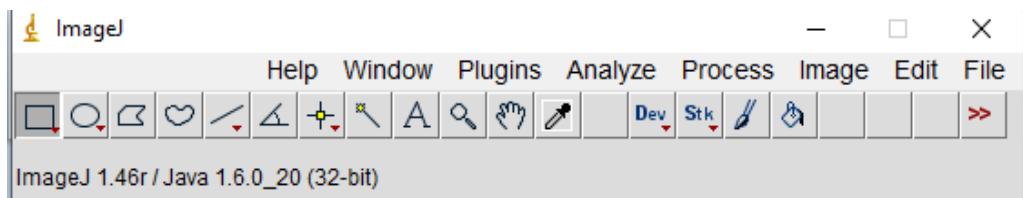
تمت مراقبة تطور الأعراض وشدتتها على النباتات الملقحة وتم تقييمها على أساس مدرج من 10 درجات لتطور الأعراض الظاهرة عليها كالتالي :

جدول (3.4) دليل تطور الأعراض لنباتات خيار ظاهرة عليها أعراض الموزائيك الشديد

درجة الاصابة	وصف الاعراض	% شدة الاصابة	صورة الاعراض
0	نبات سليم	0	
20	موزائيك خفيف (تحل الكلوروفيل بنسبة بسيطة)	2	
40	موزائيك شديد (تحل الكلوروفيل بنسبة شديدة)	4	
60	موزائيك شديد (تحل الكلوروفيل بنسبة شديدة) وتجمد الأوراق	6	
80	موزائيك شديد (تحل الكلوروفيل بنسبة شديدة) و تجمد شديد الأوراق وصغر حجمها	8	
100	موزائيك شديد (تحل الكلوروفيل بنسبة شديدة) وتجمد الأوراق وصغر حجمها مع تشوهها وتقزم النبات	10	

% شدة الاصابة = (عدد النباتات × درجة اصابتها / العدد الكلي للنباتات المفحوصة × اعلى درجة اصابة في السلم) × 100

3.2.13. تقدير مساحة أوراق نباتات التجارب الحقلية باستخدام برنامج J Image



شكل (3.3) واجهة برنامج J Image

تم تقدير مساحة الأوراق من خلال اختيار أوراق عشوائية لجميع المعاملات (بواقع 3 مكررات للمعاملة الواحدة)

1- ثبتت الورقة النباتية المراد قياس مساحتها على ورقة A4 وكتابة رمز المعاملة لتعريفها وبجانبها مسطرة وتم مسحها ضوئيا بجهاز Scanner وحفظ الصورة .

2- فتح برنامج J Image ومن قائمة File ومن قائمة open تم اختيار صورة الورقة المؤخوذة سابقا .

3- نضغط على ايقونة وحدد على المسطرة الموجودة في الصورة cm واحد أو أكثر ثم الذهاب إلى Analyze واختيار set scale ظهرت نافذة كتبت عدد السنتيمترات ، التي تم تحديدها على المسطرة في مربع known distance وكتبت وحدة cm في المربع unit of . OK وحدد length

4- نضغط على ايقونة وحددت الورقة النباتية في الصورة .

5- من قائمة Edit تم اختيار clear outside ومن ثم تم ازالة الخلفية لصورة الورقة النباتية .

6- من قائمة image تم اختيار Adjust color threshold ظهرت نافذة تحتوي عدة مؤشرات نحرك يمينا ويسارا لتحديد الورقة النباتية لتصبح باللون الأحمر أو الأسود ثم select .

7- من قائمة Analyze تم اختيار Measure تظهر نافذة Results تحتوي على مساحة الورقة . (Cosmulescu 2020، وآخرون)

3.2.14. تقدير نسبة الكلوروفيل الكلية في أوراق نباتات التجارب الحقلية بعد 14

يوماً من ظهور الأعراض الفايروسيّة :

تم تقدير الكلوروفيل للمعاملات في مختبر مديرية الزراعة في النجف بأخذ أوراق عشوائية من ثلاثة مكررات لكل معاملة ثم وزن 1 غم من الأوراق الغضة ، وتم سحقها بالهالون الخزفي مع 10 مل من الأسيتون ثم اخذ الراشح وترك الراسب ، ووضعت في أنابيب اختبار مع تعليم كل معاملة بعدها تمت معايرة لجهاز الطيف الضوئي (UV- Visible Spectrophotometer) بوضع كمية من الاسيتون في الخلية الزجاجية للجهاز بعدها نقل المستخلص لكل مكرر للمعاملات المختلفة كلا على حدة ، وأخذت الخلية الزجاجية للجهاز ، وأخذت القراءات للاطوال الموجية 663 و 645 بعدها تم حساب كمية الكلوروفيل على وفق المعادلة الآتية :

$$\text{تركيز الكلوروفيل} = 20.2 \times (\text{قراءة الجهاز بطول موجي } 645 \text{ nm}) + 8.02 \times (\text{قراءة الجهاز بطول موجي } 663 \text{ nm}) \times (\frac{\text{حجم المستخلص}}{1000} \times \text{وزن عينة الورقة المؤخوذة}) \text{ (زغير ، 2021)}.$$

3.2.15. تقدير نسب محتوى نباتات التجارب الحقلية من العناصر الكبرى NPK

بعد 14 يوماً من ظهور الأعراض الفايروسيّة :

أجري تحليل العناصر من قبل مختبر فدك المركزي للتحليلات التابع للعتبة العلوية المقدسة وكما يأنـي :

3.2.15.1. هضم العينات النباتية المراد اختبار نسب العناصر الكبرى NPK فيها

بطريقة حامض الكبريتيك مع السيلينيوم :

1- أخذت عينات من أوراق نباتات التجربة الناضجة بعد 14 يوماً من ظهور الأعراض الفايروسيّة

ووضعت في أكياس ورقية وتركـت مفتوحة لتجف لمدة 48 ساعة

2- اخذ 0.5 غم من العينات الجافة ، والمطحونة ، والمنخولة ووضعت في أنبوبة الهضم ، ثم أضيف لها 10 مل من حامض الكبريتيك المركز على دفعتين لتجنب الفوران .

3- ثم أضيف له 1 غم من مساعد الهضم CuSO_4 1.6% و 96.8% Na_2SO_4 و خلط المزيج وتركـللـليـومـالتـالـيـ.

4- وضـعـتـأـنـابـيبـالـهـضـمـبـجـهـازـالـهـضـمـبـدـرـجـةـحـرـارـةـ150ـمـهـلـمـدـةـنـصـفـسـاعـةـ،ـثـمـرـفـعـتـالـحـرـارـةـإـلـىـ380ـمـهـلـمـدـةـثـلـاثـسـاعـاتـ،ـثـمـاـخـرـجـأـنـبـوبـالـهـضـمـوـتـرـكـلـيـبـرـدـوـهـنـاـيـجـبـاـنـتـكـونـلـوـنـالـعـيـنـةـشـفـافـاـأـوـأـصـفـرـفـاتـحـ.

5- أضيف له القليل من الماء المقطر وحرك ببطئ ثم أكمل الحجم إلى 100 مل بالماء المقطر . (الزعبي واخرون ، 2013) .

3.2.15.2 تقدير النسبة المئوية لعنصر النتروجين N الكلي في أوراق نباتات

التجارب الحقليّة (جهاز كلدال (Kheldal) :

- 1- تم هضم العينة بالطريقة المذكورة اعلاه.
- 2- رشح المحلول الناتج من عملية الهضم كاملاً ووضع في دورق سعة 100 مل ، وأكمل الحجم بالماء المقطر .
- 3- لتقدير نظامية H_2SO_4 0.01 ، وذلك باستخدام جهاز المعايرة الآلي حيث اخذ حجم 10 مل ، من محلول Tris 0.01 النظامي وتم قياس درجة الحموضة pH لها لتكون 5 وتحسب نظامية H_2SO_4 :

عيارية حامض الكبريتيك = (عيارية محلول Tris / حجم حامض الكبريتيك المستخدم للالمعايرة) $\times 10$

- 4- وضع 1 مل من محلول حامض البوريك H_3BO_3 المشبع المضاف له صبغة Bromocresol green و 1 مل من الماء المقطر في طبق التبخير، ثم وضع الطبق تحت رأس أنبوب المكثف بحيث يلامس محلول.
- 5- أخذ 10 مل من العينة المهدومة بواسطة ماصة ، ثم وضعت في دورق التقطرir سعة 100 مل ، ثم أضيف له 10 مل من محلول NaOH النظامي .
- 6- ثم أوصل دورق التقطرir مع محلول إلى وحدة التقطرir وتم البدء بعملية التقطرir .
- 7- بعد 4 دقائق جمع 35 مل من المادة المقطرة تم ايقاف عملية التقطرir وغسل رأس المكثف بقليل من الماء المقطر إلى طبقة التبخير .
- 8- وباستخدام جهاز المعايرة الآلي تم معايرة المادة المقطرة بمحلول $0.01 H_2SO_4$ نظامي إلى درجة حموضة pH بلغت 5 .
- 9- ثم وضع في طبق التبخير 5 مل من محلول H_3BO_3 مع الكاشف المختلط (0.5 غ من بروم كريزول الأخضر و 0.1 غ من أحمر مثيل في 100 مل من الإيثانول %95) .
- 10- تم اجراء عملية التقطرir وجمع 35-40 مل من محلول المقطر .
- 11- تم غسل رأس المكثف إلى طبق التبخير ثم تمت المعايرة بحامض $0.01 H_2SO_4$ نظامي حتى تحول اللون الأخضر إلى اللون الوردي الفاتح .
- 12- تم حساب عنصر النتروجين من خلال المعادلة (الزعبي واخرون ، 2013) :

$$\text{N\%} = \frac{\text{حجم الحامض المستخدم لمعاييرة العينة} - \text{حجم الحامض المستخدم للشاهد}}{\text{الحامض} \times \text{حجم محلول الهضم} / \text{حجم السحب} \times \text{وزن العينة}} \times 1000 \times 14$$

3.2.15.3 تقدیر النسبة المئوية لعنصر الفسفور P الكلي في أوراق نباتات التجارب الحقیقية (بجهاز المطياف الضوئي Spectrophotometer):

1. تم هضم العينة الطريقة بنفسها المذكورة اعلاه.
2. حضر محلول فوسفات قياسي بتركيز 50 ملغم / لتر فسفور حيث ذوب 0.2196 غم من KH_2PO_4 المجفف بدرجة حرارة 105 مه لمدة ساعة إلى القليل من الماء المقطر ثم أكمل الحجم إلى اللتر ، ثم حضر منه محلائل قياسية (0.5 ، 1 ، 1.5 ، 2 ، 2.5) ملغم / لتر
3. حضر كاشف باترون :
 - أ- من اذابة 25 غم من موليبيدات الامونيوم $(\text{NH}_4)_6\text{MO}_7\text{O}_{24}$. 4. H_2O في 400 مل ماء مقطر مسخن بدرجة 50 مه ثم ترك ليبرد.
 - ب- ذوب 1.25 غم من فاندات الامونيوم (NH_4VO_3) في 300 مل ماء مقطر مغلي ، ثم ترك ليبرد بعدها نقل إلى دورق سعة 1000 مل .
 - ت- أضيف لها بحذر 250 مل من حامض الأزوت ثم أضيف محلول موليبيدات الامونيوم ببطئ وحرك المزيج وأكمل الحجم إلى لتر بالماء المقطر.
 4. وضع 5 مل من العينة المهدومة في دورق سعة 50 مل ثم أضيف لها 20 مل من الماء المقطر ثم أضيف 5 مل من كاشف بارتون (محلول موليبيدات فاندات الامونيوم) ، وتم مزجها جيدا ثم أكمل الحجم بالماء المقطر.
 5. ترك المزيج لمدة 30 دقيقة لتصل شدة اللون إلى أقصاها بحسب درجة الحموضة ، فإذا كانت 0.2 عياري فاللون لا يتشكل ، أما اذا كانت 0.6 عياري فاللون يتشكل ببطئ ، والتركيز المناسب هو 0.5 عياري .
 6. حضر الشاهد والمحلائل القياسية وتم معاملتهم معاملة العينة.
 7. تم قراءة شدة اللون الاصفر للشاهد والمحلائل القياسية والعينات على جهاز Spectrophotometer على طول موجي 430 نانومتر .
 8. تم رسم خط بياني بين قراءات الامتصاص الضوئي وتراكيز الفسفور في المحلائل القياسية وتم حساب نسبة الفسفور من خلال المعادلات (الزعبي وآخرون ، 2013) :

$$\text{P ملغم / كغم} = \frac{(\text{وزن العينة})}{(\text{التركيز من المنحني} \times \text{حجم محلول الكلي})}$$

$$\% \text{P} = \frac{(\text{وزن العينة} \times 10000)}{(\text{التركيز من المنحني} \times \text{حجم محلول الكلي})}$$

3.2.15.4 تقدیر النسبة المئوية لعنصر البوتاسيوم K الكلي في أوراق نباتات التجارب الحقلية (بجهاز اللهب الضوئي FLAME Photometer) :

1. وزن 0.2 غم من العينة المجففة والمطحونة وتم هضمها بالطريقة المذكورة في فقرة هضم العينات النباتية.
2. ذوب 1.91 غم من كلوريد البوتاسيوم KCl المجفف على درجة حرارة 105 مه في دوارق سعة 1000 مل بالماء المقطر وأكمل الحجم إلى اللتر.
3. اخذ من محلول المجهز 2، 4، 6، 8، 10، 15، 20 مل أضيفت إلى دوارق سعة 100 مل، وتم اكمال احجامها بمحلول اسيتات الامونيوم وبذلك تم الحصول على التراكيز 20، 40، 60، 80، 100، 150، 200 ملغم / لتر .
4. رشحت محليل العينات ونقلت إلى دوارق سعة 100 مل وأكملت احجامها إلى 100 مل بالماء المقطر .
5. تم قراءة المحاليل بجهاز التحليل الطيفي باللهب Flame Photometer وتم حساب نسب البوتاسيوم الكلي من خلال المعادلة (الزغبي واخرون ، 2013) :

$$\%K = \frac{(\text{وزن العينة} \times 10000)}{(\text{التركيز من المنحني} \times \text{الحجم للمحلول الكلي})}$$

3.2.16 حساب الربح المتحقق لنتائج المعاملات المطبقة حقلياً على محصول الخيار المزروع في مساحة دونم واحد (2500م²) :

$$\text{عدد الخطوط في الدونم} = \frac{\text{طول الدونم}}{\text{المسافة بين الخطوط}}$$

$$= \frac{1}{50} \text{ م} =$$

$$= 50 \text{ خط}$$

$$\text{عدد النباتات بالخط الواحد} = \frac{\text{طول الدونم}}{\text{المسافة بين النباتات}}$$

$$= \frac{0.4}{50} \text{ م} =$$

$$= 125 \text{ نبات}$$

$$\text{عدد النباتات الكلية في الدونم} = \text{عدد الخطوط} \times \text{عدد النباتات بالخط الواحد}$$

$$= 125 \times 50 =$$

$$= 6250 \text{ نبات}$$

3.2.16.1 حاصل عمر بذور الخيار بالماء فقط لمدة 30 دقيقة قبل الزراعة في مساحة دونم (المقارنة) :

$$\begin{aligned} \text{حاصل المقارنة في الدونم} &= \text{عدد النباتات الكلية في الدونم} \times \text{وزن حاصل نبات واحد} \\ &= 6250 \text{ نبات} \times 0.251 \text{ كغم} \\ &= 1568.75 \text{ كغم} \end{aligned}$$

$$\begin{aligned} \text{الربح المالي للمقارنة} &= \text{الوزن الكلي للحاصل في الدونم} \times \text{سعر الكيلوغرام الواحد} \\ &= 1568.75 \text{ كغم} \times 1000 \text{ دينار عراقي} \end{aligned}$$

$$\text{الربح الصافي للمقارنة} = 1,568,750 \text{ دينار} - 20000 \text{ دينار} (\text{سعر المبيد} + \text{البذور} + \text{البتموس})$$

$$\begin{aligned} &= 1548750 \text{ دينار عراقي والذى يساوى} 1060.42 \text{ دولار امريكي} (\text{حسب سعر صرف} \\ &\text{الدولار بتاريخ 20/6/2021}) \end{aligned}$$

3.2.16.2 حساب الربح المتحقق لمعاملة عمر بذور نبات الخيار بالتوقيفة

المزدوجة المكونة من بكتيريا *B. amyloliquefaciens* و محلول الميلاتونين :

$$\begin{aligned} \text{حاصل افضل معاملة في الدونم} &= \text{عدد النباتات الكلية في الدونم} \times \text{وزن حاصل نبات واحد} \\ &= 6250 \text{ نبات} \times 0.408 \text{ كغم} \\ &= 2550 \text{ كغم} \end{aligned}$$

$$\begin{aligned} \text{الربح المالي} &= \text{الوزن الكلي للحاصل في الدونم} \times \text{سعر الكيلوغرام الواحد} \\ &= 2550 \text{ كغم} \times 1000 \text{ دينار عراقي} \end{aligned}$$

$$= 2550000 \text{ دينار عراقي والذى يساوى} 1745.98 \text{ دولار امريكي}$$

$$\text{الربح الصافي للمعاملة} = 2550000 \text{ دينار عراقي} - 31000 \text{ دينار عراقي}$$

$$= 2519000 \text{ دينار عراقي والذى يساوى} 1724.75 \text{ دولار امريكي}$$

$$\begin{aligned} \text{الربح المتحقق للمعاملة} &= \text{الربح المالي للمعاملة} - \text{الربح المالي للمقارنة} \\ &= 1724.75 \text{ دولار امريكي} - 1060.42 \text{ دولار امريكي} \end{aligned}$$

$$= 664.33 \text{ دولار امريكي}$$

$$\% \text{ للأرباح} = \frac{\text{الربح المتحقق للمعاملة}}{\text{الربح المالي للمقارنة}} \times 100$$

$$\% 62.6 =$$

3.2.16.3. الربح المتحقق لمعاملة سقي نبات الخيار بالماء فقط (مقارنة) :

حاصل المقارنة في الدونم = عدد النباتات الكلية في الدونم × وزن حاصل نبات واحد

$$= 6250 \times 0.264 \text{ كغم}$$

$$= 1650 \text{ كغم}$$

الربح المالي للمقارنة = الوزن الكلي للحاصل في الدونم × سعر الكيلوغرام الواحد

$$= 1650 \text{ كغم} \times 1000 \text{ دينار عراقي}$$

الربح الصافي للمقارنة = 1650000 دينار - 20000 (سعر المبيد + البذور + البتموس)

= 1630.000 دينار عراقي والذي يساوي 1116.06 دولار امريكي (حسب سعر صرف

الدولار بتاريخ 20 / 6 / 2021)

3.2.16.4. الربح المتحقق لمعاملة سقي نبات الخيار بالتوقيفة المزدوجة المتكونة من بكتيريا *B. amyloliquefaciens* و محلول الميلاتونين :

حاصل افضل معاملة في الدونم = عدد النباتات الكلية في الدونم × وزن حاصل نبات واحد

$$= 6250 \times 0.41 \text{ كغم}$$

$$= 2562.5 \text{ كغم}$$

الربح المالي = الوزن الكلي للحاصل في الدونم × سعر الكيلوغرام الواحد

$$= 2562.5 \text{ كغم} \times 1000 \text{ دينار عراقي}$$

$$= 2562500 \text{ دينار عراقي}$$

الربح الصافي للمعاملة = 2562500 دينار عراقي - 31000 دينار عراقي (سعر المبيد +

الميلاتونين و البكتيريا)

= 2531500 دينار عراقي والذي يساوي 1733.31 دولار امريكي

الربح المتحقق للمعاملة = الربح المالي للمعاملة - الربح المالي للمقارنة

$$= 1733.31 \text{ دولار امريكي} - 1116.06 \text{ دولار امريكي}$$

$$= 617.25 \text{ دولار امريكي.}$$

$$\% \text{ للربح} = \frac{\text{الربح المتحقق لمعاملة}}{\text{الربح المالي للمقارنة}} \times 100$$

$$\% \text{ للربح} = 55.3 \%$$

3.2.16.5 حساب الربح المتحقق لمعاملة رش نبات الخيار بالماء فقط (مقارنة) :

$$\text{حاصل المقارنة في الدونم} = \text{عدد النباتات الكلية في الدونم} \times \text{وزن حاصل نبات واحد}$$

$$= 6250 \text{ نبات} \times 0.282 \text{ كغم}$$

$$= 1762.5 \text{ كغم}$$

$$\text{الربح المالي للمقارنة} = \text{الوزن الكلي للحاصل في الدونم} \times \text{سعر الكيلوغرام الواحد}$$

$$= 1762.5 \text{ كغم} \times 1000 \text{ دينار عراقي}$$

$$\text{الربح الصافي للمقارنة} = 1762500 - 20000 \text{ دينار} - (\text{سعر المبيد} + \text{البذور} + \text{البتموس})$$

$$= 1742500 \text{ دينار عراقي} \text{ والذي يساوي} 1193.08 \text{ دولار امريكي} \text{ (حسب سعر صرف الدولار بتاريخ 20/6/2021)}$$

3.2.16.6 حساب الربح المتحقق لمعاملة رش نبات الخيار بالتوليفة المزدوجة المكونة من بكتيريا *B. amyloliquefaciens* و محلول الكيتوسان :

$$\text{حاصل افضل معاملة في الدونم} = \text{عدد النباتات الكلية في الدونم} \times \text{وزن حاصل نبات واحد}$$

$$= 6250 \text{ نبات} \times 0.392 \text{ كغم}$$

$$= 2450 \text{ كغم}$$

$$\text{الربح المالي} = \text{الوزن الكلي للحاصل في الدونم} \times \text{سعر الكيلوغرام الواحد}$$

$$= 2450 \text{ كغم} \times 1000 \text{ دينار عراقي}$$

$$= 2450000 \text{ دينار عراقي}$$

$$\text{الربح الصافي لمعاملة} = 2450000 - 40000 \text{ دينار عراقي} - (\text{سعر المبيد} + \text{سعر الكيتوسان والبكتيريا})$$

$$= 2410000 \text{ دينار عراقي} \text{ والذي يساوي} 1650.12 \text{ دولار امريكي} \text{ (حسب سعر صرف الدولار بتاريخ 20/6/2021)}$$

$$\begin{aligned} \text{الربح المتحقق للمعاملة} &= \text{الربح المالي للمعاملة} - \text{الربح المالي للمقارنة} \\ &= 1650.12 - 1193.08 = 459.04 \text{ دولار أمريكي.} \end{aligned}$$

$$\begin{aligned} \% \text{ للأرباح} &= \frac{\text{الربح المتحقق للمعاملة}}{\text{الربح المالي للمقارنة}} \times 100 \\ &= \frac{459.04}{1193.08} \times 100 = 38.4\%. \end{aligned}$$

3.2.17 التحليل الاحصائي للبيانات:

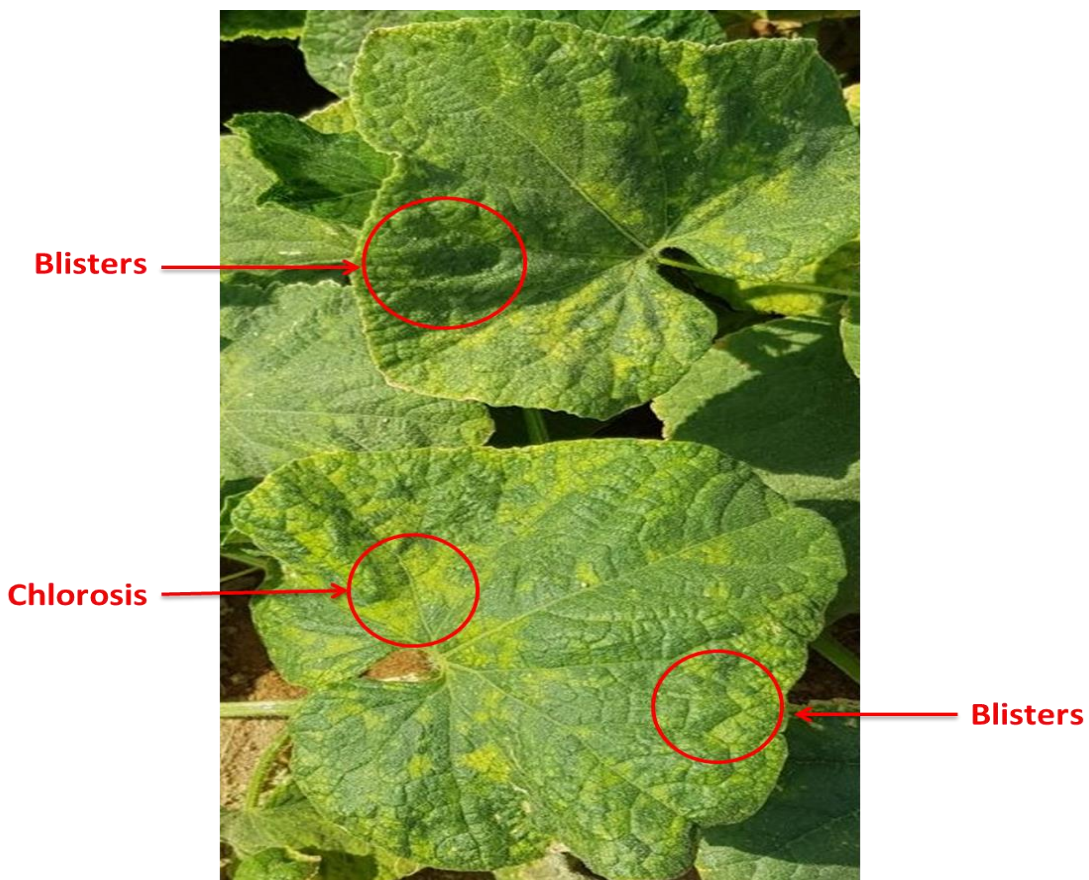
حللت نتائج الدراسة للتجارب الحقلية على وفق تصميم القطاعات العشوائية الكاملة حيث كانت التجارب عاملية ذات عاملين ، عدد معاملات العامل الاول اثنين وعدد معاملات العامل الثاني سبعة ، وبثلاث مكررات ، كما حللت النتائج حسب اختبار اقل فرق معنوي LSD عند مستوى احتمال 0.05 لمقارنة النتائج (الراوي وخليف الله ، 2000). واستعمل البرنامج Genstat اصدار 12 والبرنامج Microsoft Excel في تحليل البيانات .

Results and Discussion

4. النتائج و المناقشة

4.1 الأعراض المرضية على نبات الخيار المصابة بالفايروسات *Squash vein* و *Tomato leaf curl* و *yellowing virus isolate SVYV/Iraq* *: Palampur virus isolate Babylon1*

كانت الأعراض على نباتات الخيار الملقحة بالفايروس كما موضح في الشكل (4.1) أعراض جهازية بلغت بين موزائيك طفيف إلى موزائيك شديد على الأوراق وتتجعدها ، وكذلك تقرن النبات وقصر السلاميات ، واعناق الأوراق ، وصغر حجم الأوراق ، وتشوهها وقلة عدد الثمار وصغر حجمها ، كما قللت الاصابة الفايروسية من نسب الكلوروفيل الكلي في الأوراق الملقحة بالفايروس ، وكذلك قللت مستويات عنصري التتروجين N والبوتاسيوم K ولم تؤثر على نسبة الفسفور P في الأوراق النباتية الجافة .



شكل (4.1) الأعراض المرضية على نباتات خيار مصاب باصابة مشتركة بين فايروسات *Tomato leaf curl* و *Squash vein yellowing virus isolate SVYV/Iraq* حيث أن الدائرة تشير إلى أعراض الموزائيك *Palampur virus isolate Babylon1* والتجعد .

ترجع أعراض الموزائيك الظاهره على الأوراق المصابة هو نتيجة الخضن الحاصل في نسب الكلورو فيل الكلي ، حيث أن التحلل الحاصل في صبغة الكلورو فيل بسبب الاصابة الفايروسيه يؤثر على معدل البناء الضوئي للنباتات المصابة مما يؤدي إلى ظهور اعراض الأصفار والموزائيك على الأوراق (شريف ، 2012 ، Chakraborty و Bhattacharyya ، 2018).

كما أن الاصابة الفايروسيه تدمر صفائح الكريات ومن ثم تؤدي إلى انخفاض مستويات صبغات البناء الضوئي ، وأيضاً انخفاض في سرعة التفاعل الكيمياضوئي (الذي يسيطر جزيئات الماء إلى اوكسجين حر) ، أو يحدث انخفاض في كميات البروتينات المتخصصة ، التي ترتبط بجزيئات النظام الضوئي و من المعروف أن الإصابات الفايروسيه تسبب العديد من التغييرات في البلاستيدات الخضراء لتسهيل تضاعف الفايروس وحركته ، فعادةً ما تؤدي العدوى الفايروسيه ، التي تسبب الموزائيك ، أو التبعق في الأوراق إلى زيادة مستويات ROS ، الذي عادة ما ينتج في البلاستيدات الخضراء (قاسم ، 2011 و الربيعي ، 2021).

قد يعود سبب النقص الحاصل في مستويات عنصري النتروجين N والبوتاسيوم K في الأوراق النباتية إلى الاصابة الفايروسيه (El-Dougoug وآخرون ، 2020) . وإن هذا النقص يؤدي إلى تثبيط نمو النبات ، وتقرمه ، وكذلك تحلل صبغة الكلورو فيل كما أنه يسبب زيادة في حساسية النبات تجاه الاصابة بالممرضات. أما سبب عدم تأثير الاصابة الفايروسيه في عنصر الفسفور P في النبات رغم أنه مكون اساسي في كل الفايروسات يعود إلى أن الفايروسات تستعمل الفسفور غير الذائب كمكون لبناء نفسها وهذا ما اكنته دراسة بحصول زيادة في كمية الفسفور الفايروسي مع انخفاض في كمية الفسفور غير الذائب في الخلايا (قاسم ، 2011).

قد تكون زيادة الفسفور في الخلايا النباتية هو نتيجة للاصابة الفايروسيه ، التي تؤدي إلى زيادة في نشاط إنزيم 6-phosphogluconate dehydrogenase (6PGdH) وهو مسلك رئيسي للحصول على فوسفات السكر الخامس (Ribose - Phosphate) وهو أحد مكونات الاحماض النوويه والبروتينات النوويه (Mofunanya وآخرون ، 2021) . وهذه النتيجة تتفق مع ما ذكره (الفضل ، 1984) حيث وجد أن عنصر الفسفور حصلت فيه زيادة غير معنوية في أوراق النباتات الملقحة بالفايروس .

وقد تكون أعراض التقرّم ، وضعف النبات ، وصغر حجم الأوراق هو نتيجة للتغيرات الهرمونية الحاصلة بسبب الاصابة الفايروسيه ، حيث تحصل تغيرات في مستويات الهرمونات النباتية ، ويتم تنسيق هذه التغيرات بإحكام مع الحركة الفيروسيه وتضاعف الفايروس وتطور الأعراض ، وكذلك الاستجابات الدفاعية للنبات كما تؤثر الاصابة الفايروسيه بشكل عام على أيض

النبات الاولى والثانوي مما يؤدي إلى ظهور الاعراض المرضية قد تصل إلى موت النبات أو أجزاء منه (شريف ، 2011).

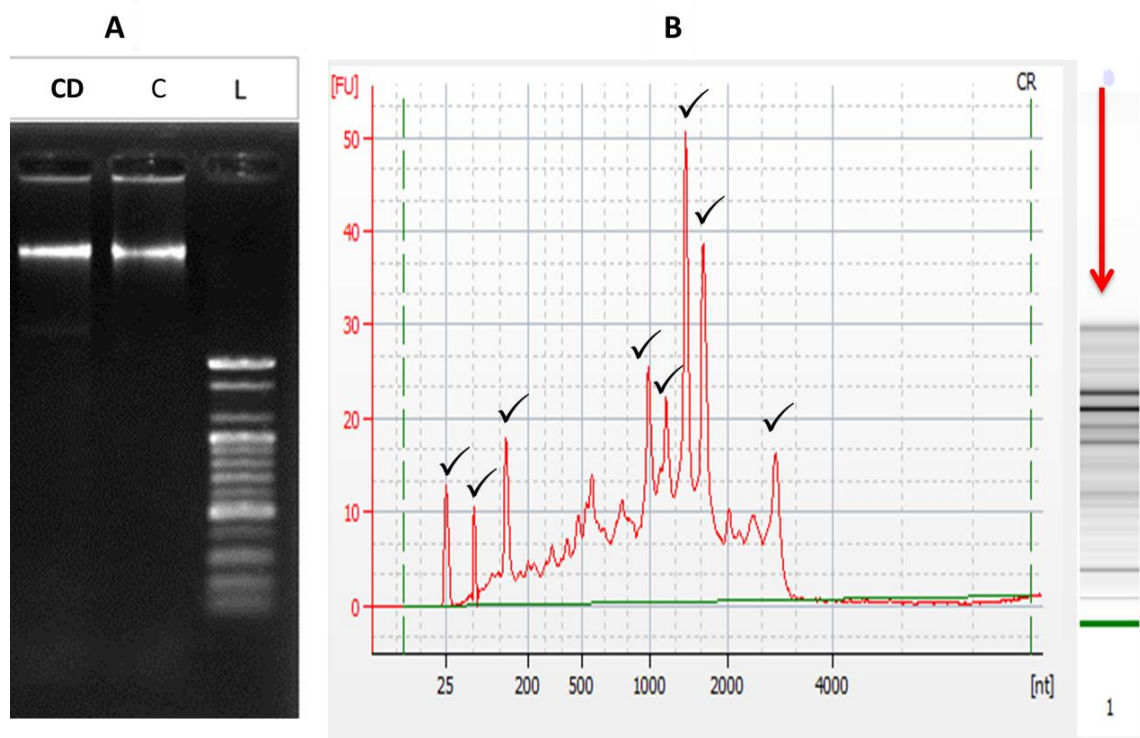
4.2. تقنية تسلسل الجيل القادم (NGS ، Next Generation Sequencing) للاحماض النووي DNA و RNA لنبات خيار مصاب بالفايروسات :

إن نتيجة استخلاص الحامض النووي DNA الكامل من نبات الخيار المصابة صنف (Nickerson Zwaan Holland) Superina مايكروليتر، أما نتيجة استخلاص الحامض النووي RNA فكانت بنقاوة 2.11 و تركيز 335.4 نانوغرام / مايكروليتر وفي حين كانت سلامة الحامض النووي RNA هي 4.8 . كما موضح في جدول (4.1).

جدول (4.1) قراءة جهاز Nanodrop للأحماض النووية DNA و RNA لنبات الخيار المصابة بالفايروسات Squash vein yellowing virus isolate SVYV/Iraq و Tomato leaf curl Palampur virus isolate Babylon1

RIN	vol. مايكروليتر الحجم	230/260	280/260	التركيز نانوغرام / مايكروليتر	نوع الحامض النووي	رمز العينة
-	44	1.82	1.88	378.0	DNA	CD
4.8	32	2.17	2.1	335.4	RNA	CR

حيث يجب أن تكون نسبة $280/260 \leq 1.8$ فهذه دليل على أن تركيز الحامض النووي أكبر من تركيز البروتينات والملوثات الأخرى ، أما $230/260 \leq 1.5$ وهذا دليل على أن كمية الأملاح في عينة الحامض النووي قليلة (زغير ، 2021) . كما إن الترحيل الكهربائي للحامض النووي DNA للعينة المصابة أظهر حزمة في أعلى الهراء ، أما الترحيل الكهربائي للحامض النووي RNA في العينة المصابة فقد أظهرت 10 حزم في هلام الاكاروز ، التي تمثل المنحنيات العشرة في جهاز Bioanalyzer نفسها وهذه تشير إلى أنواع الحامض النووي RNA الموجودة في العينة المصابة ، ومدى تركيزها كما أظهر الجهاز نسبة سلامة الحامض النووي RNA RNA RNA (RIN) Integrity Number ، التي كانت 4.8 هي جيدة لغرض استكمال قراءة التسلسل الكامل للحامض النووي RNA (Sequencing) كما موضح في الشكل (4.2)



شكل (4.2) A- الترحيل الكهربائي للحامض النووي DNA لنبات الخيار المصاب حيث ان:
: DNA CD ، C هو Control (المقارنة القياسية للشركة الفاحصة) و L
نبات الخيار .

B- السهم يشير إلى حزم RNA لنبات الخيار المصاب بعد ترحيلها على هلام الاكاروز أما علامة الصع فتشير إلى المنحنيات وعددها ثمانية ، التي تمثل انواع RNA ومدى تركيزها في العينة والممثلة لحزم الحامض النووي RNA في جهاز Bioanalyzer .

إن تحديد تركيز الحامض النووي ونقاوته أمرًا ضروريًا لاستكمال قراءة تسلسلات الحامض النووي ، حيث يتم تحديد تركيز الحامض النووي عن طريق قياس امتصاص الأشعة فوق البنفسجية ، وهذا مشتق من قانون بير لامبرت Beer-Lambert ، وهو أن كمية الضوء الممتصة عند 260 نانومتر تتناسب مع تركيز الحامض النووي في محلول (Koetsier وآخرون ، 2019)

أن الأطوال الموجية A260 / A280 تعطي مؤشرًا على نقائص الحامض الموجود (DNA أو RNA) حيث يمكن اكتشاف التلوث بالبروتين ، عندما تكون هذه النسبة قليلة ، أما زيتها فهي دليل على التلوث بالحامض النووي RNA حيث بلغت نسبة الأطوال الموجية A260 / A280 للحامض النووي عالي النقائص بين (1.8 – 2.0) بينما الأطوال الموجية A230 / A260 . تعد مؤشر حساس للملوثات التي تمت صورتها عند 230 نانومتر وهذه الملوثات أكثر عدًّا من تلك التي تمت صورة عند 280 نانومتر ، وتشمل الأملاح ، منظفات غير أيونية ، الفينول والسكريات ، حيث يجب أن تكون نسبة 230 / A260 أعلى من 1.8 لتأكيد صحة الحامض النووي (Ong وآخرون ، 2019)؛ Koetsier وآخرون ، 2019؛ Mubarik وآخرون ، 2022؛ الخفاجي ، 2022 .

إن سلامة الحامض النووي RNA تتمثل بقياس قيمة RIN في العادة بلغت قيمتها بين (5-7) إلا أن القيمة 4.7 كانت أيضًا جيدة لاستكمال قراءة التسلسل Acosta-) Sequencing (Maspons وآخرون ، 2019؛ الخفاجي ، 2022).

4.3. ربط قراءات التسلسلات الخام للحامض النووي الكاملة DNA، RNA :

Geneious : لعينات نبات الخيار المصايب في برنامج

بعد عملية ربط القراءات الخام الأمامية ، والعكسية Pairing Reads في برنامج Geneious كان العدد الكلي للقراءات الخام للحامض النووي DNA هو 89,893,674 قراءة وبطول 151 زوج قاعدة لكل قراءة كما في ملحق (1) وبنسبة مئوية لقواعد الكوانين والسايتوسين 37.5 % وهذا يغطي الجينوم الكامل لنبات الخيار ، حيث بلغت التغطية 36.99 ، أما العدد الكلي للقراءات الخام للحامض النووي RNA فقد بلغت 53,458,772 قراءة وبطول 101 زوج قاعدة لكل قراءة كما في ملحق (2) ونسبة 43.4 % وهذه القراءات تمثل جميع الأنواع الرئيسية للحامض النووي RNA في العينة المختبرة (mRNA ، rRNA و tRNA) .

عند ربط القراءات الأمامية ، والعكسية لقراءات الخام Raw reads تترافق القراءات الأمامية مع القراءات العكسية المطابقة لها ، وتعد هذه العملية ضرورية لقراءة هذه التسلسلات وتحليلها (العابدي ، 2020؛ زغير، 2021 ؛ الخفاجي ، 2022).

إن تقنية تسلسل الجيل التالي NGS والمعلوماتية الاحيائية تكشف عن مسببات الأمراض الفايروسية وتشخيصها، فمن خلالها يتم الحصول على القراءات الخام Raw reads ، التي تحوي على كل المواد الوراثية الموجودة في العينة ، ومن ضمنها تسلسلات الفايروسات المرضية. (Massart واخرون ، 2014 ؛ الخفاجي ، 2022).

تمثل النسبة المئوية لقواعد الكوانين والسايتوسين GC % الثبات العالي للحامض النووي بسبب الاواصر الهيدروجينية الثلاثية ، التي بلغت النسبة الطبيعية لها في جينومات النباتات بين (34-50) % حيث أنها تدل على استقرار الحامض النووي من التدهور نتيجة ظروف اجهاد مختلفة كدرجات الحرارة العالية وغيرها (Bowers واخرون ، 2022 ؛ الخفاجي ، 2022).

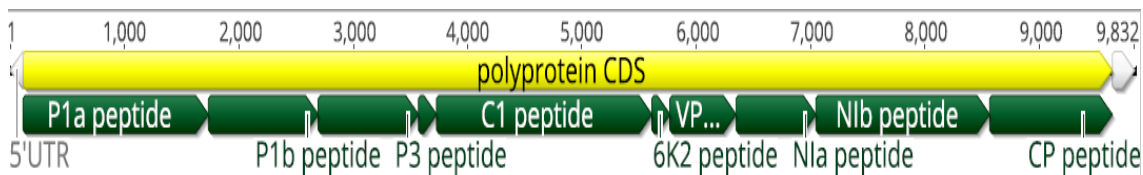
4.4. الكشف عن التسلسلات الكاملة للفايروسات المرضية الموجودة في الجينوم الكامل لنباتات الخيار (RNA، DNA) من خلال برنامج المعلوماتية الحياتية :

بعد عملية ربط القراءات الخام بالسلسلة الطويل جدا بطول 13,582,228 bp وهو ناتج من عملية ربط جميع تسلسلات الفايروسات النباتية المسجلة في NCBI والبالغ عددها 5040 فايروس من خلال أداة Map To Reference Map ، الذي يعد ضروريا لايجاد وتحديد القراءات المطابقة للتسلسل المرجعي بين ملايين القراءات ، فقد كانت عدد القراءات المرتبطة بالقراءات الخام للحامض النووي DNA 1,959,460 قراءة ، أما عدد القراءات المرتبطة بالقراءات الخام للحامض النووي RNA فبلغت 432,666 قراءة ، وهذا يدل على وجود اصابة فايروسية في العينات النباتية المستخلص منها الاحماس النووي نتيجة عدد الارتباطات الكبيرة بين التسلسلات المرجعية والقراءات الخام .

إن Map to reference هي أداة تربط قراءات التسلسلات غير المعروفة وتطابقها مع قراءات التسلسلات المعروفة ، وبذلك يمكن معرفة اوجه التشابه بينها وبين التسلسل المرجعي والكشف عن الفايروسات النباتية في العينات المختبرة (العابدي واخرون ، 2020 ؛ الخفاجي ، 2022). ومن خلال القراءات المرتبطة بعد فحصها في برنامج BLAST تم الكشف عن وجود مسببين للأعراض المرضية على الخيار وهما :

4.4.1 الكشف عن التسلسل الكامل لعزلة فايروس اصفرار العروق على القرع : *Squash vein yellowing virus isolate SVYV/Iraq*

بعد عملية ربط القراءات الخام Map To Reference للحامض النووي RNA مع التسلسل المرجعي لفايروس اصفرار عروق القرع ، حيث كانت عزلة الكيان الصهيوني (KT721735) هي الأقرب للعزلة المكتشفة وبنسبة تطابق 93.2 % وبذلك تم التأكيد من وجود التسلسل الكامل لفايروس اصفرار عروق القرع (*SqVYV*) (*Squash vein yellowing virus*) هذا الفايروس يعود إلى عائلة *Potyviridae* جنس *Potyvirus* وهو ذو نوع حامض نووي RNA ، يحتوي على منطقة مشفرة واحدة تشفّر Protein Polyprotein كما في الشكل (4.3) ، وقد سجل الفايروس المشخص في هذه الدراسة في NCBI تحت رقم ادخال (ON229619) كما في الملحق (3) . حيث كانت عدد القراءات الخام للحامض النووي RNA المرتبطة بالتسلسل المرجعي للعزلة الفايروسية هي 196675 قراءة وبطول 9832 زوج قاعدة ونسبة GC كانت 42.3 % وهذا دليل على الفايروس في عينة الخيار المصايب ، ولم يحصل أي ارتباط بين القراءات الخام للحامض النووي DNA والتسلسل المرجعي للعزلة الفايروسية لكون الحامض النووي للفايروس من نوع RNA مما يؤكّد مدى دقة النتيجة .



شكل (4.3) الخريطة الوراثية لفايروس اصفرار عروق القرع العزلة العراقية *Squash Vein Yellowing Virus isolate SVYV/Iraq*

إن تقنية NGS التي تعتمد على استخلاص الجينوم الكامل لا تسمح بالتحيز والفرضيات. وهي قادرة على تشخيص العديد من الفيروسات المعروفة وغير المعروفة الموجودة في النباتات المصابة ، فربما تكون أعراض الأمراض غائبة ، أو غير محددة أو تسببها فيروسات متعددة ومن خلال هذه التقنية تم اكتشاف فيروسات جديدة لم تكن معروفة سابقاً هي فيروسات (Jones and Raza 2017) *Cytorhabdovirus* و (Shahid et al. 2020).

وُجِدَ أَنْ عَدْدَ النيوكليوتيداتِ الْكَلِيِّ لِفَايِرُوس SVYV يَبْلُغُ 9836 نِيوكليوتِيداً وَيَحْتَوِي عَلَى اطَّارِ فِرَاءَةَ مَفْتُوحَ وَاحِدَ (Open Reading Frame ، ORF) يُشَفِّر بِرُوتَينَ مُتَعَدِّدَ وَالْحَامِضَ النُّوويِّ لَهُ مِنَ النُّواعِ RNA مُوجِبٌ مُفرَدَ الشَّرِيطِ ssRNA⁺ وَالْوَزْنِ polyprotein الجَزِئِيِّ لِبِرُوتَينِ الْغَطَاءِ الْبِرُوتِينِيِّ يَتَرَوَّحُ بَيْنَ 35–41 كِيلُو دَالتُونِ (Adkins وَآخْرُونَ ، 2007 ، Li وَآخْرُونَ ، 2008 ، Inoue-Nagata وَآخْرُونَ ، 2022).

يَقْتَصِرُ المَدِيُّ الْعَائِلِيُّ لِهَذَا الْفَايِرُوسَ عَلَى عَائِلَةِ الْقَرْعِيَّاتِ Cucurbitaceae (فِي الْقَرْعِ وَالْبَطْرِيجِ)، وَاسْتَبَعَتِ الْأَنْوَاعُ فِي عَائِلَاتِ Solanaceae وَ Malvaceae وَ Fabaceae وَ Chenopodiaceae وَ Asteraceae وَ Momordica charantia L. (وَآيَضاً يَصِيبُ بَعْضَ الْأَدْغَالِ مُثَلَّ Shrestha وَآخْرُونَ ، 2016) (Adkins وَآخْرُونَ ، 2007).

4.4.2. الكشف عن التسلسل الكامل لعزلة فايروس التفاف أوراق الطماطة

Tomato leaf curl Palampur virus isolate Babylon1

: (TLCPV)

ومن خلال فحص القراءات المرتبطة تبين وجود فايروس التفاف أوراق الطماطة البلموري (TLCPV) *Tomato leaf curl Palampur virus* وهو فايروس يعود إلى عائلة *Geminiviridae* ، جنس *Begomoviruses* و هو ذو حامض نووي DNA مكون من قطعتين هما A-DNA و B-DNA كما في الشكل (4.4) وكانت العزلة الإيرانية KC456161.1 هي الأقرب ؛ لذلك استعملت كتسلاسل مرجعي ، وتم اختبارها مع القراءات الخام للحامض النووي DNA فكان عدد القراءات المرتبطة مع القطعة DNA-A للفايروس هو 1,055,827 قراءة وبطول 2756 زوج قاعدة ونسبة GC 43.4 % وبنسبة تطابق 99.1 % .

عند ربط القراءات بين القطعة DNA-A للتسلسل المرجعي و القراءات الخام للحامض النووي RNA لمعرفة التعبير الجيني لجينات الفايروس فكان عدد القراءات المرتبطة 183114 قراءة ونسبة تطابق 99.1 % ، وقد سجل في NCBI تحت رقم ادخال ON229618 كما في ملحق (4).

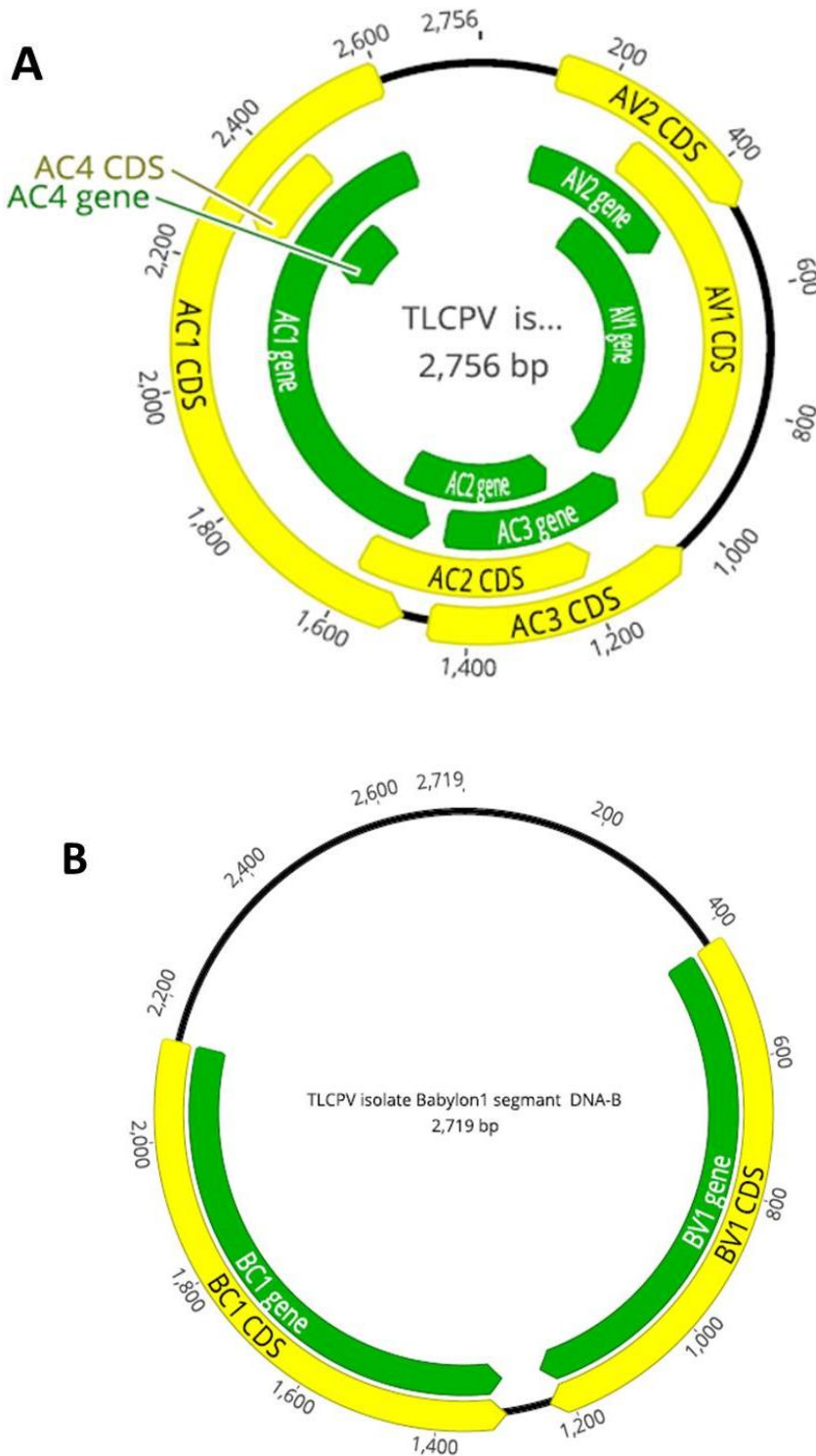
إن وجود هذا الكم من القراءات المرتبطة للحامض النووي RNA دليل على نشاط الفايروس ومشاركته مع فايروس SVYV في إحداث الاصابة وظهور الأعراض المرضية على نباتات الخيار المصابة ، حيث كانت المناطق التي حدث فيها تعبيراً جينياً هي المنطقة من 120 – 1375 بعد فحصها في برنامج BLAST وجد أنها تمثل الجينات AV1, AV2، وهما المسؤولان عن بداية إحداث الاصابة من خلال تفاعل البروتين المنتج لهذا الفايروس مع بروتين العائل النباتي وكذلك عن إنتاج الغلاف البروتيني coat protein ، تليها المنطقة 1341- 2602 ، التي يوجد فيها أربع جينات AC1، AC2، AC3، AC4 و هذه الجينات مسؤولة عن تضاعف الفايروس واسكات جينات العائل وضراوة الفايروس وحركته الجهازية .

أما عدد القراءات المرتبطة بين القطعة DNA-B للتسلسل المرجعي والقراءات الخام للحامض النووي DNA فبلغت 1,347,785 قراءة وبطول 2719 و نسبة GC المئوية هي 39.5 % وبنسبة تطابق 88.6 % وقد سجلت في NCBI تحت رقم ادخال ON229620 كما في ملحق (5).

أما عدد القراءات المرتبطة بين القطعة DNA-B للسلسل المرجعي والقراءات الخام للحمض النووي RNA فقد بلغت 85,951 ونسبة تطابق 88.5% ووجد هناك تعبيرا جينيا في المنطقة بين 426-1232 وبعد اختبارها في برنامج BLAST تبين وجود جين BV1 من ضمن هذه المنطقة وهذا الجين يكون مسؤولاً عن انتاج بروتين الضراوة للفايروس nuclear shuttle protein وكذلك المنطقة التي تقع بين 1298 - 2143 التي يقع من ضمنها جين BC1 ، الذي يكون مسؤولاً عن انتاج بروتين الحركة movement protein ، الذي يكون مسؤولاً عن حركة الفايروس من خلية إلى أخرى . ربما يعود سبب وجود قراءات مرتبطة لقطعة DNA-A في الحامض النووي RNA أكثر من القطعة DNA-B إلى أن القطعة DNA-A تحتوي على جين التكرار Replication وبذلك تعتمد على نفسها في عملية التضاعف ، أما القطعة DNA-B تكون معتمدة على القطعة DNA-A في تضاعفها .

اثبتت الدراسات ان استخدام هذه التقنية هي دقيقة جدا في تشخيص الفايروسات المرضية بكل دقة ففي العراق مثلا استخدمت للكشف عن الجينوم الكامل لفايروسات تجعد واصفار أو راق الطماطة TYLCV وفايروس موزائيك التين FMV وفايروس التبرقش المعتمد على البازنجان (العابدي واخرون ، 2020 ؛ زغير واخرون ، 2021 ؛ الخفاجي واخرون ، 2022) .

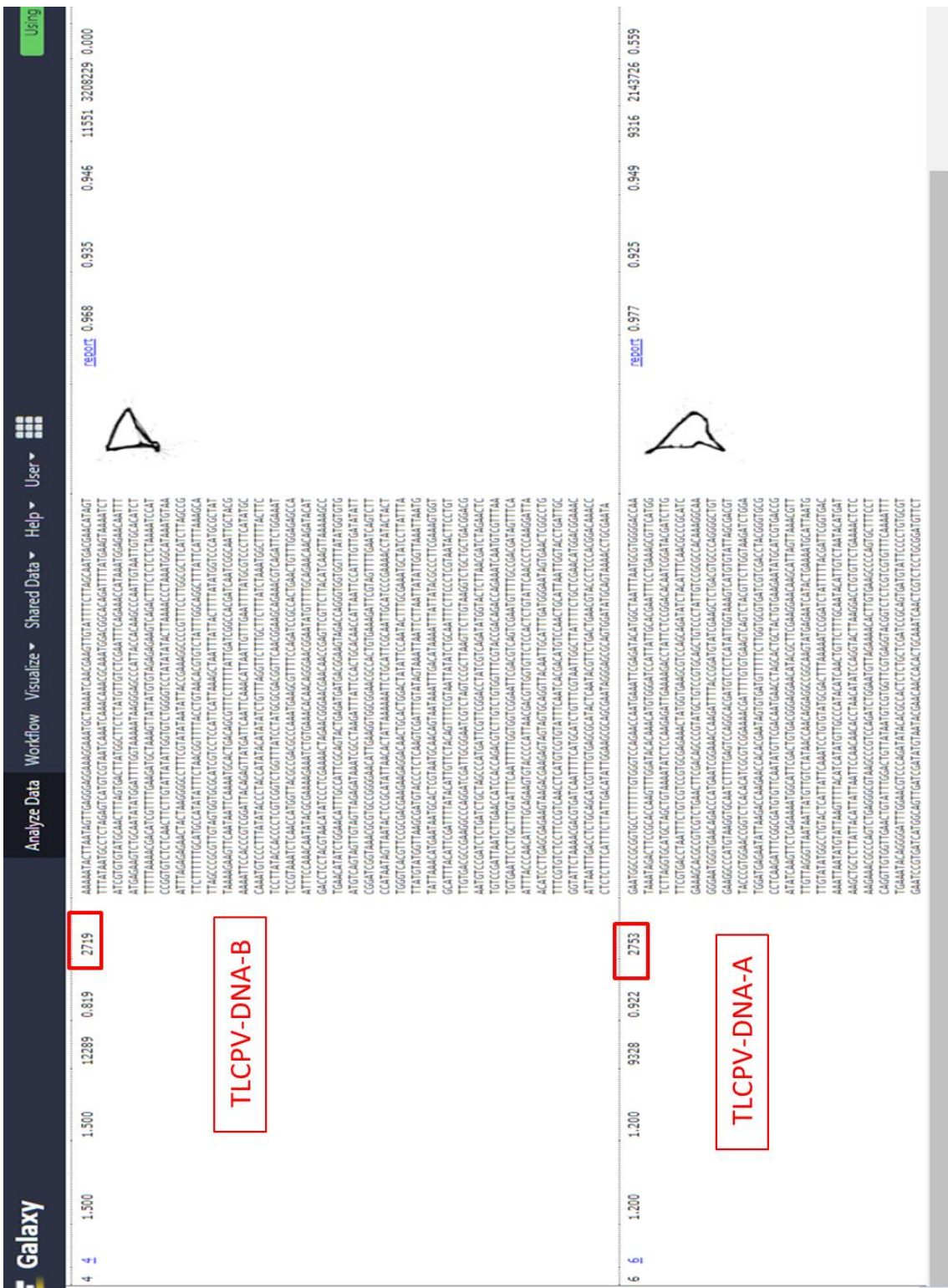
أن فايروس TLCPV ينقل أيضاً عن طريق حشرة الذبابة البيضاء *Bemisia tabaci* أما فايروس SqVVYV ينقل ميكانيكيا ، وبالتطعيم ايضاً ، كما ينقل عن طريق حشرة الذبابة البيضاء *Bemisia tabaci* بالطريقة غير الباقيه non-persistent manner (Inoue-Nagata) (Abkhoo و آخرون ، 2022 ؛ Mehraban و 2020) . كما وجد في بعض الابحاث ان الاصابة بفايروس SqVVYV تؤثر على تفضيل ، و استقرار ، و وضع البيض لحشرة الذبابة البيضاء ، وقد عزيّ سبب ذلك إلى التغيير الحاصل في لون النباتات المصابة (Shrestha و آخرون 2019) . وجد أيضاً أن التطور من البيضة إلى البالغة كان أقصر بمقابل ثلاثة أيام على نباتات القرع المصابة بالعدوى ، وعاشت الإناث أطول بنسبة 25٪ ولديهن خصوبة أعلى في نباتات القرع المصابة ومن ثم تنقل الحشرة فايروسات اخرى تشتراك في المرض الفايروسي (Shrestha و آخرون 2017). قد يرجع سبب هذا التفضيل إلى أن الاصابة الفايروسيه تزيد من ارتفاع نسبة الاحماس الأمينية الحرّة في العائل النباتي مما يجعل النباتات أكثر جاذبية لناقلitas الفيروسات (الذبابة البيضاء وحشرة المن) وتفضلها على غيرها (Guo و آخرون ، 2019) . وما سبق يفسر سبب حدوث الاصابة المشتركة بين الفايروسين ، بسبب انجذاب حشرة الذبابة البيضاء للنباتات الملتحة بفايروس SqVVYV .



شكل (4.4) الخريطة الوراثية المرسومة في برنامج Geneious لفايروس تجعد أوراق الطماطة البلمبوبي 1 Tomato leaf curl Palampur virus isolate Babylon1 حيث أن - تمثل قطعة DNA-A للفايروس ، التي تحتوي على ست جينات ، B- تمثل قطعة DNA-B للفايروس التي تحتوي على جينين .

4.5. الكشف عن الاحماض النووية المتكررة في برنامج Repeat Explorar :

بيّنت النتائج النهائية لتحليل الحامض النووي DNA وجود 138 تجمع ، بلغت نسبة الجزء المشفر للحامض النووي non Coding region % 64 بينما الجزء غير المشفر HTML report region كانت نسبته 36 % من DNA الكلي للنبات وجد من خلال تقرير report تسلسلات تمثل الفايروس المرضي TLCPV DNA-A ، الذي وجد في تجمع رقم 6 بطول 2753 زوج قاعدة و TLCPV DNA-B وجد في تجمع رقم 4 بطول 2719 زوج قاعدة كما في الشكل (4.5) كما تم الكشف عن وجود فايروسات داخلية في التجمع الثاني في جينوم نبات الخيار المصاب كما في الشكل (4.6) ، وكذلك من خلال فحص هذه التسلسلات المتكررة في برنامج Repbase تم التأكيد من وجودها.



شكل (4.5) تقرير HTML report الذي يظهر التسلسل الكامل لفايروس TLCPV بعد تحليل القراءات الخام للحامض النووي DNA في برنامج مستكشف التسلسلات المتكررة TLCPV في تجمع رقم 6 و بطول 2753 زوج قاعدة الذي يمثل Repeat Explorar . TLCPV DNA-B الذي يمثل DNA-A و تجمع 4 وبطول 2719 الذي يمثل .

The screenshot shows the Galaxy web interface with the following navigation bar:

- Analyze Data
- Workflow
- Visualize
- Shared Data
- Help
- User

The main content area displays a hierarchical tree of repeat elements:

```

    All
    |
    -- organelle
    |   -- plastid
    |   -- mitochondria
    |
    -- repeat
    |   -- rDNA
    |       -- 45S_rDNA
    |       -- 18S_rDNA
    |
    -- satellite
    |
    -- mobile_element
    |   -- Class_I
    |       -- LTR
    |           -- Ty1_copia
    |           -- Ale
    |           -- Alesia
    |           -- Angeia
    |           -- Ikeros
    |           -- Ivana
    |           -- TAR
    |           -- Tork
    |           -- Ty3_gypsy
    |               -- non-chromovirus
    |               -- OTA
    |               -- Ogre
    |               -- Retand
    |               -- Tat
    |
    -- Class_II
        -- Subclass_1
            -- TIR
            -- PIF_Harbinger
    |
    -- Class_III
        -- pararetrovirus
            -- TIR

```

A red box highlights the "pararetrovirus" entry under the "Class_I" section.

Below the tree, a table provides statistics for the analysis:

	2	2
47554	Angela	

The sidebar on the left lists various tools:

- Get Data
- RepeatExplorer2
- TAREAN
- ChIP-Seq Mapper
- RepeatExplorer Utilities
- DANTE
- PROFREP
- Text Manipulation
- NGS: QC and manipulation
- JBrowse
- FASTA manipulation
- Experimental Tools
- Obsolete tools
- Visualisation
- Assembly Annotation Tools
- BED

الشكل (4.6) تقرير HTML report في برنامج المستكشف Repeat Explorer الذي يظهر وجود الفايروسات الداخلية في جينوم نبات الخيار.

يعد برنامج Repeat Explorer الذي يحوي مجموعة من الأدوات البرمجية للتحليل الخطى لمحتويات الحامض النووي المتكرر من ضمن بيانات سلسل الجيل القادم ، فهو يكشف عن التكرارات الترادفية المرتبطة بالعناصر الوراثية المتكررة ، وأيضاً للكشف عن عائلات التكرارات الترادفية المشتقة ، التي يمكن الوصول إليها عبر واجهة الانترنت web . ويتم فيه استعمال خوارزمية تجميع التسلسل المستند إلى الرسم البياني وان هذه الخوارزمية تسهل تحديد التكرار في أي جينوم باستعمال أعداد صغيرة نسبياً من قراءات التسلسل القصير فهو مثالى لتحليل قراءات تسلسل الجيل القادم NGS Novák et al., 2013 ; واخرون ، Silva et al., 2019 ; واخرون 2020 ; العابدي واخرون Vitales 2020 .

تتوفر في برنامج المستكشف أدوات إضافية للمساعدة في اجراء شرح توضيحي للعناصر الوراثية المتكررة و في تصنيف التكرارات المحددة ، وتحديد التكرارات الترادفية كما استعمل كمصدر معلومات لاستنتاج العلاقات التطورية بين الأصناف وإجراء تحليل مقارن للتكرارات لنوع الواحد وكذلك بين الأنواع المتعددة. يسمح الخادم بتحليل عدة ملايين من قراءات التسلسل ، مما يؤدي عادةً إلى تحديد معظم عمليات تكرار النسخ العالية والمتوسطة في جينومات النبات. كما أنه يكشف عن جميع Satellite DNA لنوع معين من الكائنات ، الذي يعد من بين أكثر DNA تكراراً الموجود في جينومات حقيقيات النوى ، حيث أنها تشارك في مجموعة متنوعة من الأدوار البايولوجية ، من كونها مكونات لبناء كروموسومات مهمة إلى تنظيم الجينات. (Novák et al., 2013 ; Silva et al., 2019 ; واخرون 2020 ; KtsVitales 2020) .

وأيضاً يمكن أن يكشف عن تسلسلات الاحماض النوويه الفايروسية الموجودة في قراءات تسلسلات النبات الكلية لنبات مصاب وكذلك يكشف عن الفايروسات الداخلية الموجودة في الجينوم النباتي (العابدي واخرون ، 2020).

4.6. الفايروسات الداخلية العكسية الموجودة في جينوم نباتات الخيار من خلال برنامج المعلوماتية الحياتية :

4.6.1. الفايروس الداخلي العكسي CsatAV- Iraq الموجود في جينوم نباتات الخيار من خلال برنامج Geneious :

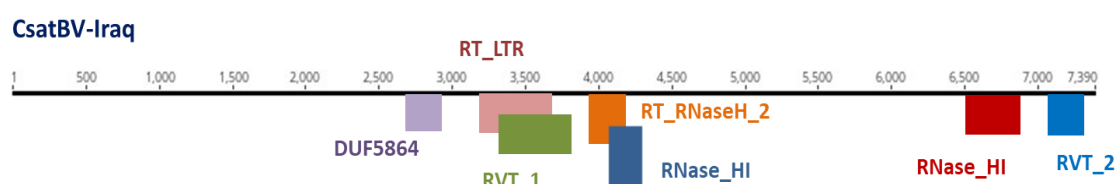
بعد ربط القراءات بين التسلسل المرجعي للفايروس الداخلي العكسي CsatAV والقراءات الخام للحمض النووي DNA وجد أن عدد القراءات المرتبطة 23,476 قراءة وبطول 7147 زوج قاعدة ونسبة GC هي 28.8% وبنسبة تطابق 97.1% ، كما تم ربط القراءات لهذا الفايروس الداخلي بالقراءات الخام للحمض النووي RNA لمعرفة فاعليته ونشاطه في النبات المصايب تبين أن عدد القراءات المرتبطة هو قراءة واحدة وبطول 101 زوج قاعدة وبنسبة تطابق 85.3% ونسبة GC 21.8% وبعد اختبار المنطقة في برنامج BLAST وجد جين (Viral Like movement protein (MP RT-RnaseH-2 ، Rnase-HI ، RT-LTR ، (Reverse transcriptase - Like) RT - Reverse) RVT_1) وهذا جميعها تكون مسؤولة عن النسخ العكسي كما يوجد جين 1_RVT_1transcriptase (RNA-dependent DNA polymerase بروتيني 4 PTZ00440 antiphage_ZorA_4 وهي بروتينات غير فايروسية ولا يعرف لها وظيفه محددة في النبات كما في الشكل (4.7) وهذا الفايروس يعود إلى عائلة Caulimoviridae جنس Florendovirus وقد تم تسجيله لدى معهد الأبحاث والمعلومات الوراثية Genetic Information Research Institute (GIRI) في كاليفورنيا كما في ملحق (6).



. شكل (4.7) الخريطة الوراثية للفايروس الداخلي في جينوم نباتات الخيار CsatAV-Iraq .

4.6.2 الفايروس الداخلي العكسي CsatBV-Iraq الموجودة في جينوم نباتات الخيار من خلال برنامج Geneious

تبين من خلال النتائج التي تم الحصول عليها بعد ربط القراءات الخام للحامض النووي بالسلسل المرجعي للفايروس الداخلي العكسي CsatBV . إن عدد القراءات المرتبطة بلغ 77,938 قراءة وبطول 7390 زوج قاعدة ونسبة GC 38.9 % ونسبة تطابق بلغت 97.3 % في حين كان عدد القراءات المرتبطة بين التسلسل المرجعي ، والقراءات الخام للحامض النووي RNA هو 1,337 قراءة وبطول 5927 زوج قاعدة ونسبة GC 41 % وبنسبة تطابق مع التسلسل المرجعي بلغت 72 % ، حيث وجدت منطقان هما الأكثر تغيرا ، وهذا يعني وجود تسلسلاً منحلة Degenerated sequence فقد وجدت منطقان كانتا الأكثر تعبيراً جينياً ، هما المنطقة (35 – 687) وكانت تتغير بنسبة 78.6 % وبعد اختبار هذه المنطقة في برنامج BLAST تبين أنها البروتين الانزيمي ، الذي يحتوي على عدة مناطق وكل واحدة لها وظيفة معينة ، حيث أن المنطقة هي بروتينات (RTs) Reverse transcriptases وهذه تعمل على تكرار الحامض النووي من قالب RNA وعادة يشير جين RT إلى عناصر متحركة مثل *Caulimoviruses* ، وأيضاً اثنين من جينات RNase-HI وهذه مساعدة لجين الاستنساخ العكسي في الفايروسات العكسيه . أما المنطقة الأخرى (5368-5901) فتغيرت بنسبة 90.6 % وبعد اختبارها في برنامج BLAST وجدت بروتينات gag / pol protein تسمى جين الاستنساخ العكسي Reverse transcriptase (RNA-dependent DNA polymerase) RVT-1 (RVT-2) و (RT-LTR) وهذا أيضاً يشير إلى عائلة *Caulimoviruses* حيث ينتج حامض نووي DNA من قالب RNA قد تكون نتيجة التغير الحاصل هو بسبب التوارث عبر الأجيال أو لأسباب أخرى وكذلك وجدت الجينات RT-RnaseH-2 و RT-LTR المسؤولة عن الاستنساخ العكسي والجين DUF5864 الذي يشفر بروتين غير معروف كما في الشكل (4.8) وهذا الفايروس يعود إلى عائلة *Florendovirus* جنس *Caulimoviridae* وقد تم تسجيله في معهد الابحاث والمعلومات الوراثية Genetic Information Research Institute في كاليفورنيا كما في ملحق (7).



شكل (4.8) الخريطة الوراثية للفايروس الداخلي في جينوم نبات الخيار CsatBV-Iraq

كما تم الكشف عن وجود Reverse transcriptase (RNA-dependent DNA polymerase) انزيم الاستنساخ العكسي RNA المعتمد على DNA لكل من فيروس البانجنان الداخلي *Caulimovirus-SMe* وبطول (742) زوج قاعدة والفيروس الداخلي *ToffiV* وبطول (569) زوج قاعدة .

و من خلال تقنية معرفة التسلسل النيوكليوتيدي الكامل للنبات العائل NGS تم الكشف عن الفيروسات الداخلية العكسية Endogenous pararetroviruses EPRVs في النباتات . (2019 ، Alisawi)

إن الفيروسات الداخلية العكسية (EPRVs) هي أحماض نوية مزدوجة الشريط تكون مدمجة داخل جينوم العائل النباتي تعود إلى عائلة فيروس موزائيك القرنابيط *Caulimoviridae* وهي من فيروسات الاستنساخ العكسي ، التي يفترض أنها نشأت منذ 1.6 مليار سنة (Schmidt وآخرون ، 2021) . يعد *Florendovirus* الجنس هو الأكثر وجوداً في جينومات النباتات (Geering ، Hull ، Diop ، 2012) . معظم هذه الفيروسات غير معدية بسبب التجزئة و إعادة الترتيب تفتقر إلى جين متكملاً حيث يقوم الجينوم النباتي من خلال عامل اسكات الجين Gene silencing إلى السيطرة على بعض هذه الفيروسات وإبطال قدرتها على إحداث العدوى بحيث لا يستطيع التحرر من موقعه ، ويبقى ساكناً كجزء طبيعي من جينوم العائل ، وينقل عبر الأجيال وهذه تعرف بالوراثة اللاجينية ، تميل هذه الفيروسات إلى الاختباء في المناطق غير المتجانسة في جينوم العائل (المناطق غير المشفرة) (Schmidt وآخرون 2021) .

اما بعده الآخر فلا يخضع لهذا العامل نتيجة لارتباطه الضعيف بجينوم العائل ، وكونه غير مستقر Unstable وتقوم عوامل الاجهاد بكسر سكون هذه الفيروسات و إعادة تنشيط هذه التسلسلات الفيروسية من خلال الاستنساخ العكسي Reverse transcription وتحول من الـDNA إلى mRNA ثم إلى DNA مرة أخرى ، وتقوم بتشكيل جسيمات فيروسيه كامله بعد تكوينها للغلاف البروتيني وإعادة التركيب ومن ثم تكوين فيروسات غالباً ما تكون مرتبطة بأمراض مدمرة (Geering ، 2014 ، Alisawi ، 2019) .

اما في العراق فقد كشف عن وجود بعض الفيروسات الداخلية العكسية في بعض النباتات حيث تم الكشف عن الفيروس الداخلي *Caulimovirus* من جنس *Lyc EPRVs* في جينوم نبات الطماطة والفيروس الداخلي *Fig badnavirus-I* في جينوم نبات التين وكذلك كشف عن وجود فيروسين داخليين يعودان إلى جنبي *Caulimovirus* و *Florendovirus* في جينوم نبات الطماطة (العابدي وآخرون ، 2020 ؛ زغير وآخرون ، 2021 ؛ الخفاجي وآخرون ، 2022) .

تحتوي الفايروسات الداخلية العكسية على مناطق بروتينية مشفرة من ضمنها منطقتين موجودة في كل الفايروسات الداخلية العكسية وهم RT و المسؤول عن عملية الاستنساخ العكسي و من خلال انزيم الاستنساخ العكسي Reverse Transeipase ي SSTTSSX الحامض النووي الفايروسي من RNA إلى cDNA ، أما المنطقة البروتينية RnaseH فهي المسؤولة عن تكرار الحامض النووي DNA للفايروس الداخلي ونسخه بأعداد كثيرة ومنع تكوين Replication أشرطة RNA (زغير وآخرون ، 2021 ؛ الخفاجي ، 2022) . نتيجة التداخل Integration الذي يحصل للفايروسات الداخلية في مناطق محددة بالجينوم النباتي قد يتوضع الفايروس بأماكن جينية نباتية (عباس 2023)، حيث يسبب هذا التداخل أحياناً طفرات وراثية تغير من وظيفة الجينات النباتية الخاصة بالعائل كما حصل لدينا في حالة الفايروس CsatAV ونحتاج لتجارب إضافية وتحليلات متخصصة لمعرفة تأثير هذا التداخل.

4.7. عدد النسخ والنسب المئوية وعامل النسخ TPM Transcripts Per Kilobase Million (قياس التعبير الجيني) للفايروسات المرضية والفايروسات الداخلية العكسية الموجودة في جينوم نبات خيار مصاب :

بيّنت نتائج النسبة المئوية للفايروسات المرضية في الحامض النووي الكلي DNA أن النسبة المئوية لفايروس TLCPV DNA-A بلغت 116814894 وعدد النسخ 16215 ، أما في TLCPV DNA-B فبلغت النسبة المئوية 0.0149931 وعدد نسخ 7489 في حين كانت النسبة المئوية لفايروس SVYV في الحامض النووي RNA هي 0.36790033 وعدد نسخ 2020 .

لمعرفة نشاط هذه الفايروسات والتعبير الجيني لجيناتها تم حساب TPM ، حيث وجد أن أعلى قيمة للتعبير الجيني كانت لفايروس TLCPV DNA-A بلغت 10,000,292 ثم تلتها القطعة TLCPV DNA-B لنفس الفايروس ، حيث بلغت 1,000,008 في حين كانت لفايروس SVYV 10,001,779 . أن أهمية حساب عامل النسخ TPM هو لمعرفة مقدار التعبير الجيني لكل فايروس .

كما أوضحت النتائج عدد النسخ ، والنسب المئوية ، وعامل قياس التعبير الجيني للفايروسات الداخلية العكسية فكانت النسبة المئوية للفايروس الداخلي CsatAV في الحامض النووي DNA هي 0.00026115 وعدد نسخ 495 نسخة في حين كانت النسبة المئوية للفايروس الداخلي CsatBV 0.000867 وعدد نسخ بلغ 1529 نسخة .

للكشف عن مدى فاعلية الفايروسات الداخلية ونشاطها في جينوم RNA من خلال عامل قياس التعبير الجيني TPM ، الذي كانت قيمته للفايروس الداخلي CsatAV هي 1,000,134 بينما ارتفعت هذه القيمة للفايروس الداخلي CsatBV إلى 1,005,166 وهذا مؤشر على بداية تحرر الفايروس من الجينوم النباتي في العينة المصابة و ربما له دور في الأمراضية وقد يحدث تحرر هذا الفايروس اصابة مرضية قد تكون خطيرة كما في جدول (4.2) .

جدول (4.2) عدد النسخ والنسب المئوية وعامل النسخ (قياس التعبير الجيني) لفايروسات المرضية والفايروسات الداخلية العكسية :

TPM	عدد النسخ Copy number	النسبة المئوية للحامض النووي	الفايروسات
10,001,779	2020	0.36790033	SVYV
10,000,292	16215	1.16814894	TLCPV DNA-A
1,000,008	7489	0.0149931	TLCPV DNA-B
1,000,134	495	0.00026115	CsatAV
1,005,166	1529	0.000867	CsatBV

إن عدد النسخ والنسب المئوية للاحماض النووي الفايروسيه اعلاه ما هي الا دليلا على وجود هذه الفايروسات في خلايا عينة الخيار المصابة المختبرة اما قيم TPM فهي دليل على عمل جينات الفايروسات المذكورة والمشخصة للقيام بوظائفها المختلفة .

بسبب التجزئة واعادة الترتيب للفايروسات الداخلية تكون غير معدية ، لافتقارها إلى جين متكامل ، قد يحدث هذا التكمال من خلال انزيمات اعادة تركيب والية إصلاح الحامض النووي كما أن نسخ قليلة من الجينومات الفايروسيه تحوي اطارات قراءة مفتوحة سليمه نسبيا Open reading frames (ORFs) ، التي من المحتمل أن تكون قادرة على اعادة التركيب مما يؤدي إلى تجديد فايروس قادر على احداث الاصابة (Schmidt وآخرون 2021) .

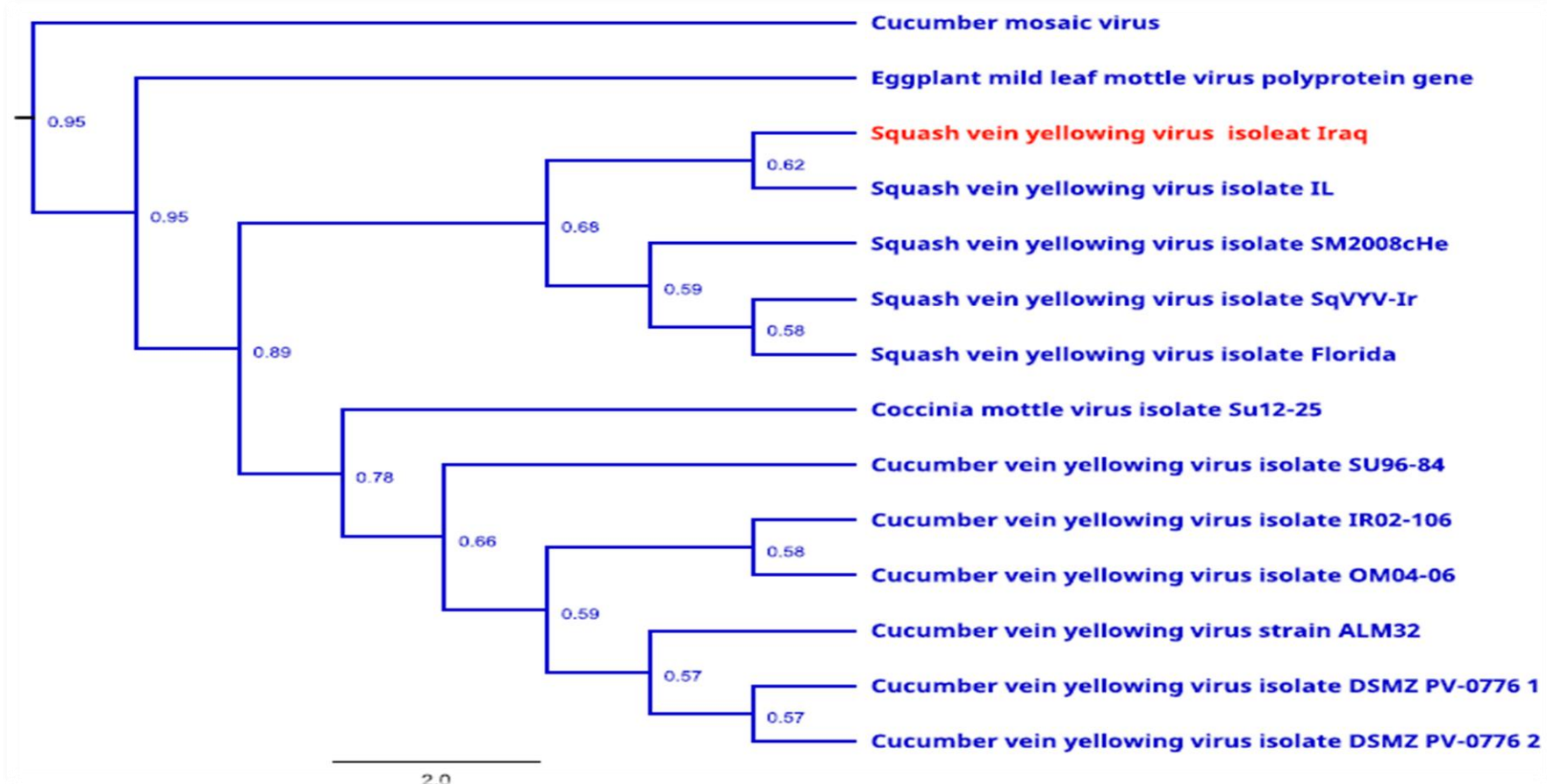
إن عدد النسخ والنسب المئوية العالية للأحماض النووية هي دليل على وجود الفايروسات في العينة النباتية المصابة ، وأيضاً تشير إلى نشاط هذه الفايروسات من خلال وجودها بنسب مئوية

في الحامض النووي RNA دليل على التعبير الجيني لجميع جينات الفايروسات المرضية ، وهي تؤكد دقة وصحة النتيجة أن عدد النسخ في RNA تشير إلى التعبير الجيني المتوازن للبروتينات الموجودة (زغير ، 2021 ؛ الخفاجي ، 2022 ؛ Forsythe وآخرون ، 2022) .

وجود الحامض النووي الفايروسي أو الفايروس الكامل في النبات وحتى بتراكيز عالية لا يعد سبباً كافياً لظهور الأعراض المرضية، حيث أن بعض الفايروسات قد توجد في النباتات بتراكيز عالية تعطي أعراضاً مرضية أقل حدة من أخرى موجودة في النباتات بتراكيز قليلة (قاسم ، 2011 ؛ شريف ، 2011 ؛ الفضل ، 2021). يمكن أن يكون تحليل بيانات التعبير الجيني أمراً ضرورياً لتوضيح العلاقات الاحيائية للعائل والمسبب المرضي. ومع ذلك ، فإن التحديد الكمي الدقيق للتعبير الجيني يعتمد بشكل مباشر على دقة الجينوم المرجعي أو النسخة ، التي يتم تعين بيانات التعبير لها. يمكن أن تؤدي الأخطاء في شرح الجينات إلى أخطاء في القياس الكمي للتعبير الجيني وللخلص من التحيز في قياس التعبير الجيني في الجينوم RNA يتم قياس TPM للجينات المراد قياس التعبير الجيني لها ، حيث يتم مراعات طول الجينات و التعبير النسبي من خلال حساب TPM (Huang وآخرون ، 2022 ؛ Pincket In ، 2022) .

4.8. دراسة العلاقة التطورية والأشجار الوراثية للفايروسات المرضية المشخصة في نبات الخيار :

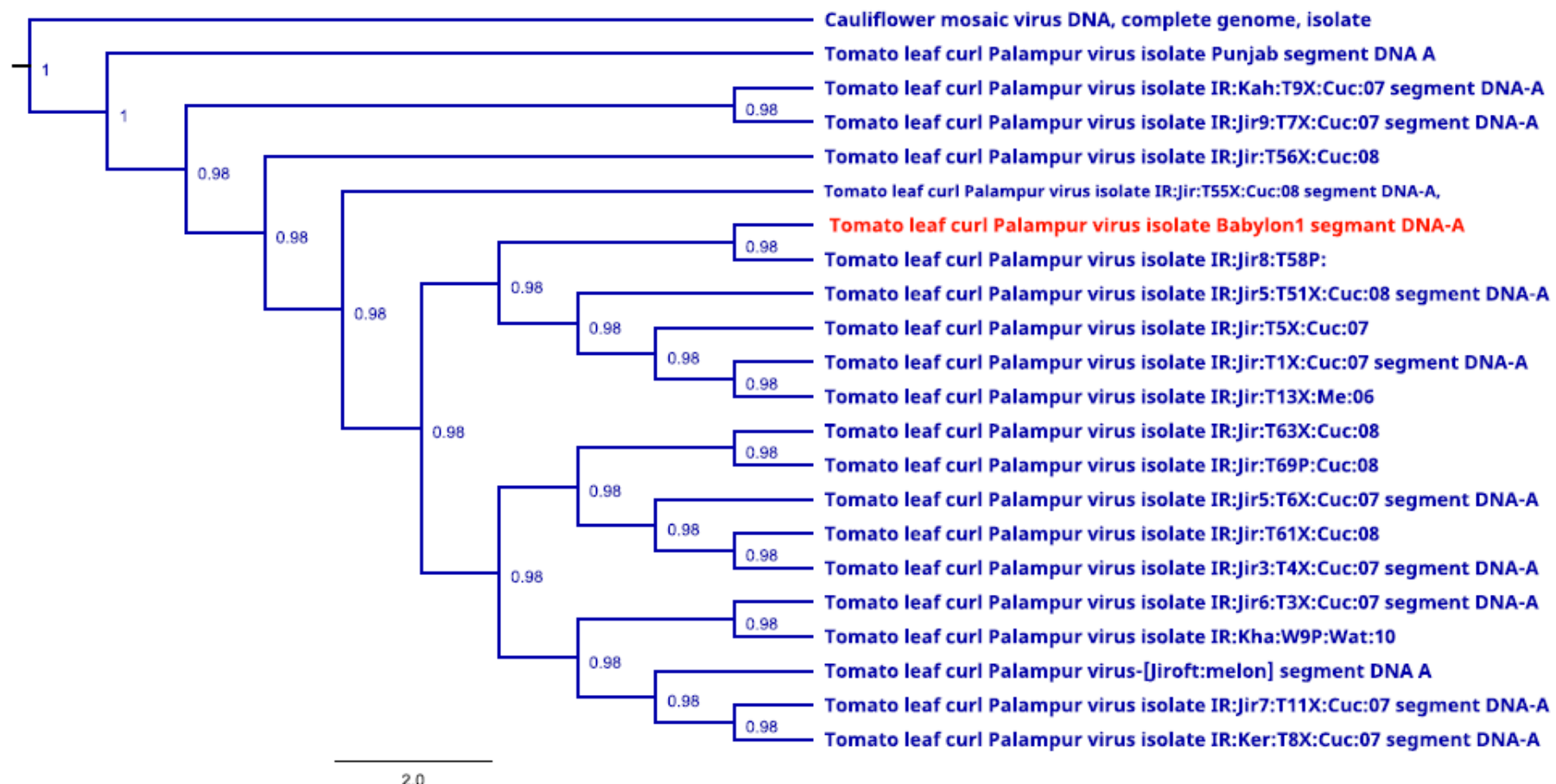
لإثبات التقارب الوراثي ونشوء أصل عزلات العراق و العزلات القريبة منها اتضح من خلال الشجرة الوراثية ، أن عزلة العراق التي تم الحصول عليها للفايروس *Squash vein yellowing virus isolate SVYV/Iraq* كانت الأقرب وراثياً لعزلة الأرض المحتلة الاحيائية NCBI تحت رقم ادخال ON229619 وهما يعودان إلى أصل مشترك واحد كما في الشكل (4.9)



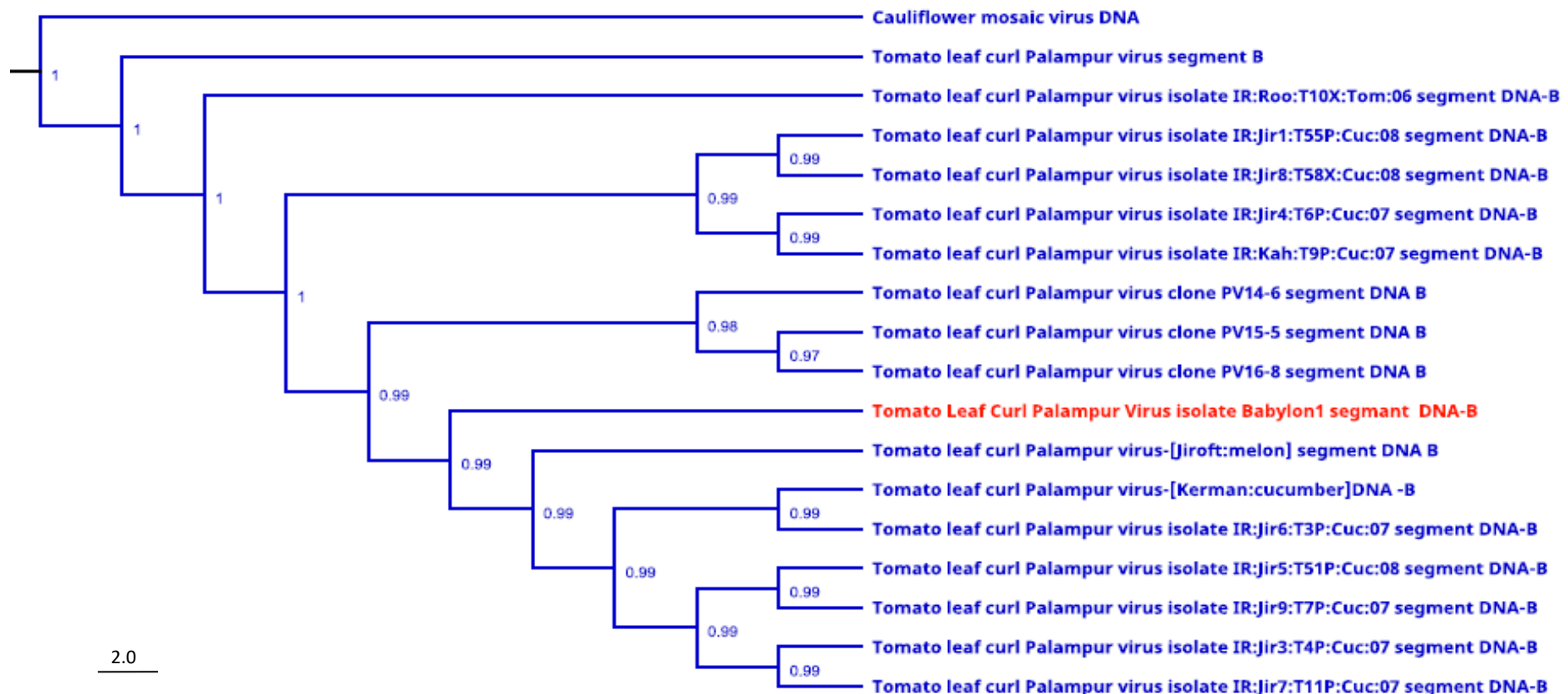
شكل (4.9) الشجرة الوراثية لعزلة فايروس اصفرار عروق القرع مع 14 عزلة فايروسيّة حيث تمثل الارقام الموجودة درجة التقارب بين هذه العزلات

خلال مطابقة الجينوم الكامل للقطعة A لفايروس تجعد أوراق الطماطة البلمبوري Tomato leaf curl Palampur virus isolate Babylon1 segment DNA-A التي تم الحصول عليها وقد سجلت تحت رقم ادخال ON229618 هي الأقرب وراثياً إلى العزلة الإيرانية Tomato leaf curl Palampur virus isolate IR:Jir8 وبنسبة تقارب عالية بلغت 0.98 حيث انها يعودان لأصل مشترك واحد كما في الشكل (4.10).

في حين تبين أن القطعة B العائد لفايروس تجعد أوراق الطماطة البلمبوري Tomato leaf curl Palampur virus isolate Babylon1 segment DNA-B ، التي تم الحصول عليها والمسجلة في بنك الجينات تحت رقم الادخال ON229620 هي الأقرب وراثياً إلى العزلة الإيرانية Tomato leaf curl Palampur virus-[Jiroft:melon] كما في الشكل (4.11).



شكل (4.10) الشجرة الوراثية لعزلة تجعد أوراق الطماطة البالمبوی (Tomato leaf curl Palampur virus isolate Babylon1 segment DNA-A) باللون الاحمر مع 20 عزلة فایروسیہ حيث تمثل الارقام الموجودة درجة التقارب بين هذه العزلات والعزلة خارج المجموعة متمثلة بالفايروس . Mosaic Virus



شكل (4.11) الشجرة الوراثية لعزلة تجعد أوراق الطماطة البالمبوی Tomato leaf curl Palampur virus isolate Babylon1 segment DNA-B مع 16 عزلة فایروسیہ حيث تمثل الارقام الموجودة درجة التقارب بين هذه العزلات والعزلة خارج المجموعة متمثلة بالفایروس Caulifower باللون الاحمر)

Mosaic Virus

ومما سبق اتضح أن الفايروسات المرضية كان لها أصل مشترك وقرابة مع عزلات من الدول المجاورة . إن الفايروس SVYV/Iraq ، الذي كان الأقرب إلى عزلة الأرض المحتلة من الممكن أنه دخل العراق قبل عام 2003 عندما كان التبادل التجاري للمحاصيل الزراعية والبضائع مع البلد المجاور الأردن ، أما الفايروس TLCPV فمن الممكن أن يكون قد دخل العراق بعد عام 2003 حيث كان الأقرب إلى العزلات الإيرانية ، وهذا يعزى إلى نشاط التبادل التجاري والاستيراد مع البلد المجاور ايران. وفي الحالتين يعزى دخول هذه المسببات المرضية الخطيرة إلى سوء الرقابة وعدم الاهتمام بالحجر الزراعي وقلة الإمكانيات للكشف عن المسببات المرضية .

إن شجرة النشوء والتطور Phylogenetic Tree تبين التغيرات الرئيسية في التطور حيث أن معرفة العلاقات الجينية بين الأنواع أمرًا أساسياً للعديد من الدراسات في علم الأحياء ، وهي مفتاح لاستنتاج أصل الجينات الجديدة ، واكتشاف التكيف الجزيئي ، وفهم التطور المورفولوجي وإعادة بناء التغيرات демографية (Kapli واخرون ، 2020) .

يعود الظهور المتكرر لأمراض فيروسية جديدة بشكل رئيسي إلى التجارة الدولية ، وتغير المناخ ، وقدرة الفيروسات على التطور السريع مما يؤدي إلى حدوث تغيرات وراثية وتتنوع جيني وتطور فيروسات النبات حيث يتم الكشف عنه من خلال اشجار النشوء والتطور (Rubio واخرون 2020) . مما يؤكد دخول فايروسات جديدة للعراق من بلدان الجوار نتيجة التبادل التجاري هو وجود دراسات حديثة كشفت عن دخول فايروس تجعد واصفار أو راق الطماطة TYLCV وفيروس موزائيك FMV حيث وجد أن العزلات العراقية المشخصة كانت قريبة من العزلات الإيرانية وفيروس تبرقش الورقة المعتمد على البازنجان EMLMV الذي كان الأقرب إلى عزلة الكيان الصهيوني وبسبب ضعف الإمكانيات للكشف عن الفايروسات في البضائع الزراعية المستوردة للعراق حيث أدى ذلك إلى دخولها واحداثها إلى أمراض مهمة في العراق (العابدي ، 2020 ؛ زغير ، 2021 ؛ الخفاجي ، 2022) .

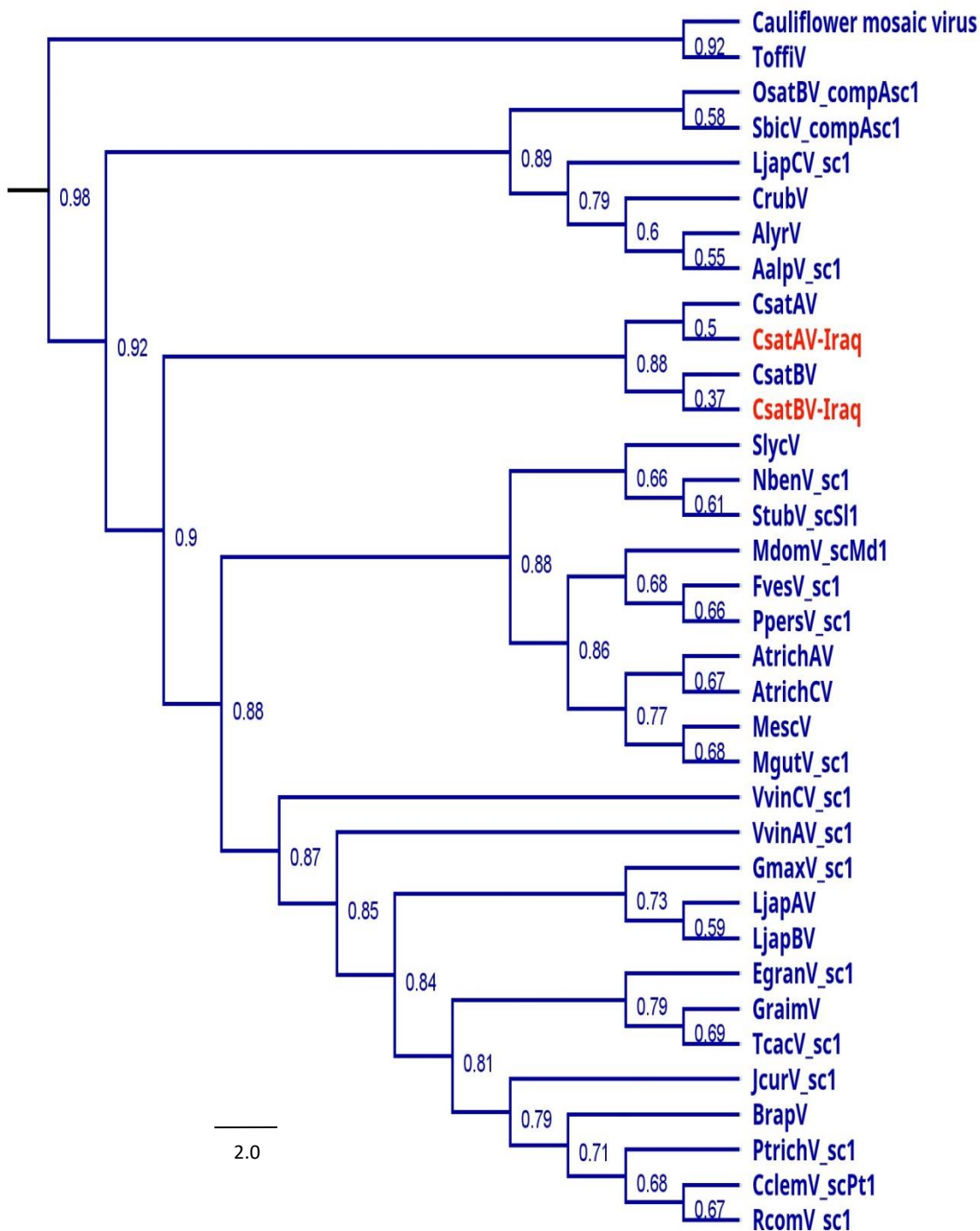
إن الفايروس SVYV ذو مدى عائلي يقتصر على القرعيات إلا أنه يسبب أعراضًا شديدة قد تؤدي إلى موت النبات ، كما أن الإصابة بهذا الفايروس تؤدي إلى حصول تدهور في قشرة البطيخ ، وتعفن داخلها ، مما يؤدي إلى ثمار غير قابلة للتسويق (Webster واخرون ، 2010؛ Reingold واخرون ، 2016 ؛ Shrestha ، 2016) . أما فايروس TLCPV فيسبب وباءاً مدمرة على محاصيل الخيار والبطيخ وفرع الكوسا ، يحدث المرض في البيوت البلاستيكية والأنفاق البلاستيكية والمزارع المفتوحة. وإن انتشاره السريع أدى إلى ظهور تهديد جديد خطير للإنتاج الزراعي في جميع أنحاء الشرق الأوسط.(Heydarnejad واخرون ، 2013) .

4.9 دراسة العلاقة التطورية والأشجار الوراثية Phylogenetic trees للفايروسات الداخلية المشخصة في نبات الخيار:

بعد تشخيص فايروسات الخيار الداخلية في نبات الخيار اتضح أنها تعود إلى عائلة CsatAV Iraq و إلى جنس *Florendovirus* وان الفايروس الداخلي *Caulimoviridae* القرابة من الفايروس الداخلي CsatAV المشخص في نبات الخيار في بولندا حيث انهم يعودان لأصل وراثي مشترك ، في حين كان الفايروس الداخلي CsatBV Iraq ذا قرابة عالية مع CsatBV المشخص ، أيضاً في نبات الخيار في بولندا ويعودان لأصل مشترك واحد كما في الشكل (4.12)

تميل الفايروسات الداخلية العكسية إلى الاختباء في المناطق غير المشفرة في جينوم العائل ، التي ربما تعمل على استقرارها من خلال عامل اسكات الجين Gene silencing ، ومن ثم الحد من شدة الضرر ، والسماح بالاحتفاظ بها على المدى الطويل في الجينوم Schmidt (2021) .

تعود الفايروسات الداخلية العكسية (EPRVs) إلى عائلة فايروس موزائيك القرنابيط *Caulimoviridae* وهي من فايروسات الاستنساخ العكسي تكون مدمجة داخل جينوم العائل النباتي (Schmidt et al., 2021; Richert-Pöggeler et al., 2021). إن الجنس *Florendovirus* هو الأكثر وجوداً في المملكة النباتية (Geering et al., 2012; Diop et al., 2018).



شكل (4.12) الشجرة الوراثية للفايروسين الداخليين (CsatBV-Iraq و CsatAV-Iraq) مع 32 فايروس داخلي من جنس Florendovirus حيث تمثل الأرقام باللون الأحمر () . حيث تمثل الأرقام الموجودة درجة التقارب بين هذه الفايروسات والفايروس خارج المجموعة Cauliflower Mosaic Virus .

4.10. التغاير الوراثي الحاصل في الجينوم الكامل DNA للبلاستيدات الخضراء في خلية نبات خيار مصابة بالفايروسات *Squash vein yellowing virus isolate Tomato leaf curl Palampur virus isolate* و **SVYV/Iraq :Babylon1**

أظهرت نتائج ربط التسلسل المرجعي بالقراءات الخام للحامض النووي بعملية Map to reference عند استعمال التسلسل المرجعي للبلاستيدات الخضراء (NC-007144) ضد القراءات الخام للحامض النووي DNA لنبات خيار مصاب بوجود 5694092 قراءة مرتبطة مع تغطية كاملة لكل التسلسل المرجعي المستخدم (Coverage) حددت بـ 11875 ، يحتوي جينوم البلاستيدات الخضراء على 130 جينا منها 84 جينا يشفر إلى بروتينات كما يحتوي على 37 حامض نووي رابيبي الناقل tRNA و 8 من الحامض النووي رابيوسومي rRNA و 1 من Precursor-RNA كما في الشكل (4.13) وقد سجل الجينوم الكامل للبلاستيدات في بنك الجينات تحت رقم ادخال (OP651766) GenBank كما في ملحق (8).

ووجدت ثلاثة مناطق متغيرة ، ومنطقة مفقودة وقد تم تحديد موقع هذه المناطق كما في الجدول (4.3) وتسميتها كما في الجدول (4.4) . إن أول هذه المناطق كانت المنطقة الجينية Iraq gene rps16 ، التي شهدت تغيراً شديداً وصل إلى نسبة تطابق مع التسلسلات المرجعية Pairwise Identity تراوح بين (45.6-52.9 %) ، التي تقع من ضمن الجين rps16 وهو مسؤول عن إنتاج البروتين الرابيوسومي ribosomal protein S16 كما في الشكل (4.14)

أما المنطقة الجينية الثانية هي Iraq gene Ycf2 الواقعة من ضمن الجين Ycf2 وهو مسؤول عن مجموعة من الانزيمات المسئولة عن إطلاق الطاقة ووصلت نسبة التطابق فيها إلى 49 % كما في الشكل (4.15) .

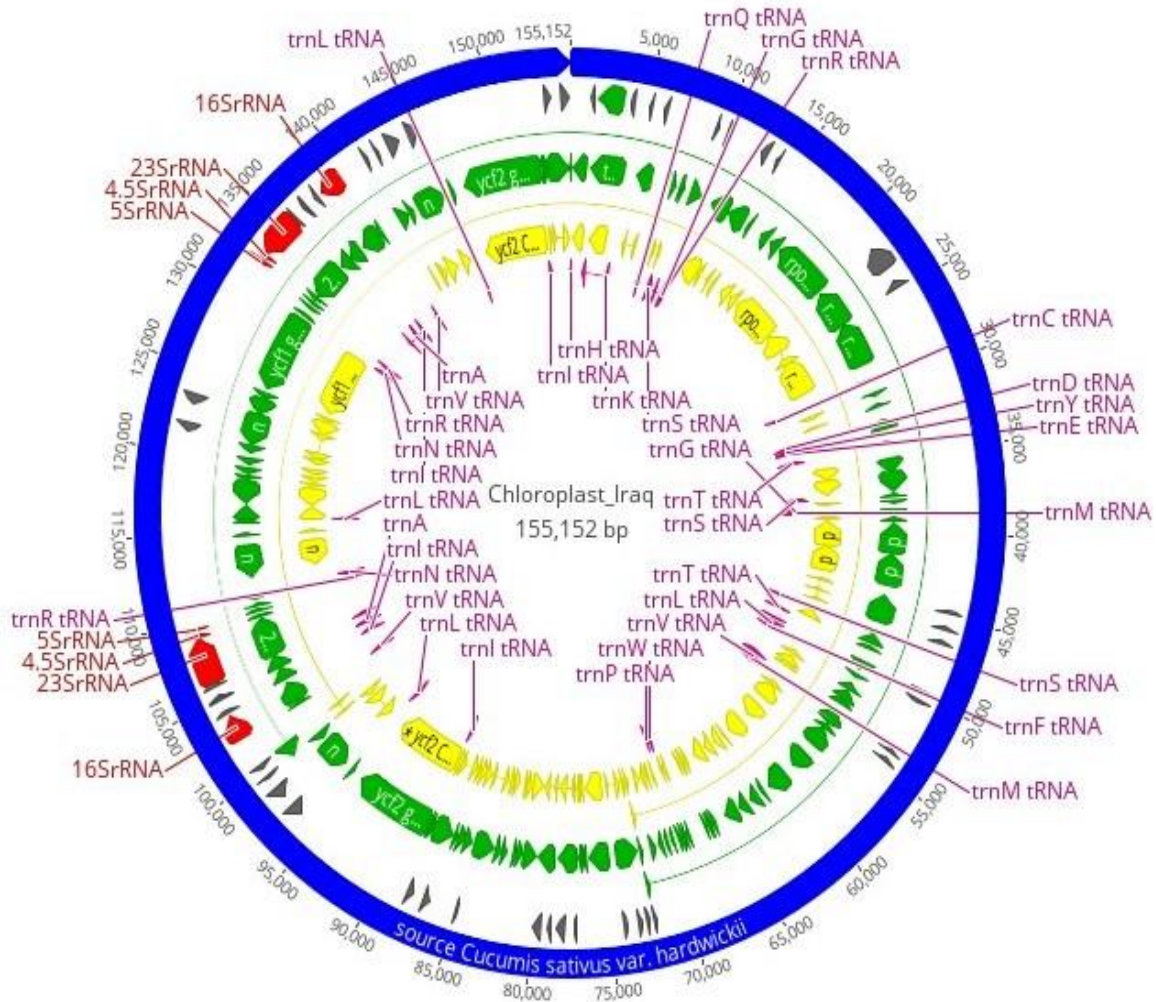
في حين كانت المنطقة الجينية الثالثة Iraq gene 23SrRNA واقعة من ضمن الجين 23SrRNA حيث وصلت نسبة التطابق فيه ما بين (50 - 52.9 %) ، تليها مباشرة المنطقة الجينية Iraq gene 23S rRNA و هذه تقع من ضمن الجين 23 rrRNA والمنتج للحامض النووي الرابيبي الرابيوسومي ribosomal RNA 23S كما في الشكل (4.16) .

جدول (4.3) موقع التغير والحدف في اربع أصناف واثنين من الهجن لنبات خيار سليم مقارنة بنبات خيار مصاب بالفايروسات
Tomato leaf curl Palampur virus isolate ***Squash vein yellowing virus isolate SVYV/Iraq Babylon1***

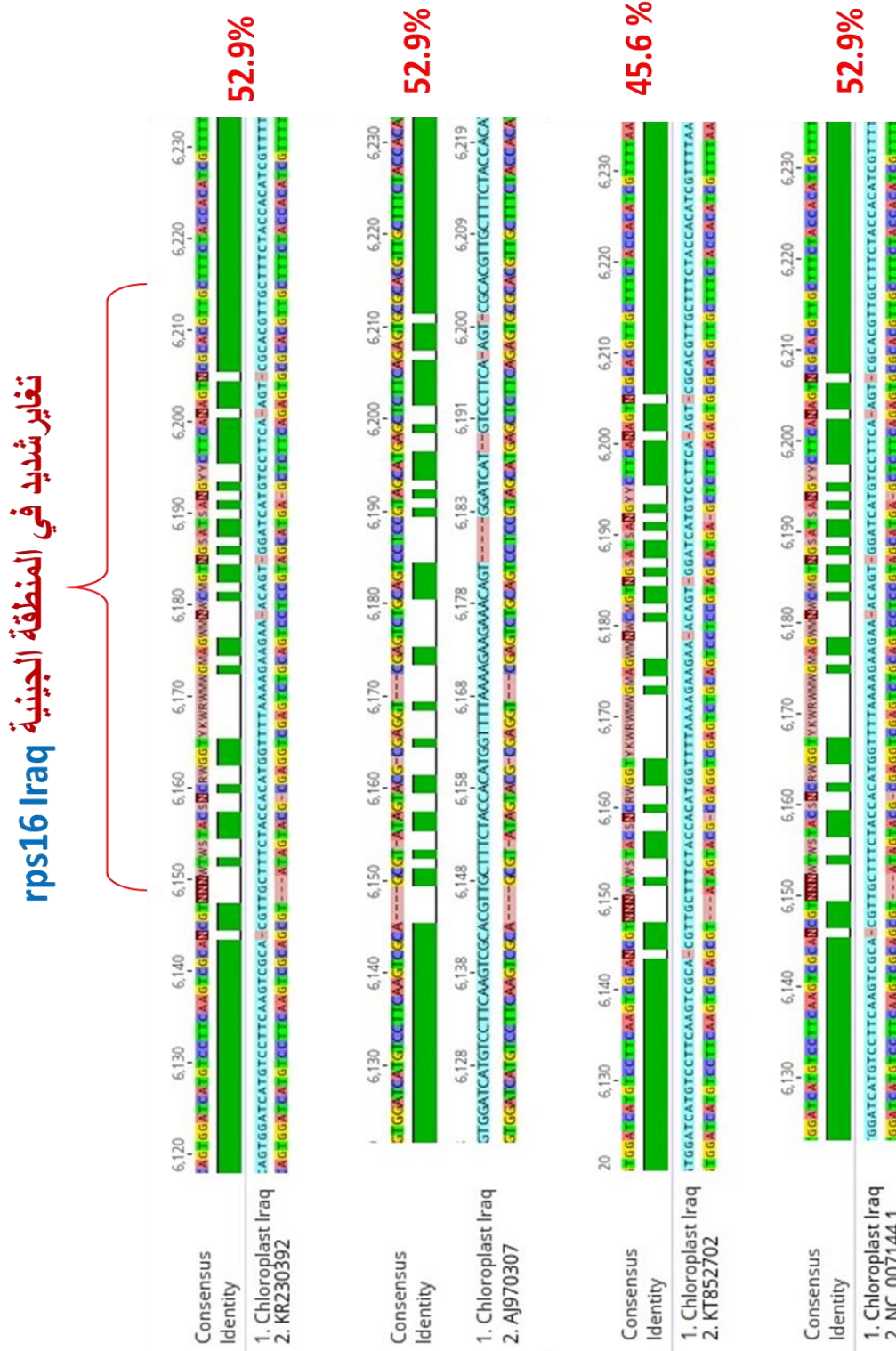
MF095790	MT721154	KR230392	KT852702	NC-007144	AJ970307	الصنف اسم المنطقة
غير موجودة	غير موجودة	-6140) (6205	-6140) (6205	-6142) (6207	(6211-6146)	rps16 Iraq
غير موجودة	غير موجودة	-94415) (94474	-94415) (94474	-94495) (94554	-94499) (94559	Ycf2 Iraq
- 135826 (135854	- 135826 (135854	-135502) (135530	-135502) (135530	- 135589) (135617	- 135593) (135621	23SrRNA Iraq
- 94706) (94756	- 94706) (94756	غير موجودة	غير موجودة	غير موجودة	غير موجودة	Ycf2 Iraq
غير موجودة	غير موجودة	-135532) (135642	-135532) (135642	- 135619 (135729	-135622) (135732	23S RNA Iraq
-135856) (135966	-135856) (135966	غير موجودة	غير موجودة	غير موجودة	غير موجودة	rrn23 Iraq

جدول (4.4) التسلسلات المترافق والمختلفة في جينات اربع أصناف واثنين من هجن نبات خيار سليم مقارنة بنبات خيار مصاب بالفايروسات
Tomato leaf curl Palampur virus isolate ***Squash vein yellowing virus isolate SVYV/Iraq Babylon1***

التسليسل	عدد القواعد النتروجينية	اسم المنطقة المتضمرة	ت
CGTTGCTTCTACCATGGTTTAAAAGAAGAACAGTGG ATCATGTCCTTCAAGT	57bp	rps16 Iraq	1
GACACTCGATATTGGCCGTATTCAAAGATTGTATTGGAGC AATTGATG	60bp	Ycf2 Iraq	2
CTGATTCACACGGGATTCCACGTGCC	26bp	23SrRN A Iraq	3
AGATCCACTCTTTCTATTCCAAGATCATCCTTTGTCTC TGTGTT	48 bp	Ycf2 Iraq	4
CCATGCTACTCGGGTCAGGGCGTAAGCTAGTGATGCTTTC GGCTACTGGACTCTGCCATCTAGGGTGCAACACTCCACTG CTTCGCCTAGCAGCACGACGCTTGTAT	109bp	23S RNA Iraq	5
CCATGCTACTCGGGTCAGAGCGTAAGCTAGTGATGCTTCG GCTACTGGACTCTGCCATCTAGGGTGCAACACTCCACTGC TTCGCCTAGCAGCACGACGCTTGTAT	107 bp	rrn23 Iraq	6

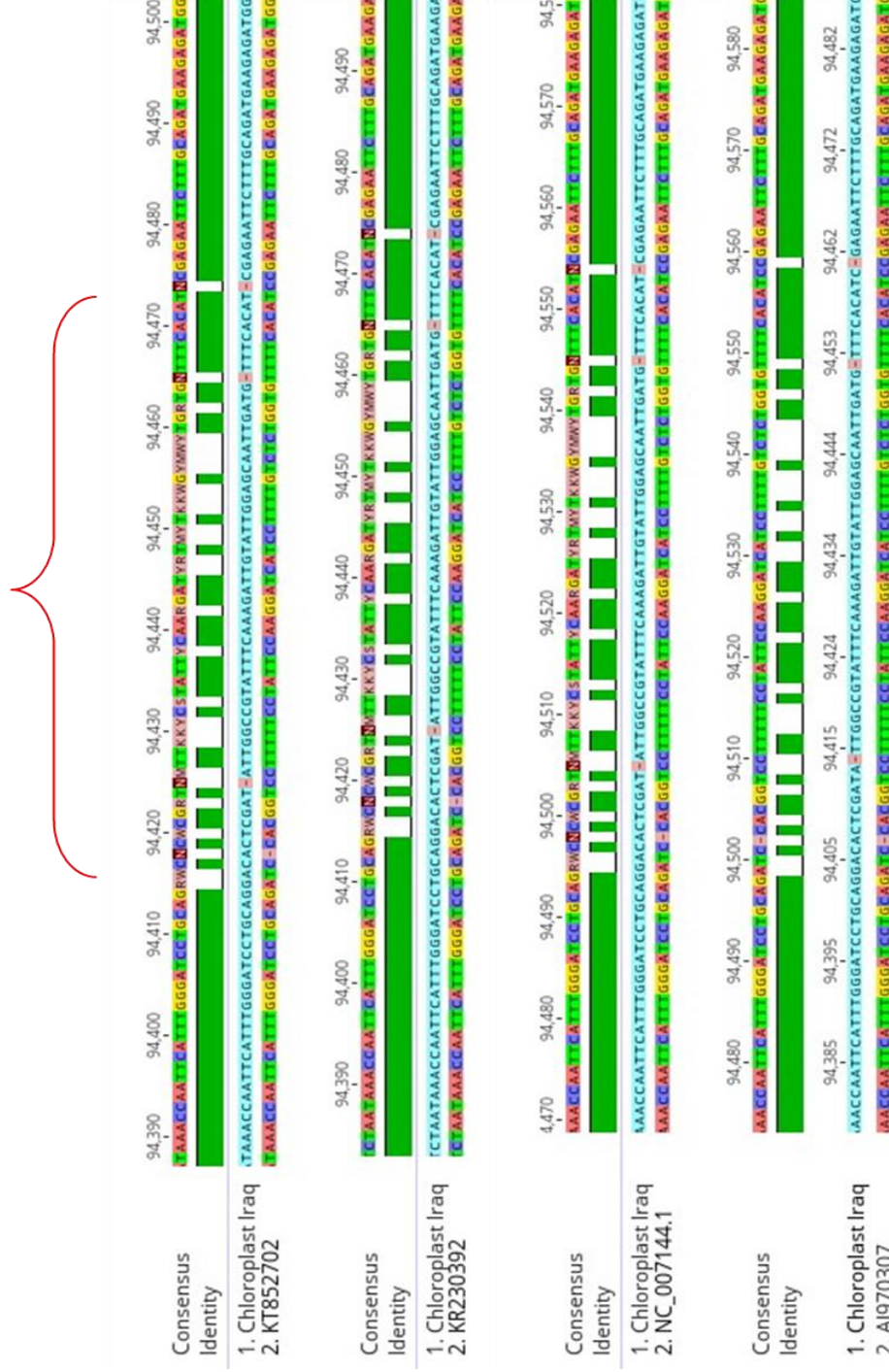


شكل (4.13) الخريطة الوراثية لجينوم بلاستيد نبات خيار
صنف *Cucumis sativus* var. hardwickii المصابة بالفايروسات
Tomato leaf curl و *Squash vein yellowing virus* isolate SVYV/Iraq
. *Palampur virus* isolate Babylon1



شكل (4.14) التطابق Pairwise Identity بين جينومات بلاستيدات التسلسلات المرجعية لبعض أصناف الخيار السليم مع تسلسل جينوم بلاستيدات نبات مصاب بالفايروسات *Squash* حيث أن منطقة *Tomato leaf curl Palampur virus* و *Vein Yellowing Virus* هي منطقة التغير الأولى الواقعة من ضمن الجين rps16 Iraq ، علماً أن (1) يمثل جينوم البلاستيدات الخضراء لصنف خيار المصاب ، أما (2) فتمثل جينومات البلاستيدات الخضراء لبعض أصناف الخيار .

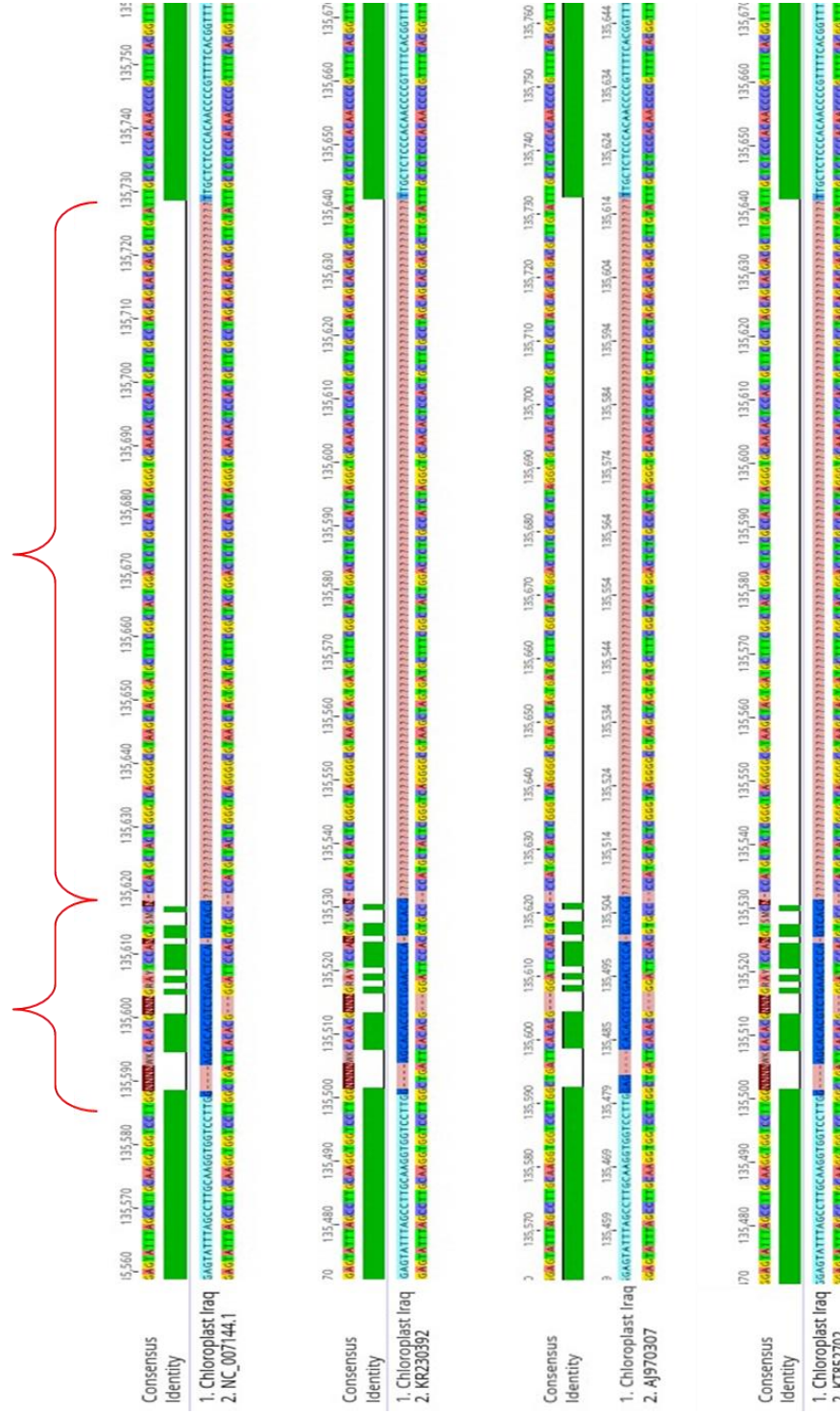
تغغير شديد ادى الى انخفاض التطابق بنسبة 49.0 % في المنطقة الجينية Ycf2 Iraq



شكل (4.15) التطابق Pairwise Identity بين جينومات بلاستيدات التسلسلات المرجعية بعض أصناف الخيار السليم مع تسلسل جينوم بلاستيدات نبات مصاب بالفيروسات *Squash Tomato leaf curl Palampur virus* و *Vein Yellowing Virus* حيث أن منطقة Ycf2 gene Iraq هي منطقة التغغير الثانية الواقعة من ضمن الجين Ycf2 gene Iraq (1) يمثل جينوم البلاستيدات الخضراء لصنف خيار المصايب ، و (2) فتمثل جينومات البلاستيدات

تغغير شديد ادى الى انخفاض التطابق بنسبة تراوح

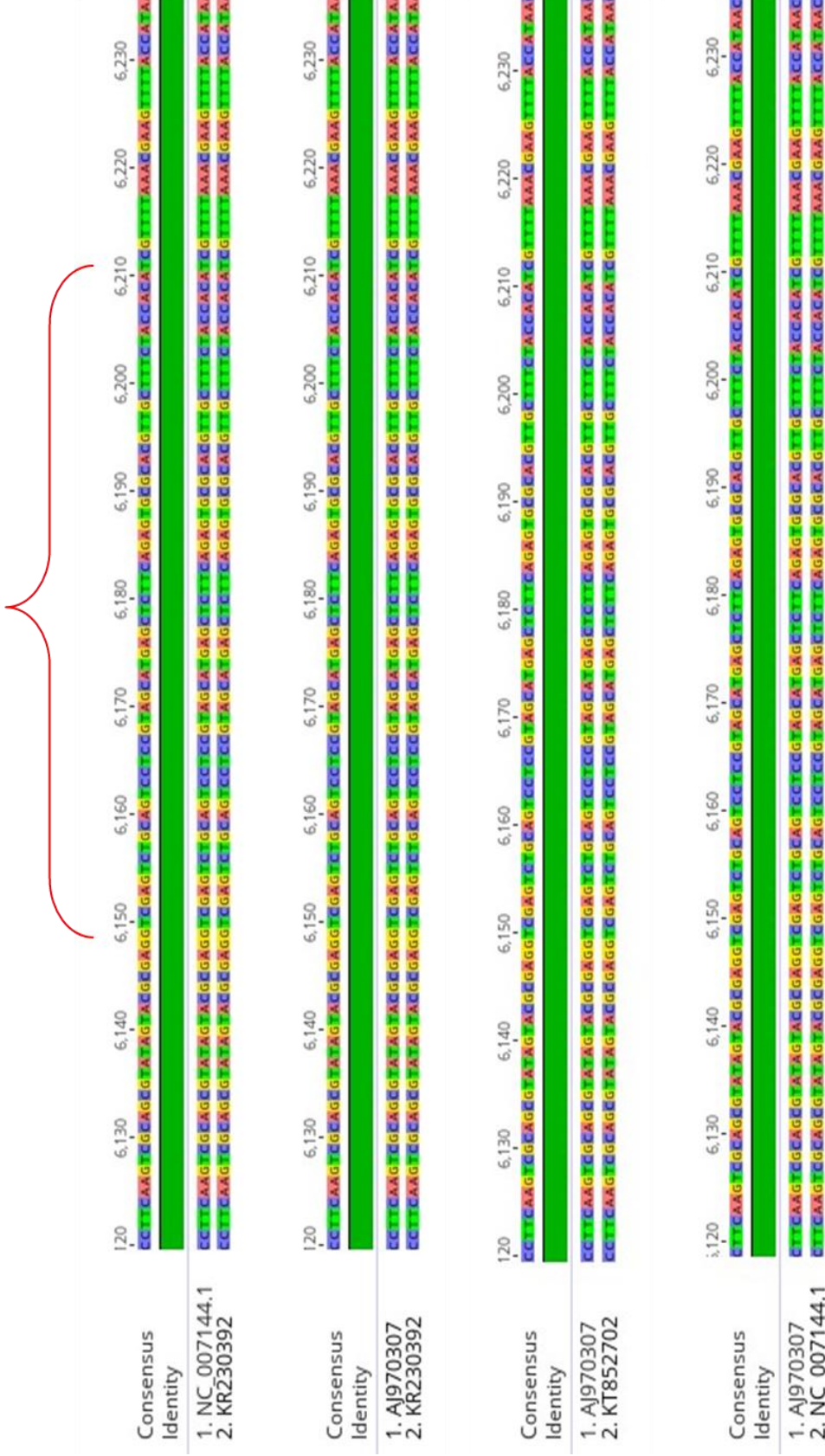
23SrRNA Iraq (52.9 - 50) % في المنطقة الجينية 23SrRNA Iraq



شكل (4.16) التطابق Pairwise Identity بين جينومات بلاستيدات التسلسلات المرجعية بعض أصناف الخيار السليم مع تسلسل جينوم بلاستيدات نبات مصاب بالفايروسات *Squash* وهي منطقة التغغير الثالثة الواقعة من ضمن الجين 23SrRNA gene Iraq والمنطقة الجينية المحدوفة 23 SrRNA gene Iraq علما أن (1) يمثل جينوم البلاستيدات الخضراء لصنف خيار المصاب ، (2) فتمثل جينومات البلاستيدات الخضراء لبعض أصناف الخيار .

للتأكد من أن التغاير والفقدان الحاصل في القطع الجينية المذكوره أعلاه ناتج عن الاصابة الفايروسية وليس تغاير وراثي بين الأصناف والهجن ، فقد تم عمل مطابقة بين تسلسلات الاحماض النوويه الكاملة للبلاستيدات الخضراء (Pairwise alignments) العائدة لأربعة أصناف مختلفة ، MT721154 ، AJ970307 ، KR230392 ، KT852702 ، NC-007144) Ycf2 ، rps16 gene Iraq (MF095790) كل نباتين على حدة ، وجد أن المناطق الجينية (23SRNA gene Iraq و 23 SrRNA gene Iraq، gene Iraq) موجودة في جميع الأصناف الأربعه وبنسبة تطابق 100% كما في شكل (4.17) و (4.18) و (4.19) وغير موجودة في الهجينين (MF095790 ، MT721154) عدا المنطقة الجينية 23SrRNA Iraq موجودة في الأصناف والهجن وبنسبة تطابق 100% .

تطابق المنطقة الجينية rps16 Iraq بنسبة 100 % بين التسلسلا

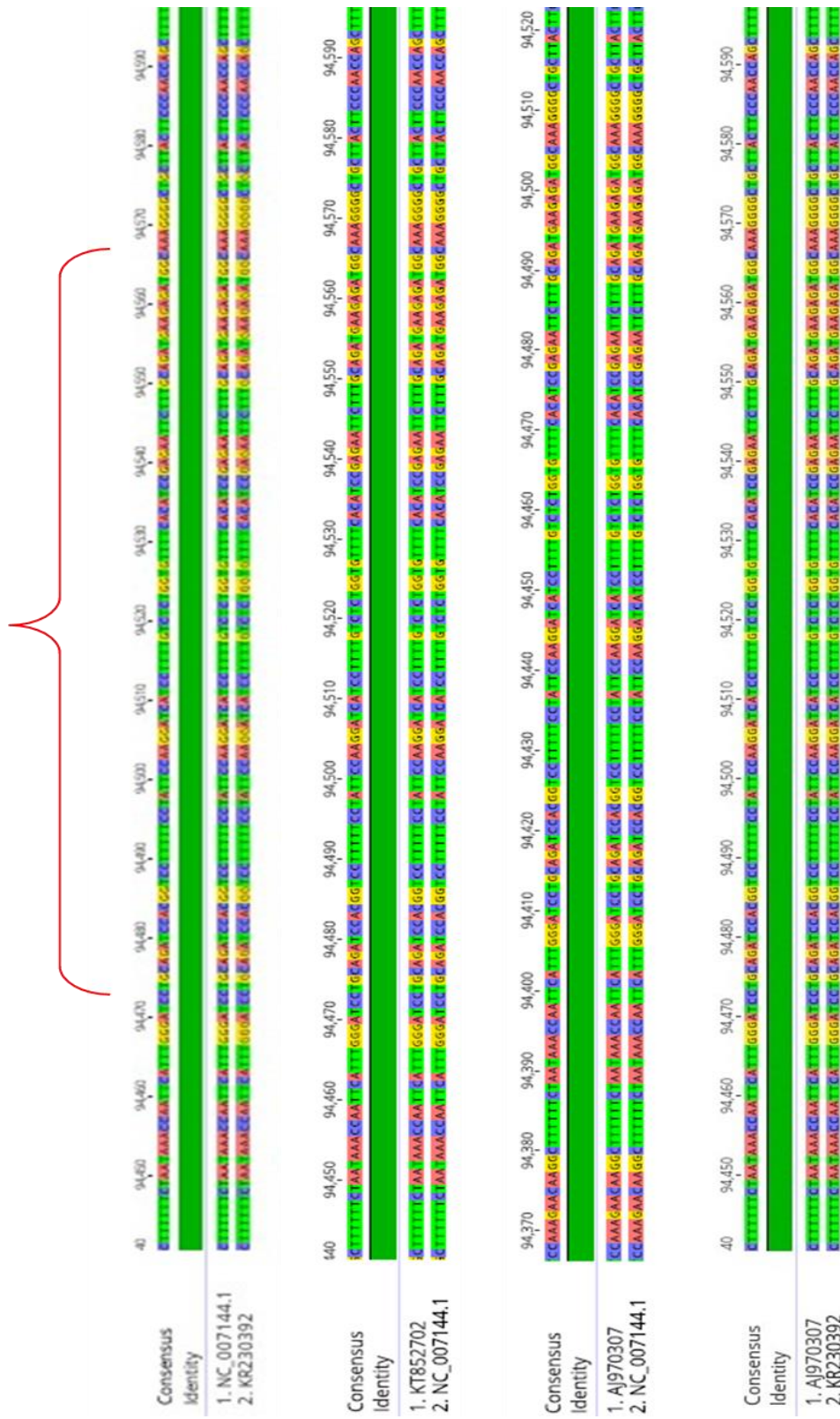


شكل (4.17) نسبة تطابق Pairwise Identity جينومات بلاستيدات التسلسلا

rps16 Iraq للمنطقة الجينية Geneious لبعض أصناف الخيار السليم مع بعضها في برنامج

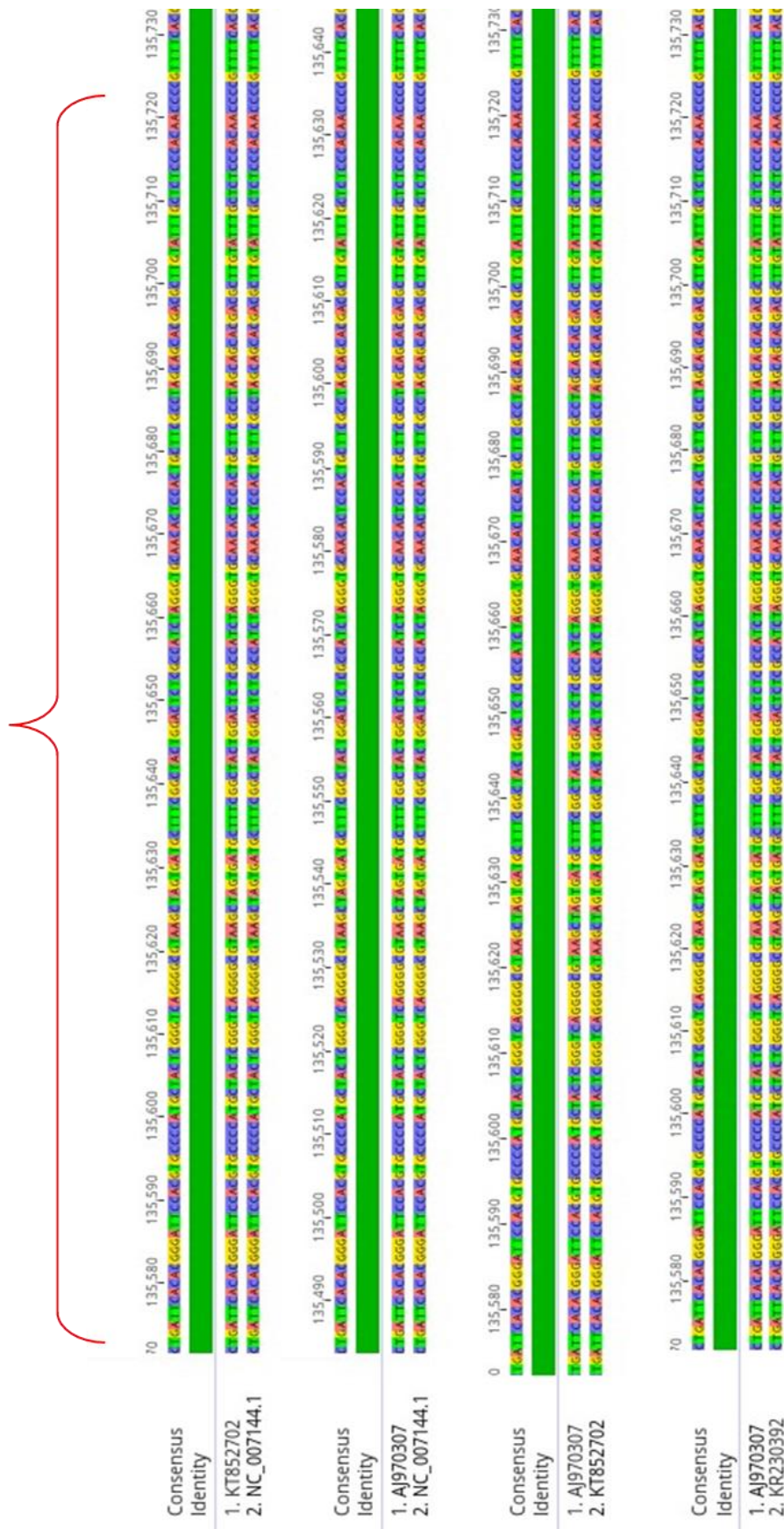
. الواقعه ضمن الجين rps16

تطابق المنطقة Ycf2 Iraq بنسبة 100 % بين التسلسلات المرجعية لنباتات خيار



شكل (4.18) نسبة تطابق Pairwise Identity جينومات بلاستيدات التسلسلات المرجعية بعض أصناف الخيار السليم مع بعضها في برنامج Geneious للمنطقة الجينية Ycf2 gene الواقعه ضمن الجين Ycf2 Iraq .

تطابق المنطقة **Iraq rRNA 23S** بنسبة 100% بين التسلسلات المرجعية لنباتات خيار



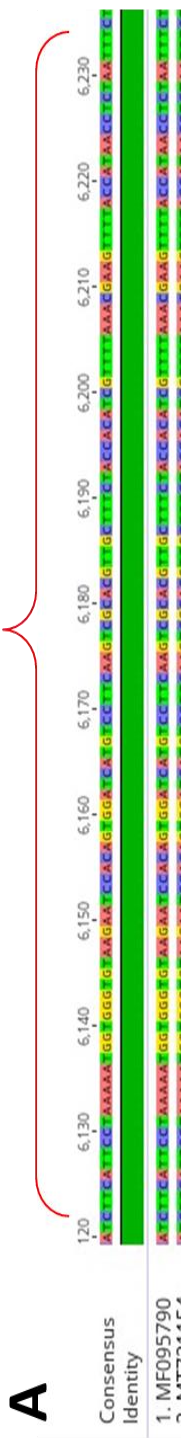
شكل (4.19) نسبة تطابق Pairwise Identity جينومات بلاستيدات التسلسلات المرجعية لبعض أصناف الخيار السليم مع بعضها في برنامج Geneious للمنطقة الجينية 23SrRNA . 23SrRNA gene ضمن الجين Iraq.

كما وجد في الهجينيين منطقتين (rrn23 gene Iraq ، Ycf2 gene Iraq) وغير موجودة في الأصناف عند مطابقة الهجينين مع بعضهما ، وجد أن هذه المناطق تتطابق بنسبة 100 % ولكن عند اجراء المطابقة بين جينومات البلاستيدات الخضراء للأصناف ، والهجن المذكورة أعلاه ، وبين جينوم بلاستيدات خضراء لنبات مصاب تبين أن المناطق (Ycf2 ، rps16 gene Iraq) متفايرة بدرجة شديدة وأن المنطقة الجينية (SrRNA gene Iraq) مفقودة أما التطابق بين جينومات بلاستيدات الخضراء لهجينيين وجينوم بلاستيدات نبات مصاب اتضح وجود تغاير شديد في منطقتين الجينيتين (23SRNA gene Iraq ، Ycf2 gene Iraq) (23 rrna gene Iraq) ومنطقة محفوظة (23SrRNA gene Iraq) كما في الشكل (4.20) . (4.21)

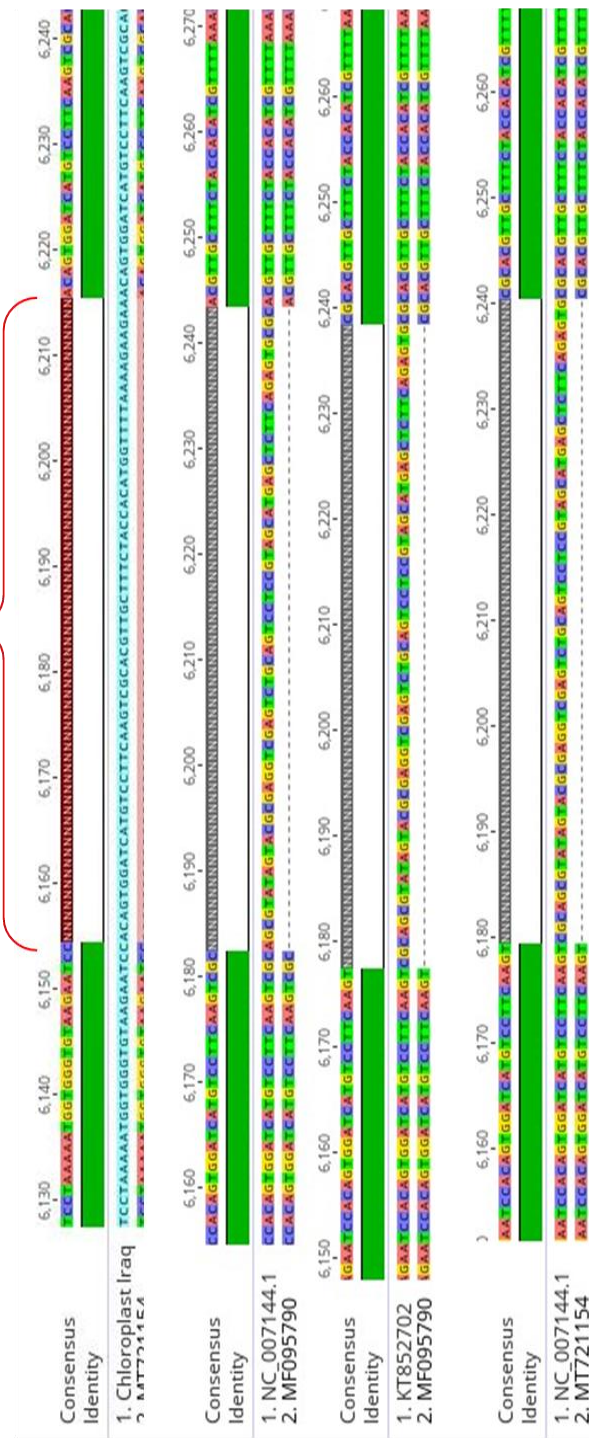
مما سبق ربما يعود وجود هذا التغاير الشديد في بعض جينات البلاستيدية الخضراء لنبات سليم وآخر مصاب إلى تأثير الاصابة الفايروسيّة على الحامض النووي DNA لجينات البلاستيدات الخضراء في النبات المصابة بالفايروسات *Squash vein yellowing virus isolate* . *Tomato leaf curl Palampur virus isolate Babylon1* و *SVYV/Iraq*

تطبيق المنطقة الجينية $rps16\text{-}Iraq$ بنسبة 100 % بين التسلسلات المرجعية لهجيني

卷之三



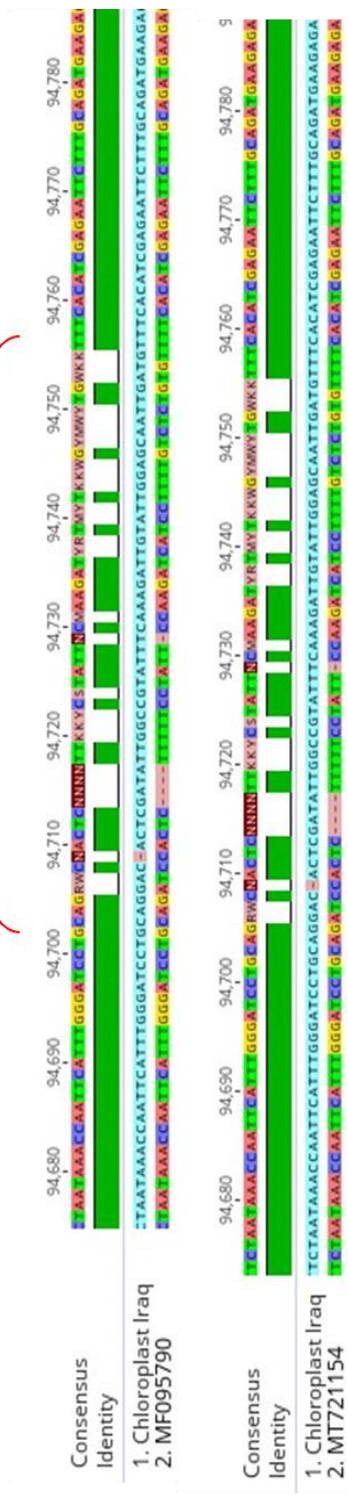
عند المطابقة مع التسلسلات المرجعية لاصناف خيار سليمة وصنف خيار مصاب



شكل (4.20) نسب تطابق Pairwise Identity ومناطق الحذف بين جينومات بلاستيدات التسلسلات المرجعية لهجن خيار سليم مع تسلسل جينوم بلاستيدات نبات مصاب بالفايروسات وجينومات *Tomato leaf curl Palampur virus* و *Squash Vein Yellowing Virus* بلاستيدات بعض أصناف خيار سليم حيث أن : A) التطابق في المنطقة الجينية rps16 Iraq بين هجينين خيار سلم . B) التطابق في المنطقة الجينية 23SrRNA . علما أن 1) تمثل جينوم صنف الخيار المصاب . 2) تمثل هجن الخيار السليم.

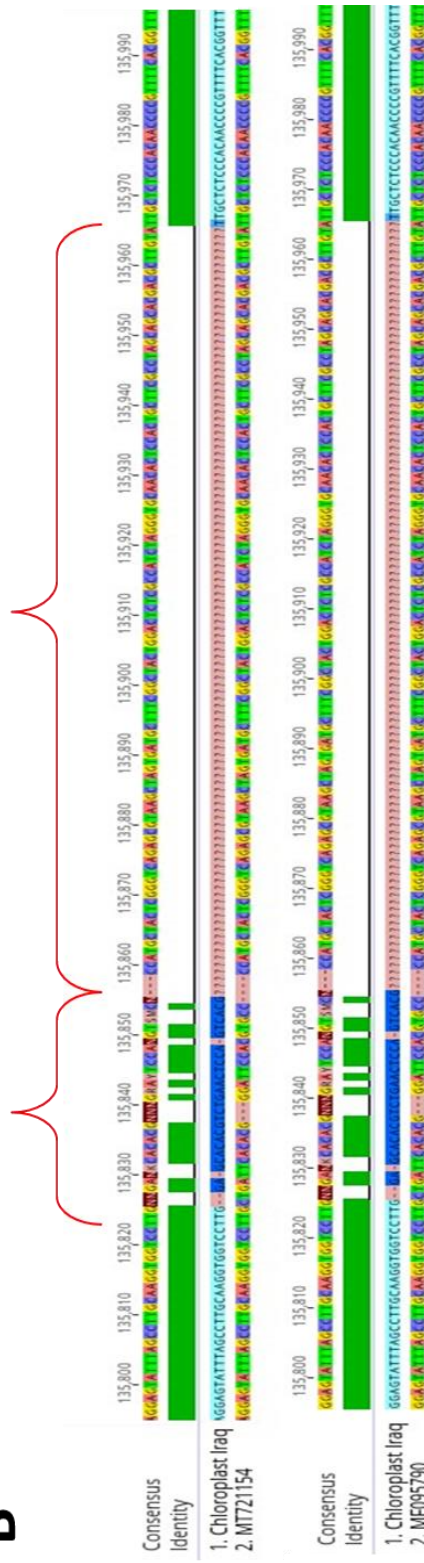
تغاير شديد ادى الى انخفاض التطابق بنسبة ٤٦٪ في المنطقة الجينية Ycf2 Iraq

A



تغاير شديد ادى الى انخفاض التطابق بنسبة ٥٢٪ في المنطقة الجينية 23S RNA Iraq

B



شكل (4.21) نسب تطابق Pairwise Identity ومناطق الحذف بين جينومات بلاستيدات التسلسلات المرجعية لهجن خيار سليم مع تسلسل جينوم بلاستيدات نبات مصاب بالفايروسات : *Tomato leaf curl Palampur virus* و *Squash Vein Yellowing Virus* . (A) التطابق في المنطقة الجينية Ycf2 Iraq . (B) التطابق في المنطقة الجينية 23SrRNA . علماً أن (1) تمثل جينوم صنف الخيار المصابة (2) تمثل هجن الخيار السليم.

تعد البلاستيدات الخضراء واحدة من أكثر العضيات المهمة في الخلية النباتية حيث أنها تقوم بعملية التمثيل الضوئي ، وتجمع الهرمونات النباتية الرئيسية ، وتلعب دوراً فاعلاً في الاستجابة الدافعية ضد العدوى الفايروسي (Zhai و Bhattacharyya 2018 ؛ و اخرون ، 2021) . أن جينومات البلاستيدات الخضراء والميتوكوندريا تحتوي جينات بلغت ما بين (100 - 200) جين تشفّر البروتينات المشاركة في التعبير الجيني للعضيات Organellar ، والتمثيل الضوئي ، وسلسلة نقل الإلكترون (Robles و Gene Expression (OGE) (2019 ، Quesada .

تعد البلاستيدات الخضراء هدفاً رئيساً للفيروسات ، لذا تسبب أضراراً تركيبية ووظيفية فيها ، في أثناء العدوى الفيروسي كما ترتبط نسب كبيرة من منتجات الجينات في نبات مصاب بالفايروس ارتباطاً وثيقاً ، وأيضاً البلاستيدات الخضراء وعملية التمثيل الضوئي. على الرغم من أن البلاستيدات الخضراء تعاني من نقص في آلية إسكات الجينات ، إلا أنها تثير الاستجابة المناعية التي يثيرها المستجيب ضد مسببات الأمراض الفيروسي (Chakraborty و Bhattacharyya 2018 ؛ Zhai 2021 ؛ Kaur 2021 و اخرون ، 2022) .

تشترك البلاستيدات الخضراء في تنظيم تفاعل الفايروس مع النبات ، لذا عادةً ما تؤدي العدوى الفيروسي إلى زيادة مستويات انواع الأوكسجين الفاعلية Reactive Oxygen Species (ROS) ومع ذلك ، فإن كيفية مساهمة (ROS) في ظهور الأعراض لم يتم توثيقها جيداً ، (Chakraborty و Bhattacharyya 2018 ؛ الربيعي ، 2021 ؛ Lin 2022 و اخرون 2022) .

عند تعرض الجينوم النباتي لاجهاد احيائي أو غير احيائي فإنه ينتج ROS الذي يسبب تلف في الاحماض النووي ومن ثم ينتج عنه تأثيرات فسليجية مختلفة مثل انخفاض في توليد البروتين ، ضعف الخلية و تلف البروتينات و احداث الطفرات مما يؤدي إلى التأثير على تطور ونمو الكائن الحي بأكمله ، يمكن أن يؤثر على توقيف أو تحفيز النسخ ، و مسارات تحويل الاشارة (الربيعي ، (2021 .

من المعروف أن الإصابات الفايروسيّة تسبّب العديد من التغييرات في البلاستيدات الخضراء لتسهيل تضاعف الفايروس وحركته ، فعادةً ما تؤدي العدوى الفايروسيّة ، التي تسبّب الموزائيك أو التبغق في الأوراق إلى زيادة مستويات ROS ، الذي عادةً ما ينتج في البلاستيدات الخضراء وكذلك Peroxisomes ، الذي هو نوع من الأجسام الدقيقة موجود في سايتوبلازم الخلايا حقيقية النواة) والميتوكوندريا لذلك يكون DNA لهذه العضيات أكثر حساسية للتلف ، حيث يكمن الخطير في اكسدة السكر الموجود وحصول تغيير في القواعد النتروجينية (حذف أو إضافة)

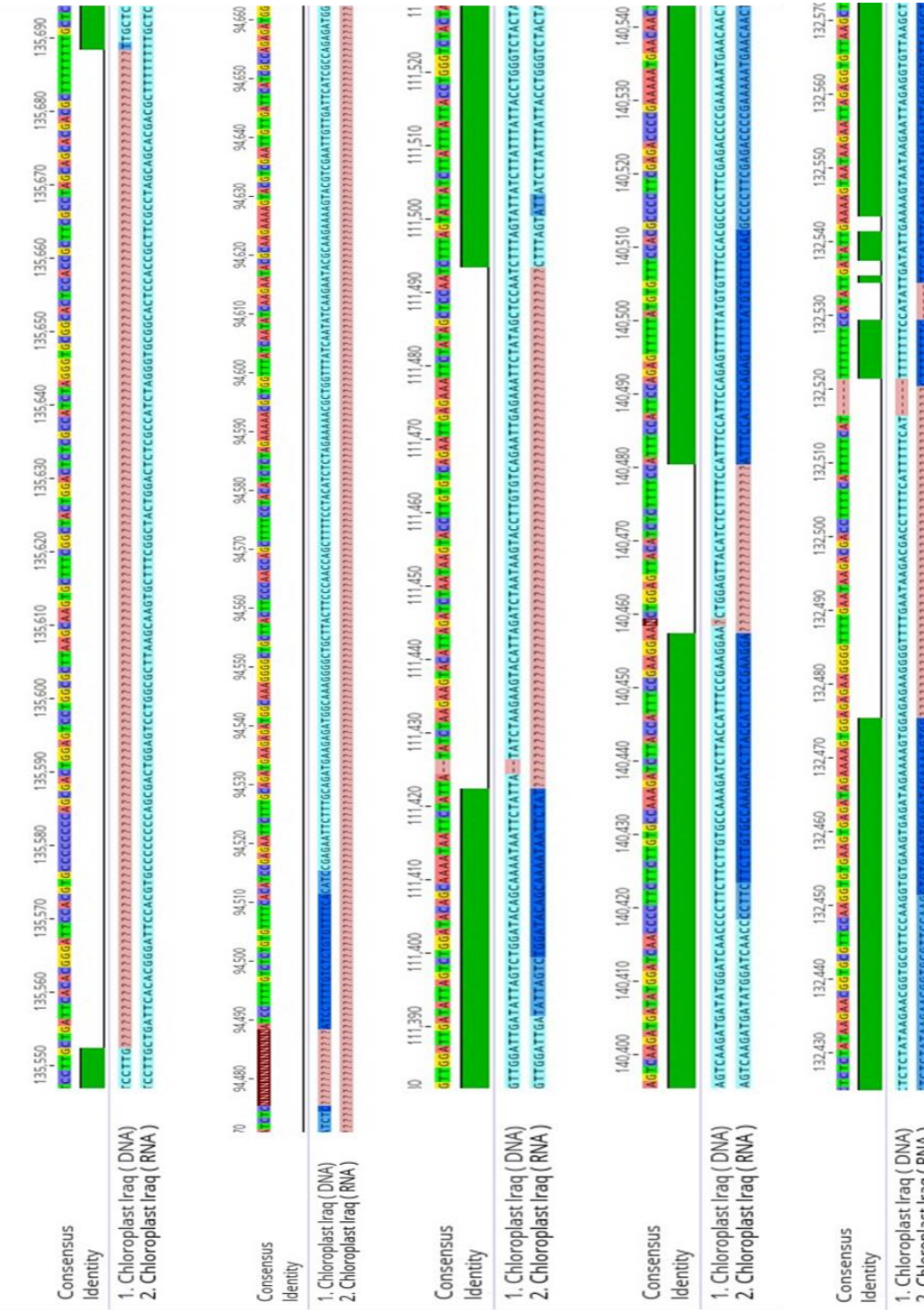
وكذلك قد يحدث كسر أو تشوهدات في شريط DNA . كما يعد جذر الهيدروكسيل OH هو الجذر الأكثر ضرراً للحامض النووي DNA من خلال قدرته على التفاعل مع القواعد النتروجينية ومع السكريديوكسي رايبيوز وأيضاً يكسر الأصارة المزدوجة للقواعد النتروجينية (الربيعي ، 2021 ؛ واخرون 2022 ؛ Kaur و اخرون 2022) . وهذا يفسر وجود مناطق الحذف في التسلسل الموجود.

4.11. التعبير الجيني لجميع جينات البلاستيدات الخضراء في خلية نبات خيار *Squash vein yellowing virus isolate SVYV/Iraq* مصابة بالفايروسات *Tomato leaf curl Palampur virus isolate Babylon1* و

أظهرت نتائج ربط التسلسل المرجعي للبلاستيدات الخضراء بالقراءات الخام للحامض النووي RNA بوجود 57124531 قراءة مرتبطة غطت Coverage كامل التسلسل المرجعي إلا أن المناطق الأكثر تغطية كانت بين تسلسلي (3355- 287) زوج قاعدة وهذه تمثل الجين psbA الذي ينتج بروتينن النظام الضوئي الثاني photosystem II protein D1 وهو بروتين متعدد الوحدات موجود في أغشية التمثيل الضوئي للنباتات يستعمل في نقل الإلكترون الناجم عن الضوء وتفاعلاته انقسام الماء لإنتاج البروتونات والإلكترونات والأوكسجينيجزيئي، علماً أن البروتونات المتكونة لها دور فعال في تكوين ATP . يتم إصدار ثنائي الأوكسجينيجزيئي كمنتج ثانوي . تليها المنطقة (67357 - 70529) زوج قاعدة تمثل جين rbcL والمسؤول عن إنتاج ribulose-1,5-bisphosphatecarboxylase/oxygenase large subunit ثم المناطق (40131-39813) زوج قاعدة و (40171-40787) زوج قاعدة التي تقع من ضمن الجين psbD والمسؤول عن إنتاج بروتينين البناء الضوئي الثاني photosystem II protein D2 و هذا له الوظيفة نفسها Putative Photosystem Antenna Protein التي تقع من ضمن الجين psbD وينتج بروتين psbC الذي ينتج البروتين البناء الضوئي الثاني CP43 وبروتين الكلوروفيل chlorophyll apoprotein والمنطقة (41351-42070) زوج قاعدة فتقع من ضمن الجين ribosomal protein S14 الذي ينتج البروتين الريابيوزومي hypothetical protein GIB67_017525 والمنطقة (46758-46613) زوج قاعدة التي تنتج البروتين الافتراضي Pairwise Identity بين RNA و DNA و هذه جميعها بروتينات البناء الضوئي . وعند اجراء تطابق Pairwise Identity بين RNA و DNA والمنطقة (94431 - 94670) زوج قاعدة المتغيرة تغايراً شديداً في DNA والواقعة من ضمن الجين Ycf2 سببت عدم التعبير لجزء من هذا الجين المحدد بين التسلسلين (94431 - 94670) زوج

قاعدة ضمن RNA ، التي ربما أدى إلى خلل في عمل الجين من خلال تأثيرها على عملية انتاج الانزيمات المسئولة عن اطلاق الطاقة . أما المنطقة المتغيرة (6162 – 6210) الواقعة من ضمن جين rps16 حذف في بعض قواعد RNA إلا أن هذا لم يغير نوع البروتين المنتج من قبل الجين .

إن فقد الحاصل في DNA في المنطقة (135552 - 135662) زوج قاعدة ، الذي يكون من ضمن الجين 23SrRNA لم يؤثر على وظيفته في انتاج 23S ribosomal RNA فقد تم التعبير عن الجين بشكل كامل كما في الشكل (4.22) وقد يعزى سبب ذلك الى احتمال وجود هذا الجين في النواة ايضاً وبالتالي تعبيره الجيني واستنساخ قطع mRNA عملت على تغطية هذا فقد في عملية المحاذاة Alignment .



شكل (4.22) مقدار الضرر الحاصل على اجزاء من الجينوم الكامل للبلاستيدة الخضراء في نبات خيار نتيجة الاصابة بالفايروسات *Squash vein yellowing virus isolate* وتأثيره *Tomato leaf curl Palampur virus isolate Babylon1* و *SVYV/Iraq* على التعبير الجيني من خلال التطابق *Pairwise alignment* في برنامج *Genious* في برنامح *Pairwise alignment* علمًا أن (1) جينوم الحامض النووي DNA للبلاستيدات الخضراء لصنف خيار المصاب ، (2) جينوم الحامض النووي RNA للبلاستيدات الخضراء لصنف خيار المصاب .

تحتوي كل خلية في النبات على نفس المعلومات الجينية ونفس مجموعة الجينات ، لذلك تحتاج إلى مجموعات من الجينات المطلوبة لأداء وظائف متعددة في الخلايا أو الأنسجة المختلفة ، وكذلك لاستجابات النبات للإشارات أو الضغوط البيئية . يتم تحقيق ذلك من خلال تنظيم نشاط الجينات على وفق المتطلبات الفسيولوجية لنوع معين من الخلايا ، أو مرحلة النمو أو الحالة البيئية يُعرف تنظيم النشاط هذا بالتعبير الجيني يتضمن التعبير الجيني النسخ Transcription لإنتاج mRNAs والترجمة Translation لانتاج البروتينات (Selbach و Buccitelli ، 2020 ، Suza واخرون ، 2021) .

فهم التعبير الجيني يتطلب فحص عمليتين ، تنشيط التعبير الجيني لتكوين رسالة ، وقراءة هذه الرسالة لبناء بروتين معين ، ولكن عندما لا تتفاعل الخلايا بشكل صحيح ، أو تفتح تشغيل الرسائل الجزيئية بشكل غير صحيح ، فإن المرض قد يستتبع ذلك ، وفي الحالة الطبيعية يتطلب التعبير عن الجينات في خلايا ، وأنسجة ، وأعضاء نباتية معينة ، وتوقيت هذا التعبير مستوى دقيقاً من التنظيم أو الوظيفة الجينية ، إلا أنه عند حدوث العدوى الفايروسية تؤثر على مستويات التعبير عن الجينات المرتبطة بالبلاستيدات الخضراء ، حيث يحدث انخفاض في كميات البروتينات المختصة ، التي ترتبط بجزئيات النظام الضوئي ، لذا ممكن أن تعزى الأعراض المرضية الفايروسية على النبات إلى تأثير الفايروس على أيض العائل من خلال تحفيز الفايروس للعائل على تخليق بروتينات جديدة تكون بعضها مواد فعالة بايولوجيًّا (أنزيمات ، هرمونات ... الخ) يمكن أن تتعارض مع الأيض الطبيعي للعائل كما قد تكون بعض الجينات هدفاً شائعاً للفايروسات (Armingol ، 2011 ، Chaturvedi ، 2011 ، Shrif ، 2011 ، Suza واخرون ، 2016 ، Zhai واخرون ، 2021 ، Biju واخرون ، 2021 ، Zhai واخرون ، 2022) .

ان الخل الحاصل في التعبير الجيني لبعض جينات البلاستيدات الخضراء المختبرة ممكن أن يعزى إلى تأثير الاصابة الفايروسية على الاحماض النووي الخلوية والرايبوسومات من خلال تأثيرها على تخليق rRNA لخلايا العائل وهذا التأثير يتباين باختلاف الفايروس وسلالاته ووقت الاصابة ونوع العائل ونوع النسيج المصاب كما وجد أن كمية RNA للفايروس المخلقة تساوي كمية RNA للخلية المدمر بسبب الاصابة كما أنها تؤثر على الاحماض الامينية من خلال زيادة في بعضها مثل الجلوتامين Glutamine والاسبارجين Asparagine وظهور حامض البنيبيكوليك Pipecolic ومن ثم تغير نوع البروتينات وتراكيزها في النبات المصاب (Guo ، 2011 ، Pipecolic واخرون ، 2019) .

إن المعلومات الجينية مخزنة في ثلاثة توائم نيوكلويوتيدات يشار إليها باسم الكودونات Codons ، العديد من الأحماض الامينية يتم تحديدها بأكثر من كodon واحد من

ضمنها ثلاثة كودونات توقف هي UAA، UAG و UGA حيث تحدد هذه الكودونات إنتهاء تلقيق سلسلة البيتيد في أثناء الترجمة. وكودون البدء AUG الذي يمثل الحامض الأميني الميثيونين Methionine لبدء تلقيق متعدد البيتيد ، عند اختلاف تسلسل الكودونات عن الأصل ، يتغير تسلسل الأحماض الأمينية بالكامل ويحدث هذا تأثيراً عند حصول عمليات الحذف أو الإضافة حيث يمكن للحذف أو الإضافة تغيير إطار القراءة للتسلسل التالي بأكمله ، ويظهر هذا التأثير عندما لا يكون عدد قواعد النوكليوتيدات التي تم إدخالها أو حذفها من مضاعفات 3 ، وعادة ما يؤدي ذلك إلى فقدان وظيفة البروتين كما قد تنشأ طفرة غير منطقية عندما يتم تغيير كودون وظيفي إلى كودون توقف. قد تتسبب الطفرات غير المنطقية في إنهاء المبكر للترجمة (Suza و آخرون ، 2021).

وُجِدَ في بعض الحالات أن الاصابة الفايروسيّة تؤدي إلى اسكات التعبير عن بروتينات البناء الضوئي وزيادة في التعبير عن بروتين العائل ، الذي يتفاعل مع بروتين غلاف الفايروس فمثلاً ادت اصابة نبات Tomato mosaic virus Nicotiana benthamiana بفايروس PetE و PsaF و PsaD و PsbO و زباده في التعبير عن بروتينات المرتبطة بالتمثيل الضوئي الكلوروفيل بشكل كبير وظهور أعراض الموزائيك (Liu و آخرون ، 2021)

انخفاض التعبير عن 119 جيناً بشكل ملحوظ بمقدار 1.5 ضعف أو أكثر استجابةً لعدوى الفايروس ToCV Tomato chlorosis virus حيث تم قمع تعبيرات العديد من الجينات المشاركة في النسخ ، والاستجابة الدفاعية ، والتمثيل الغذائي ، والبناء الضوئي والإشارات عند الإصابة بهذا الفايروس (Cevik و آخرون ، 2021).

كما وجد أن بروتين الحركة لفايروس Rice Stripe Virus (RSV) يحتل البلاستيدات الخضراء للعائل ، ويسبب خفض التعبير الجيني عن بروتينات الدفاع في النبات (Li و آخرون ، 2021).

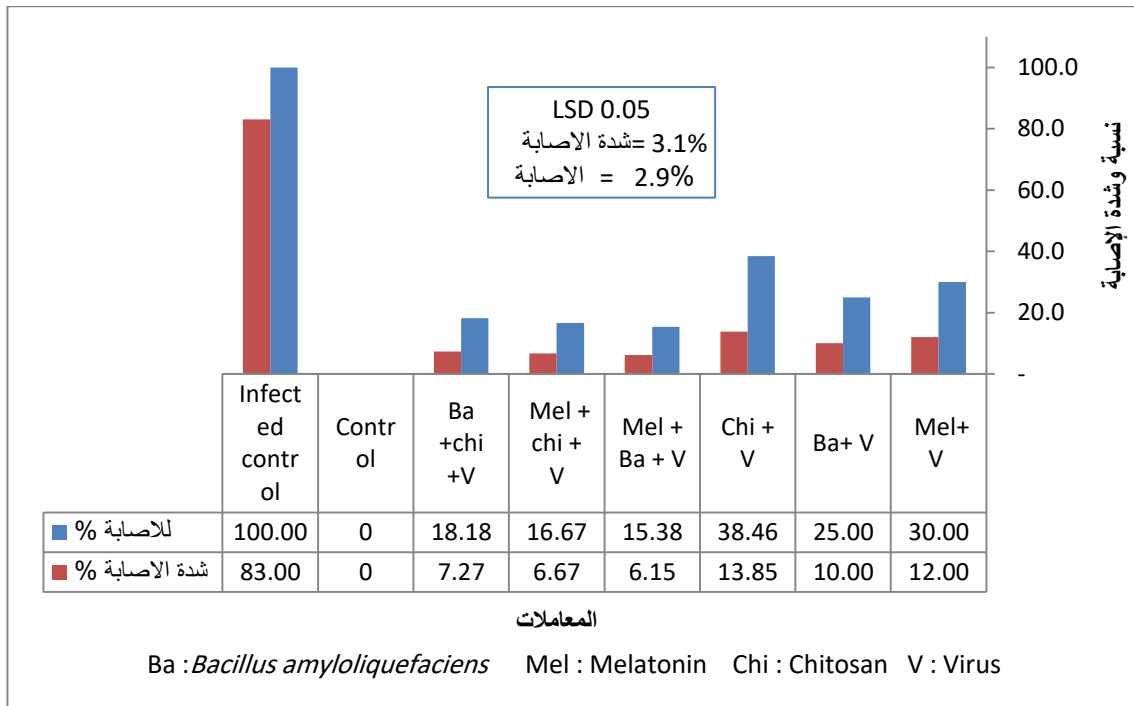
4.12. فاعلية عمر بذور نبات الخيار ببكتيريا *B. amyloliquefaciens* ومحلول الميلاتونين والكيتوسان وتوليفاتها المزدوجة ضد الاصابة الفايروسيّة :

4.12.1. التغيرات الظاهريّة :

4.12.1.1. فاعلية عمر بذور نبات الخيار ببكتيريا *B. amyloliquefaciens* ومحلول الميلاتونين والكيتوسان وتوليفاتها المزدوجة في خفض نسبة وشدة الاصابة الفايروسيّة :

أظهرت النتائج أن معاملات عمر البذور ببكتيريا *B. amyloliquefaciens* ومحلول الميلاتونين والكيتوسان وتوليفاتها المزدوجة خفضاً معنوياً في نسبة وشدة الاصابة الفايروسيّة فقد اتضح من النتائج أن عمر البذور بالتوليفات المزدوجة (بكتيريا *B. amyloliquefaciens* ومحلول الميلاتونين ، بكتيريا *B. amyloliquefaciens* ومحلول الكيتوسان ، محلول الميلاتونين والكيتوسان) الملقة بالفايروس أعطت أقل نسبة وشدة اصابة من استخدام المعاملات المذكورة منفردة فقد تفوقت التوليفة (بكتيريا *B. amyloliquefaciens* ومحلول الميلاتونين) في خفض نسبة الاصابة وشدتتها ، حيث بلغت 15.38 % و 6.15 % على التوالي ثم تأتي التوليفة (خليط من محلول الميلاتونين والكيتوسان) حيث بلغت نسبة وشدة الاصابة فيها 16.67 % و 6.67 % على التوالي أما التوليفة (بكتيريا *B. amyloliquefaciens* ومحلول الكيتوسان) فقد أعطت نسبة وشدة اصابة 18.8 % و 7.27 % على التوالي.

بينما كانت نتائج عمر البذور بالمعاملات ببكتيريا *B. amyloliquefaciens* ، محلول الميلاتونين ، محلول الكيتوسان منفردة على خفض نسبة الاصابة وشدتتها معنوية حيث بلغت معدلات نسبة الاصابة 25.00 % ، 30 % و 38.46 % على التوالي بينما كانت معدلات شدة الاصابة 10 % ، 12 % و 13.85 % على التوالي مقارنة بمعاملة المقارنة الملقة بالفايروس التي بلغت نسبة الاصابة فيها 100% وشدة اصابة 83.00 % كما في Infected control الشكل (4.23) .



شكل (4.23) فاعلية غمر بذور نباتات الخيار ببكتيريا *B. amyloliquefaciens* ومحلول الميلاتونين والكيتوسان وتوليفاتهما المزدوجة في خفض نسبة وشدة الاصابة الفايروسيّة .

ومن النتائج أعلاه تبين أن استخدام العوامل آنفة الذكر بشكل مفرد ، أو توليفات مزدوجة حفّرت المقاومة المستحثة الجهازية في نباتات الخيار ضد الاصابة الفايروسيّة من خلال تقليل ضراوة الممرض، حيث خفض من شدة ونسبة الأعراض المرضية على النباتات المعاملة .

كما أن الخفض الحاصل في نسبة الاصابة و شدتها في التوليفات المزدوجة للعوامل أكثر من معاملات العوامل مفردة قد يعود إلى الفعل التأزري لهذه العوامل في تحفيزو تحسين مقاومة النبات ضد الاصابة الفايروسيّة وخفض ضراوة الفايروسات المرضية ، ولا توجد دراسات سابقة على استعمال هذه التوليفات المذكورة آنفا .

4.12.1.2 فاعلية عمر بذور نبات الخيار ببكتيريا *B. amyloliquefaciens* ومحلول الميلاتونين والكيتوسان وتوليفاتها المزدوجة على معايير النمو الجذري والحضري :

حققت معاملات عمر بذور الخيار ببكتيريا *B. amyloliquefaciens* ومحلول الميلاتونين والكيتوسان وتوليفاتها المزدوجة زيادة معنوية على معايير النمو الجذري ، والحضري والمتمثلة بأطوال المجموعين الجذري ، والحضري وأوزانهما الطيرية ، والجافة والمساحة السطحية للأوراق في جدول (4.5) ، فقد تفوقت معاملات التوليفات المزدوجة (بكتيريا *B. amyloliquefaciens* ومحلول الميلاتونين ، بكتيريا *B. amyloliquefaciens* الكيتوسان ، محلول الميلاتونين والكيتوسان) ، وغير الملقحة بالفايروس على بقية المعاملات فقد تراوحت معدلات اطوال المجاميع الخضرية بين (77 - 82.7) سم ، ومعدلات اطوال المجاميع الجذرية بين (73.5-79) سم ، أما معدلات الأوزان الطيرية للمجاميع الخضرية فكانت بين (38.0 - 56.8) غم ، ومعدلات الأوزان الطيرية للمجاميع الجذرية فتراوحت بين (40.57 - 60.8) غم ، فيما تراوحت معدلات الأوزان الجافة للمجاميع الخضرية بين (18.7 - 21.0) غم ، ومعدلات الأوزان الجافة للمجاميع الجذرية بين (15.9 - 16.3) غم ، أما معدلات المساحة السطحية للأوراق فكانت بلغت ما بين (77.0 - 80.1) سم². في حين تشابهت معاملات التوليفات المزدوجة (بكتيريا *B. amyloliquefaciens* ومحلول الميلاتونين ، بكتيريا *B. amyloliquefaciens* ومحلول الكيتوسان ، محلول الميلاتونين والكيتوسان) والملقحة بالفايروس مع التوليفات المزدوجة غير الملقحة ، وكذلك مع معاملة المقارنة ، أما نتائج معاملات عمر البذور ب (بكتيريا *B. amyloliquefaciens* ، محلول الميلاتونين ، محلول الكيتوسان) منفردة وغير الملقحة ، التي كانت معدلات اطوال مجاميها الخضرية بلغت بين (61.0 - 66.3) سم ، ومعدلات اطوال مجاميها الجذرية بلغت بين (68.0 - 72.3) سم ، ومعدلات الأوزان الطيرية لمجاميعها الخضرية بلغت بين (43.8 - 49.7) غم ، وكانت معدلات الأوزان الطيرية للمجاميع الجذرية بلغت بين (31.8 - 36.2) غم ، و معدلات أوزانها الجافة لمجاميعها الخضرية كانت بلغت بين (12.4 - 12.7) غم ، فيما كانت معدلات الأوزان الجافة لمجاميعها الجذرية فكانت بين (12.4 - 16.0) غم ، في حين كانت معدلات المساحة السطحية لأوراقها بلغت بين (57.9 - 59.3) سم² ، ولم تظهر أية فروق معنوية بينها وبين معاملات عمر البذور بكتيريا *B. amyloliquefaciens* ، محلول الميلاتونين ، محلول الكيتوسان منفردة والملقحة بالفايروس ، التي كانت معدلات اطوال مجاميها الخضرية بلغت بين (56.7 - 59.7) سم ، ومعدلات اطوال مجاميها الجذرية بلغت بين (66.0 - 69.7) سم و معدلات الأوزان

الطرية لمجاميعها الخضرية بلغت بين (37.6 - 41.1) غم ، و كانت معدلات الأوزان الطيرية للمجاميع الجذرية بلغت بين (26.4 - 31.7) غم ، و معدلات أوزانها الجافة لمجاميعها الخضرية كانت بلغت بين (12.4 - 13.4) غم ، فيما كانت معدلات الأوزان الجافة لمجاميعها الجذرية فكانت بين (10.8 - 11.4) غم ، في حين كانت معدلات المساحة السطحية لأوراقها بلغت بين (52.8 - 55.7) س² ، وأن جميع المعاملات تفوقت معنويا على معاملتي المقارنة والمقارنة الملقة بالفايروس وكانت نتائج معايير النمو لمعاملة المقارنة والمتمثلة بمعدل طول مجموعها الخضري 47.7 سم ، معدل طول مجموعها الجذري 57.0 سم ، الوزن الطري لمجموعها الخضري 35.2 غم ، الوزن الطري لمجموعها الجذري 25.0 غم ، الوزن الجاف لمجموعها الخضري 9.6 غم ، الوزن الجاف لمجموعها الجذري 6.9 غم والمساحة السطحية لأوراقها 42.8 س² ، بينما اختلفت جميع المعاملات المذكورة أعلاه اختلافاً معنوياً عن معاملة المقارنة الملقة بالفايروس فقط Infected control ، التي كان معدل طول مجموعها الخضري 27.7 سم ، معدل طول مجموعها الجذري 34.3 سم ، الوزن الطري لمجموعها الخضري 16.4 غم ، الوزن الطري لمجموعها الجذري 11.7 غم ، الوزن الجاف لمجموعها الخضري 4.3 غم ، الوزن الجاف لمجموعها الجذري 3.0 غم والمساحة السطحية لأوراقها 16.1 س² .

جدول (4.5) فاعلية عمر بذور نبات الخيار ببكتيريا *B. amyloliquefaciens* ومحلول الميلاتونين والكيتوسان وتوليفاتها المزدوجة على معايير النمو الخضري والجذري.

تأثير المعاملة	مساحة الورقة (سم ²)		تأثير المعاملة	الوزن الجاف للمجموع الجذري (غم)		تأثير المعاملة	الوزن الجاف للمجموع خضري (غم)		تأثير المعاملة	الوزن الطري للمجموع الجذري (غم)		تأثير المعاملة	الوزن الطري للمجموع الخضري (غم)		تأثير المعاملة	طول المجموع الجذري (سم)		تأثير المعاملة	طوا المجموع الخضري (سم)		معايير النمو	ت	
	مصاب	سليم		مصاب	سليم		مصاب	سليم		مصاب	سليم		مصاب	سليم		مصاب	سليم		مصاب	سليم			
	29.5	16.1	42.8	5.0	3.0	6.9	7.0	4.3	9.6	18.4	11.7	25.03	25.8	16.4	35.2	45.7	34.3	57.0	37.7	27.7	47.7	Control	1
56.1	52.8	59.3	11.7	10.8	12.6	14.4	12.7	16.0	33.4	30.6	36.17	45.4	41.1	49.7	71.0	69.7	72.3	63.0	59.7	66.3	mel	2	
56.7	54.4	59.0	11.8	11.1	12.4	12.6	12.4	12.8	32.0	31.7	32.3	40.7	37.6	43.8	68.2	68.3	68.0	59.2	57.3	61.0	Ba	3	
56.8	55.7	57.9	12.1	11.4	12.7	14.2	13.4	15.0	29.1	26.4	31.8	44.5	40.7	48.3	67.9	66.0	69.7	61.2	56.7	65.7	chi	4	
77.8	76.0	79.5	16.2	16.0	16.3	19.8	18.6	21.0	39.0	37.37	40.57	52.9	48.2	57.6	76.9	72.0	81.7	72.5	65.3	79.7	Mel + Ba	5	
76.1	72.0	80.1	16.0	15.9	16.1	19.4	20.1	18.7	37.7	37.43	38.03	51.0	45.1	56.8	74.5	72.0	77.0	64.2	58.3	70.0	Mel + chi	6	
74.3	71.6	77.0	15.8	15.6	15.9	18.8	17.9	19.7	39.4	39.77	39	59.7	58.6	60.8	76.7	70.7	82.7	68.7	67.0	70.3	Ba +chi	7	
	56.9	65.1		12.0	13.3		14.2	16.1		30.71	34.7		41.1	50.3		64.7	72.6		56.00	65.81		تأثير الاصابة	
10.01			1.11			1.61			3.44			7.50			7.5			6.9			LSD 0.05 للاصابة		
18.74			2.08			3.02			6.44			14.03			14.06			12.9			LSD 0.05 للمعاملات		
26.50			2.94			4.27			9.11			19.84			19.8			18.3			LSD 0.05 للتداخل		

•Ba : *Bacillus amyloliquefaciens* , Mel : Melatonin , Chi : Chitosan (كل رقم يمثل معدل ثلث مكررات)

4.12.1.3 فاعلية عمر بذور نبات الخيار ببكتيريا *B. amyloliquefaciens* ومحلول الميلاتونين والكيتوسان وتوليفاتهما المزدوجة على أعداد وزن الثمار الكلي لمعدل ثلات جنيهات :

أظهرت النتائج عمر بذور نبات الخيار ببكتيريا *B. amyloliquefaciens* ومحلول الميلاتونين والكيتوسان وتوليفاتهما المزدوجة على أعداد وزن ثمار الخيار الموضحة في الجدول (4.6) أن أعلى عدد ثمار و وزن حاصل كان في معاملات التوليفات المزدوجة (بكتيريا *B. amyloliquefaciens* ومحلول الميلاتونين ، بكتيريا *B. amyloliquefaciens* ومحلول الكيتوسان ، محلول الكيتوسان ، محلول الميلاتونين والكيتوسان) غير الملقة حيث كان معدل أعداد الثمار لثلاث جنيهات يتراوح بين (4.0- 4.33) ثمرة ومعدل أوزانها يتراوح بين (0.401 - 0.408) كغم في حين كان معدل أعداد الثمار لمعاملات التوليفات المزدوجة (بكتيريا *B. amyloliquefaciens* ومحلول الميلاتونين ، بكتيريا *B. amyloliquefaciens* ومحلول الكيتوسان ، محلول الميلاتونين والكيتوسان) و الملقة بالفايروس يتراوح بين (3.33- 4.0) ثمرة ومعدل أوزانها يتراوح بين (0.338- 0.348) كغم .

بينما كان معدل أعداد ثمار المعاملات ببكتيريا *B. amyloliquefaciens* ، محلول الميلاتونين ، محلول الكيتوسان غير الملقة بالفايروس يتراوح بين (3.00 - 3.33) ثمرة ومعدل أوزانها يتراوح بين (0.293 - 0.319) كغم في حين كان معدل أعداد ثمار المعاملات (بكتيريا *B. amyloliquefaciens* ، محلول الميلاتونين ، محلول الكيتوسان) الملقة بالفايروس بلغت بين (2.67 - 3.0) ثمرة ومعدل أوزانها يتراوح بين (0.251 - 0.288) كغم . بينما كان معدل أعداد ثمار الخيار في معاملة المقارنة هو 2.67 ثمرة ومعدل أوزان ثمارها هي 0.251 كغم ، أما معاملة المقارنة الملقة بالفايروس Infected control فاعطت اقل عدد ، و وزن ثمار ، حيث كان معدل عدد ثمارها 1.33 و معدل أوزانها 0.135 كغم .

جدول (4.6) فاعلية عمر بذور نبات الخيار ببكتيريا *B. amyloliquefaciens* ومحولي الميلاتونين والكيتوسان وتوليفاتهما المزدوجة على عدد وزن الثمار الكلي لثلاث جنبات .

وزن الثمار (كغم)			عدد الثمار/نبات			الصفة المقاسة	ت
تأثير المعاملة	صباغ	سليم	تأثير المعاملة	صباغ	سليم	المعاملة	
0.580	0.406	0.753	2.00	1.33	2.67	Control	1
0.856	0.754	0.957	3.00	2.67	3.33	Mel	2
0.877	0.864	0.890	2.84	2.67	3.00	Ba	3
0.870	0.862	0.878	3.00	3.00	3.00	Chi	4
1.125	1.024	1.225	4.17	4.00	4.33	Mel + Ba	5
1.110	1.015	1.204	3.67	3.33	4.00	Mel + Chi	6
1.131	1.045	1.217	4.00	3.67	4.33	Chi +Ba	7
	0.853	1.018		2.95	3.52	تأثير الاصابة	
	0.017		0.728			LSD _{0.05} للإصابة	
	0.032		1.362			LSD _{0.05} للمعاملة	
	0.045		1.926			LSD _{0.05} للتدخل	

(كل رقم يمثل معدل ثلات مكررات)

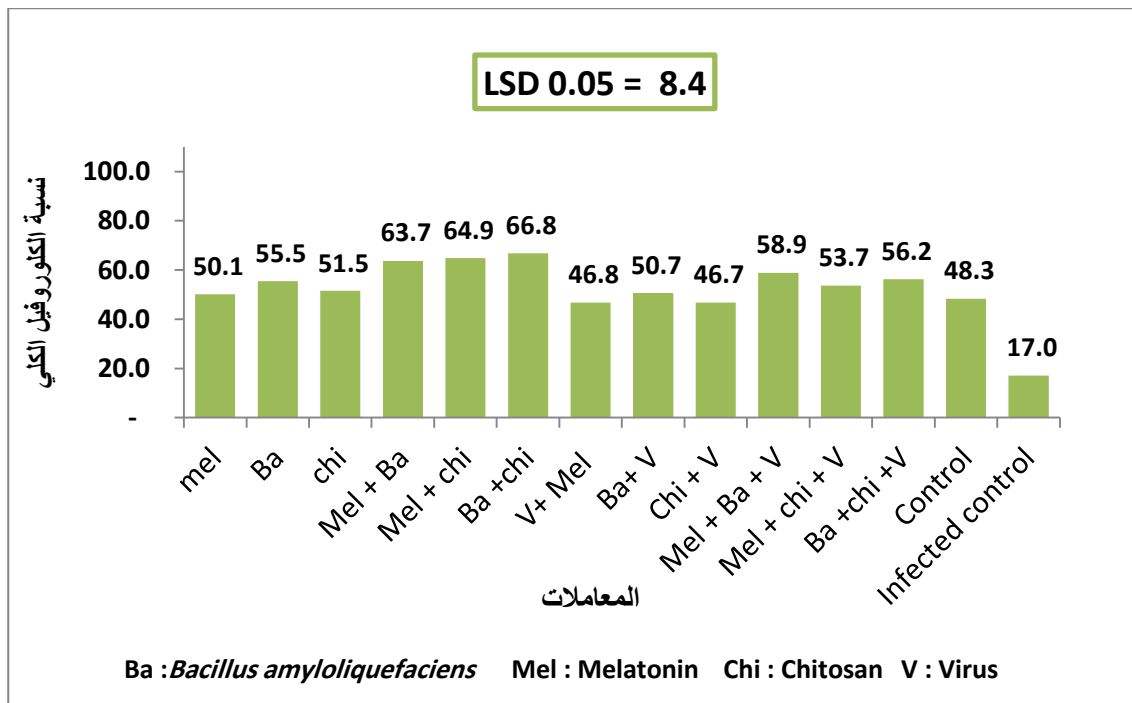
4.12.2 التغيرات الفسلجية :

4.12.2.1 فاعلية عمر بذور نبات الخيار ببكتيريا *B. amyloliquefaciens* ومحولي الميلاتونين والكيتوسان وتوليفاتهما المزدوجة على نسبة الكلورو فيل الكلي :

بيّنت نتائج فاعلية عمر بذور نبات الخيار ببكتيريا *B. amyloliquefaciens* ومحولي الميلاتونين والكيتوسان وتوليفاتهما المزدوجة على نسبة الكلورو فيل الكلي في الأوراق حيث أظهرت النتائج أن أعلى نسبة للكلورو فيل الكلي في أوراق نباتات الخيار المعاملة بالتوليفية المزدوجة (بكتيريا *B. amyloliquefaciens* ومحول الكيتوسان) ، وغير الملقحة بالفايروس بلغت 66.8 ملغم . 100 غم ¹⁻ وقد تشابهت معها معنوياً معاملات التوليفات المزدوجة غير الملقحة بالفايروس (بكتيريا *B. amyloliquefaciens* ومحول الميلاتونين ، محولي الميلاتونين

والكيتوسان) ، حيث بلغت نسبة الكلورو فيل الكلي فيها (63.7 ، 64.9) ملغم . 100 غم على التوالي . كما أن معاملات هذه التوليفات لم تظهر اختلافاً معنواً مع معاملات التوليفات المزدوجة (بكتيريا *B. amyloliquefaciens* و محلول الميلاتونين ، بكتيريا *B. amyloliquefaciens* ومحلول الكيتوسان) والملاحة بالفايروس ، حيث بلغت نسب الكلورو فيل الكلي في أوراقها (56.2 ، 58.9) ملغم . 100 غم على التوالي ، عدا معاملة التوليفية المزدوجة من محلولي الميلاتونين والكيتوسان والملاحة بالفايروس ، التي اختلفت معنواً عن معاملات التوليفات المزدوجة (بكتيريا *B. amyloliquefaciens* و محلول الميلاتونين ، محلولي الميلاتونين والكيتوسان) غير الملاحة بالفايروس ، ولم تختلف معنواً عن معاملات التوليفات المزدوجة (بكتيريا *B. amyloliquefaciens* و محلول الميلاتونين ، بكتيريا *B. amyloliquefaciens* ومحلول الكيتوسان) الملاحة بالفايروس حيث بلغت نسبة الكلورو فيل الكلي فيها 53.7 ملغم . 100 غم ، كما أن التوليفية (بكتيريا *B. amyloliquefaciens* و محلول الميلاتونين) تفوقت على معاملة المقارنة التي بلغت نسبة الكلورو فيل فيها 48.3 ملغم . 100 غم 1- بينما لم تختلف معنواً عن معاملات التوليفتين (بكتيريا *B. amyloliquefaciens* و محلول الكيتوسان ، محلولي الميلاتونين والكيتوسان) .

لقد كان لمعاملات التوليفات المزدوجة (بكتيريا *B. amyloliquefaciens* و محلول الميلاتونين ، بكتيريا *B. amyloliquefaciens* و محلول الكيتوسان ، محلولي الميلاتونين والكيتوسان) والملاحة بالفايروس تأثيراً معنواً أكثر من معاملات (بكتيريا *B. amyloliquefaciens* ، محلول الميلاتونين ، محلول الكيتوسان) المنفردة والملاحة بالفايروس حيث بلغت نسب الكلورو فيل في الأخيرة (46.7 ، 46.8 ، 50.7) ملغم . 100 غم 1- ، لم يكن هناك فروق معنوية بين المعاملات (بكتيريا *B. amyloliquefaciens* ، محلول الميلاتونين ، محلول الكيتوسان) المنفردة وغير الملاحة بالفايروس ، التي كانت نسب الكلورو فيل فيها (55.5 ، 49.1 ، 61.8) ملغم . 100 غم على التوالي . اختلفت جميع المعاملات الآنفة الذكر مع معاملة المقارنة الملاحة بالفايروس Infected control معنواً ، حيث بلغت نسبة الكلورو فيل الكلي فيها 17.0 ملغم . 100 غم 1- كما في الشكل (4.24) .



شكل (4.24) فاعلية عمر بذور نبات الخيار ببكتيريا *B. amyloliquefaciens* ومحولي الميلاتونين والكيتوسان وتوليفاته المزدوجة على نسبة الكلوروفيل الكلي (ملغم. 100 غم -¹)

4.12.2.2 فاعلية عمر بذور نبات الخيار ببكتيريا *B. amyloliquefaciens* ومحولي الميلاتونين والكيتوسان وتوليفاته المزدوجة على نسب العناصر الكبرى NPK في الأوراق :

اتضح أن تأثير عمر بذور نبات الخيار ببكتيريا *B. amyloliquefaciens* ومحولي الميلاتونين والكيتوسان وتوليفاته المزدوجة على نسب العناصر الكبرى NPK في الأوراق فقد ثبت أن أعلى نسب للعناصر الكبرى NPK كان في معاملات التوليفات المزدوجة (بكتيريا *B. amyloliquefaciens* ومحولي الميلاتونين ، بكتيريا *B. amyloliquefaciens* الكيتوسان ، محولي الميلاتونين والكيتوسان) وغير الملقحة بالفايروس ، حيث كانت معدلات نسب النتروجين Nitrogen المئوية بلغت بين (3.2 - 3.5 %) ومعدلات نسب الفسفور Phosphorous المئوية بلغت بين (0.51 - 0.57 %) أما معدلات نسب البوتاسيوم Potassium المئوية فكانت بلغت (2.99 - 3.96 %) ولم تختلف عنها معنوياً معاملات التوليفات المزدوجة نفسها والملقحة بالفايروس ، حيث كانت معدلات النسب المئوية للنتروجين بلغت بين (0.45 - 0.55 %) ومعدلات النسب المئوية للفسفور بلغت بين (2.69 - 3.11 %) ، أما معدلات النسب المئوية للبوتاسيوم فكانت بلغت بين (2.69 - 3.11 %) .

أما نتائج المعاملات (بكتيريا *B. amylolyquefaciens* ، محلول الميلاتونين ، محلول الكيتوسان) منفردة وغير الملقة بالفايروس فكانت معدلات النسب المئوية للنتروجين N بلغت بين (2.1% - 3.1%) ومعدلات النسب المئوية للفسفر P بلغت بين (0.47% - 0.53%) ومعدلات النسب المئوية للبوتاسيوم K بلغت بين (2.11% - 2.31%) لم تختلف معنويا عن المعاملات (بكتيريا *B. amylolyquefaciens* ، محلول الميلاتونين ، محلول الكيتوسان) منفردة والملقة بالفايروس، حيث كانت معدلات النسب المئوية للنتروجين N بلغت بين (2.0% - 2.6%) ومعدلات النسب المئوية للفسفر P بلغت بين (0.45% - 0.55%) ومعدلات النسب المئوية للبوتاسيوم K بلغت بين (2.20% - 2.39%) وقد تشابهت معاملة المقارنة مع بقية المعاملات ، و كان معدل النسبة المئوية للنتروجين N 2.4% ومعدل النسبة المئوية للفسفر P 0.54% ومعدل النسبة المئوية للبوتاسيوم K 2.15%. في حين لم تختلف معاملة المقارنة الملقة بالفايروس Infected control عن معاملة المقارنة ، حيث بلغ معدل النسبة المئوية للفسفر P 0.54% الا أنها اختلفت معنويا مع المعاملات جميعها في النسب المئوية لعنصري النتروجين والبوتاسيوم حيث بلغت 1.6% ، 0.87% على التوالي كما في الجدول (4.7).

جدول (4.7) فاعلية عمر بذور نبات الخيار ببكتيريا *B. amylolyquefaciens* ومحلوبي الميلاتونين والكيتوسان وتوليفاتهما المزدوجة على نسب العناصر الكبرى NPK في الأوراق.

العنصر	ت	%								
		K			P			N		
تأثير المعاملة	صب مصاب	سليم	تأثير المعاملة	صب مصاب	سليم	تأثير المعاملة	صب مصاب	سليم	المعاملة	
1.51	0.87	2.15	0.54	0.54	0.54	2.0	1.6	2.4	Control	1
2.29	2.26	2.31	0.54	0.55	0.53	2.1	2.0	2.1	Mel	2
2.22	2.20	2.23	0.48	0.45	0.51	2.9	2.6	3.1	Ba	3
2.25	2.39	2.11	0.51	0.54	0.47	2.9	2.6	3.1	Chi	4
3.49	3.02	3.96	0.56	0.55	0.57	3.1	2.9	3.2	Mel + Ba	5
2.84	2.69	2.99	0.49	0.47	0.51	3.1	2.7	3.5	Mel + Chi	6
3.27	3.11	3.43	0.49	0.45	0.53	3.0	2.7	3.3	Chi +Ba	7
	2.36	2.74		0.51	0.52		2.4	3.0	تأثير الاصابة	
	0.5		0.03			0.3			LSD 0.05 للاصابة	
	1.1		0.06			0.5			LSD 0.05 للمعاملة	
	1.5		0.08			0.7			LSD 0.05 للتدخل	

Ba : *Bacillus amylolyquefaciens* , Mel : Melatonin , Chi : Chitosan , N :Nitrogen , P: Phosphorous , K: Potassium (كل رقم يمثل معدل ثلث مكررات).

قد يعود سبب الخفض في ضراوة المرض إلى أن العوامل المستخدمة في هذه الدراسة قد أثرت على استجابات دفاع النبات ، حيث غير الميلاتونين استجابات دفاع النبات عن طريق إطلاق العديد من المسارات الأيضية المفيدة (Chakraborty وآخرون ، 2020) كما أن استعماله على النبات يزيد من المقاومة النباتية للاصابة الفايروسيّة ، حيث يؤدي إلى زيادة معنوية في إنزيمات مضادات الأكسدة ، والتعبير الجيني لبعض الإنزيمات مقارنة مع النباتات الملقحة بالفايروس كما يقلل الميلاتونين من الضرر التأكسدي الناجم عن *Alfalfa mosaic virus* (AMV) لزيادة مقاومة البازنجان من خلال تقليل بيروكسيد الهيدروجين وأنيونات الاوكسید الفائق وجذور الهيدروكسيل وMalondialdehyde (Sofy وآخرون ، 2021).

قد يؤثر الميلاتونين على زيادة أعداد وأوزان الثمار ومن ثم زيادة الانتاج ، وذلك لأن تأثيره أقرب إلى عمل Auxin على صفات الثمار (Abd El-Naby Auxin وآخرون ، 2019 ، SKM وآخرون ، 2020) حيث أنه يشارك في الازهار ويحسن من غلة المحاصيل وأيضاً تحسين جودة

الثمار مثل حجم الثمرة (القطر والوزن) ، واللون ، وإجمالي المواد الصلبة الذائبة ، و الحموضة الكلية بالإضافة إلى زيادة في محتوى السكريات الرئيسية (الجلوكوز والفركتوز) والأحماض العضوية (ascorbic acid ، succinic acid ، malic acid) تشير الابحاث إلى أن المعاملة بالميلاتونين قبل الحصاد يحافظ على الثمار في أثناء التخزين بسبب تأثيره على تقليل عملية النضج بعد الحصاد. (Medina-Santamarina وآخرون ، 2020 ؛ Wang وآخرون ، 2021) ، أما خفض الضراوة الفايروسية الناتج عن البكتيريا *B. amyloliquefaciens* التي تعد أحد أنواع البكتيريا المعززة لنمو النبات (PGPB) قد يكون بسبب قدرتها على إنتاج مركبات عضوية متطابقة وكذلك انتاجها حامض الحديديك والهرمونات النباتية مثل الجبرلينات وحامض السالسالك salicylic acid وحامض الإبسيسيك Abscisic acid وحامض الجاسمونك jasmonic acid ، وكذلك المركبات المضادة للمسببات المرضية . علاوة على ذلك ، تنتج مجموعة من الإنزيمات المختلفة مثل cellulase ، lipase ، protease ، α -amylase ، laccase ، peroxidase ، barnase ، aminotransferase ، pectinase ، xylanase وأيضاً تنتج السكريات (مثل الجلوكوز والسكروز واللاكتوز والمانيتول) وهذه المنتجات لها أدوار مهمة في عملية استئثار المقاومة النباتية ضد المرضيات وتعزيز نمو النبات (Kim وآخرون ، 2017 ؛ Wu وآخرون 2019 ؛ Qian وآخرون 2020 ؛ Ngalimat وآخرون 2021) . كما أنها تزيد من محتوى السكر الكلي الذائب وجاهزية المغذيات للنبات مثل انتاجها الحديد وتساعد على تحسين أيض الكاربوهيدرات ومن ثم زيادة في كمية الانتاج ونوعيته (El-Dougoug Bisht وآخرون ، 2020 ؛ Ngalimat وآخرون 2021).

في حين تحفز معاملة النبات بالكيتوسان معدل التمثيل الضوئي ومحنوي الكلوروفيل ، وإغلاق الثغور كما أنه يعزز الإنزيمات المضادة للأكسدة ويحدث على إنتاج الأحماض العضوية والسكريات والأحماض الأمينية (Hidangmayum وآخرون ، 2019 ؛ Kocięcka و Subhan ، 2021 ، 2021) . كما لوحظ انخفاض كبير في تراكم موزائيك الخيار في النباتات المعاملة به كما له تأثير ايجابي على ديناميكيات تبادل الغازات وأيضاً من خلال تحليل التعبير الجيني وجد أنه يحدث استجابات مرتبطة بالمقاومة الجهازية المرتبطة بإعادة تعديل حالة الأكسدة في النبات. بالإضافة إلى ذلك ، عند تطبيقه بشكل وقائي ، قادر على إثارة استجابات دفاعية في الطماطم للسيطرة على عدو فايروس موزائيك الخيار، كما سبب انخفاض كبير في تراكم الفايروس في النباتات المعاملة به (Rendina وآخرون ، 2019 ؛ Sofy وآخرون ، 2020). وكذلك يعمل كمنظم نمو، له القدرة على تحفيز انتاجية النبات Reyes-Pérez) (Cerana و Malerba ، 2020 ، 2020) ، كما أنه يزيد من عدد الازهار وأوزان الثمار حيث يحسن الصفات المورفولوجية والفالسلجية ، مما يؤدي إلى زيادة في

عدد الازهار، ومن ثمّ زيادة في الحاصل حيث أنها تعمل كمنظم نمو Salachna و Zawadzińska و Reyes-Pérez ، 2014 ، وآخرون ، 2020 .

سبب الزيادة في معايير النمو يرجع إلى استعمال العوامل الثلاثة المذكورة بشكل مفرد والفعل المشترك للتوليفات المزدوجة ، حيث أن استعمال الميلاتونين يؤدي إلى زيادة معنوية في المعايير المورفولوجية (الفروع ، طول الجذر ، عدد الأوراق ، مساحة الأوراق ، والكتلة الاحيائية للأوراق) Sofy و آخرون ، 2021). كما أنه يحفز النمو في السيقان ، وكذلك يحفز تكوين الجذور وكذلك انبات البذور كما له القدرة على تأخير الشيخوخة ، وأيضا يتصرف الميلاتونين بطريقة مشابهة لهرمون الأوكسجين ، حيث تربط الاستجابات الفسيولوجية التي ينتجها الميلاتونين مع عمل الأوكسجين ، مثل تعزيز نشاط النمو والتجذير. (Hernández-Ruiz و Arnao ، 2015 و Hernández-Ruiz Arnao ، 2019). كما يساهم الكيتوسان في تحسين معايير نمو النبات المذكورة آنفا، بالإضافة إلى ذلك ، فهو يؤدي إلى مقاومة ممتازة للجفاف والملوحة ودرجات الحرارة المنخفضة (Subhan ، 2021 ، Liberacki و Kocięcka ، 2021 ، وآخرون ، 2021) .

ان استعمال الميلاتونين والكيتوسان ، وكذلك البكتيريا يزيد من معدل التمثيل الضوئي ومن ثمّ زيادة في محتوى الكلورو菲ل والكاروتينويد مقارنة بالنباتات الملقة بالفايروس ، كما يمكن أن يرجع التأثير إلى التقليل من الضرر التأكسدي الناجم عن الاصابة الفايروسية من خلال تقليل بيروكسيد الهيدروجين كما أن البكتيريا تزيد من الكلورو菲ل من خلال الزيادة في ثلاثة بروتينات في مسار التمثيل الضوئي Sofy و آخرون ، 2021 ، Subhan ، 2021 ، Nan ، 2021 ، وآخرون ، 2021) .

قد يكون السبب وراء الزيادة الحاصلة للعناصر الغذائية في المعاملات هو أنها تجهز النباتات بالعناصر الكبرى ، والصغرى من خلال تحسينها لصفات الجذور ومن ثمّ تسهيل عملية امتصاص المغذيات من قبل النباتات ، حيث أنها لها القدرة على اذابة الفوسفات وجاهزية عنصر النتروجين ، وقد تنتج أيضاً الحديد بالإضافة إلى تحسين خصائص التربة الجذرية (إنتاج Indole Acetic Acid (IAA) ، التنفس الميكروبي ، الكتلة الاحيائية الميكروبوبية) ، ومحتوى المغذيات (البوتاسيوم ، الفوسفور ، الحديد ، المنغنيز) . كما أنها تحسن الإطلاق البطيء للمغذيات Shahrajabian و Ngalimat و آخرون ، 2021 (2021).

4.13. فاعلية سقي نباتات الخيار ببكتيريا *B. amyloliquefaciens* ومحلولي

الميلاتونين والكيتوسان وتوليفاتها المزدوجة ضد الاصابة الفايروسيه :

4.13.1. التغيرات الظاهرية :

4.13.1.1. فاعلية سقي نباتات الخيار ببكتيريا *B. amyloliquefaciens* ومحلولي

الميلاتونين والكيتوسان وتوليفاتها المزدوجة في خفض نسبة وشدة الاصابة الفايروسيه :

أظهرت النتائج أن معاملات سقي نباتات الخيار ببكتيريا *B. amyloliquefaciens*

ومحلولي الميلاتونين والكيتوسان وتوليفاتها المزدوجة خفضاً معنوياً في نسبة الاصابة الفايروسيه

وشتتها ، فقد اتضح من النتائج أن سقي النباتات بالتليفات المزدوجة (بكتيريا *B.*

amyloliquefaciens ومحلول الميلاتونين ، بكتيريا *B. amyloliquefaciens* ومحلول

الكيتوسان ، محلول الميلاتونين والكيتوسان) الملقحة بالفايروس اعطت اقل نسبة وشدة اصابة من

استخدام المعاملات المذكورة منفردة فقد تفوقت التليفة (بكتيريا *B. amyloliquefaciens*

ومحلول الميلاتونين) في خفض نسبة الاصابة وشتتها ، فقد تراوحت معدلات نسبة الاصابة بين (

15.38 - 18.18 %) وشدة الاصابة تراوحت بين (3.3 - 6.2 %) ، بينما كانت نتائج

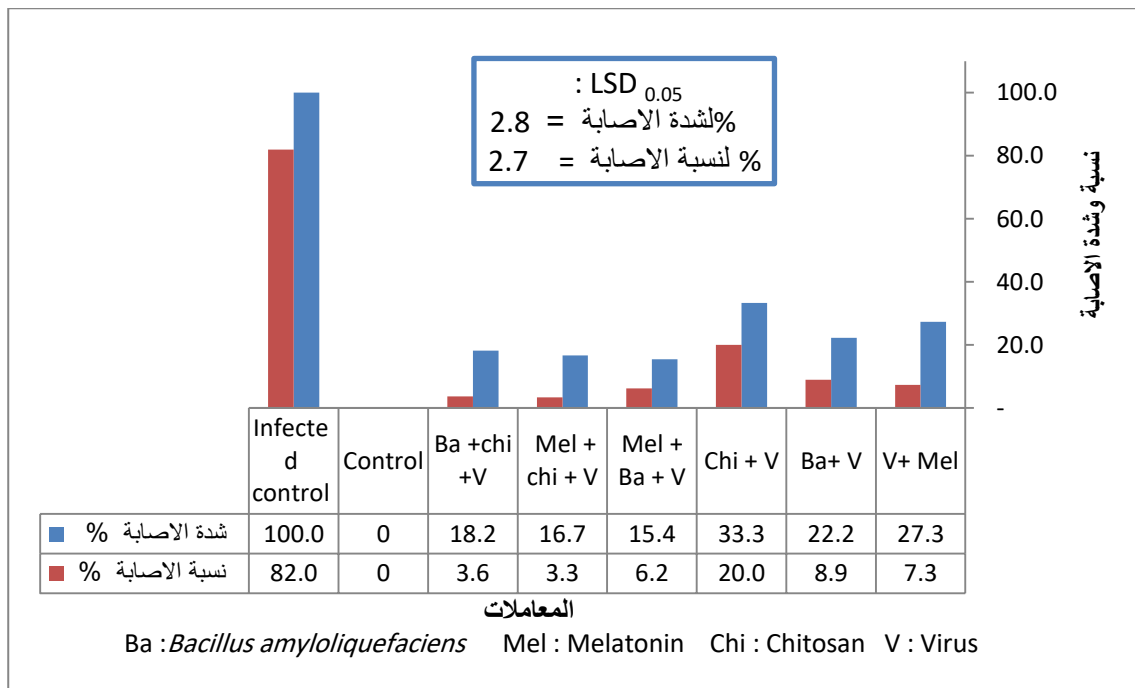
السقي بالمعاملات (بكتيريا *B. amyloliquefaciens* ، محلول الميلاتونين ، محلول الكيتوسان)

منفردة على نسبة الاصابة وشتتها منخفضة معنوياً حيث تراوح معدل نسبة الاصابة ما بين (

22.2 - 33.3 %) بينما تراوح معدل شدة الاصابة بين (7.3 - 20.0 %) مقارنة بمعاملة

المقارنة الملقحة بالفايروس Infected control ، التي بلغت نسبة الاصابة فيها 100% وشدة

اصابة 83.00 %. كما في شكل (4.25)



شكل (4.25) فاعلية سقي نباتات الخيار ببكتيريا *B. amyloliquefaciens* ومحولي الميلاتونين والكيتوسان وتوليفاتهما المزدوجة في خفض نسبة وشدة الاصابة الفايروسيه.

4.13.1.2 فاعلية سقي نباتات الخيار ببكتيريا *B. amyloliquefaciens* ومحولي الميلاتونين والكيتوسان وتوليفاتهما المزدوجة على معايير النمو الجذري والخضري :

حققت معاملات سقي نباتات الخيار ببكتيريا *B. amyloliquefaciens* ومحولي الميلاتونين والكيتوسان وتوليفاتهما المزدوجة معايير النمو الجذري ، والخضري والمتمثلة بأطوال المجموعين الجذري ، والخضري ، وأوزانهما الطرية ، والجافة ، والمساحة السطحية للأوراق زيادة معنوية كما موضح في جدول (4.8) ، فقد تفوقت معاملات التوليفات المزدوجة (بكتيريا *B. amyloliquefaciens* ومحول الميلاتونين ، بكتيريا *B. amyloliquefaciens* ومحول الكيتوسان ، محلول الميلاتونين والكيتوسان) وغير الملقحة بالفايروس على بقية المعاملات ، التي تراوحت معدلات أطوال المجاميع الخضرية فيها بين (87.0 - 103.3) سم ومعدلات أطوال المجاميع الجذرية بين (87.3 - 97.3) سم أما معدلات الأوزان الطرية للمجاميع الخضرية فكانت بين (53.5 - 67.67) غم ومعدلات الأوزان الطرية للمجاميع الجذرية فتراوحت بين (56.1 - 70.0) غم ، فيما تراوحت معدلات الأوزان الجافة للمجاميع الخضرية بين (19.4 - 22.7) غم ومعدلات الأوزان الجافة للمجاميع الجذرية بين (15.4 - 18.0) غم ، أما معدلات المساحة السطحية للأوراق فقد تراوحت بين (85.0 - 95.9) سم².

في حين تشابهت معاملات التوليفات المزدوجة (بكتيريا *B. amyloliquefaciens* ومحول الميلاتونين ، بكتيريا *B. amyloliquefaciens* ومحولي الكيتوسان ، محلول

الميلاتونين والكيتوسان) والملقحة بالفايروس معنويًا مع التوليفات المزدوجة غير الملقة ، حيث كانت معدلات أطوال مجاميها الخضرية بلغت بين (80.3 – 93.0) سم ، وأطوال مجاميها الجذرية بلغت بين (82.7 – 94.0) سم ، ومعدلات الأوزان الطيرية لمجاميعها الخضرية بين (44.2 – 47.7) غم و تراوحت معدلات الأوزان الطيرية للمجاميع الجذرية بلغت بين (56.9 – 58.1) غم ، ومعدلات أوزانها الجافة لمجاميعها الخضرية كانت بلغت بين (17.8 – 18.3) غم فيما كانت معدلات الأوزان الجافة لمجاميعها الجذرية بين (14.1 - 17.3) غم في حين كانت معدلات المساحة السطحية لأوراقها بلغت بين (74.7 - 81.3) سم² .

أما نتائج معاملات السقي (بكتيريا *B. amyloliquefaciens* ، محلول الميلاتونين ، محلول الكيتوسان) منفردة وغير الملقة ، التي كانت معدلات أطوال مجاميها الخضرية بلغت بين (72.7.0 – 74.3) سم ، ومعدلات أطوال مجاميها الجذرية بلغت بين (73.3 – 78.7) سم ، ومعدلات الأوزان الطيرية لمجاميعها الخضرية بلغت بين (45.4 – 47.9) غم ، وكانت معدلات الأوزان الطيرية للمجاميع الجذرية بلغت بين (37.3 – 39.6) غم و معدلات أوزانها الجافة لمجاميعها الخضرية تراوحت بين (16.9 – 18.0) غم بينما كانت معدلات الأوزان الجافة لمجاميعها الجذرية ما بين (11.8 - 12.6) غم في حين كانت معدلات المساحة السطحية لأوراقها بلغت بين (64.6 - 76.2) سم² ، ولم تظهر أي فروق معنوية بينها وبين معاملات السقي (بكتيريا *B. amyloliquefaciens* ، محلول الكيتوسان) منفردة والملقحة بالفايروس ، التي كانت معدلات أطوال مجاميها الخضرية بلغت بين (67.7 – 76.0) سم ، ومعدلات أطوال مجاميها الجذرية بلغت بين (69.7 – 75.0) سم ، ومعدلات الأوزان الطيرية لمجاميعها الخضرية بلغت بين (40.2 – 42.3) غم ، وكانت معدلات الأوزان الطيرية للمجاميع الجذرية بلغت بين (35.5 – 36.8) غم و معدلات أوزانها الجافة لمجاميعها الخضرية تراوحت بين (13.5 – 16.0) غم فيما كانت معدلات الأوزان الجافة لمجاميعها الجذرية بين (10.8 - 11.4) غم في حين كانت معدلات المساحة السطحية لأوراقها بلغت بين (60.8 - 70.8) سم² . إن جميع المعاملات تفوقت معنويًا على معاملتي المقارنة ، والمقارنة الملقة بالفايروس Infected control كانت نتائج معايير النمو لمعاملة المقارنة ، والمتمثلة بمعدل طول مجموعها الخضري 52.3 سم ، و معدل طول مجموعها الجذري 64.7 سم ، الوزن الطيري لمجموعها الخضري 35.5 غم ، الوزن الطيري لمجموعها الجذري 34.4 غم ، الوزن الجاف لمجموعها الخضري 11.7 غم ، الوزن الجاف لمجموعها الجذري 8.9 غم والمساحة السطحية لأوراقها 64.9 سم²

واختلفت جميع المعاملات المذكورة أعلاه اختلافاً معنويًا عن معاملة المقارنة المقارة
بالفايروس فقط Infected control ، التي كان معدل طول مجموعها الخضري 27.7 سم ،
معدل طول مجموعها الجذري 34.3 سم ، الوزن الطري لمجموعها الخضري 16.4 غم ، الوزن
الطري لمجموعها الجذري 11.7 غم ، الوزن الجاف لمجموعها الخضري 4.3 غم ، الوزن
الجاف لمجموعها الجذري 3.0 غم والمساحة السطحية لأوراقها 16.1 سم² .

جدول (4.8) فاعلية سقي نباتات الخيار ببكتيريا *B. amyloliquefaciens* ومحلول الميلاتونين والكيتوسان وتوليفاتها المزدوجة معايير النمو الجذري والخضري.

تأثير المعاملة	مساحة الورقة (سم ²)		تأثير المعاملة	الوزن الجاف للمجموع الجذري (غم)		تأثير المعاملة	الوزن الجاف للمجموع خضري (غم)		تأثير المعاملة	الوزن الطري للمجموع الجذري (غم)		تأثير المعاملة	الوزن الطري للمجموع الخضري (غم)		تأثير المعاملة	طول المجموع الجذري (سم)		تأثير المعاملة	طوا المجموع الخضري (سم)		معايير النمو	ت
	مصاب	سليم		مصاب	سليم		مصاب	سليم		مصاب	سليم		مصاب	سليم		مصاب	سليم		مصاب	سليم		
40.5	16.1	64.9	6.0	3.0	8.9	8.0	4.3	11.7	21.6	8.7	34.4	24.5	13.4	35.5	52.0	39.3	64.7	40	27.7	52.3	Control	1
73.5	70.8	76.2	11.9	11.2	12.6	16.6	16.0	17.2	38.1	36.5	39.6	43.0	40.2	45.77	76.9	75.0	78.7	71	69.3	72.7	mel	2
69.8	68.6	71.0	11.9	11.4	12.3	15.6	14.3	16.9	37.1	36.8	37.3	45.1	42.3	47.87	75.7	73.7	77.7	71	67.7	74.3	Ba	3
66.1	60.8	64.6	11.3	10.8	11.8	15.8	13.5	18.0	36.9	35.5	38.3	43.5	41.6	45.43	71.5	69.7	73.3	74.5	76.0	73.0	chi	4
62.4	74.7	95.9	17.3	16.6	17.9	20.5	18.3	22.7	64.1	58.1	70.0	62.3	56.9	67.67	95.7	94.0	97.3	98.15	93.0	103.3	Mel + Ba	5
58.7	75.6	88.9	17.7	17.3	18.0	19.2	18.0	20.3	56.6	52.4	60.8	57.1	49.0	65.23	85.0	82.7	87.3	85.35	83.7	87.0	Mel + chi	6
55.0	81.3	85.0	14.8	14.1	15.4	18.6	17.8	19.4	50.2	44.2	56.1	50.6	47.7	53.53	89.5	86.3	92.7	84.15	80.3	88.0	Ba +chi	7
	58.3	63.4		12.1	13.8		14.6	18.0		38.9	48.1		41.6	51.6		74.4	81.7		71.1	78.7	تأثير الاصابة	
17.1			2.6			1.8			7.47			8.33			7.76			9.14			LSD 0.05 للاصابة	
32.0			1.8			3.4			13.98			15.59			14.53			17.09			LSD 0.05 للمعاملات	
45.2			2.6			4.8			19.76			22.04			20.54			24.17			LSD 0.05 للتدخل	

•Ba : *Bacillus amyloliquefaciens* , Mel : Melatonin , Chi : Chitosan . (كل رقم يمثل معدل ثلات مكررات)

4.13.1.3 فاعلية سقي نباتات الخيار ببكتيريا *B. amyloliquefaciens* ومحولي الميلاتونين والكيتوسان وتوليفاتهما المزدوجة على أعداد وزن الثمار الكلي :

أظهرت النتائج أن سقي نباتات الخيار ببكتيريا *B. amyloliquefaciens* ومحولي الميلاتونين والكيتوسان وتوليفاتهما المزدوجة على أعداد وزن الثمار الكلي لنبات الخيار الموضحة في الجدول (4.9) ، إن أعلى عدد ثمار ، وزن حاصل كان في معاملات التوليفات المزدوجة (بكتيريا *B. amyloliquefaciens* ، محول الميلاتونين ، بكتيريا *B. amyloliquefaciens* ومحول الكيتوسان ، محلولي الميلاتونين والكيتوسان) غير الملقحة بالفايروس حيث كان معدل أعداد الثمار لثلاث جنيات يتراوح بين (4.00 - 4.67) ومعدل أوزانها يتراوح بين (0.342 - 0.410) كغم في حين كان معدل أعداد الثمار لمعاملات التوليفات المزدوجة (بكتيريا *B. amyloliquefaciens* ، محول الميلاتونين ، بكتيريا *B. amyloliquefaciens* ومحول الكيتوسان ، محلولي الميلاتونين والكيتوسان) و الملقحة بالفايروس يتراوح بين (4.00 - 4.33) ومعدل أوزانها يتراوح بين (0.382 - 0.392) كغم . بينما كان معدل أعداد ثمار المعاملات (بكتيريا *B. amyloliquefaciens* ، محلول الميلاتونين ، محلول الكيتوسان) المفردة وغير الملقحة بالفايروس يتراوح بين (2.67 - 3.00) ومعدل أوزانها يتراوح بين (0.265 - 0.298) كغم في حين كان معدل أعداد ثمار المعاملات (بكتيريا *B. amyloliquefaciens* ، محلول الميلاتونين ، محلول الكيتوسان) الملقحة بالفايروس بلغت بين (3.00 - 3.33) ومعدل أوزانها يتراوح بين (0.280 - 0.300) كغم . بينما كان معدل أعداد ثمار الخيار في معاملة المقارنة هو 2.67 ومعدل أوزان ثمارها هي 0.264 كغم ، أما معاملة المقارنة الملقحة بالفايروس Infected control فاعطت أقل عدد و وزن ثمار حيث كان معدل عدد ثمارها 1.33 و مجموع أوزانها 0.135 كغم .

جدول (4.9) فاعلية سقى نباتات الخيار ببكتيريا *B. amyloliquefaciens* ومحولى الميلاتونين والكيتوسان وتوليفاتهما المزدوجة على عدد وزن الثمار الكلي لثلاث جنیات .

تأثير المعاملة	وزن الثمار (كغم)		عدد الثمار / نبات			الصفة المقاسة	ت
	صباغ	سليم	تأثير المعاملة	صباغ	سليم		
0.599	0.406	0.791	6	4	8	Control	1
0.860	0.840	0.879	9	9	9	Mel	2
0.896	0.899	0.893	10	10	9	Ba	3
0.846	0.897	0.795	9	9	8	Chi	4
1.203	1.176	1.230	14	13	14	Mel + Ba	5
1.149	1.155	1.143	12	12	12	Mel + Chi	6
1.086	1.145	1.026	13	12	13	Chi +Ba	7
	0.931	0.965		10	10	تأثير الاصابة	
	0.03		1.4			LSD _{0.05} للاصابة	
	0.05		2.6			LSD _{0.05} للمعاملة	
	0.08		3.7			LSD _{0.05} للتدخل	

Ba : *Bacillus amyloliquefaciens* , Mel : Melatonin , Chi : Chitosan , N : Nitrogen

(كل رقم يمثل معدل ثلاث مكررات) .

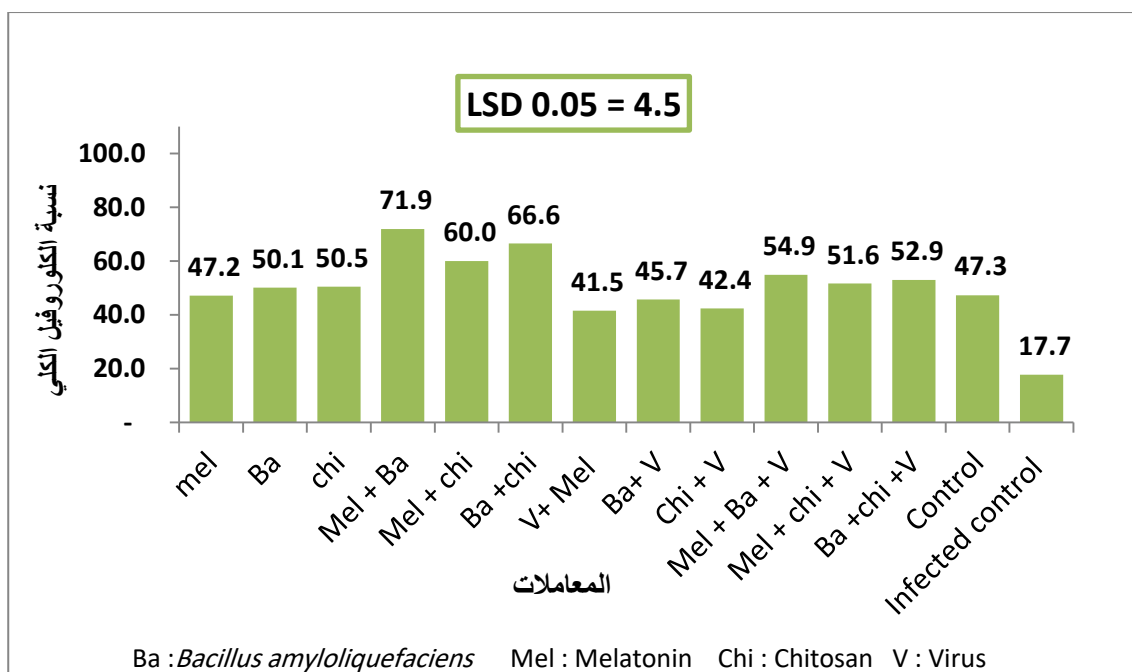
4.13.2 التغيرات الفسلجية :

4.13.2.1 فاعلية سقى نباتات الخيار باستعمال بكتيريا *B. amyloliquefaciens* ومحولى الميلاتونين والكيتوسان وتوليفاتهما المزدوجة على نسبة الكلوروفيل الكلي :

بيّنت نتائج فاعلية سقى نباتات الخيار ببكتيريا *B. amyloliquefaciens* ومحولى الميلاتونين والكيتوسان وتوليفاتهما المزدوجة على نسبة الكلوروفيل الكلي في الأوراق ، حيث أظهرت النتائج أن أعلى نسبة للكلوروفيل الكلي في أوراق نباتات الخيار المعاملة بالتوليفات المزدوجة (بكتيريا *B. amyloliquefaciens* ، محلول الميلاتونين) هي التي بلغت معدلات نسب الكلوروفيل الكلي فيها (71.9 ، 66.6 ، 60.0) ملغم . 100 غم ¹⁻ على التوالي

تلتها معاملات التوليفات المزدوجة والمعاملة (بكتيريا *B. amyloliquefaciens* ومحول الميلاتونين ، بكتيريا *B. amyloliquefaciens* ومحول الكيتوسان ، محلولي الميلاتونين والكيتوسان) والملقحة بالفايروس ، التي بلغت نسب الكلوروفيل الكلي في أوراقها 54.9 ، 52.9 ، 51.6 ملغم . 100 غم على التوالي .

بينما كانت نسب الكلوروفيل معاملات (بكتيريا *B. amyloliquefaciens* ، محلول الميلاتونين ، محلول الكيتوسان) منفردة وغير الملقة باللقاء الفايروليسي (50.1 ، 47.2 ، 50.5) ملغم . 100 غم 1- ، لم يكن هناك فروق معنوية بين المعاملات (بكتيريا *B. amyloliquefaciens* ، محلول الميلاتونين ، محلول الكيتوسان) منفردة وغير الملقة بالفايروس ومعاملات (بكتيريا *B. amyloliquefaciens* ، محلول الميلاتونين ، محلول الكيتوسان) منفردة والملقحة بالفايروس التي كانت نسب الكلوروفيل فيها (45.7 ، 41.5 ، 42.4) ملغم . 100 غم 1- على التوالي . في حين بلغت نسبة الكلوروفيل في معاملة المقارنة 47.3 ملغم . 100 غم 1- اختلفت جميع المعاملات الانفة الذكر مع معاملة المقارنة الملقة بالفايروس Infected control معنويًا حيث بلغت نسبة الكلوروفيل الكلي فيها 17.7 ملغم . 100 غم 1- كما في الشكل (4.26) .



شكل (4.26) فاعلية سقي نباتات الخيار ببكتيريا *B. amyloliquefaciens* ومحولي الميلاتونين والكيتوسان وتوليفاته المزدوجة على نسبة الكلوروفيل الكلي في الأوراق .

4.13.2.2 فاعلية سقي نباتات الخيار ببكتيريا *B. amyloliquefaciens* و محلول الميلاتونين والكيتوسان وتوليفاتها المزدوجة على نسب العناصر الكبرى NPK في الأوراق :

انضم من نتائج في جدول (4.10) إن سقي نباتات الخيار ببكتيريا *B. amyloliquefaciens* و محلول الميلاتونين والكيتوسان وتوليفاتها المزدوجة لنسب العناصر الكبرى NPK في الأوراق فقد تبين أن أعلى نسب مؤية للعناصر الكبرى NPK كان في معاملات التوليفات المزدوجة (بكتيريا *B. amyloliquefaciens* و محلول الميلاتونين ، بكتيريا *B. amyloliquefaciens* و محلول الكيتوسان ، محلول الميلاتونين والكيتوسان) وغير الملقة بالفايروس ، حيث كانت معدلات نسب النتروجين Nitrogen المئوية بلغت بين (3.13 % - 3.23 %) ومعدلات نسب الفسفور Phosphorous المئوية بلغت بين (0.42 % - 0.56 %) أما معدلات نسب البوتاسيوم Potassium المئوية فكانت بلغت (2.64 % - 3.07 %) ولم تختلف عنها معنوياً معاملات التوليفات المزدوجة نفسها ، والملقة بالفايروس ، حيث كانت معدلات النسب المئوية للنتروجين بلغت بين (2.0 % - 3.32 %) ومعدلات النسب المئوية للفسفور بلغت بين (0.41 % - 0.51 %) أما معدلات النسب المئوية للبوتاسيوم فكانت بلغت بين (2.28 % - 3.0 %) .

أما نتائج المعاملات (بكتيريا *B. amyloliquefaciens* ، محلول الميلاتونين ، محلول الكيتوسان) منفردة وغير ملقة فكانت معدلات النسب المئوية للنتروجين N بلغت بين (0.38 % - 0.40 %) ، ومعدلات النسب المئوية للفسفور P بلغت بين (0.36 % - 0.37 %) ومعدلات النسب المئوية للبوتاسيوم K بلغت بين (2.01 % - 2.31 %) لم تختلف معنوياً عن المعاملات (بكتيريا *B. amyloliquefaciens* ، محلول الميلاتونين ، محلول الكيتوسان) منفردة والملقة بالفايروس ، حيث كانت معدلات النسب المئوية للنتروجين N بلغت بين (2.07 % - 2.14 %) أما معاملة المقارنة مع بقية المعاملات كانت معدل النسبة المئوية لعنصر النتروجين N 2.30 % ، ومعدل النسبة المئوية لعنصر الفسفور P 0.47 % ومعدل النسبة المئوية لعنصر البوتاسيوم K 2.01 % . في حين اختلفت معاملة المقارنة الملقة بالفايروس Infected control عن جميع المعاملات معنوياً ، حيث انخفضت فيها معدل النسبة المئوية N 1.6 % ومعدل النسبة المئوية لعنصر البوتاسيوم K 0.87 % عدا عنصر الفسفور P الذي لم يختلف معنوياً عن معاملة المقارنة ، حيث بلغ معدل النسبة المئوية له 0.54 % كما في الجدول (4.10) .

جدول (4.10) فاعلية سقى نباتات الخيار ببكتيريا *B. amyloliquefaciens* ومحظوظي الميلاتونين والكيتوسان وتوليفاتهما المزدوجة على نسب العناصر الكبرى NPK في الأوراق.

تأثير المعاملة	% العناصر									ت
	K			P			N			
تأثير المعاملة	تأثير المعاملة	صب مصاص	سليم	تأثير المعاملة	صب مصاص	سليم	تأثير المعاملة	صب مصاص	سليم	المعاملة
1.44	0.87	2.01	0.51	0.54	0.47	1.95	1.6	2.30	Control	1
2.17	2.02	2.31	0.39	0.37	0.40	2.07	2.07	3.20	Mel	2
2.13	2.14	2.12	0.38	0.37	0.38	3.11	3.11	2.43	Ba	3
2.06	2.10	2.01	0.38	0.36	0.40	2.13	2.13	3.17	Chi	4
3.04	3.00	3.07	0.45	0.43	0.46	2.00	2.00	3.13	Mel + Ba	5
2.57	2.45	2.68	0.54	0.51	0.56	3.26	3.26	3.17	Mel + Chi	6
2.46	2.28	2.64	0.42	0.41	0.42	2.53	2.53	3.23	Chi + Ba	7
	2.12	2.41		0.43	0.44		2.39	2.49	تأثير الاصابة	
	0.6			0.03			1.0		LSD 0.05 للاصابة	
	1.1			0.05			1.9		LSD 0.05 للمعاملة	
	1.5			0.08			2.6		LSD 0.05 للتداخل	

Ba : *Bacillus amyloliquefaciens* , Mel : Melatonin , Chi : Chitosan , N :

(كل رقم يمثل معدل ثلاث مكررات)

يسنتنجز مما سبق إن استعمال الميلاتونين والكيتوسان والبكتيريا

Bacillus amyloliquefaciens خفض من نسبة الاصابة الفايروسية وشدتتها كما حسن من معايير النمو المقاسة (الأطوال والأوزان للمجموعتين الجذري والخضري الجافة والطرية ومساحة الورقة السطحية) كما أنه زاد محتوى الكلورو菲ل والعناصر الغذائية و عدد الثمار وزونها .

قد يرجع السبب لذلك إلى أن البكتيريا لها القدرة على تحسين دفاعات النبات ضد الضغوط الاحيائية من مسببات الأمراض من خلال المنافسة على المغذيات ، وإنتاج مواد مثل البيتايدات الدهنية الحلقية و Polyketides والمركبات العضوية المتطابقة لمقاومة مسببات الأمراض مباشرة ، وتحفيز المقاومة الجهازية في النباتات (Luo وآخرون 2022) .

إن البكتيريا المستعملة لها القدرة على التحليل المائي للمركبات المعقدة بما في ذلك البروتينات غير القابلة للذوبان ، والكريبوهيدرات ، والألياف (Woldemariam Yohannes) وآخرون (Ngalimat ، 2020 ، 2021).

في حين أن الميلاتونين لعب دوراً مهماً في تحفيز أنظمة دفاع النبات ضد هجوم العوامل الممرضة منها الفايروسات كما تسهل امتصاص المغذيات من قبل النباتات ، والتحكم في تجهيز العناصر الكبرى والصغرى ، وتحسين مقاومة النباتات للضغط اللاحياتي والأحيائي كما أنه يقال من عملية النتح من خلال التحكم في فتح وغلق الثغور كما يعمل على تحسين الاستجابات الضوئية ، وتوصيل الاشارات ، والهرمونات النباتية (Shahrajabian ، 2021 ، 2021) وآخرون ، Subhan ، 2021 ، Erland ، 2021 ، Murch ، 2021). قد يكون تأثير الميلاتونين أقرب إلى تأثير هرمون (جيبريلينات) على خصائص الأوراق المساحة ، ومحتوى الكلوروفيل الكلي (Abd El-Naby ، 2019).

بعد الكيتوسان ثانوي بوليمر حيوي وفيرو موجود على الأرض بعد السлизيلوز له خصائص غير السامة يوفر نشاطاً مضاداً ضد طيف واسع من المسببات المرضية ، حيث يظهر على النباتات المعاملة مستويات تعبير متزايدة لبعض جينات الدفاع الجهازية في تخفيف عدو الفايروس. (Negm ، 2020 ، Sofy ، 2021 ، Ke ، 2021 ، Sofy ، 2021 ، Negm ، 2021).

كما يشجع على زيادة معدل انبات البذور ويسهل امتصاص المغذيات و التنظيم الجيني ، كما يفعل مسارات أنظمة مضادات الأكسدة لزيادة مقاومة النبات وله تأثيرات فسلجية مهمة في تحسين نمو النبات ، حيث يزيد من محتوى الكلوروفيل وينشط عملية البناء الضوئي، كما أنه يخفض معدل النتح ، و يزيد من محتوى الكلوروفيل والكاربوهيدرات والنتروجين والبوتاسيوم و يحسن من مقاومة البلاستيدات للإجهاد ، ومن ثم يحسن من البناء الحيوي للكلوروفيل . (الربيعي ، 2021)

وقد حسن الكيتوسان من مؤشرات النمو ، محتوى كلوروفيل الأوراق ، الهرمونات النباتية (مثل حامض الأسيتيك الإنديول ، حامض الجبريليك ، حامض الساليسيليك وحامض الجاسمونك) ، ومضادات الأكسدة غير الأنزيمية ومضادات الأكسدة الأنزيمية مقارنة بالنباتات المقاومة بالفايروس . كما أظهرت جميع النباتات المعاملة مستويات تعبير متزايدة لبعض جينات الدفاع الجهازية في تخفيف عدو الفايروس. (Sofy ، 2021 ، Sofy ، 2021)

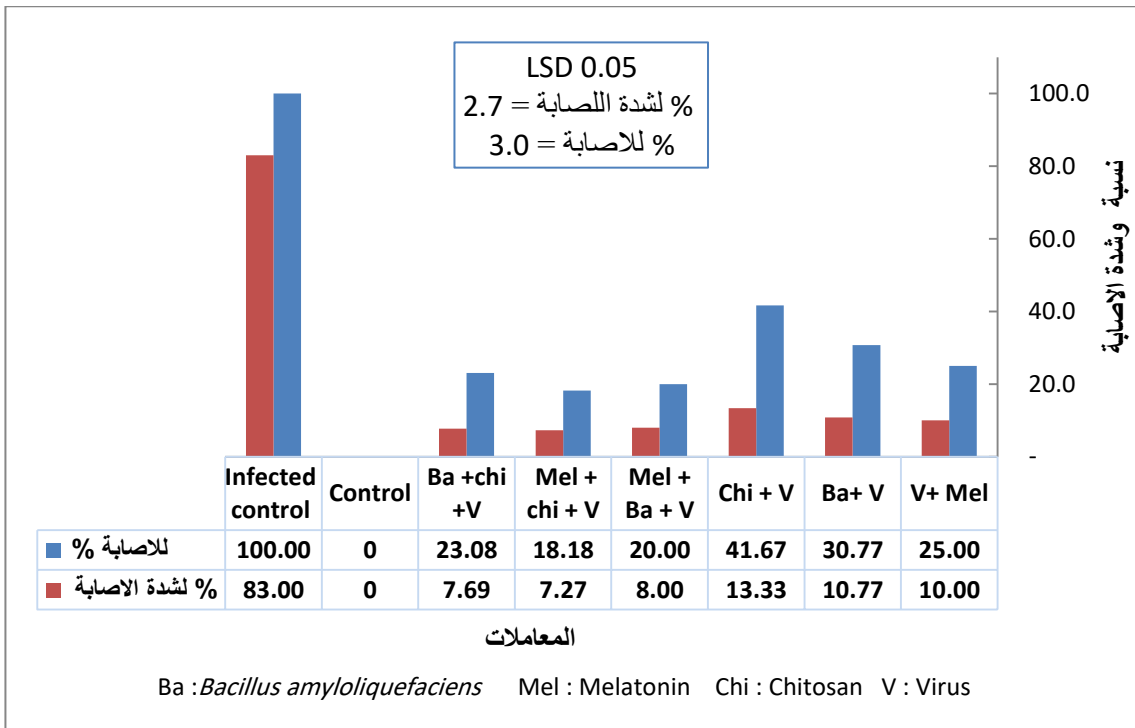
إن المحفزات التي تمنع نمو مسببات الأمراض النباتية ، وتغيير استجابات دفاع النبات عن طريق إطلاق العديد من المسارات الأيضية المفيدة تؤدي إلى زيادة الانتاج وتحسين نوعيته (Chakraborty ، واخرون ، 2020).

B. *amyloliquefaciens* 4.14 اختبار فاعلية رش نباتات الخيار ببكتيريا **ومحلول الميلاتونين والكيتوسان وتوليفاتهما المزدوجة ضد الاصابة الفايروسيه :**

4.14.1 التغيرات الظاهرة :

4.14.1.1 فاعلية رش نباتات الخيار ببكتيريا *B. amyloliquefaciens* ومحولي الميلاتونين والكيتوسان وتوليفاتهما المزدوجة في خفض نسبة وشدة الاصابة الفايروسيه :

أظهرت النتائج أن معاملات رش نباتات الخيار ببكتيريا *B. amyloliquefaciens* ومحولي الميلاتونين والكيتوسان وتوليفاتهما المزدوجة خفضاً معنوياً في نسبة الاصابة الفايروسيه وشدتتها ، فقد اتضح من النتائج أن رش النباتات بالتوليفات المزدوجة (بكتيريا *B. amyloliquefaciens* ومحول الميلاتونين ، بكتيريا *B. amyloliquefaciens* الكيتوسان ، محلول الميلاتونين والكيتوسان) المصابة بالفايروس أعطت أقل نسبة وشدة اصابة من استخدام المعاملات المذكورة منفردة فقد تفوقت التوليفة (بكتيريا *B. amyloliquefaciens* ومحول الميلاتونين) في خفض نسبة الاصابة وشدتتها ، فقد تراوحت معدلات نسبة بين (18.18% - 23.08%) و وشدة الاصابة تراوحت بين (7.27% - 7.69%) ، بينما كانت نتائج الرش بالمعاملات (بكتيريا *B. amyloliquefaciens* ، محلول الميلاتونين ، محلول الكيتوسان) منفردة على نسبة وشدة الاصابة منخفضة معنوياً ، حيث تراوح معدل نسبة الاصابة ما بين (25.0% - 41.67%) في حين بلغ معدل شدة الاصابة ما بين (10.0% - 13.33%) مقارنة بمعاملة المقارنة المصابة Infected control التي بلغت نسبة الاصابة فيها 100% وشدة اصابة 83.00% كما في الشكل (4.27).



شكل (4.27) فاعلية رش نباتات الخيار ببكتيريا *B. amyloliquefaciens* و محلولي الميلاتونين والكيتوسان وتوليفاتها المزدوجة في خفض نسبة وشدة الاصابة الفايروسيه .

4.14.1.2 فاعلية رش نباتات الخيار ببكتيريا *B. amyloliquefaciens* و محلولي الميلاتونين والكيتوسان وتوليفاتها المزدوجة على معايير النمو الجذري والخضري :

حققت معاملات رش نباتات الخيار ببكتيريا *B. amyloliquefaciens* و محلولي الميلاتونين والكيتوسان وتوليفاتها المزدوجة زيادة معنوية في معايير النمو الجذري ، والخضري والمتمثلة بأطوال المجموعين الجذري ، والخضري وأوزانهما الطيرية والجافة ، والمساحة السطحية للأوراق كما موضح في جدول (4.11) ، حيث تفوقت معاملات التوليفات المزدوجة (بكتيريا *B. amyloliquefaciens* ، بكتيريا *B. amyloliquefaciens* و محلول الميلاتونين ، محلول الكيتوسان ، محلولي الميلاتونين والكيتوسان) وغير الملقحة بالفايروس على بقية المعاملات فقد تراوحت معدلات أطوال المجاميع الخضرية بين (77.3 - 92.0) سم ، ومعدلات أطوال المجاميع الجذرية بين (95.0 - 97.7) سم ، أما معدلات الأوزان الطيرية للمجاميع الخضرية وكانت بين (52.6 - 57.7) غم ، ومعدلات الأوزان الجافة للمجاميع الجذرية فتراوحت بين (50.87 - 66.3) غم ، فيما تراوحت معدلات الأوزان الجافة للمجاميع الخضرية بين (15.3 - 22.1) غم، ومعدلات الأوزان الجافة للمجاميع الجذرية بين (17.1 - 17.9) غم أما معدلات المساحة السطحية للأوراق وكانت بلغت ما بين (87.6 - 105.7)

سم². في حين تشابهت معاملات التوليفات المزدوجة (بكتيريا *B. amyloliquefaciens* و محلول الميلاتونين ، بكتيريا *B. amyloliquefaciens* و محلول الكيتوسان ، محلولي الميلاتونين والكيتوسان) والملقحة بالفايروس معنويًا مع التوليفات المزدوجة غير الملقة حيث كانت معدلات أطوال مجاميها الخضرية بلغت بين (73.3 - 69.7) سم ، وأطوال مجاميها الجذرية بلغت بين (89.3 - 88.7) سم ، ومعدلات الأوزان الطيرية لمجاميعها الخضرية بلغت بين (43.93 - 38.6) غم و كانت معدلات الأوزان الطيرية للمجاميع الجذرية بلغت بين (18.9 - 16.3) غم ، فيما كانت معدلات أوزانها الجافة لمجاميعها الخضرية كانت بلغت بين (15.2 - 13.4) غم ، في حين كانت معدلات الأوزان الجافة لمجاميعها الجذرية فكانت بين (13.4 - 11.8) غم ، في حين كانت معدلات المساحة السطحية لأوراقها بلغت بين (96.0 - 77.8) سم² .

أما نتائج معاملات الرش (بكتيريا *B. amyloliquefaciens* ، محلول الميلاتونين ، محلول الكيتوسان) منفردة وغير الملقة بالفايروس ، التي كانت معدلات أطوال مجاميها الخضرية بلغت بين (72.7 - 71.0) سم ، ومعدلات أطوال مجاميها الجذرية بلغت بين (50.5 - 46.4) سم ، ومعدلات الأوزان الطيرية لمجاميعها الخضرية بلغت بين (39.3 - 33.1) غم ، ومعدلات أوزانها الجافة لمجاميعها الخضرية كانت بلغت بين (15.1 - 14.3) غم بينما كانت معدلات الأوزان الجافة لمجاميعها الجذرية فكانت بين (10.5 - 11.8) غم ، في حين كانت معدلات المساحة السطحية لأوراقها بلغت بين (85.0 - 73.7) سم² .

ولم تظهر أي فروق معنوية بينها وبين معاملات الرش (بكتيريا *B. amyloliquefaciens* ، محلول الميلاتونين ، محلول الكيتوسان) منفردة والملقحة بالفايروس ، التي كانت معدلات أطوال مجاميها الخضرية بلغت بين (70.7 - 61.3) سم ، ومعدلات أطوال مجاميها الجذرية بلغت بين (76.7 - 73.7) سم ، ومعدلات الأوزان الطيرية للمجاميع الخضرية بلغت بين (48.8 - 34.2) غم ، وكانت معدلات الأوزان الطيرية للمجاميع الجذرية بلغت بين (32.5 - 29.47) غم ، ومعدلات أوزانها الجافة لمجاميعها الخضرية كانت بلغت بين (14.4 - 13.6) غم ، فيما كانت معدلات الأوزان الجافة لمجاميعها الجذرية فكانت بين (10.5 - 9.9) غم في حين كانت معدلات المساحة السطحية لأوراقها بلغت بين (77.8 - 64.6) سم² .

إن جميع المعاملات تفوقت معنويًا على معاملتي المقارنة ، والمقارنة الملقة بالفايروس *Infected control* وكانت نتائج معايير النمو لمعاملة المقارنة ، والمتمثلة بمعدل طول مجموعها الخضري 45.3 سم ، معدل طول مجموعها الجذري 56.3 سم ، الوزن الطيري لمجموعها

الخضري 38.2 غم ، الوزن الطري لمجموعها الجذري 23.27 غم ، الوزن الجاف لمجموعها الخضري 11.4 غم ، الوزن الجاف لمجموعها الجذري 9.2 غم والمساحة السطحية لأوراقها 47.8 سم² ، بينما اختلفت جميع المعاملات المذكورة أعلاه اختلافاً احتمالياً عن معاملة المقارنة الملقحة بالفايروس فقط Infected control ، التي كان معدل طول مجموعها الخضري 27.7 سم ، معدل طول مجموعها الجذري 34.3 سم ، الوزن الطري لمجموعها الخضري 16.4 غم ، الوزن الطري لمجموعها الجذري 11.7 غم ، الوزن الجاف لمجموعها الخضري 4.3 غم ، الوزن الجاف لمجموعها الجذري 3.0 غم والمساحة السطحية لأوراقها 16.1 سم² .

جدول (4.11) فاعلية رش نباتات الخيار ببكتيريا *B. amyloliquefaciens* ومحلوبي الميلاتونين والكيتوسان وتوليفاتهما المزدوجة على معايير النمو الجذري والخضري .

تأثير المعاملة	مساحة الورقة (سم ²)		تأثير المعاملة	الوزن الجاف للمجموع الجذري (غم)		تأثير المعاملة	الوزن الجاف للمجموع خضرى (غم)		تأثير المعاملة	الوزن الطرى للمجموع الجذري (غم)		تأثير المعاملة	الوزن الطرى للمجموع الخضرى (غم)		تأثير المعاملة	طول المجموع الجذري (سم)		تأثير المعاملة	طوا المجموع الخضرى (سم)		معايير النمو	ت	
	مصاب	سليم		مصاب	سليم		مصاب	سليم		مصاب	سليم		مصاب	سليم		مصاب	سليم		مصاب	سليم		المعاملة	
32.0	16.1	47.8	6.1	3.0	9.2	7.9	4.3	11.4	16.0	8.7	23.3	24.8	11.4	38.2	41.2	26.0	56.3	36.5	27.7	45.3	Control	1	
81.4	77.8	85.0	11.2	10.5	11.8	14.8	14.4	15.1	35.9	32.5	39.3	49.7	48.8	50.5	81.2	76.7	85.7	70.9	70.7	71.0	mel	2	
74.8	70.0	79.6	10.2	9.9	10.5	14.1	13.7	14.4	32.4	29.5	35.3	45.2	43.9	46.4	77.0	75.7	78.3	69.9	67.0	72.7	Ba	3	
69.2	64.6	73.7	10.7	10.2	11.1	14.0	13.6	14.3	32.0	30.9	33.1	41.0	34.2	47.8	77.7	73.7	81.7	66.5	61.3	71.7	chi	4	
82.7	77.8	87.6	15.7	13.4	17.9	19.2	17.1	21.3	55.1	43.9	66.3	67.5	57.3	77.7	93.5	89.3	97.7	82.7	73.3	92.0	Mel + Ba	5	
100.9	96.0	105.7	15.3	15.2	15.3	20.5	18.9	22.1	44.8	38.6	50.9	50.8	48.9	52.7	92.4	89.7	95.0	74.9	69.7	80.0	Mel + chi	6	
89.0	83.2	94.7	15.6	13.8	17.3	16.7	16.3	17.1	52.4	41.4	63.4	51.8	50.9	52.6	92.2	88.7	95.7	75.3	73.3	77.3	Ba + chi	7	
	69.4	82.0		10.9	13.3		14.0	16.5		32.2	44.5		42.2	52.3		74.3	84.3		63.3	72.9		تأثير الاصابة	
15.4			1.0			2.1			6.3			10.3			6.9			9.6			LSD 0.05 للاصابة		
28.9			1.9			3.9			11.9			19.2			12.9			17.9			LSD 0.05 للمعاملات		
40.8			2.7			5.5			16.8			27.2			18.3			25.4			LSD 0.05 للتداخل		

•Ba : *Bacillus amyloliquefaciens* , Mel : Melatonin , Chi : Chitosan (كل رقم يمثل معدل ثلات مكررات .)

4.14.1.3 فاعلية رش نباتات الخيار ببكتيريا *B. amyloliquefaciens* ومحولى الميلاتونين والكيتوسان وتوليفاتهما المزدوجة على أعداد وزن الثمار :

أظهرت النتائج أن رش نباتات الخيار ببكتيريا *B. amyloliquefaciens* ومحولى الميلاتونين والكيتوسان وتوليفاتهما المزدوجة على أعداد الثمار الكلي للخيار وزنه الموضحة في الجدول (4.12) أن أعلى عدد ثمار ووزن حاصل ، كان في معاملات التوليفات المزدوجة (بكتيريا *B. amyloliquefaciens* ومحول الميلاتونين ، بكتيريا *B. amyloliquefaciens* ومحول الكيتوسان ، محلول الميلاتونين والكيتوسان) غير الملقة بالفايروس ، حيث وصل معدل أعداد الثمار لثلاث جنيهات بين (4.3 - 4.0) ثمرة ومعدل أوزانها ما بين (0.386 - 0.392) كغم ، في حين كان معدل أعداد الثمار لمعاملات التوليفات المزدوجة (بكتيريا *B. amyloliquefaciens* ومحول الميلاتونين ، بكتيريا *B. amyloliquefaciens* ومحول الكيتوسان ، محلول الميلاتونين والكيتوسان) و الملقة بلغت بين (3.7 - 3.3) ثمرة ومعدل أوزانها يتراوح بين (0.377 - 0.343) كغم .

بينما كان معدل أعداد ثمار المعاملات (بكتيريا *B. amyloliquefaciens* ، محلول الميلاتونين ، محلول الكيتوسان) غير الملقة بالفايروس يتراوح بين (3.0 - 2.7) ثمرة ومعدل أوزانها يتراوح بين (0.277 - 0.289) كغم في حين كان معدل أعداد ثمار المعاملات (بكتيريا *B. amyloliquefaciens* ، محلول الميلاتونين ، محلول الكيتوسان) الملقة بالفايروس بلغت بين (2.3 - 2.7) ومعدل أوزانها يتراوح بين (0.263 - 0.289) كغم . بينما كان معدل أعداد ثمار الخيار في معاملة المقارنة غير الملقة بالفايروس هو 3.0 ومعدل أوزان ثمارها هي 0.282 كغم ، أما معاملة المقارنة الملقة بالفايروس Infected control فأعطت أقل عدده وزن ثمار حيث كان معدل عدد ثمارها 1.3 و مجموع أوزانها 0.135 كغم .

جدول (4.12) فاعلية رش نباتات الخيار ببكتيريا *B. amyloliquefaciens* ومحلول الميلاتونين والكيتوسان وتوليفاتهما المزدوجة على أعداد ووزن الثمار.

وزن الثمار (كغم)			عدد الثمار / نبات			الصفة المقاسة	ت
تأثير المعاملة	صبغ	سليم	تأثير المعاملة	صبغ	سليم	المعاملة	
0.626	0.406	0.845	6.5	4	9	Control	1
0.833	0.788	0.878	8.0	8	8	Mel	2
0.858	0.822	0.894	8.5	8	9	Ba	3
0.849	0.867	0.830	7.5	7	8	Chi	4
1.128	1.093	1.163	11.5	11	12	Mel + Ba	5
1.144	1.130	1.157	11.0	10	12	Mel + Chi	6
1.106	1.036	1.175	12.0	11	13	Chi + Ba	7
	0.877	0.992		8.4	10.1	تأثير الاصابة	
0.09			1.7			LSD _{0.05} للإصابة	
0.1			3.3			LSD _{0.05} للمعاملة	
0.2			4.6			LSD _{0.05} للتدخل	

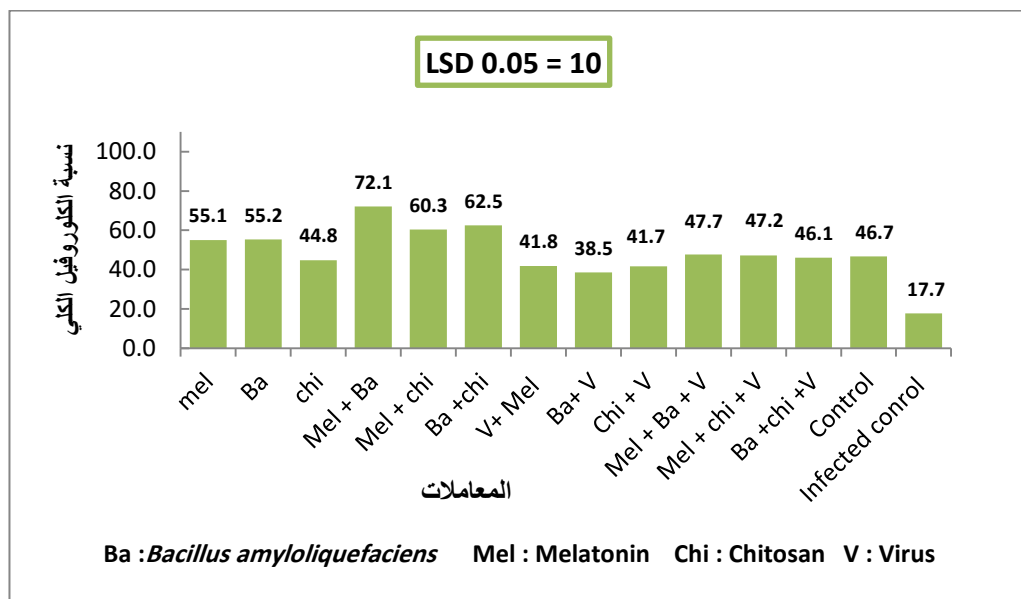
(كل رقم يمثل معدل ثلاث مكررات) . Ba : *Bacillus amyloliquefaciens* , Mel : Melatonin , Chi : Chitosan .

4.14.2 التغيرات الفسلجية :

4.14.2.1 فاعلية رش نباتات الخيار ببكتيريا *B. amyloliquefaciens* ومحلول الميلاتونين والكيتوسان وتوليفاتهما المزدوجة على نسبة الكلوروفيل الكلي :

بيّنت نتائج فاعلية رش نباتات الخيار ببكتيريا *B. amyloliquefaciens* ومحلول الميلاتونين والكيتوسان وتوليفاتهما المزدوجة على نسبة الكلوروفيل الكلي في الأوراق ، حيث أظهرت النتائج أن أعلى نسبة للكلوروفيل الكلي في أوراق نباتات الخيار المعاملة بالتوليفات المزدوجة (بكتيريا *B. amyloliquefaciens* ، محلول الميلاتونين ، بكتيريا *B. amyloliquefaciens* و محلول الكيتوسان ، محلول الميلاتونين والكيتوسان) ، حيث بلغت معدلات نسب الكلوروفيل الكلي فيها (72.1 ، 62.5 ، 60.3) ملغم . 100 غم ⁻¹ على التوالي .

B. بينما كانت نسب الكلوروفيل لمعاملات التوليفات المزدوجة والمعاملة (بكتيريا *B. amyloliquefaciens* و محلول الميلاتونين ، بكتيريا *B. amyloliquefaciens* ومحلول الكيتوسان ، محلولي الميلاتونين والكيتوسان) والملقحة بالفايروس هي (47.2 ، 46.1 ، 47.7) ملغم . 100 غم ¹⁻ على التوالي ، في حين بلغت نسب الكلوروفيل معاملات (بكتيريا *B. amyloliquefaciens* ، محلول الميلاتونين ، محلول الكيتوسان) منفردة وغير الملقحة بالفايروس (44.8 ، 55.1 ، 55.2) ملغم . 100 غم ¹⁻ ، لم يكن هناك فروق معنوية بين المعاملات (بكتيريا *B. amyloliquefaciens* ، محلول الميلاتونين ، محلول الكيتوسان) منفردة وغير الملقحة بالفايروس و معاملات (بكتيريا *B. amyloliquefaciens* ، محلول الميلاتونين ، محلول الكيتوسان) منفردة والملقحة بالفايروس ، التي كانت نسب الكلوروفيل فيها (38.5 ، 41.8 ، 41.7) ملغم . 100 غم ¹⁻ على التوالي . في حين بلغت نسبة الكلوروفيل في معاملة المقارنة بالفايروس ملغم . 100 غم ¹⁻ اختلفت جميع المعاملات الانفة الذكر مع معاملة المقارنة الملقحة بالفايروس معنويًا ، حيث بلغت نسبة الكلوروفيل الكلي فيها 17.7 ملغم . 100 غم ¹⁻ Infected control كما في الشكل (4.28) .



شكل (4.28) فاعلية رش نباتات الخيار ببكتيريا *B. amyloliquefaciens* و محلولي الميلاتونين والكيتوسان وتوليفاتهما المزدوجة على نسبة الكلوروفيل الكلي.

4.14.2.2 فاعلية رش نباتات الخيار ببكتيريا *B. amyloliquefaciens* ومحولي الميلاتونين والكيتوسان وتوليفاتهما المزدوجة على نسب العناصر الكبرى NPK في الأوراق :

اتضح من النتائج أن رش نباتات الخيار ببكتيريا *B. amyloliquefaciens* ومحولي الميلاتونين والكيتوسان وتوليفاتهما المزدوجة على نسب العناصر الكبرى NPK في الأوراق كانت النسب الأعلى في معاملات الرش بالتوليفات المزدوجة (بكتيريا *B. amyloliquefaciens* ومحول الميلاتونين ، بكتيريا *B. amyloliquefaciens* ، محلول الكيتوسان ، محلول الميلاتونين والكيتوسان) وغير الملقحة بالفايروس ، حيث كانت معدلات نسب النتروجين Nitrogen المئوية بلغت بين (2.67 % - 3.37 %) ، ومعدلات نسب الفسفور Phosphorous المئوية بلغت بين (0.53 % - 0.54 %) ، أما معدلات نسب البوتاسيوم Potassium المئوية فكانت بلغت (2.20 % - 3.11 %) ، ولم تختلف عنها معنويًا معاملات التوليفات المزدوجة نفسها ، والملقحة بالفايروس ، حيث كانت معدلات النسب المئوية للنتروجين بلغت بين (2.63 % - 3.12 %) ومعدلات النسب المئوية للفسفور بلغت بين (0.43 % - 0.50 %) أما معدلات النسب المئوية للبوتاسيوم فكانت بلغت بين (2.19 % - 2.28 %) .

أما نتائج المعاملات (بكتيريا *B. amyloliquefaciens* ، محلول الميلاتونين ، محلول الكيتوسان) منفردة وغير ملقحة ، وكانت معدلات النسب المئوية للنتروجين N بلغت بين (2.16 % - 2.60 %) ومعدلات النسب المئوية للفسفور P بلغت بين (0.43 % - 0.47 %) ومعدلات النسب المئوية للبوتاسيوم K بلغت بين (2.09 % - 2.13 %) لم تختلف معنويًا عن المعاملات (بكتيريا *B. amyloliquefaciens* ، محلول الميلاتونين ، محلول الكيتوسان) منفردة والملقحة بالفايروس ، حيث كانت معدلات النسب المئوية للنتروجين N بلغت بين (1.70 % - 2.47 %) ، ومعدلات النسب المئوية للفسفور P بلغت بين (0.42 % - 0.47 %) ومعدلات النسب المئوية للبوتاسيوم K بلغت بين (2.03 % - 2.06 %) ، وقد تشابهت معاملة المقارنة مع بقية المعاملات، كانت معدل النسبة المئوية للنتروجين N 2.0 % ومعدل النسبة المئوية للفسفور P 0.51 % ومعدل النسبة المئوية للبوتاسيوم K 2.01 %. في حين اختلفت معاملة المقارنة الملقحة بالفايروس Infected control عن معاملة المقارنة غير الملقحة بالفايروس معنويًا حيث معدل النسبة المئوية للبوتاسيوم K 0.87 % أما عنصري النتروجين ، و الفسفور فلم تختلف معنويًا عن معاملة المقارنة ، حيث كان معدل النسبة المئوية للنتروجين N 1.6 % ومعدل النسبة المئوية للفسفور P 0.54 % كما في جدول (4.13) .

جدول (4.13) فاعلية رش نباتات الخيار ببكتيريا *B. amyloliquefaciens* ومحلولي الميلاتونين والكيتوسان وتوليفاتهما المزدوجة على نسب العناصر الكبرى NPK في الأوراق .

تأثير المعاملة	% العناصر									العنصر
	K			P			N			
تأثير المعاملة	صبغ	صبغ	صبغ	تأثير المعاملة	صبغ	صبغ	تأثير المعاملة	صبغ	صبغ	العاملة
1.44	0.87	2.01	0.53	0.54	0.51	1.80	1.60	2.00	Control	1
2.08	2.03	2.13	0.45	0.47	0.43	2.24	2.20	2.27	Mel	2
2.08	2.06	2.10	0.44	0.42	0.45	2.54	2.47	2.60	Ba	3
2.07	2.05	2.09	0.45	0.43	0.47	1.93	1.70	2.16	Chi	4
2.20	2.19	2.20	0.52	0.49	0.54	3.11	2.84	3.37	Mel + Ba	5
2.26	2.25	2.27	0.52	0.50	0.53	2.65	2.63	2.67	Mel + Chi	6
2.70	2.28	3.11	0.49	0.43	0.54	3.28	3.12	3.43	Chi +Ba	7
	1.96	2.27		0.47	0.50		2.37	2.64	تأثير الاصابة	
	0.3		0.07			0.4			LSD _{0.05} للاصابة	
	0.6		0.14			0.8			LSD _{0.05} للعاملة	
	0.9		0.20			1.2			LSD _{0.05} للتدخل	

. (كل رقم يمثل معدل ثلات مكررات) .

تعتبر البكتيريا *Bacillus amyloliquefaciens* واحدة من البكتيريا التي تستحوذ على مقاومة الجهازية و تحسن من نمو النبات من دون آثار جانبية ضارة ، كعامل ممتاز للأسمدة الاصطناعية والمكافحة الاصطناعية في الزراعة ، حيث أنها تحسن من توافر مغذيات التربة ، بما في ذلك النيتروجين ، وإذابة الفوسفات والبوتاسيوم ، وإنتاج الحديد ثانياً ، ويمكن أن تغير المجتمع الميكروبي في التربة ، وتحسن ظروف نمو النبات ، إضافة إلى أنها تفرز الهرمونات ، والمركبات العضوية المتطرفة المرتبطة بنمو الخلايا النباتية ، وتطور الجذور ، وزيادة تحسين امتصاص العناصر الغذائية من قبل النباتات ، و تعزيز مقاومة النبات من خلال إحداث تغييرات جينية وكيميائية وفيزيائية في النبات العائلي ، حيث تحسن من التعبير عن الجينات المشاركة في التخلق الاصطناعي للدهون والبروتين ، (Sheteiwy 2021؛ Luo 2022).

عند المعاملة بالبكتيريا لوحظ أن هناك زيادة في محتوى ATP والأنشطة المائية لغشاء البلازمما وزيادة محتوى الكلوروفيل فيها ، والتقليل من انتاج ROS من خلال تشجيع مضادات الاكسدة (Sheteiwy واخرون 2021 ؛ الربيعي ، 2021).

أشارت العديد من الدراسات إلى أن الميلاتونين هو جزئية حيوية محفزة للمحافظة على انتاج المحاصيل من دون أي تأثيرات سلبية على النبات ، حيث يرتبط بإنبات البذور ، ونضج الثمار ، والبناء الضوئي وسلامة الأغشية الخلوية ، وشبكة تفاعلات الأكسدة ، والاختزال وتطور الجذور، والتنظيم الازموزي وشيخوخة الورقة ، ويساعد على كبح ROS من خلال منظومة مضادات الاكسدة .

كما يلعب دوراً في المساهمة في المقاومة الجهازية المستحثة في النبات ، والمحافظة على سلامه الأغشية الخلوية وتقليل نفاذيتها ، وله دوره التنظيمي في تعديل الهرمونات النباتية (Mukherjee، 2018 ؛ الربيعي ، 2021).

تسبب الرش الورقي باستعمال الميلاتونين في زيادة معنوية في المعايير الظاهرية (الفروع ، طول الجذر ، عدد الأوراق ، مساحة الأوراق ، والكتلة الاحيائية للأوراق) ، محتوى الكلوروفيل ، إنزيمات مضادات الأكسدة ، والتعبير الجيني لبعض الإنزيمات مقارنة بالنباتات الملقحة ، قلل العلاج باستعماله من الضرر التأكسدي الناجم عن *Alfalfa mosaic virus* من خلال تقليل بيروكسيد الهيدروجين وأنيونات الاوكسيد الفائق وجذور الهيدروكسيل Sofy (Malondialdehyde واخرون ، 2021) .

يخفف معاملة النبات بالميلاتونين من جينات البروتينات المرتبطة بالأمراض والإنزيمات المضادة للأكسدة تحت الضغط الاحيائي ، واللأحيائي (Li واخرون ، Sharif 2017 ؛ 2018). كما أنه ينظم العديد من العمليات الاحيائية المهمة للنباتات ، بما في ذلك التخليق الاحيائي للرايبوسومات ، والتمثيل الغذائي للدهون ، والتمثيل الغذائي للكربوهيدرات ، وتخزين البروتين مثل البروتينات ، التي تحمل الإجهاد ، وأيضاً البروتينات التي تنتج ATP كجزء من تحلل السكر ودورة حامض الستريك يتم تنظيمها بواسطته ، كما أن الميلاتونين يخفف التأثيرات المتبعة لضغط كلوريد الصوديوم على إنبات البذور من خلال تعزيز إنتاج الطاقة كما له دور في إنبات بذور الخيار في ظل ظروف الإجهاد، كما يشجع على زيادة معدل انبات البذور ويسهل امتصاص المغذيات ، والتنظيم الجيني ، ويفعل مسارات انظمة مضادات الاكسدة لزيادة مقاومة النبات (Ding واخرون ، 2018 ؛ الربيعي ، 2021).

الرش الورقي للكيتوسان له تأثيرات فسلجية مهمة حيث يحسن من نمو النبات ويزيد من محتوى الكلوروفيل وينظم عملية البناء الضوئي، مع تخفيض معدل النتح ، ويزيد من محتوى

الكلوروفيل والكاربوهيدرات والنتروجين والبوتاسيوم ، كما أنه يحسن من مقاومة البلاستيدات للاجهادات ، ومن ثم يحسن من البناء الحيوي للكلوروفيل و يستحث مقاومة النبات ضد المسببات المرضية . وهذا يعتمد على خصائصه الفيزيائية ، والكيميائية ويعتمد على نوع الكائنات الدقيقة واخرون ، 2021 ، الربيعي ، (2021) .

4.15 الخسائر الاقتصادية لمحصول الخيار المصابة بالفايروس *Squash vein* في الزراعة المكشوفة لمساحة دونم واحد: *yellowing virus isolate SVYV/Iraq*

بيّنت النتائج أن الخسائر المالية الناتجة عن الاصابة بالفايروس *Squash vein* في نباتات الخيار بلغت ما بين (46.8 - 52.7 %) في المحسوبة لمساحة دونم واحد . حيث كان انتاج النباتات الملقحة تقريبا 843.75 كغم / دونم وبخسائر مالية تراوحت بين (496.4 - 629.06) دولار أمريكي . في حين تراوح انتاج معاملات المقارنة بين (1568.75 - 1762.5) كغم / دونم كما في جدول (4.14) .

جدول (4.14) الخسائر الاقتصادية الناتجة عن الاصابة بالفايروسات *Squash vein* لمحصول الخيار لمساحة دونم واحد . *yellowing virus isolate SVYV/Iraq*

% للخسائر	الخسائر / دولار أمريكي	سعر/دولار أمريكي	سعر / د.ع	الوزن كغم / الدونم	المعاملة	طريقة تطبيق المعاملة
0	0	1060.42	1548750	1568.75	Control	غمر بذور
46.8	496.4	564.02	823750	843.75	Infected control	
0	0	1116.06	1630.000	1650	Control	سقي
49.5	552.04	564.02	823750	843.75	Infected control	
0	0	1193.08	1742500	1762.5	Control	رش
52.7	629.06	564.02	823750	843.75	Infected control	

Ba : *Bacillus amyloliquefaciens* , Mel : Melatonin , Chi : Chitosan

4.16. الربح الصافي المتحقق من استعمال أفضل المعاملات على محصول الخيار *Squash vein yellowing virus isolate SVYV/Iraq* في الزراعة المكشوفة لمساحة دونم واحد:

اتضح من النتائج أن الربح الصافي المتحقق من استعمال أفضل المعاملات خليط من البكتيريا *B. amyloliquefaciens* و melatonin في الزراعة المكشوفة لمساحة دونم واحد ، حيث كانت النسبة المئوية للربح الصافي لمساحة دونم بلغت ما بين (38.4 - 62.6) %. حيث كانت أفضل معاملة لغمر البذور ، وسقي النباتات هي خليط من البكتيريا *Bacillus amyloliquefaciens* و *Bacillus amyloliquefaciens* و Melatonin أما معاملة الرش فكان الخليط من Chitosan هو الأفضل . حيث كان انتاج النباتات المعاملة يتراوح بين (2450 - 2562.5) كغم / دونم ، وبربح صافي تراوح ما بين (459.04 - 664.33) دولار أمريكي . في حين تراوح انتاج معاملات المقارنة بين (1568.75 - 1762.5) كغم / دونم كما في جدول (4.15).

جدول (4.15) الربح الصافي المتحقق من استعمال أفضل المعاملات خليط من البكتيريا *B. amyloliquefaciens* و melatonin في الزراعة المكشوفة لمساحة دونم واحد.

% للربح	الربح الصافي / دولار أمريكي	سعر/دولار أمريكي	سعر / د.ع	الوزن كغم / الدونم	المعاملة	طريقة تطبيق المعاملة
0	0	1060.42	1548750	1568.75	Control	غمر بذور
62.6	664.33	1724.75	2519000	2550	B.a + mel	
0	0	1116.06	1630.000	1650	Control	سقي
55.3	617.25	1733.31	2531500	2562.5	B.a + mel	
0	0	1193.08	1742500	1762.5	Control	رش
38.4	459.04	1650.12	2410000	2450	B.a + chi	

Ba : *Bacillus amyloliquefaciens* , Mel : Melatonin , Chi : Chitosan

4.17 تأثير طريقة إضافة المعاملات في أوزان ثمار الخيار لنباتات سليمة وأخرى مصابة بالفايروس : *Squash vein yellowing virus isolate SVYV/Iraq*

بيّنت النتائج إن أفضل طريقة لتطبيق المعاملات والتي أدّت إلى زيادة معنوية في أوزان ثمار الخيار هي طريقة غمر البذور في حين لم تكن هناك فروق معنوية في أوزان الثمار بين طريقة المعاملة بالسقي أو الرش كما في الجدول (4.16) .

جدول (4.16) تأثير نوع المعاملات على أوزان ثمار الخيار لنباتات سليمة وأخرى مصابة بالفايروس .*Squash vein yellowing virus isolate SVYV/Iraq*

معدل طريقة التطبيق	نباتات مصابة	نباتات سليمة	طريقة التطبيق	t
6.6	6.0	7.1	غمر	1
6.4	6.0	6.8	سقي	2
6.5	6.1	6.9	رش	3
6.0		6.9	معدل الاصابة	
0.1			LSD _{0.05} للإصابة	
0.1			LSD _{0.05} لطريقة التطبيق	
0.2			LSD _{0.05} للداخل	

يسبب فايروس SVYV ذبولاً جهازي و اصفراراً للأوراق مع نخر على الأوراق والسيقان ، في بعض الحالات الشديدة تؤدي إلى موت النبات ، وكذلك يحصل تدهور قشرة البطيخ ، وتعفن داخلها ، مما يؤدي إلى ثمار غير قابلة للتسويق (Webster، 2010 ، وآخرون، 2016 ، Reingold ، وآخرون، 2016) .

تعتمد الممارسات الحالية لحماية النباتات ، وتحسين إنتاجية المحاصيل على المعالجات الكيميائية ، التي تشكل خطورة على البيئة ، وتسبب آثاراً ضارة على صحة الإنسان والبيئة ، لذا فإن استعمال عوامل آمنة للإنسان والحيوان والبيئة ضروريًا.

5. الاستنتاجات والتوصيات Conclusions and Recommendations

: Conclusions الاستنتاجات

1. بيّنت الدراسة أنَّ أعراض الموزائيك الشديد على نباتات الخيار في حقول الحيدرية ناتجة عن اصابة مشتركة بين فايروسي *Squash vein* و *Tomato leaf curl palmpur virus* و *yellowing virus*.
2. اتضح من خلال استخدام تقنية NGS ، واستعمال برامج المعلوماتية الحياتية Bioinformatics وجود فايروسين كاملين متداخلين في جينوم نبات خيار مصاب هما *ToffiV* و *CsatBV* كما تم تأكيد وجود قطعتي RT من فايروسات *CsatAV* و *Caulimovirus-sme*.
3. تبيّن من وجود تغاير بين DNA الكلي لنبات خيار مصاب ، وآخر سليم من خلال فقد في المنطقة الجينية للجين 23SrRNA اطلق عليها تسمية 23SrRNA Iraq. وكذلك وجدت مناطق تغاير شديد في المناطق الجينية rpS16 و Ycf2 والتي اطلق عليها تسمية rpS16 و Ycf2 Iraq.
4. اتضح أنَّ الاصابة الفايروسية أثرت على التعبير الجيني للجين Ycf2 إلا أنها لم تؤثّر على الجينين rpS16 و 23SrRNA.
5. من خلال رسم الخرائط الوراثية اتضح أنَّ فايروس SVYV يشفّر بروتينين متعددين Polyprotein DNA-A و كان الأقرب إلى عزلة الأرضي الفلسطيني المحتلة ، بينما TLCPV يشفّر 6 بروتينات هي (AC1، AC2، AC3، AC4 ، AV1 ، AV2) في حين كان TLCPV DNA-B يشفّر بروتينين هما (BC1 و BV1) وقد كان الأقرب للعزلات الإيرانية.
6. وجد من خلال رسم الخريطة الوراثية لجينوم البلاستيدية الخضراء لنبات الخيار *Cucumis sativus* var. *sativus* انه يحتوي على 130 جينا منها 84 جينا يشفّر إلى بروتينات كما يحتوي على 37 حامض نووي رابيبي الناقل tRNA و 8 من الحامض النووي رابيوسومي Precursor-RNA و 1 من rRNA.
7. أكدت الدراسة أنَّ المرض الفايروسي المسبب لأعراض الموزائيك ، و تجعد الاوراق ، والتقرّم أعطى نسبة اصابة 100% وشدة اصابة 82% للخيار ، وكذلك أدّت إلى خفض في الصفات المدروسة.
8. بيّنت الدراسة أنَّ عمر البذور ، أو سقي النباتات ، أو رشها بالبكتيريا *Bacillus amyloliquefaciens* ، الميلاتونين ، الكيتوسان منفردة التوليفات المزدوجة بهذه العوامل ،

امكانية استحداث المقاومة الجهازية لنبات الخيار ضد الاصابة الفايروسيّة بجعله متحمل للاصابة ، كما أنها أدت إلى تحسين الصفات الظاهرية المقاسة ، و المتمثلة والصفات الفسلجية كما أنها أدت إلى زيادة في اعداد ثمار نباتات الخيار و أوزانها .

8. وجد أن الخسائر الاقتصادية الناتجة عن الاصابة بالفايروس SVYV ولمساحة دونم واحد وصلت إلى (53.2 - 47.27) %.

9. اتضح من النتائج أن استعمال أفضل المعاملات (بكتيريا *B. amyloliquefaciens* و محلول الميلاتونين ، بكتيريا *B. amyloliquefaciens* و محلول الكيتوسان ، محلولي الميلاتونين والكيتوسان) بشكل توليفات مزدوجة حققت ربح مالي تراوحت نسبة بين (62.6 - 38.3) % لمساحة دونم واحد .

: Recommendations 5.2 التوصيات

1. استعمال التقنيات الحديثة مثل تقنية NGS للكشف عن مسببات الامراض النباتية وخصوصا الفايروسية منها لدقة النتائج التي تعطيها .
2. دراسة الفايروسات الداخلية ومعرفة علاقتها مع المرض واصحاح المرض ومدى فاعليتها في النبات .
3. اجراء المزيد من الدراسات لمعرفة تأثير الاصابة الفايروسية على جينومات البلاستيدات الخضراء والمايتوكوندريا ، والتعبير الجيني لجينات هذه العضيات من خلال استعمال التقنيات الحديثة مثل تقنية NGS .
4. استخدام عوامل آمنة للانسان والبيئة (بكتيريا *B. amyloliquefaciens* ، محلول الميلاتونين ، الكيتوسان) في حماية محصول الخيار من الاصابة الفايروسية بدلا من استخدام عوامل ضارة بالانسان وملوثة للبيئة لوقاية محصول الخيار من الاصابة الفايروسية وتحسين نمو النبات وزراعة الانتاج .
5. انتاج توليفات مزدوجة لعوامل (بكتيريا *B. amyloliquefaciens* ، محلول الميلاتونين ، الكيتوسان) تجاريا للاستفادة منها في برامج الادارة المتكاملة للافات IPM استخدام لنتائج افضل .
6. استخراج الميلاتونين والكيتوسان من مصادرها الطبيعية وانتاجها بشكل كمي محليا .

6. المصادر

References

المصادر العربية:

الجهاز المركزي الاحصائي، وزارة التخطيط مديرية الاحصاء الزراعي . (2019) . انتاج المحاصيل والخضروات ، تقرير المحاصيل والخضراوات التجمعي لسنة 2019.

الخفاجي ، بهاء جودة كاظم جابر . (2022) . تشخيص فايروس التبرقش المعتمد على نبات الباننجان باستخدام تقانة تسلسل الجيل القادم ، (رسالة ماجستير - كلية الزراعة / جامعة الكوفة) .

الراوي، خاشع محمود و خلف الله ، عبد العزيز محمد. (2000) . تصميم وتحليل التجارب الزراعية. كلية الزراعة. الطبعة الثانية. جامعة الموصل. وزارة التعليم العالي والبحث العلمي. جمهورية العراق.

الربيعي ، باقر جلاب هادي . (2021) . اسئلة واجوبة في فسحة الاجهاد . جامعة المثنى – كلية الزراعة.

الزغبي ، محمد منهل و الحصني ، انيس مصطفى ودرغام ، حسان . (2013) . طرائق تحليل التربة والنبات و المياه والاسمندة . الهيئة العامة للبحوث العلمية الزراعية- وزارة الزراعة والصلاح الزراعي . الجمهورية العربية السورية .

زغير ، شروق ساني سوادي . (2021) . تحديد التسلسل النيوكليوتيدي الكامل لفايروس موزائيك التين *Fig Mosaic Emaravirus* وتقدير كفاءة بعض العوامل الاحيائية والنانونية في مقاومته ، (اطروحة دكتوراه - كلية الزراعة / جامعة الكوفة) .

شريف ، فياض محمد . (2011) . الامراض الفايروسية والفايرودية . دار الذاكرة للنشر والتوزيع . الطبعة الاولى . جمهورية العراق . 632 صفحة .

شريف ، فياض محمد . (2012) . علم امراض النبات والاسس الجزيئية للإصابة والمقاومة . دار الذاكرة للنشر والتوزيع . الطبعة الاولى . جمهورية العراق .

صادق ، نورس عبد الله و كريم ، طارق عبد السادة و جبير ، حلا كاظم و نجم ، حنان وليد . (2021) . افات القرعيات . الطبعة الاولى . بغداد – العراق . شركة زوايا للدعائية والاعلان .

العايدي ، علي حسين عطيه . (2021). تحديد الجينوم الكامل لفايروس تجعد و اصفرار الطماطة- السلالة المعتدلة TYLCV-Mild والفايروسات الداخلية المرافقة لنبات الطماطة في العراق باستعمال تقانة الجيل الجديد ، (رسالة ماجستير - كلية الزراعة / جامعة الكوفة) .

عباس، احمد كريم . (2023) . التوصيف الجزيئي لفايروس التبرقش المعتدل على اللوباء CPMMV باستعمال تقنية تسلسل الجيل القادم NGS واستخدام البكتيريا لاستخاث مقاومتها ، (رسالة ماجستير - كلية الزراعة / جامعة الكوفة) .

الفضل ، فضل عبد الحسين . (2021) . فايروسات النبات المتقدم . محاضرات الدكتوراه . وزارة التعليم العالي - كلية الزراعة / جامعة الكوفة .

الفضل ، فضل عبد الحسين خليل (1984) . تشخيص وانتشار مرض موزائيك الفاصوليا الاعتيادي في العراق ، (رسالة ماجستير - كلية الزراعة / جامعة بغداد) .

الفضل، فضل عبد الحسين الفضل وسوداي، شروق ساني .(2017). تشخيص فايروس موزائيك الخيار (CMV) على نبات الباذنجان L Solanum melongena . باستخدام بعض النباتات الكاشفة والاشرطة المناعية وتقنية تفاعل البلمرة التسلسلي العكسي (RT-PCR) . مجلة الكوفة للعلوم الزراعية ، 9 (4).

قاسم ، نبيل عزيز .(2011) . فايروسات النبات Plant Virulology . وزارة التعليم العالي والبحث العلمي / جامعة الموصل . العلا للطباعة والنشر – الموصل .

المساري ، دعاء عبد العزيز محمد وال الكويتي ، نورس عبد الله صادق. (2020) . التحري الجزيئي عن مجموعة فايروس الموزائيك الذهبي على الفاصوليا Begomoviruses التي تصيب نبات القرع Cucurbita pepo L. ومحاولة تمنعه ضد الإصابة بها ، (رسالة ماجستير – كلية الهندسة والعلوم الزراعية / جامعة بغداد) .

مكوك ، خالد محي الدين و فجلة ، جابر ابراهيم و قمري ، صفاء غسان. (2008). الامراض الفايروسية للمحاصيل الزراعية المهمة في المنطقة العربية . الطبعة الاولى . بيروت – لبنان دار النهضة العربية .

الياسري ، حوراء اسماعيل عباس ، الفضل ، فضل عبد الحسين ، وعبد الله ، عبيس الحاتمي . (2016). استخاثة المقاومة للجهاز في نبات الخيار (Cucumis sativusL) ضد فايروس موزائيك الخيار CMV باستخدام بعض أنواع العوامل الحيوية البكتيرية. مجلة الكوفة للعلوم الزراعية ، 8 (4).

References:

- Abass ,M. O., & Lahuf , A. A. (2023).** search Paper (Molecular Studies: Viruses High-Throughput Sequencing and Bioinformatic Analysis Reveal Presence of the Endogenous Pararetrovirus Tobacco vein clearing virus Genome in the Tomato (*Solanum lycopersicum*) Host Genome. *Arab Society for Plant Protection*,41(1),77-84.
- Abd El-Naby, S.K.M , Abdelkhalek, A. M. A., El-Naggar, Y.I.M. (2019).** Effect of melatonin, GA3 and NAA Hortorum Cultus, on vegetative growth, yield and quality of ‘Canino’ apricot fruits. *Acta Sci. Pol.* 18(3), 167–174. DOI: 10.24326/asphc.2019.3.16.
- Abdelkhalek ‘A., & Al-Askar, A. A. (2020).** Green synthesized ZnO nanoparticles mediated by *Mentha spicata* extract induce plant systemic resistance against Tobacco mosaic virus. *Applied Sciences*, 10(15).
- Abkhoo, J., & Mehraban, A. (2020).** Genetic diversity of Tomato leaf curl Palampur virus and its whitefly vector, *Bemisia tabaci*, in the Sistan region. *Journal of Microbial World*, 13(3), 290-299.
- Acosta-Maspons, A., González-Lemes, I., & Covarrubias, A. A. (2019).** Improved protocol for isolation of high-quality total RNA from different organs of *Phaseolus vulgaris* L. *Biotechniques*, 66(2), 96-98.
- Adkins, S., Webb, S. E., Achor, D., Roberts, P. D., & Baker, C. A. (2007).** Identification and characterization of a novel whitefly-transmitted member of the family Potyviridae isolated from cucurbits in Florida. *Phytopathology*, 97(2), 145-154.
- Alisawi, O. N. (2019).** *Virus integration and tandem repeats in the genomes of Petunia* (Doctoral dissertation, University of Leicester).

- ALKahtani, M. D., Attia, K. A., Hafez, Y. M., Khan, N., Eid, A. M., Ali, M. A., & Abdelaal, K. A. (2020).** Chlorophyll fluorescence parameters and antioxidant defense system can display salt tolerance of salt acclimated sweet pepper plants treated with chitosan and plant growth promoting rhizobacteria. *Agronomy*, 10(8), 1180
- Ando, S., Miyashita, S., & Takahashi, H. (2019).** Plant defense systems against Cucumber mosaic virus: lessons learned from CMV–Arabidopsis interactions . *Journal of General Plant Pathology*, 85(3), 174-181.
- Armingol, E., Officer, A., Harismendy, O., & Lewis, N. E. (2021).** Deciphering cell–cell interactions and communication from gene expression. *Nature Reviews Genetics*, 22(2), 71-88
- Arnao, M. B., & Hernández-Ruiz, J. (2015).** Functions of melatonin in plants: a review. *Journal of pineal research*, 59(2), 133-150.
- Arnao, M. B., & Hernández-Ruiz, J. (2019).** Melatonin: a new plant hormone and/or a plant master regulator?. *Trends in Plant Science*, 24(1), 38-48.
- Arnao, M. B., & Hernández-Ruiz, J. (2021).** Melatonin as a regulatory hub of plant hormone levels and action in stress situations. *Plant Biology*, 23, 7-19.
- Authority, E. F. S., Anastassiadou, M., Arena, M., Auteri, D., Brancato, A., Bura, L., & Villamar-Bouza, L. (2021).** Peer review of the pesticide risk assessment of the active substance Bacillus amyloliquefaciens strain QST 713 (formerly Bacillus subtilis strain QST 713). *EFSA Journal*, 19(1).

- Back, K., Tan, D. X., & Reiter, R. J. (2016).** Melatonin biosynthesis in plants: multiple pathways catalyze tryptophan to melatonin in the cytoplasm or chloroplasts. *Journal of Pineal Research*, 61(4), 426-437.
- Basu, A., Prasad, P., Das, S. N., Kalam, S., Sayyed, R. Z., Reddy, M. S., & El Enshasy, H. (2021).** Plant growth promoting rhizobacteria (PGPR) as green bioinoculants: recent developments, constraints, and prospects. *Sustainability*, 13(3), 1140.
- Beris, D., Theologidis, I., Skandalis, N., & Vassilakos, N. (2018).** *Bacillus amyloliquefaciens* strain MBI600 induces salicylic acid dependent resistance in tomato plants against Tomato spotted wilt virus and Potato virus Y. *Scientific reports*, 8(1), 1-11.
- Bhattacharyya, D., & Chakraborty, S. (2018).** Chloroplast: the Trojan horse in plant–virus interaction. *Molecular Plant Pathology*, 19(2), 504-518.
- Biju, C. N., Krishnamurthy, K. S., & Bhat, A. I. (2022).** Physiological and biochemical response of ginger varieties to virus infection. *Plant Physiology Reports*, 27(1), 171-179.
- Bowers, J. E., Tang, H., Burke, J. M., & Paterson, A. H. (2022).** GC content of plant genes is linked to past gene duplications. *Plos one*, 17(1), e0261748.
- Buccitelli, C., & Selbach, M. (2020).** mRNAs, proteins and the emerging principles of gene expression control. *Nature Reviews Genetics*, 21(10), 630-644.

Çevik, B., Sönmez, E., & Şahin-Çevik, M. (2021). Tomato chlorosis virus infection represses chloroplast related genes in tomato. *Physiological and Molecular Plant Pathology*, 116, 101722.

Chakraborty, M., Hasanuzzaman, M., Rahman, M., Khan, M., Rahman, A., Bhowmik, P., & Islam, T. (2020). Mechanism of plant growth promotion and disease suppression by chitosan biopolymer. *Agriculture*, 10(12), 624.

Chaturvedi, S., Seo, J. K., & Rao, A. L. N. (2016). Functionality of host proteins in Cucumber mosaic virus replication: GAPDH is obligatory to promote interaction between replication-associated proteins. *Virology*, 494, 47-55

Chowdhury, S. P., Hartmann, A., Gao, X., & Borriss, R. (2015). Biocontrol mechanism by root-associated *Bacillus amyloliquefaciens* FZB42—a review. *Frontiers in microbiology*, 6, 780.

Cosmulescu, S., Scriciu, F., & Manda, M. (2020). Determination of leaf characteristics in different medlar genotypes using the ImageJ program. *Horticultural Science*, 47(2), 117-121.

Dhikal, M., Sharma S. P. (2022) (b). Identification of resistance sources and monogenic dominant nature of resistance to tomato leaf curl Palampur virus in melons. *Phytoparasitica*, 1-11.

Dhikal, M., Sharma, A., & Kaur, G. (2020) (a). First report of tomato leaf curl Palampur virus infecting muskmelon in India. *Journal of Plant Pathology*, 102(4), 1367-1367.

Ding, F., Wang, G., Wang, M., & Zhang, S. (2018). Exogenous melatonin improves tolerance to water deficit by promoting cuticle formation in tomato plants. *Molecules*, 23(7), 1605.

Diop S.I., Geering A.D., Alfama-Depauw F., Loaec M., Teycheney

P.-Y. & Maumus F. (2018) . Tracheophyte genomes keep track of the deep evolution of the *Caulimoviridae*. *Scientific reports* 8, 572.

El-Dougoug Bisht, N., Mishra, S. K., & Chauhan, P. S. (2020).

Bacillus amyloliquefaciens inoculation alters physiology of rice (*Oryza sativa* L. var. IR-36) through modulating carbohydrate metabolism to mitigate stress induced by nutrient starvation. *International Journal of Biological Macromolecules*, 143, 937-951.

Ertunç, F. (2020). Physiology of virus-infected plants. In *Applied Plant Virology* (pp. 199-205). Academic Press.

European Food Safety Authority (EFSA), Alvarez, F.,

Anastassiadou , M., Arena, M., Auteri, D., Brancato, A., ... &

Villamar-Bouza, L. (2021). Peer review of the pesticide risk assessment of the active substance *Bacillus amyloliquefaciens* strain IT-45. *EFSA Journal*, 19(5), e06594.

Fiallo-Olivé, E., Lett, J. M., Martin, D. P., Roumagnac, P., Varsani,

A., Zerbini, F. M., ... & Consortium, I. R. (2021). ICTV virus taxonomy profile: Geminiviridae 2021. *The Journal of General Virology*, 102(12).

Forsythe, E. S., Grover, C. E., Miller, E. R., Conover, J. L., Arick, M.

A., Chavarro, M. C. F., & Sloan, D. B. (2022). Organellar transcripts dominate the cellular mRNA pool across plants of varying ploidy levels. *bioRxiv*.

Geering, A. D. W., & Hull, R. (2012). Family caulimoviridae. *Virus Taxonomy: Classification and Nomenclature of Viruses: Ninth Report of the International Committee on Taxonomy of Viruses*, 424-

443.

Geering, A. D., Maumus, F., Copetti, D., Choisne, N., Zwickl, D. J., Zytnicki, M., ... & Teycheney, P. Y. (2014). Endogenous florendoviruses are major components of plant genomes and hallmarks of virus evolution. *Nature Communications*, 5(1), 1-11.

Gu, Q., Yang, Y., Yuan, Q., Shi, G., Wu, L., Lou, Z., ... & Gao, X. (2017). Bacillomycin D produced by *Bacillus amyloliquefaciens* is involved in the antagonistic interaction with the plant-pathogenic fungus *Fusarium graminearum*. *Applied and environmental microbiology*, 83(19), e01075-17

Guo, L., Su, Q., Yin, J., Yang, Z., Xie, W., Wang, S., ... & Zhang, Y. (2019). Amino acid utilization may explain why *Bemisia tabaci* Q and B differ in their performance on plants infected by the Tomato yellow leaf curl virus. *Frontiers in physiology*, 10, 489.

Guo, Y., Dong, Y., Xu, C., Xie, Q., Xie, Y., Xia, Z., ... & Wu, Y. (2020). Novel combined biological antiviral agents Cytosinpeptidemycin and Chitosan oligosaccharide induced host resistance and changed movement protein subcellular localization of tobacco mosaic virus. *Pesticide biochemistry and physiology*, 164, 40-46.

Hanamasagar, Y., Naganur, P., Shankarappa, K. S., Venkataravanappa, V., & Lakshminarayana Reddy, C. N. (2021). Characterization of *Tomato leaf curl Palampur virus* associated with leaf curl and yellowing disease of watermelon from India. *Indian Phytopathology*, 74(4), 1075-1088.

Hanley-Bowdoin, L., Bejarano, E. R., Robertson, D., & Mansoor, S. (2013). Geminiviruses: masters at redirecting and reprogramming plant processes. *Nature Reviews Microbiology*, 11(11), 777-788.

Hassan, O., & Chang, T. (2017). Chitosan for eco-friendly control of plant disease. *Asian J. Plant Pathol*, 11, 53-70.

Ha-Tran, D. M., Nguyen, T. T. M., Hung, S. H., Huang, E., & Huang, C. C. (2021). Roles of Plant Growth-Promoting Rhizobacteria (PGPR) in Stimulating Salinity Stress Defense in Plants: A Review. *International Journal of Molecular Sciences*, 22(6), 3154.

Hernandez, R. N., Isakeit, T., Al Rwahnih, M., Hernandez, R., & Alabi, O. J. (2021). First report of squash vein yellowing virus naturally infecting butternut squash (*Cucurbita moschata*) in Texas. *Plant Disease*, 105(9), 2738.

Heydarnejad, J., Hesari, M., Massumi, H., & Varsani, A. (2013). Incidence and natural hosts of Tomato leaf curl Palampur virus in Iran. *Australasian Plant Pathology*, 42(2), 195-203.

Hidangmayum, A., Dwivedi, P., Katiyar, D., & Hemantaranjan, A. (2019). Application of chitosan on plant responses with special reference to abiotic stress. *Physiology and molecular biology of plants*, 25(2), 313-326.

Huang, P., Davis, E., Cao, X., & Cameron, H. J. (2022). riboCleaner: a pipeline to identify and quantify rRNA read contamination from RNA-seq data in plants. *Bioinformatics*, 38(15), 3840-3843.

In, H. L. Y., & Pincket, R. (2022). Transcripts Per Million Ratio: a novel batch and sample control method over an established paradigm. *arXiv preprint arXiv:2205.02844*.

Inoue-Nagata, A. K., Jordan, R., Kreuze, J., Li, F., López-Moya, J. J., Mäkinen, K., ... & Wylie, S. J. (2022). ICTV Virus Taxonomy

Profile: Potyviridae 2022. *Journal of General Virology*, 103(5), 001738.

Jailani, A. A. K., Iriarte, F., Hochmuth, R., Willis, S. M., Warren, M. W., Dey, K. K., ... & Paret, M. L. (2021). First Report of Cucurbit Chlorotic Yellows Virus affecting Watermelon in USA. *Plant Disease*.

Jones, S., Baizan-Edge, A., MacFarlane, S., & Torrance, L. (2017). Viral diagnostics in plants using next generation sequencing: computational analysis in practice. *Frontiers in plant science*, 8, 1770.

Kaldis, A., Berbati, M., Melita, O., Reppa, C., Holeva, M., Otten, P., & Voloudakis, A. (2018). Exogenously applied dsRNA molecules deriving from the Zucchini yellow mosaic virus (ZYMV) genome move systemically and protect cucurbits against ZYMV. *Molecular plant pathology*, 19(4), 883-895.

Kapli, P., Yang, Z., & Telford, M. J. (2020). Phylogenetic tree building in the genomic age. *Nature Reviews Genetics*, 21(7), 428-444.

Kaur, P., Kaila, T., Dhkal, M., & Gaikwad, K. (2022). Chloroplast genome and plant–virus interaction. In *Bioinformatics in Agriculture* (pp. 419-436). Academic Press.

Ke, C. L., Deng, F. S., Chuang, C. Y., & Lin, C. H. (2021). Antimicrobial actions and applications of chitosan . *Polymers*, 13(6), 904.

Khaffajah, B., Alisawi, O., & Al Fadhl, F. (2022). Genome sequencing of eggplant reveals *Eggplant mild leaf mottle virus* existence with associated two endogenous viruses in diseased eggplant in

Iraq. Archives of Phytopathology and Plant Protection, 55(16), 1930-1943.

Kim, M. J., Radhakrishnan, R., Kang, S. M., You, Y. H., Jeong, E. J., Kim, J. G., & Lee, I. J. (2017). Plant growth promoting effect of *Bacillus amyloliquefaciens* H-2-5 on crop plants and influence on physiological changes in soybean under soil salinity. *Physiology and molecular biology of plants*, 23(3), 571-580.

Kocięcka, J., & Liberacki, D. (2021). The Potential of Using Chitosan on Cereal Crops in the Face of Climate Change. *Plants*, 10(6), 1160.

Koetsier, G., & Cantor, E. (2019). A practical guide to analyzing nucleic acid concentration and purity with microvolume spectrophotometers. *New England Biolabs Inc*, 1-8.

Kruse, C. P., Basu, P., Luesse, D. R., & Wyatt, S. E. (2017). Transcriptome and proteome responses in RNAlater preserved tissue of *Arabidopsis thaliana*. *PloS one*, 12(4), e017594.

KtsSilva, B. S., Heringer, P., Dias, G. B., Svartman, M., & Kuhn, G. C. (2019). De novo identification of satellite DNAs in the sequenced genomes of *Drosophila virilis* and *D. americana* using the RepeatExplorer and TAREAN pipelines. *PloS one*, 14(12), e0223466.

Kulshreshtha, A., Kumar, Y., Roshan, P., Bhattacharjee, B., Mukherjee, S. K., & Hallan, V. (2019). AC4 protein of tomato leaf curl Palampur virus is an RNA silencing suppressor and a pathogenicity determinant. *Microbial Pathogenesis*, 135, 103636.

Kumari, N., Jat, H. K., & Deora, A. (2020) . Chitosan And Its Role In Plant Disease Management. *Krishi SCIENCE – eMagazine for Agricultural Sciences* .1(6),1-26.

Kumari, S., Krishnan, N., & Pandey, K. K. (2022). Emergence of begomoviruses in cucurbits as a menace for its cultivation. In Geminivirus: Detection, *Diagnosis and Management* (pp. 107-124).

Lecoq, H., & Katis, N. (2014). Control of cucurbit viruses. *Advances in virus research*, 90, 255-296.

Li, C., Ma, X., Deng, J., Li, J., Liu, Y., Zhu, X., ... & Liu, J. (2021). Machine learning-based automated yeast cell counting under a complicated background with ilastik and ImageJ. *Authorea Preprints*.

Li, W., Hilf, M. E., Webb, S. E., Baker, C. A., & Adkins, S. (2008). Presence of P1b and absence of HC-Pro in Squash vein yellowing virus suggests a general feature of the genus Ipomovirus in the family Potyviridae. *Virus research*, 135(2), 213-219.

Li, Z., Li, C., Fu, S., Liu, Y., Xu, Y., Wu, J., ... & Zhou, X. (2021) . NSvc4 Encoded by Rice Stripe Virus Targets Host Chloroplasts to Suppress Chloroplast-Mediated Defense. *Viruses* , 14 (1), 36.

Li, H., Chang, J., Chen, H., Wang, Z., Gu, X., Wei, C., ... & Zhang, X. (2017). Exogenous melatonin confers salt stress tolerance to watermelon by improving photosynthesis and redox homeostasis. *Frontiers in plant science*, 8, 295.

Lin, K. Y., Wu, S. Y., Hsu, Y. H., & Lin, N. S. (2022). MiR398-regulated antioxidants contribute to Bamboo mosaic virus accumulation and symptom manifestation. *Plant physiology*, 188(1), 593-607.

Liu, C., Pu, Y., Peng, H., Lv, X., Tian, S., Wei, X., ... & Sun, X. (2021). Transcriptome sequencing reveals that photoinduced gene IP-L affects the expression of PsbO to response to virus infection in

Nicotiana benthamiana . *Physiological and Molecular Plant Pathology*, 114, 101613.

Lopez, L., & Liburd, O. E. (2022). Can the introduction of companion plants increase biological control services of key pests in organic squash?. *Entomologia Experimentalis et Applicata*.

Luo, L., Zhao, C., Wang, E., Raza, A., & Yin, C. (2022). Bacillus amyloliquefaciens as an excellent agent for biofertilizer and biocontrol in agriculture: An overview for its mechanisms. *Microbiological Research*, 127016.

Malerba, M., & Cerana, R. (2020). Chitin-and chitosan-based derivatives in plant protection against biotic and abiotic stresses and in recovery of contaminated soil and water. *Polysaccharides*, 1(1), 21-30.

Massart, S., Olmos, A., Jijakli, H., & Candresse, T. (2014). Current impact and future directions of high throughput sequencing in plant virus diagnostics. *Virus research*, 188, 90-96.

Materatski, P., Jones, S., Patanita, M., Campos, M. D., Dias, A. B., Félix, M. D. R., & Varanda, C. M. (2021). A bipartite geminivirus with a highly divergent genomic organization identified in olive trees may represent a novel evolutionary direction in the family Geminiviridae. *Viruses*, 13(10), 2035.

Medina-Santamarina, J., Serrano, M., Lorente-Mento, J. M., García-Pastor, M. E., Zapata, P. J., Valero, D., & Guillén, F. (2021). Melatonin treatment of pomegranate trees increases crop yield and quality parameters at harvest and during storage. *Agronomy*, 11(5), 861.

Mofunanya, A. A. J., Omara-Achong, T. E., Akomaye, F. A., Ogar, V. B., & Oni, J. O. (2021). Physiological Alterations in Sphenostylis stenocarpa due to Telfairia mosaic virus. *Russian Journal of Plant Physiology*, 68(4), 728-734.

Moustafa-Farag, M., Almoneafy, A., Mahmoud, A., Elkeliish, A., Arnao, M. B., Li, L., & Ai, S. (2020). Melatonin and its protective role against biotic stress impacts on plants. *Biomolecules*, 10(1), 54.

Mubarik, N. R., Rusmana, I., Suhartono, M. T., Sipriyadi, S., & Masrukhan, M. (2022). Analysis of Soil Bacterial Diversity from Tropical Rainforest and Oil Palm Plantation In Jambi, Indonesia by 16S rRNA-DGGE Profiles. *Journal of Tropical Biodiversity and Biotechnology*, 7(2), 68820.

Mukherjee, S. (2018). Novel perspectives on the molecular crosstalk mechanisms of serotonin and melatonin in plants. *Plant Physiology and Biochemistry*, 132, 33-45.

Mukta, J. A., Rahman, M., Sabir, A. A., Gupta, D. R., Surovy, M. Z., Rahman, M., & Islam, M. T. (2017). Chitosan and plant probiotics application enhance growth and yield of strawberry. *Biocatalysis and Agricultural Biotechnology*, 11, 9-18.

Müllender, M., Varrelmann, M., Savenkov, E. I., & Liebe, S. (2021). Manipulation of auxin signalling by plant viruses. *Molecular Plant Pathology*, 22(11), 1449-1458.

Murch, S. J., & Erland, L. A. (2021). A systematic review of melatonin in plants: an example of evolution of literature. *Frontiers in plant science*, 12, 1060.

- Nan, Y., Luo, W., Guan, Q., Guo, X., Pan, M., Lai, Z., & Lin, Y. (2021).** Effects of Different Vase Solutions on Fresh-keepin Effects of Fresh-cut Rose. *Plant Diseases & Pests*, 12.
- Navarro, J. A., Sanchez-Navarro, J. A., & Pallas, V. (2019).** Key checkpoints in the movement of plant viruses through the host. *Advances in virus research*, 104, 1-64.
- Negm, N. A., Hefni, H. H., Abd-Elaal, A. A., Badr, E. A., & Abou Kana, M. T. (2020).** Advancement on modification of chitosan biopolymer and its potential applications. *International journal of biological macromolecules*, 152, 681-702.
- Ngalimat, M. S., Yahaya, R. S. R., Baharudin, M. M. A. A., Yaminudin, S. M., Karim, M., Ahmad, S. A., & Sabri, S. (2021).** A review on the biotechnological applications of the operational group *Bacillus amyloliquefaciens*. *Microorganisms*, 9(3), 614.
- Novák, P., Neumann, P., & Macas, J. (2020).** Global analysis of repetitive DNA from unassembled sequence reads using RepeatExplorer2. *Nature protocols*, 15(11), 3745-3776.
- Novák, P., Neumann, P., Pech, J., Steinhaisl, J., & Macas, J. (2013).** RepeatExplorer: a Galaxy-based web server for genome-wide characterization of eukaryotic repetitive elements from next-generation sequence reads. *Bioinformatics*, 29(6), 792-793.
- Ong, P. W., Chan, P. L., Ooi, L. C. L., & Singh, R. (2019).** Isolation of high quality total RNA from various tissues of oil palm (*Elaeis guineensis*) for reverse transcription quantitative real-time PCR (RT-qPCR). *J. Oil Palm Res*, 31, 195-203.

- Patel, N., Huang, X. P., Grandner, J. M., Johansson, L. C., Stauch, B., McCorvy, J. D., ... & Katritch, V. (2020).** Structure-based discovery of potent and selective melatonin receptor agonists. *Elife*, 9, e53779 .
- Pecman, A., Kutnjak, D., Gutiérrez-Aguirre, I., Adams, I., Fox, A., Boonham, N., & Ravnikar, M. (2017).** Next generation sequencing for detection and discovery of plant viruses and viroids: comparison of two approaches. *Frontiers in microbiology*, 8, 1998.
- Popletaeva, S. B., & Arslanova, L. R. (2021).** Use of chitosan nanoparticles loaded with biologically active substances for pre-harvest plant protection from pathogens (a review). In Journal of Physics: *Conference Series* (Vol. 1942, No. 1, p. 012077). IOP Publishing
- Qian, J., Zhang, T., Tang, S., Zhou, L., Li, K., Fu, X., & Yu, S. (2020).** Biocontrol of citrus canker with endophyte *Bacillus amyloliquefaciens* QC-Y. *Plant Protection Science*, 57(1), 1-13.
- Qiu, Y., Zhang, Y., Wang, C., Lei, R., Wu, Y., Li, X., & Zhu, S. (2018).** Cucumber mosaic virus coat protein induces the development of chlorotic symptoms through interacting with the chloroplast ferredoxin I protein. *Scientific reports*, 8(1), 1-11.
- Ramazani, M. A., Ayazpour, K., Niazmand, A. R., & Najafipour, G. (2022).** Detection of begomoviruses of Solanaceae crops in southern Iran . *Indian Phytopathology*, 1-6.
- Raza, A., & Shahid, M. S. (2020).** Next-generation sequencing technologies and plant molecular virology: a practical perspective. In *Applied Plant Virology* (pp. 131-140). Academic Press.

- Rehman, F., Kalsoom, M., Nasir, T. A., Adnan, M., Anwar, S., & Zahra, A. (2020).** Chemistry of plant–microbe interactions in rhizosphere and rhizoplane. *Ind. J. Pure App. Biosci*, 8(5), 11-19.
- Reingold, V., Lachman, O., Sela, N., Luria, N., & Dombrovsky, A. (2016).** Watermelon fruit rot disease in Israel is caused by a distinct Squash vein yellowing virus (SqVYV) strain. *Plant Disease*, 100(6), 1176-1183.
- Rendina, N., Nuzzaci, M., Scopa, A., Cuypers, A., & Sofo, A. (2019).** Chitosan-elicited defense responses in Cucumber mosaic virus (CMV)-infected tomato plants. *Journal of plant physiology*, 234, 9-17.
- Reyes-Pérez, J. J., Rivero-Herrada, M., García-Bustamante, E. L., Beltran-Morales, F. A., & Ruiz-Espinoza, F. H. (2020).** Chitosan application increases the emergence, growth and yield of tomato crop (*Solanum lycopersicum* L.) under greenhouse conditions. *Biotechnia*, 22(3), 156-163.
- Richert-Pöggeler, K. R., Vijverberg, K., Alisawi, O., Chofong, G. N., Schwarzacher, T., & Heslop-Harrison, J. S. (2021).** Participation of multifunctional RNA in replication, recombination and regulation of endogenous plant pararetroviruses (EPRVs). *Frontiers in Plant Science*, 12, 1148.
- Ripma, L. A., Simpson, M. G., & Hasenstab-Lehman, K. (2014).** Geneious! Simplified genome skimming methods for phylogenetic systematic studies: A case study in Oreocarya (Boraginaceae). *Applications in Plant Sciences*, 2(12), 1400062.
- Robles, P., & Quesada, V. (2019).** Transcriptional and post-transcriptional regulation of organellar gene expression (OGE) and

its roles in plant salt tolerance. *International journal of molecular sciences*, 20(5), 1056.

Romera, F. J., García, M. J., Lucena, C., Martínez-Medina, A., Aparicio, M. A., Ramos, J., ... & Pérez-Vicente, R. (2019). Induced systemic resistance (ISR) and Fe deficiency responses in dicot plants. *Frontiers in Plant Science*, 10, 287.

Roshan, P., Kulshreshtha, A., Purohit, R., & Hallan, V. (2020). AV2 protein of tomato leaf curl Palampur virus interacts with F-box Kelch protein of tomato and enhances phenylalanine ammonia-lyase activity during virus infection. *Physiological and Molecular Plant Pathology*, 110, 101479.

Rubio, L., Galipienso, L., & Ferriol, I. (2020). Detection of plant viruses and disease management: Relevance of genetic diversity and evolution. *Frontiers in plant science*, 11, 1092.

Sabouri, M., & Heydar Nezhad, J. (2013). Evaluation of the reaction of greenhouse cucumber cultivars inoculated by the infectious clone of Tomato leaf curl Palampur virus. *Agricultural Biotechnology Journal*, 5(1), 83-96.

Sahu, P. K., Sao, R., Mondal, S., Vishwakarma, G., Gupta, S. K., Kumar, V., ... & Das, B. K. (2020). Next generation sequencing based forward genetic approaches for identification and mapping of causal mutations in crop plants: A comprehensive review. *Plants*, 9(10), 1355.

Salachna, P., & Zawadzińska, A. (2014). Effect of chitosan on plant growth, flowering and corms yield of potted freesia. *Journal of Ecological Engineering*, 15(3).

- Samal, K. C., Sahoo, J. P., Behera, L., & Dash, T. (2021).** Understanding the BLAST (Basic local alignment search tool) Program and a step-by-step guide for its use in life science research. *Quarterly Research Journal of Plant & Animal Sciences/Bhartiya Krishi Anusandhan Patrika*, 36(1).
- Sayers, E. W., Beck, J., Bolton, E. E., Bourexis, D., Brister, J. R., Canese, K., ... & Sherry, S. T. (2021).** Database resources of the national center for biotechnology information. *Nucleic acids research*, 49(D1), D10
- Schmidt N, Seibt KM, Weber B, Schwarzacher T, Schmidt T and Heitkam T. (2021).** Broken, silent and in hiding: tamed endogenous pararetroviruses escape elimination from the genome of sugar beet (*Beta vulgaris*). *Annals of Botany* XXX: XXX–XXX.
- Shafi, J., Tian, H., & Ji, M. (2017).** Bacillus species as versatile weapons for plant pathogens: a review. *Biotechnology & Biotechnological Equipment*, 31(3), 446-459.
- Shafiq, M., Ahmad, M., Nisar, A., Manzoor, M. T., Abid, A., Mushtaq, S., ... & Mubin, M. (2019).** Molecular characterization and phylogenetic analysis of tomato leaf curl Palampur virus, a bipartite begomovirus, associated with *Cucumis sativus* L. in Pakistan. *3 Biotech*, 9(6), 1-9
- Shahrajabian, M. H., Chaski, C., Polyzos, N., Tzortzakis, N., & Petropoulos, S. A. (2021).** Sustainable agriculture systems in vegetable production using chitin and chitosan as plant biostimulants. *Biomolecules*, 11(6), 819.

- Sharif, R., Xie, C., Zhang, H., Arnao, M. B., Ali, M., Ali, Q., ... & Li, Y. (2018).** Melatonin and its effects on plant systems. *Molecules*, 23(9), 2352.
- Sharma, S. K., Ramesh, A., & Johri, B. N. (2013).** Isolation and characterization of plant growth promoting *Bacillus amyloliquefaciens* strain sks_bnj_1 and its influence on rhizosphere soil properties and nutrition of soybean (*Glycine max* L. Merrill). *J Virol Microbiol*, 2013(2013), 1-19.
- Sheteiwy, M. S., Abd Elgawad, H., Xiong, Y. C., Macovei, A., Brestic, M., Skalicky, M., ... & El-Sawah, A. M. (2021).** Inoculation with *Bacillus amyloliquefaciens* and mycorrhiza confers tolerance to drought stress and improve seed yield and quality of soybean plant. *Physiologia Plantarum*, 172(4), 2153-2169.
- Shrestha, D., McAuslane, H. J., Adkins, S. T., Smith, H. A., Dufault, N., Colee, J., & Webb, S. E. (2017).** Host-mediated effects of semipersistently transmitted Squash Vein Yellowing Virus on Sweetpotato Whitefly (Hemiptera: Aleyrodidae) behavior and fitness. *Journal of economic entomology*, 110(4), 1433-1441.
- Shrestha, D., McAuslane, H. J., Adkins, S. T., Smith, H. A., Dufault, N., & Webb, S. E. (2016).** Transmission of Squash vein yellowing virus to and from cucurbit weeds and effects on sweetpotato whitefly (Hemiptera: Aleyrodidae) behavior. *Environmental entomology*, 45(4), 967-973.
- Shrestha, D., McAuslane, H. J., Ebert, T. A., Cervantes, F. A., Adkins, S. T., Smith, H. A., ... & Webb, S. E. (2019).** Assessing the temporal effects of Squash vein yellowing virus infection on settling and feeding behavior of *Bemisia tabaci* (MEAM1)(Hemiptera: Aleyrodidae). *Journal of Insect Science*, 19(3), 5.

- Silva, B. S., Heringer, P., Dias, G. B., Svartman, M., & Kuhn, G. C. (2019).** De novo identification of satellite DNAs in the sequenced genomes of *Drosophila virilis* and *D. americana* using the RepeatExplorer and TAREAN pipelines. *PloS one*, 14(12), e0223466.
- SKM, A. E. N., Abdelkhalek, A., Baiea, M., & Amin, O. (2020).** Mitigation of heat stress effects on Washington navel orange by using melatonin, gibberellin and salicylic treatments. *Plant Arch*, 20, 3523-3534.
- Sofy, A. R., Hmed, A. A., Abd EL-Aleem, M. A., Dawoud, R. A., Elshaarawy, R. F., & Sofy, M. R.(2020).** Mitigating effects of Bean yellow mosaic virus infection in faba bean using new carboxymethyl chitosan - titania nano biocomposites. International . *Journal of Biological Macromolecules*, 163, 1261-1275.
- Sofy, A. R., Sofy, M. R., Hmed, A. A., Dawoud, R. A., Refaey, E. E., Mohamed, H. I., & El-Dougoug, N. K. (2021).** Molecular characterization of the Alfalfa mosaic virus infecting *Solanum melongena* in Egypt and the control of its deleterious effects with melatonin and salicylic acid. *Plants*, 10(3), 459
- Song , X. S., Wang, Y. J., Mao, W. H., Shi, K., Zhou, Y. H., Nogués· S.· & Yu· J. Q. (2009).** Effects of cucumber mosaic virus infection on electron transport and antioxidant system in chloroplasts and mitochondria of cucumber and tomato leaves. *Physiologia Plantarum* 135(3)· 246-257.
- Souza, P. F., Garcia-Ruiz, H., & Carvalho, F. E. (2019).** What proteomics can reveal about plant–virus interactions? Photosynthesis-related proteins on the spotlight. *Theoretical and experimental plant physiology*, 31(1), 227-248.

- Subhan, F., Hussain, Z., Tauseef, I., Shehzad, A., & Wahid, F. (2021).** A review on recent advances and applications of fish collagen. *Critical reviews in food science and nutrition*, 61(6), 1027-1037.
- Suttyak, K. E., Wirawan, R. E., Aroutcheva, A. A., & Chikindas, M. L. (2008).** Isolation of the *Bacillus subtilis* antimicrobial peptide subtilosin from the dairy product-derived *Bacillus amyloliquefaciens*. *Journal of applied microbiology*, 104(4), 1067-1074.
- Suza, W., Lee, D., Becraft, P., & Hanneman, M. (2021).** DNA Mutations . Genetics , Agriculture, and Biotechnology . <https://iastate.pressbooks.pub/genagbiotech/chapter/dna-mutations/>
- Timmermann, T., González, B., & Ruz, G. A. (2020).** Reconstruction of a gene regulatory network of the induced systemic resistance defense response in *Arabidopsis* using boolean networks. *BMC bioinformatics*, 21(1), 1-16.
- Venkataravanappa, V., Prasanna, H. C., Reddy, C. N., Chauhan, N., Shankarappa, K. S., & Reddy, M. K. (2021).** Molecular characterization of recombinant Bipartite begomovirus associated with mosaic and leaf curl disease of Cucumber and Muskmelon. *Indian Phytopathology*, 74(3), 775-785
- Vitales, D., Garcia, S., & Dodsworth, S. (2020).** Reconstructing phylogenetic relationships based on repeat sequence similarities. *Molecular phylogenetics and evolution*, 147, 106766.
- Vlot, A. C., Sales, J. H., Lenk, M., Bauer, K., Brambilla, A., Sommer, A., ... & Nayem, S. (2021).** Systemic propagation of immunity in plants. *New Phytologist*, 229(3), 1234-1250

- Wang, X., Jiang, Z., Yue, N., Jin, X., Zhang, X., Li, Z., ... & Li, D. (2021).** Barley stripe mosaic virus γb protein disrupts chloroplast antioxidant defenses to optimize viral replication. *The EMBO Journal*, e107660.
- Webster, C. G., Turechek, W. W., Kousik, C. S., Roberts, P. D., Webb, S. E., & Adkins, S. (2010).** Response of various vining cucurbits to Squash vein yellowing virus infection. *Proc. of Cucurbitaceae*, 214-215.
- Wei, J., Li, D. X., Zhang, J. R., Shan, C., Rengel, Z., Song, Z. B., & Chen, Q. (2018).** Phytomelatonin receptor PMTR 1-mediated signaling regulates stomatal closure in *Arabidopsis thaliana*. *Journal of pineal research*, 65(2), e12500.
- Whattam, M., Dinsdale, A., & Elliott, C. E. (2021).** Evolution of Plant Virus Diagnostics Used in Australian Post Entry Quarantine. *Plants*, 10(7), 1430.
- WoldemariamYohannes, K., Wan, Z., Yu, Q., Li, H., Wei, X., Liu, Y., ... & Sun, B. (2020).** Prebiotic, probiotic, antimicrobial, and functional food applications of *Bacillus amyloliquefaciens*. *Journal of Agricultural and Food Chemistry*, 68(50), 14709-14727.
- Wu, Y., Zhou, J., Li, C., & Ma, Y. (2019).** Antifungal and plant growth promotion activity of volatile organic compounds produced by *Bacillus amyloliquefaciens*. *Microbiology Open*, 8(8), e00813.
- Yohe, S., & Thyagarajan, B. (2017).** Review of clinical next-generation sequencing. *Archives of pathology & laboratory medicine*, 141(11), 1544-1557.
- Yu, J., Wang, D., Geetha, N., Khawar, K. M., Jogaiah, S., & Mujtaba, M. (2021).** Current trends and challenges in the synthesis

and applications of chitosan-based nanocomposites for plants: A review. *Carbohydrate Polymers*, 117904.

Zaccardelli, M., Sorrentino, R., Caputo, M., Scotti, R., De Falco, E., & Pane, C. (2020). Stepwise-selected *Bacillus amyloliquefaciens* and *B. subtilis* strains from composted aromatic plant waste able to control soil-borne diseases. *Agriculture*, 10(2), 30

Zagier, S., Al Fadhal, F., & Alisawi, O. (2021). Control Fig Mosaic Virus By plant extracts with salicylic acid. In IOP Conference Series: *Earth and Environmental Science* (Vol. 790, No. 1, p. 012058). IOP Publishing.

Zhai, Y., Yuan, Q., Qiu, S., Li, S., Li, M., Zheng, H., ... & Yan, F. (2021). Turnip mosaic virus impairs perinuclear chloroplast clustering to facilitate viral infection. *Plant, Cell & Environment*, 44(11), 3681-3699.

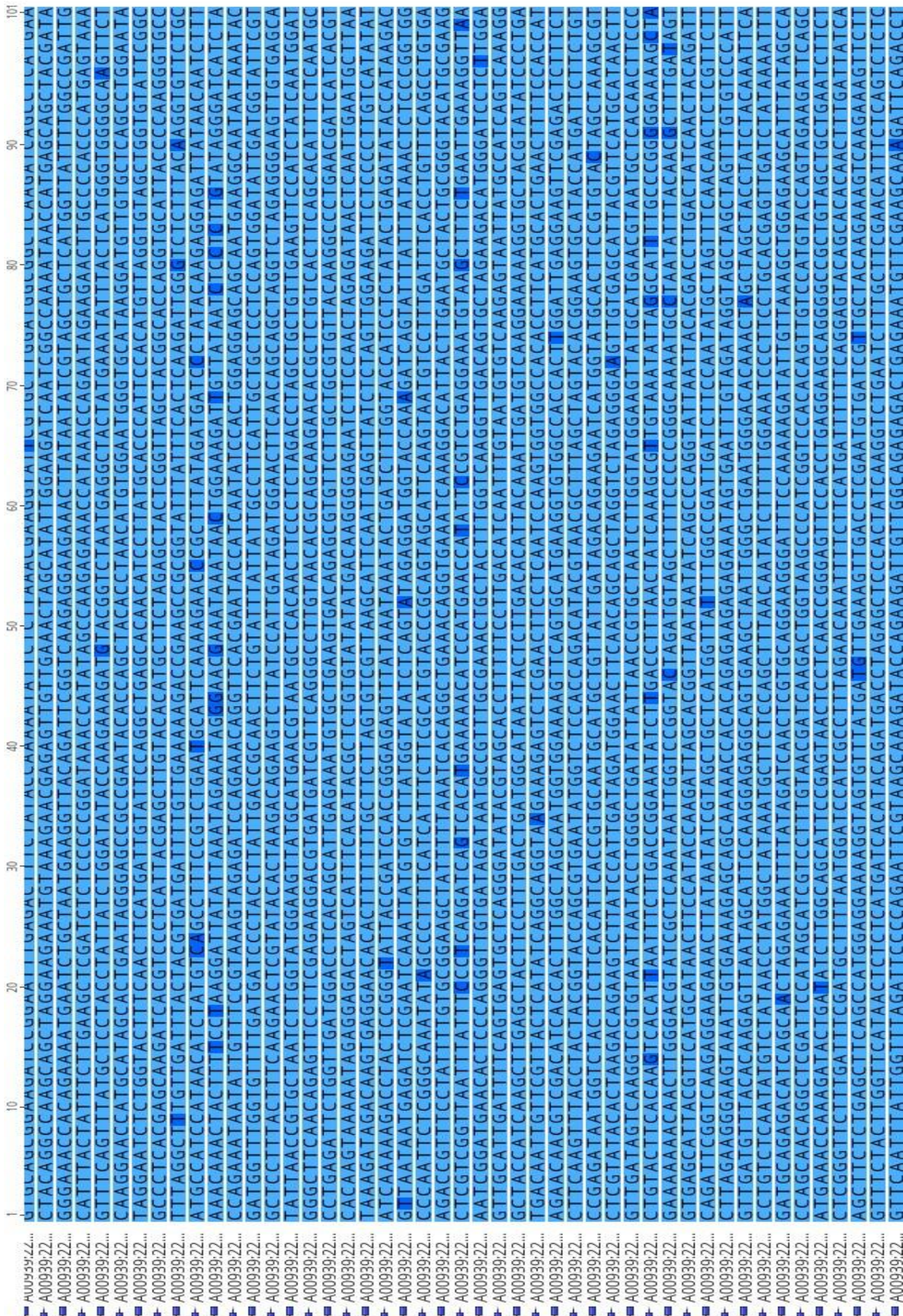
Zhao J, Zhang X, Hong Y and Liu Y. (2016) . Chloroplast in Plant-Virus Interaction. *Front. Microbiol.* 7:1565. doi: 10.3389/fmicb.2016.01565.

Zhao, L., Chen, L., Gu, P., Zhan, X., Zhang, Y., Hou, C., ... & Wang, Q. C. (2019). Exogenous application of melatonin improves plant resistance to virus infection. *Plant Pathology*, 68(7), 1287-1295.

8. الملاحق

ملحق (1) القراءات الخام للحمض النووي DNA بعد ربط القراءات الأمامية بالقراءات العكسية وطول القراءة هو 151 زوج قاعدة.

ملحق(2) القراءات الخام للحامض النووي RNA بعد ربط القراءات الأمامية بالقراءات العكسية
وطول القراءة هو 101 زوج قاعدة.



ملحق (3) تسجيل فايروس في *Squash vein yellowing virus isolate SVYV/Iraq*
 المركز الوطني لمعلومات التقانة الاحيائية . NCBI

Squash vein yellowing virus isolate SVYV/Iraq, complete genome

GenBank: ON229619.1

[FASTA](#) [Graphics](#)

[Go to:](#) ▾

LOCUS ON229619 9832 bp RNA linear VRL 25-MAY-2022

DEFINITION Squash vein yellowing virus isolate SVYV/Iraq, complete genome.

ACCESSION ON229619

VERSION ON229619.1

KEYWORDS .

SOURCE Squash vein yellowing virus

ORGANISM Squash vein yellowing virus

Viruses; Riboviria; Orthornavirae; Pisuviricota; Stelpaviricetes;
 Patatavirales; Potyviridae; Ipomovirus.

REFERENCE 1 (bases 1 to 9832)

AUTHORS Abbas,H.I., Alisawi,O.N. and Alfadhal,F.A.

TITLE Direct Submission

JOURNAL Submitted (28-MAR-2022) Plant Protection, University of Kufa,
 Najaf-Kufa Street, Najaf 00964, Iraq

FEATURES Location/Qualifiers

source 1..9832

/organism="Squash vein yellowing virus"

/mol_type="genomic RNA"

/isolate="SVYV/Iraq"

/host="cucumber"

/db_xref="taxon:397544"

/country="Iraq"

/collection_date="22-Oct-2021"

CDS

114..9638

/codon_start=1

/product="polyprotein"

/protein_id="UQW19707.1"

/translation="MAQVYDFRATTKEFKYLVRRHGMQAFQQYRDYVPPSQRSKFA
 FTVPEGVLYAYVAAYATEEDVVDVLKLTPGALKNYLVEARRSISSNCMDFGDGKTYC
 ECGAELRPARKTCEDCGFVYKNSEGELARRIYNISIHECSVADLEYFSRNTLVDMI
 KEADELAAREKLAAGLTLKQEEDQPDLSKIPAEPMVAVIEPVEINDEPSGKKVKINT
 EKEIPTINIGKITVPLLPISEIPIFRKEGTKLQSVGFSIESEEKEIKEQLTEQAVVIA
 LEVGNQIAEVCKMDSIKCESGRNLNMKANFRHRLHALEMRKEVHEKVERNKAIFRDL
 SRLNLERRRNQVIKKDSRGTLWRRRRETLSKRRVQIPENIITEIANHQESRIEECV
 LVPGIKCATSKKMPKKRLLQQFLKGSVDELILQIIQLCKQNSKTLLEVIGKRKININC
 LNSTVELNHMKGKMTKRDIPDEFIDFFFSKFIKKLARARTEWKIGSGDGSIVQIGG
 KFGIVRGRLDGYLVDAREFLSLRELLDIDEYSSTGMRCIKDQGSNDDFSSFNDDSRQ
 VVVKGNSIFAKDEMAAEFLSKTTWGGIFRNQSGSYKNPAILKRAARYGLAFDCAE
 AYECPCMCGMCTYLESFYFDCCFCEYTYKVQPSODGLPSTVPIEPIDHMVSLSIKELM
 KEAWIIGESEEVIIKDFRTPTRVVTRTEKGRLRSNFKNLLEDTSNOWLNAMIAVD

ملحق (4) تسجيل فيروس Tomato leaf curl Palampur virus isolate Babylon1 في المركز الوطني لمعلومات التقانة الاحيائية NCBI segment DNA-A

Tomato leaf curl Palampur virus isolate Babylon1 segment DNA-A, complete sequence

GenBank: ON229618.1

[FASTA](#) [Graphics](#)

Go to:

LOCUS	ON229618	2756 bp	DNA	linear	VRL 25-MAY-2022
DEFINITION	Tomato leaf curl Palampur virus isolate Babylon1 segment DNA-A, complete sequence.				
ACCESSION	ON229618				
VERSION	ON229618.1				
KEYWORDS	.				
SOURCE	Tomato leaf curl Palampur virus				
ORGANISM	Tomato leaf curl Palampur virus				
	Viruses; Monodnaviria; Shotokuvirae; Cressdnnaviricota; Repensiviricetes; Geplafuvirales; Geminiviridae; Begomovirus.				
REFERENCE	1 (bases 1 to 2756)				
AUTHORS	Abbas,H.I., Alisawi,O.N. and Alfadhal,F.A.				
TITLE	Direct Submission				
JOURNAL	Submitted (29-MAR-2022) Plant Protection, University of Kufa, Najaf-Kufa Street, Najaf 00964, Iraq				
COMMENT	<pre>##Assembly-Data-START## Assembly Method :: Geneious map to reference v. 2022 Assembly Name :: Whole DNA sequence mapped to Tomato leaf curl palampur virus DNA-A Coverage :: 1,055,827 Sequencing Technology :: Illumina ##Assembly-Data-END##</pre>				
FEATURES	Location/Qualifiers				
source	<pre>1..2756 /organism="Tomato leaf curl Palampur virus" /mol_type="genomic DNA" /isolate="Babylon1" /host="cucumber" /db_xref="taxon:526476" /segment="DNA-A" /country="Iraq" /collection_date="22-Oct-2021"</pre>				
gene	<pre>120..467 /gene="AV2"</pre>				
CDS	<pre>120..467 /gene="AV2" /note="precoat protein" /codon_start=1 /product="AV2" /protein_id="UOW19708.1" /translation="MWDPLLHEFPESVHGLRCMLAVKYLQEIEKTYSPTIGYDLVRD LISVVRARNYGEASSRYLHFNARIESTPSSSELRQPVCPCSCPYCPRHKGKGMEQTH ESETKILPDVSKL"</pre>				
gene	<pre>280..1050 /gene="AV1"</pre>				
CDS	<pre>280..1050 /gene="AV1" /note="coat protein" /codon_start=1 /product="AV1" /protein_id="UOW19709.1" /translation="MVKRPAIDIYISTPASKARRRLNFSPYAVRAAVPIVRATKAREW VNRPMNRKPRFYRMYRSSDVPRGCEGPCKVQSFESRHDVSHIGKVMCISDVTGTLT HRVGKRCVKSVYVLGKIWMDENIKTKNHTNSMFFLVRDRRPTGAPQDFGDVFNMFD</pre>				

ملحق (5) تسجيل فيروس Tomato leaf curl Palampur virus isolate Babylon1 في المركز الوطني لمعلومات التقانة الاحيائية NCBI segment DNA-B

Tomato leaf curl Palampur virus isolate Babylon1 segment DNA-B, complete sequence

GenBank: ON229620.1

[FASTA](#) [Graphics](#)

Go to:

```

LOCUS      ON229620          2719 bp    DNA     linear   VRL 25-MAY-2022
DEFINITION Tomato leaf curl Palampur virus isolate Babylon1 segment DNA-B,
complete sequence.
ACCESSION  ON229620
VERSION    ON229620.1
KEYWORDS   .
SOURCE     Tomato leaf curl Palampur virus
ORGANISM   Tomato leaf curl Palampur virus
Viruses; Monodnaviria; Shotokuvirae; Cressdnaviricota;
Repensiviricetes; Geplafuvirales; Geminiviridae; Begomovirus.
REFERENCE  1 (bases 1 to 2719)
AUTHORS   Abbas,H.I., Alisawi,O.N. and Alfadhal,F.A.
TITLE     Direct Submission
JOURNAL   Submitted (31-MAR-2022) Plant Protection, University of Kufa,
Najaf-Kufa Street, Najaf 00964, Iraq
COMMENT   ##Assembly-Data-START##
Assembly Method :: Geneious map to reference v. 2022
Assembly Name  :: Whole DNA sequence mapped to Tomato leaf
curl palampur virus DNA-B
Coverage      :: 1,347,785
Sequencing Technology :: Illumina
##Assembly-Data-END##
FEATURES   Location/Qualifiers
source     1..2719
            /organism="Tomato leaf curl Palampur virus"
            /mol_type="genomic DNA"
            /isolate="Babylon1"
            /host="cucumber"
            /db_xref="taxon:526476"
            /segment="DNA-B"
            /country="Iraq"
            /collection_date="22-Oct-2021"
gene       426..1232
            /gene="BV1"
CDS        426..1232
            /gene="BV1"
            /note="nuclear shuttle protein"
            /codon_start=1
            /product="BV1"
            /protein_id="UQW19714.1"
            /translation="MAFTSPYTPRRSGLSYARRFNGSRNVRFWKFRKSQPWLRRRN
EAFSRSATELFGEPISKQYTRKEICETQQGTEYVLQNRYMTSYVTYP SKTRTGTNNR
VRSYIKLKLNSIGTFAIRSTEMMTEVDQGGGLYGVMSVVVRDKSPKIYSTAQPLIP
FVDIFGSVNACRGTLKVAERHCERFVVLNQSSIIVNTPHINTIKKFCIRNCIPKYTT
WTFRDEEDNCTGLYSNTLRNAILIYYVWLSDVPSQVDLYSKLILNYIG"
            complement(1298..2143)
            /gene="BC1"
CDS        complement(1298..2143)
            /gene="BC1"
            /note="movement protein"

```

ملحق (6) تسجيل الفايروس الداخلي العكسي CsatAV- Iraq في معهد الابحاث والمعلومات
الوراثية Genetic Information Research Institute (GIRI)

Repbase Reports

2022, Volume 22, Issue 4

April 27, 2022

Copyright © 2001-2022 - Genetic Information Research Institute, California

ISSN# 1534-830X

Page 2119

CsatAV-Iraq

Integrated florendovirus within cucumber genome in Iraq.

Submitted: 19-Apr-2022	Accepted: 27-Apr-2022
---------------------------	--------------------------

Key Words:

Caulimoviridae; Integrated Virus; CsatAV-Iraq

Source: Cucumis sativus	Organism: Cucumis sativus	Taxonomy: Eukaryota; Viridiplantae; Streptophyta; Embryophyta; Tracheophyta; Spermatophyta; Magnoliophyta; eudicotyledons; Gunneridae; Pentapetalae; rosids; fabids; Cucurbitales; Cucurbitaceae; Benincaseae; Cucumis
		Authors: Abbas,H., Alisawi,O. and Alfadhal,F.
□		Title: Integrated florendovirus within cucumber genome in Iraq.
		Journal: <i>Repbase Reports</i> 22(4), 2119-2119 (2022)

Abstract:

Integrated florendovirus within cucumber genome in Iraq.

Derived:

[1] (Consensus)

Download Sequence - Format:

[IG](#), [EMBL](#), [FASTA](#)

References:

ملحق (7) تسجيل الفايروس الداخلي العكسي CsatBV-Iraq في معهد الابحاث
والمعلومات الوراثية Genetic Information Research Institute (GIRI)

Rephbase Reports

2022, [Volume 22, Issue 4](#)

April 27, 2022

Copyright © 2001-2022 - Genetic Information Research Institute, California

ISSN# 1534-830X

Page 2118

CsatBV-Iraq

Integrated florendovirus within cucumber genome in Iraq.

Submitted: 19-Apr-2022	Accepted: 27-Apr-2022
----------------------------------	---------------------------------

Key Words:

Caulimoviridae; Integrated Virus; CsatBV-Iraq

Source: Cucumis sativus	Organism: Cucumis sativus	Taxonomy: Eukaryota; Viridiplantae; Streptophyta; Embryophyta; Tracheophyta; Spermatophyta; Magnoliophyta; eudicotyledons; Gunneridae; Pentapetalae; rosids; fabids; Cucurbitales; Cucurbitaceae; Benincaseae; Cucumis
-----------------------------------	-------------------------------------	--

[]	Authors: Abbas,H., Alisawi,O. and Alfadhal,F.
	Title: Integrated florendovirus within cucumber genome in Iraq.
	Journal: <i>Rephbase Reports 22(4), 2118-2118 (2022)</i>

Abstract:

Integrated florendovirus within cucumber genome in Iraq.

Derived:

[1] (Consensus)

Download Sequence - Format:

[IG](#), [EMBL](#), [FASTA](#)

References:

**ملحق (8) تسجيل جينوم البلاستيدية الخضراء الكامل لنبات الخيار
Cucumis sativus var. sativus في المركز الوطني لمعلومات التقانة الاحيائية NCBI**

GenBank ▾

Se

Cucumis sativus var. sativus chloroplast, complete genome

GenBank: OP651766.1

FASTA Graphics

LOCUS OP651766 155152 bp DNA circular PLN 12-DEC-2022
 DEFINITION Cucumis sativus var. sativus chloroplast, complete genome.
 ACCESSION OP651766
 VERSION OP651766.1
 KEYWORDS .
 SOURCE chloroplast Cucumis sativus var. sativus
 ORGANISM Cucumis sativus var. sativus
 Eukaryota; Viridiplantae; Streptophyta; Embryophyta; Tracheophyta;
 Spermatophyta; Magnoliopsida; eudicotyledons; Gunneridae;
 Pentapetalae; rosids; fabids; Cucurbitales; Cucurbitaceae;
 Benincaseae; Cucumis.
 REFERENCE 1 (bases 1 to 155152)
 AUTHORS Abbas,H.I., Alisawi,O.N. and Alfadhl,F.A.
 TITLE Direct Submission
 JOURNAL Submitted (16-OCT-2022) Plant protection, University of Kufa,
 Najaf-Kufa street, najaf 00964, Iraq
 COMMENT ##Assembly-Data-START##
 Assembly Method :: Geneious map to reference v. 2022
 Assembly Name :: Whole DNA sequence mapped to cucumber
 chloroplast
 Coverage :: 5717433
 Sequencing Technology :: Illumina
 ##Assembly-Data-END##
 FEATURES Location/Qualifiers
 source 1..155152
 /organism="Cucumis sativus var. sativus"
 /organelle="plastid:chloroplast"
 /mol_type="genomic DNA"
 /variety="sativus"
 /db_xref="taxon:869827"
 /country="Iraq: Baghdad"
 /collection_date="28-Jul-2022"
 gene complement(join(99465..100262,72172..72285))
 /gene="rps12"
 /trans_splicing
 CDS complement(join(99465..99490,100031..100262,72172..72285))
 /gene="rps12"
 /trans_splicing
 /codon_start=1
 /transl_table=11
 /product="ribosomal protein S12"
 /protein_id="WAJ61365.1"
 /translation="MPTIKQLIRNTRQPIRNVTKSPALRGCPQRRTCTRVYITPKK
 PNSALRKVARVRLTSGFEITAYIPGIGHNLQEHSVVLVRGGRVKDLPGVRYHIVRGT
 DAVGVKDRQQGRSKYGVKKPK"
 gene complement(230..1291)
 /gene="psbA"
 CDS complement(230..1291)
 /gene="psbA"
 /codon_start=1
 /transl_table=11
 /product="PsbA"
 /protein_id="WAJ61321.1"
 /translation="MTAILERRESESLWGRFCNWITSTENRLLYIGWFGVLMIPTLLTA
 TSVFIIAFIAAPPVDIDGIREPVSGSLLYGNNIISGAIPTSAAIGLHFYPIWEAASV
 DEWLNGGPYELIVLHFLLGVACYMGREWELSFRGLMRPWIAVAYSAPVAAATAVFLI
 YPIGQGSFSDFGMLPLGISGTFNFMIVFQAEHNILMHPFHMLGVAGVFGGSLFSAMHGSL
 VTSSLIRETTENESANEGRFGQEEETYNNIVAAGHYFGRLIFQYASFNNRSRLHFFLA
 AWPVVGWFTALGISTMAFNLNQFNQSVVDSQGRVINTWADIINRANLGMEVMHER
 NAHNFPPLDLAAVEVPSING"
 gene complement(1873..3387)
 /gene="matK"
 CDS complement(1873..3387)
 /gene="matK"
 /codon_start=1
 /transl_table=11

Abstract

In this study, cucumber plants in the Al-Haydariyya region of Najaf governorate were infected with viruses that were diagnosed and molecularly characterized, as well as determining the endogenous pararetroviruses found within infected cucumbers, their activity, and the impact of biotic and non-biotic factors in induced systemic resistance to pathogenic viruses. Next generation sequencing (NGS) technology and bioinformatics programs were used to determine the casual agents of such symptoms in diseased cucumbers. The results revealed that symptoms caused by a joint infection of *Tomato leaf curl Palampur virus* and *Squash vein yellowing virus*. The viruses were registered in GenBank (NCBI), *Squash vein clearing virus* (SqVYV) under accession number (ON229619), *Tomato leaf curl Palampur virus* isolate Babylon1segment DNA-A under accession number ON229618, and *Tomato leaf curl Palampur virus* isolate Babylon1segment DNA-B under accession number ON229620. Based on phylogeny analysis, TLCPV was closest to the Iranian isolates, while SqVYV was linked with isolates from Israel. SVYV encodes polyproteins, TLCPV DNA-A encodes six proteins (AC1, AC2, AC3, AC4, AV1 and AV2), and TLCPV DNA-B encodes two proteins (BC1 and BV1). Two reconstructed viruses were found in the genome of cucumber, *CsatAV* has 7 protein domains encode MP, PTZ00440, antiphase-ZorA-4, RT-like, RT-LTR, RT-RNase-H-2, RNase-HI and *CsatBV* encodes 8 protein domains DUF5864, RT-LTR, RVT-1, RT-RnaseH-2, RNase-HI, RNase-HI, RVT-2, and two RTs that related to EPRVs of eggplant genome (*ToffiV* and *Caulimovirus-SMe*). Chloroplast analysis of the infected DNA sample showed missing region of 23SrRNA gene, which was called 23SrRNA Iraq, and also regions with high variation in rpS16 and Ycf2 domains that called rpS16 Iraq and Ycf2 Iraq. Moreover, the virus infection affected the gene expression of the Ycf2 gene, however, the other genes,

rpS16 and 23SrRNA, showed normal expression activity. The study confirmed that the virus causes mosaic symptoms, leaf curl, and dwarfism. It gave an infection rate of 100% and an infection severity of 82% for cucumbers. It also led to a reduction in the measured growth parameters (the lengths of the root and vegetative groups and their dry weights in addition to the surface area of the leaf) as well as a severe reduction in the percentage of total and elemental chlorophyll. Nitrogen and potassium did not affect phosphorus, and it reduced the number and weight of cucumber fruits. The percentage of economic losses resulting from this viral infection was 47.27 - 53.2% / dunum. It was also shown that immersing the seeds, watering the plants, or spraying them with *Bacillus amyloliquefaciens*, melatonin, chitosan alone or the dual combinations of these factors have the ability to induce systemic resistance of cucumber plants against viral infection by making them tolerant to infection, and they subsequently led to the improvement of the measured phenotypic traits, which are represented by: (the lengths of the root and vegetative groups and their dry weights, in addition to the surface area of the leaf) and the physiological characteristics represented by the percentage of total chlorophyll, and the macronutrients NPK. It also led to an increase in cucumber plants' number and weight. It turned out that the dual combinations (*B. amyloliquefaciens* and melatonin solution, *B. amyloliquefaciens* and chitosan solution, melatonin and chitosan solutions) gave the most effective results in inducing systemic resistance. It also gave the most promising results in improving the phenotypic and physiological characteristics. It also led to an increase in cucumber plant numbers and weights. The use of the above combinations in an area of one dunum achieved a financial benefit between (38.4 - 62.6)%.



Ministry of Higher Education and Scientific Research

University of Kufa

Faculty of Agriculture

**Diagnosis and complete characterization of some
pathogenic and endogenous viruses of cucumber plants
and their control using some biotic and non-biotic
factors**

**A Thesis Submitted to the Council of the Faculty of Agriculture -
University of Kufa in partial Fulfillment of the Requirements for PhD
Degree in Agricultural - Plant Protection**

(Plant Pathology/ Virology)

By:-

Hawraa Ismail Abbas Al-Yaseeri

Supervised by:-

Prof. Dr. Fadhal Al- Fadhal

4/2023

2023 AD.

1444 AH.